# Методические материалы для СТУДЕНТОВ по ОРГАНИЗАЦИИ УЧЕБНОЙ ДЕЯТЕЛЬНОСТИ по дисциплине:

Лучевая диагностика.

основная профессиональная образовательная программа высшего образования

- программа специалитета

КОД Наименование ОП: 31.05.01 Лечебное дело

# Рентгенологический метод лучевой диагностики

Кафедра лучевой диагностики и лучевой терапии Сеченовский Университет

Москва, Россия

Лектор: д.м.н., профессор Шехтер Анатолий Ильич

Москва, Россия

#### Основные методы лучевой диагностики

Рентгенологический метод

Рентгеновская компьютерная томография

Радионуклидный метод

Ультразвуковой метод

Магнитно-резонансная томография и магнитно-резонансная спектроскопия

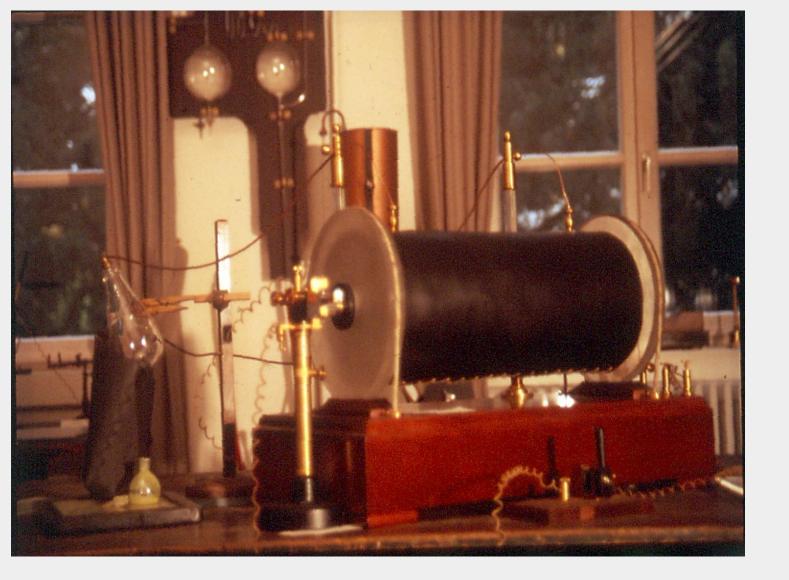
Позитронно-эмиссионная томография

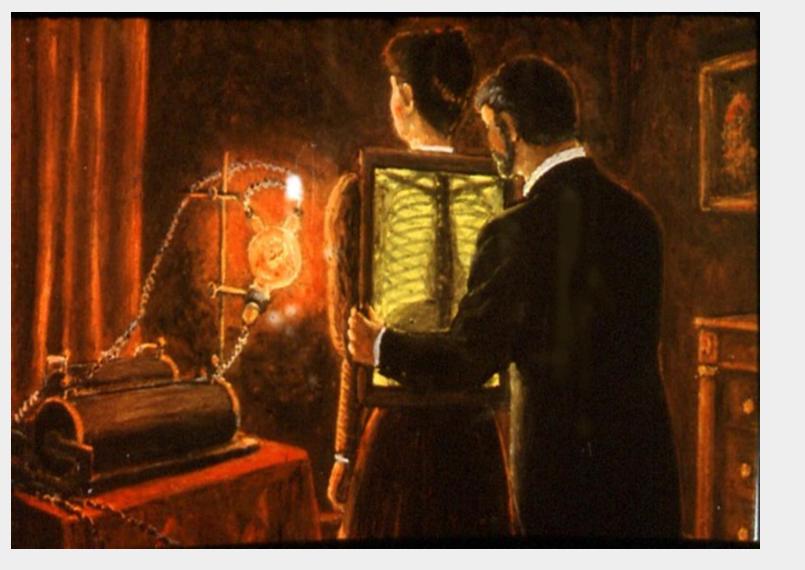


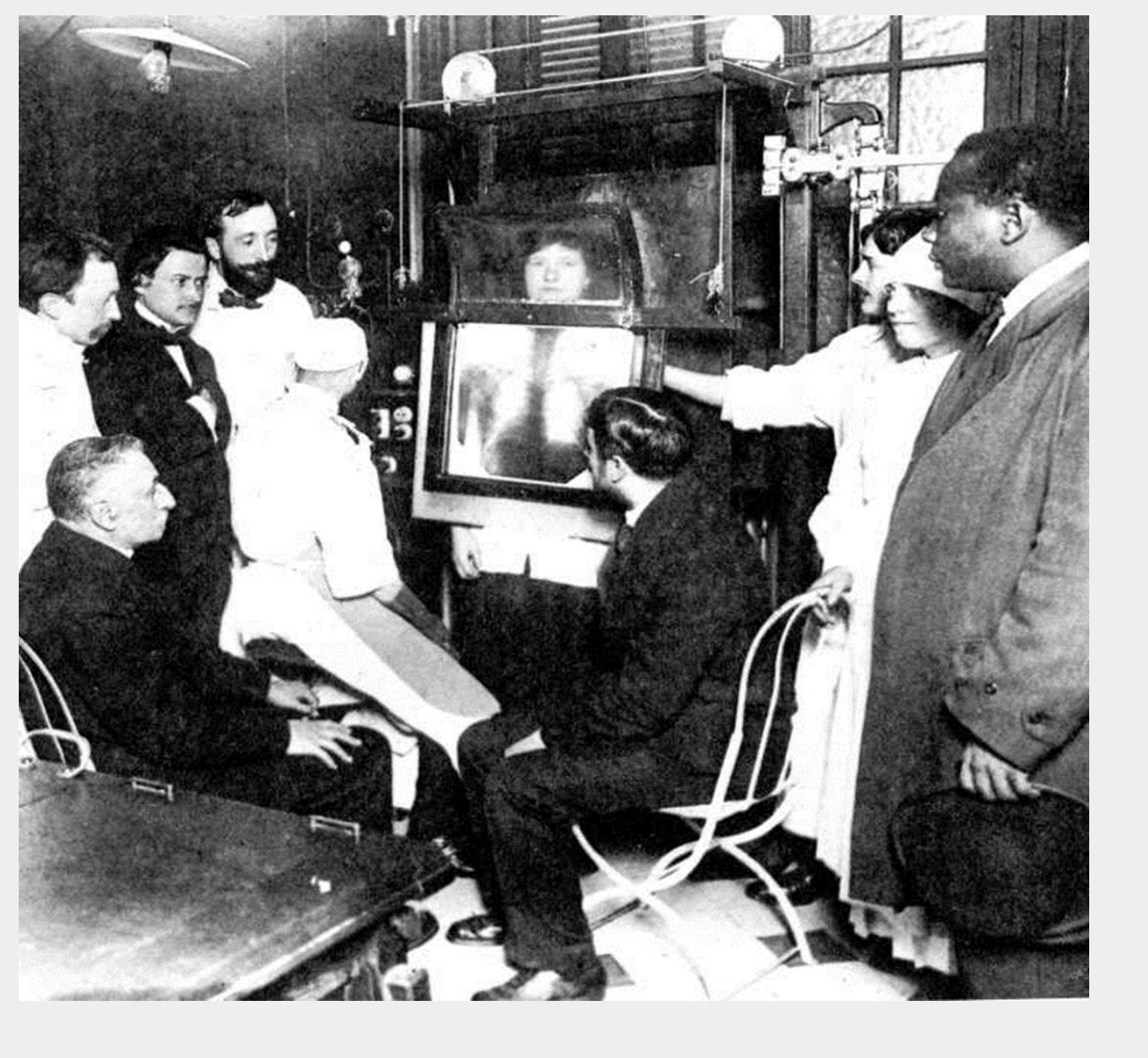


Вильгельм Конрад Рентген (1845-1923)



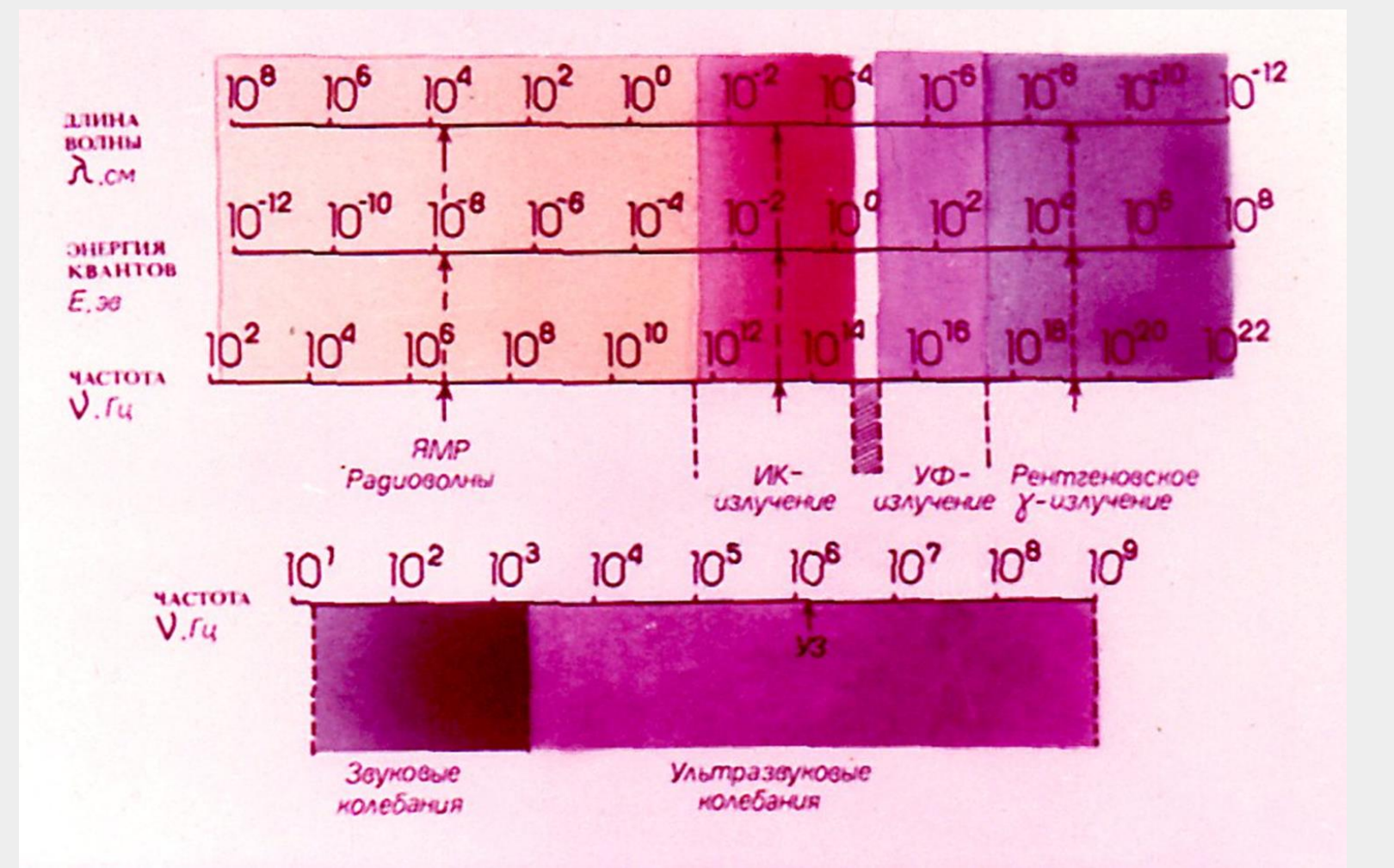




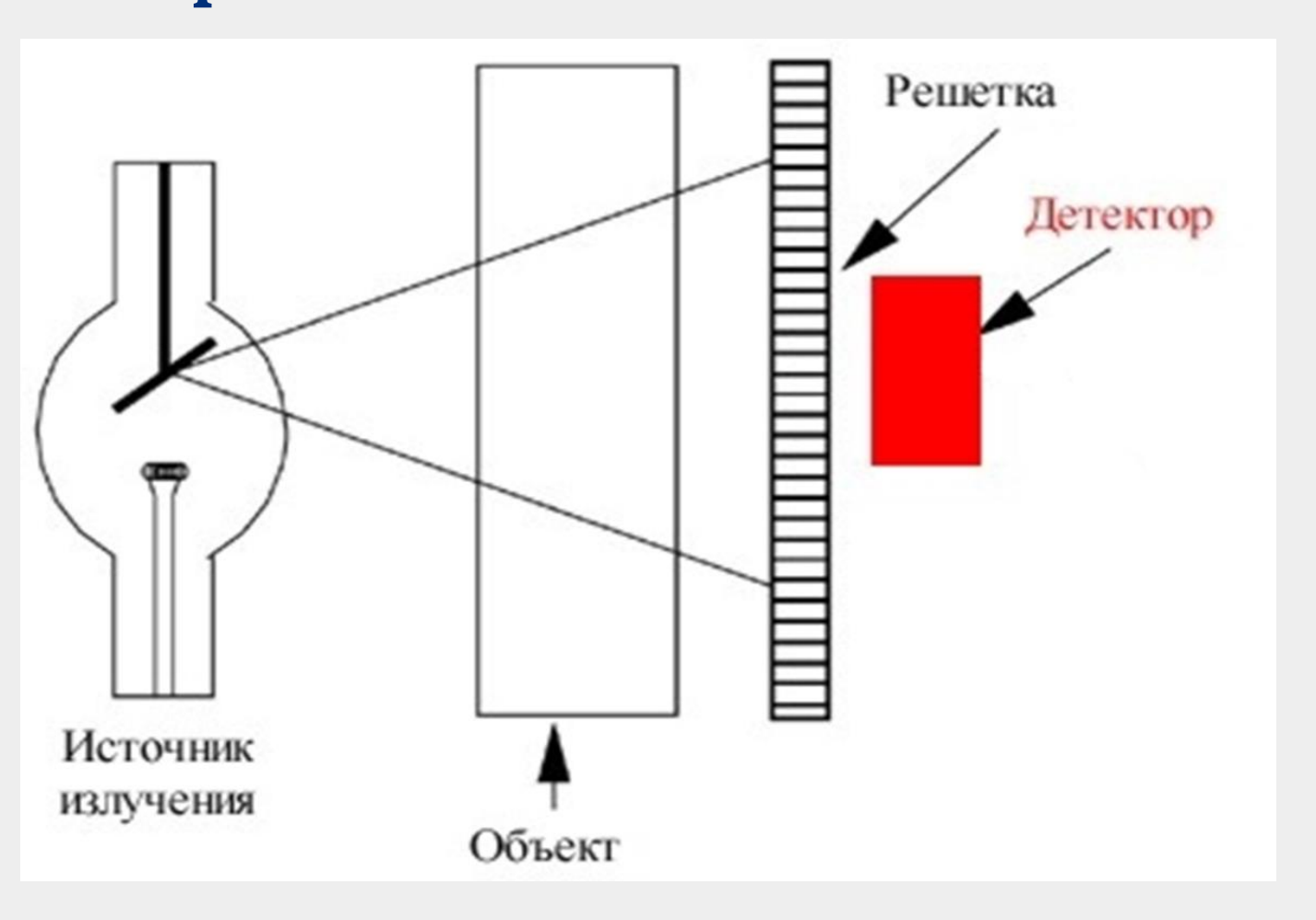


#### Свойства рентгеновского излучения

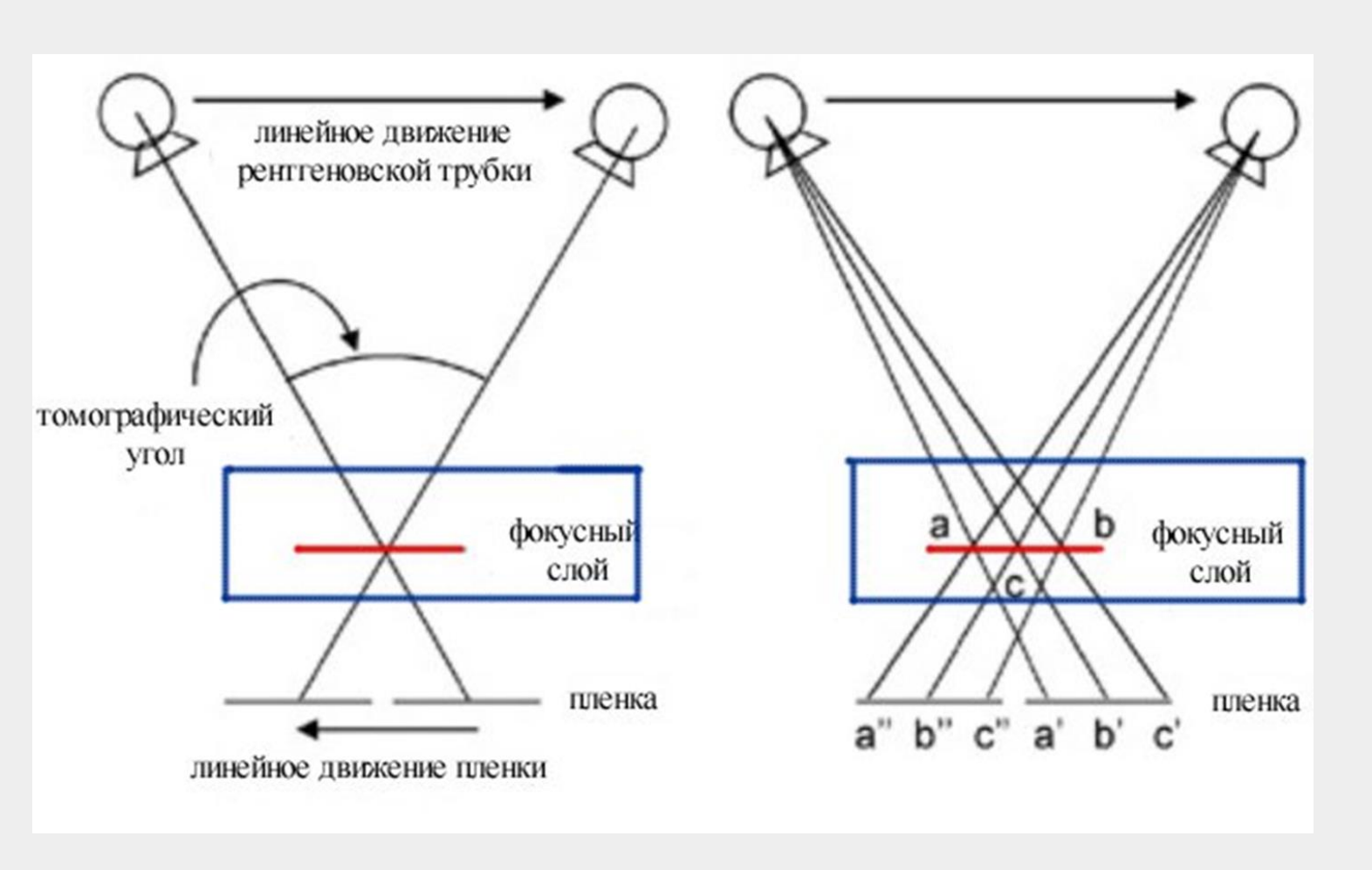
- Высокая проникающая способность
- Поглощение
- Рассеивание
- Прямолинейность распространения
- Способность вызывать флюоресценцию (свечение)
- Фотохимическое действие
- Ионизация веществ
- Биологическое действие
- Невосприимчивость органами чувств



# Принцип получения рентгеновского изображения



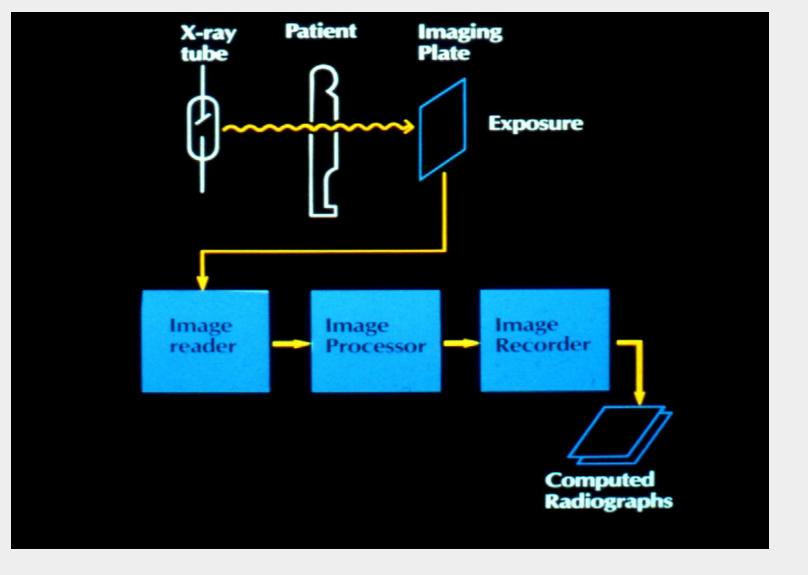
#### Принцип получения продольной томографии



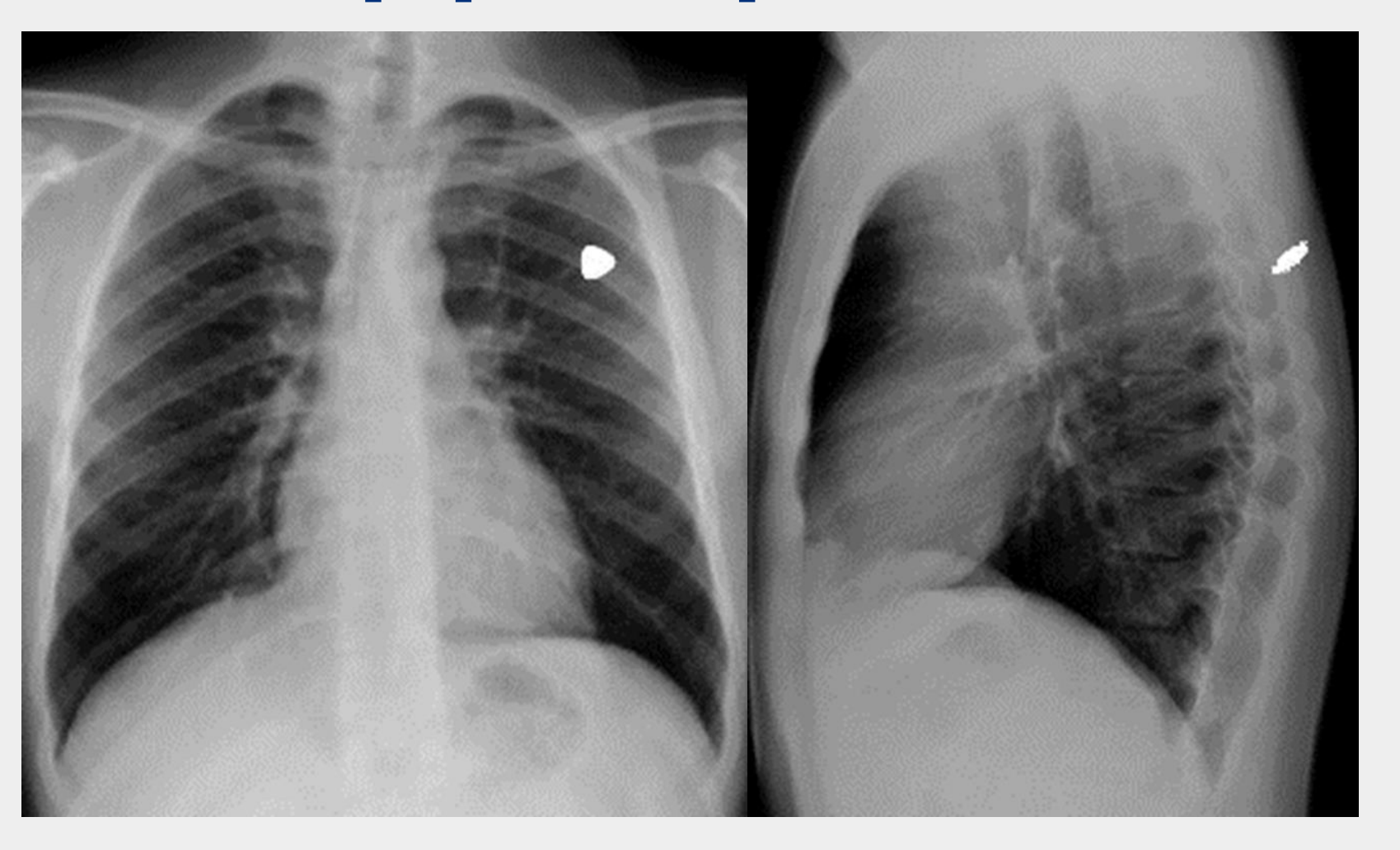
# **Технологии получения проекционных** изображений

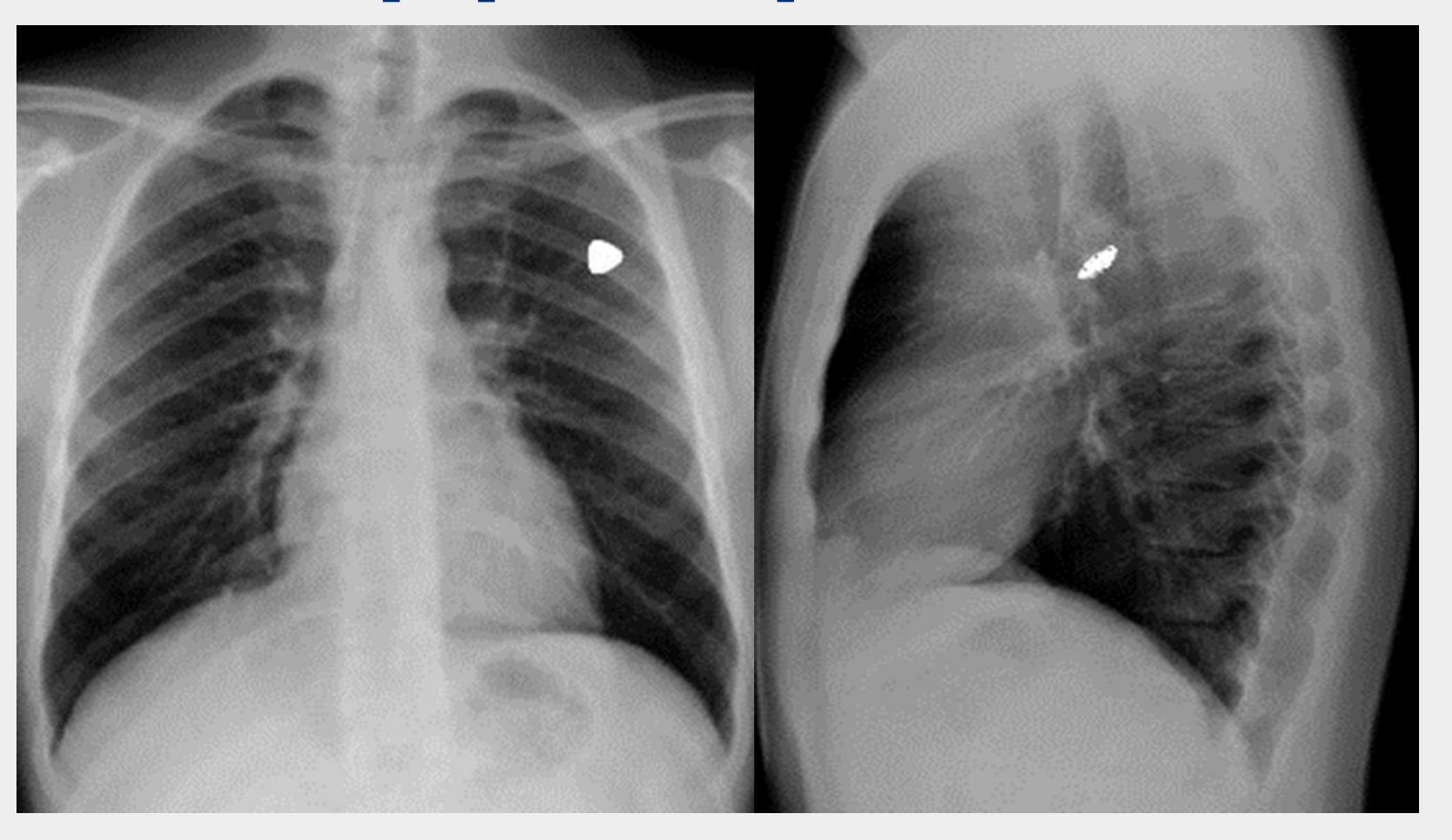
# Универсальный аналоговый рентгеновский аппарат

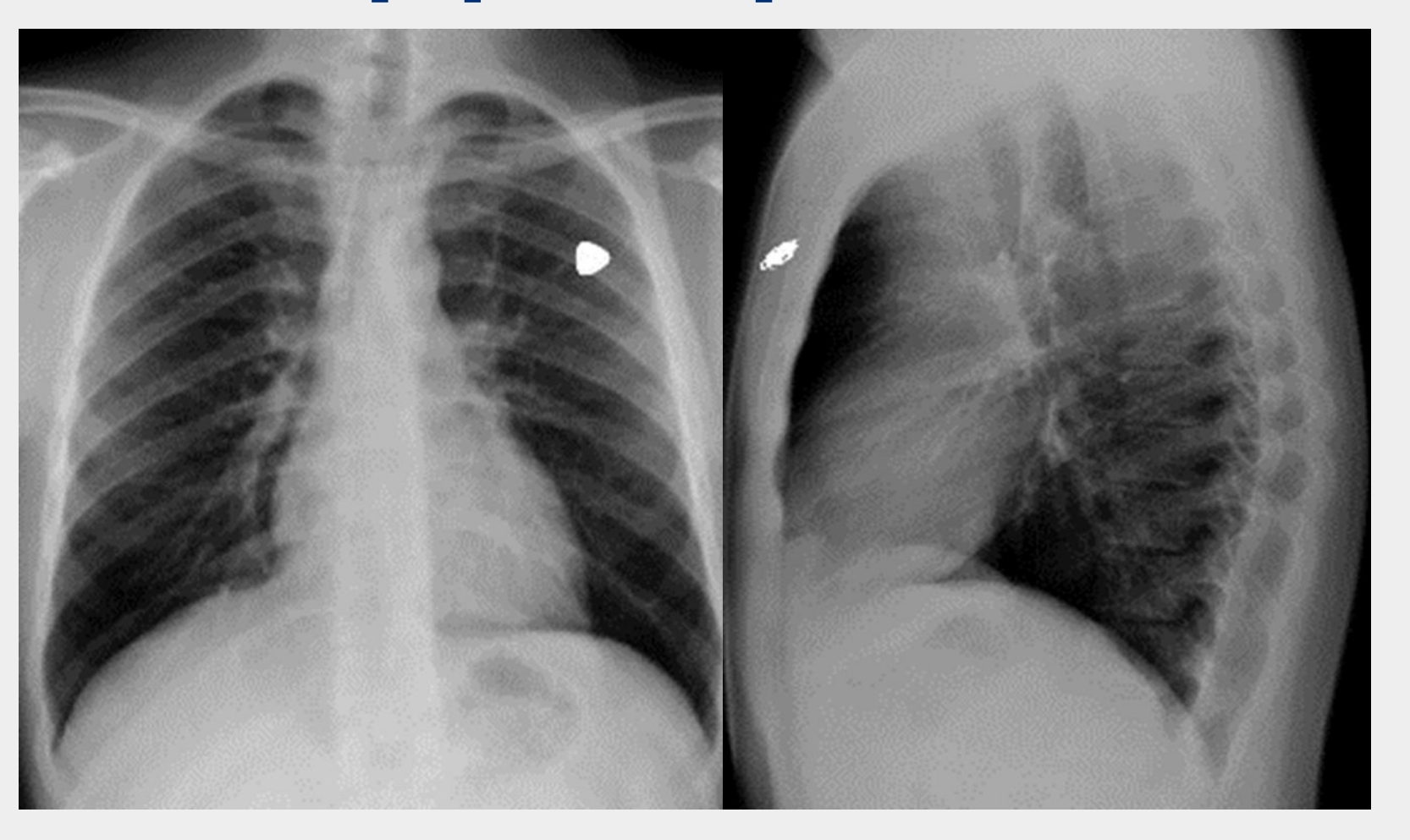


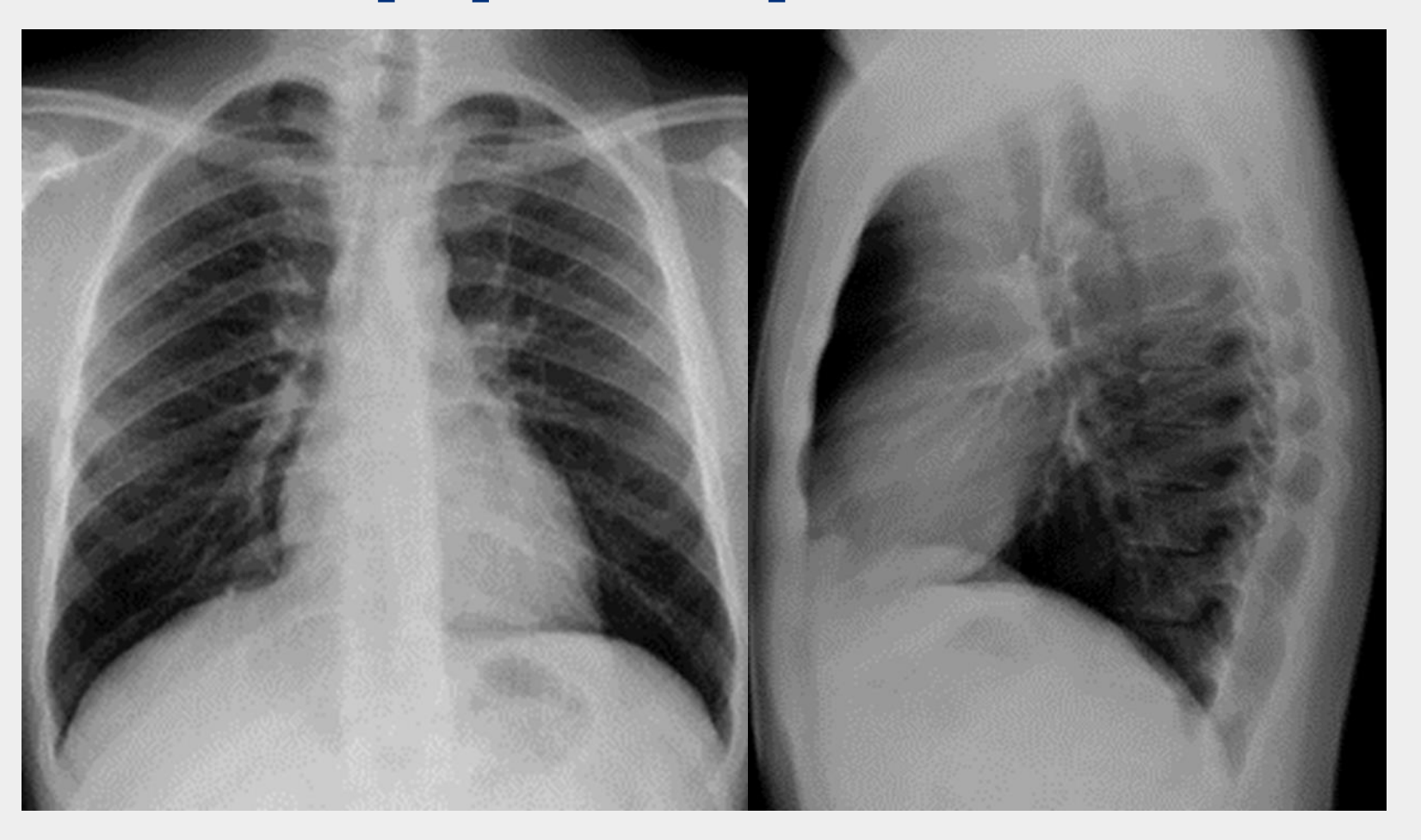




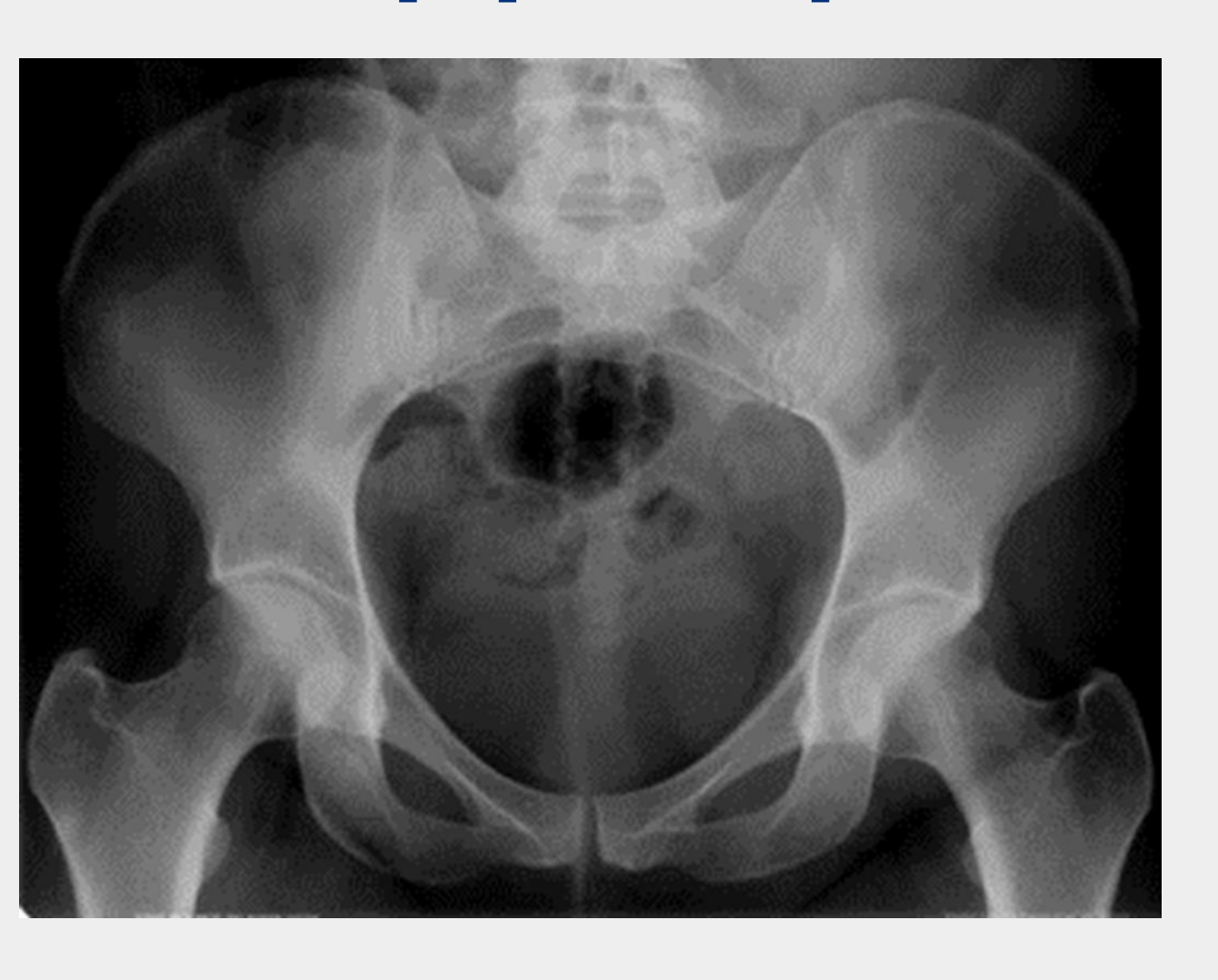


















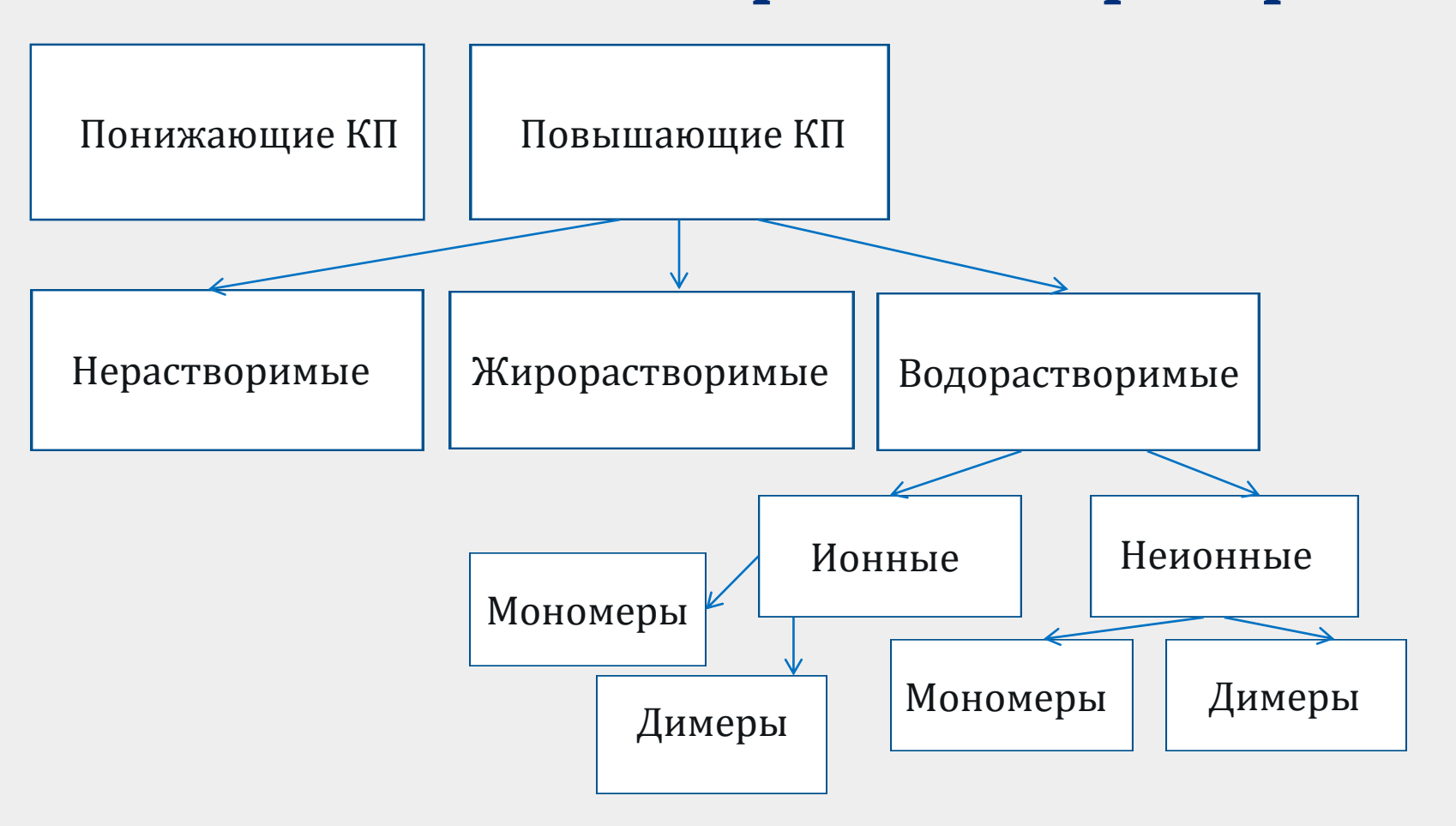
### Рентгенография прицельная



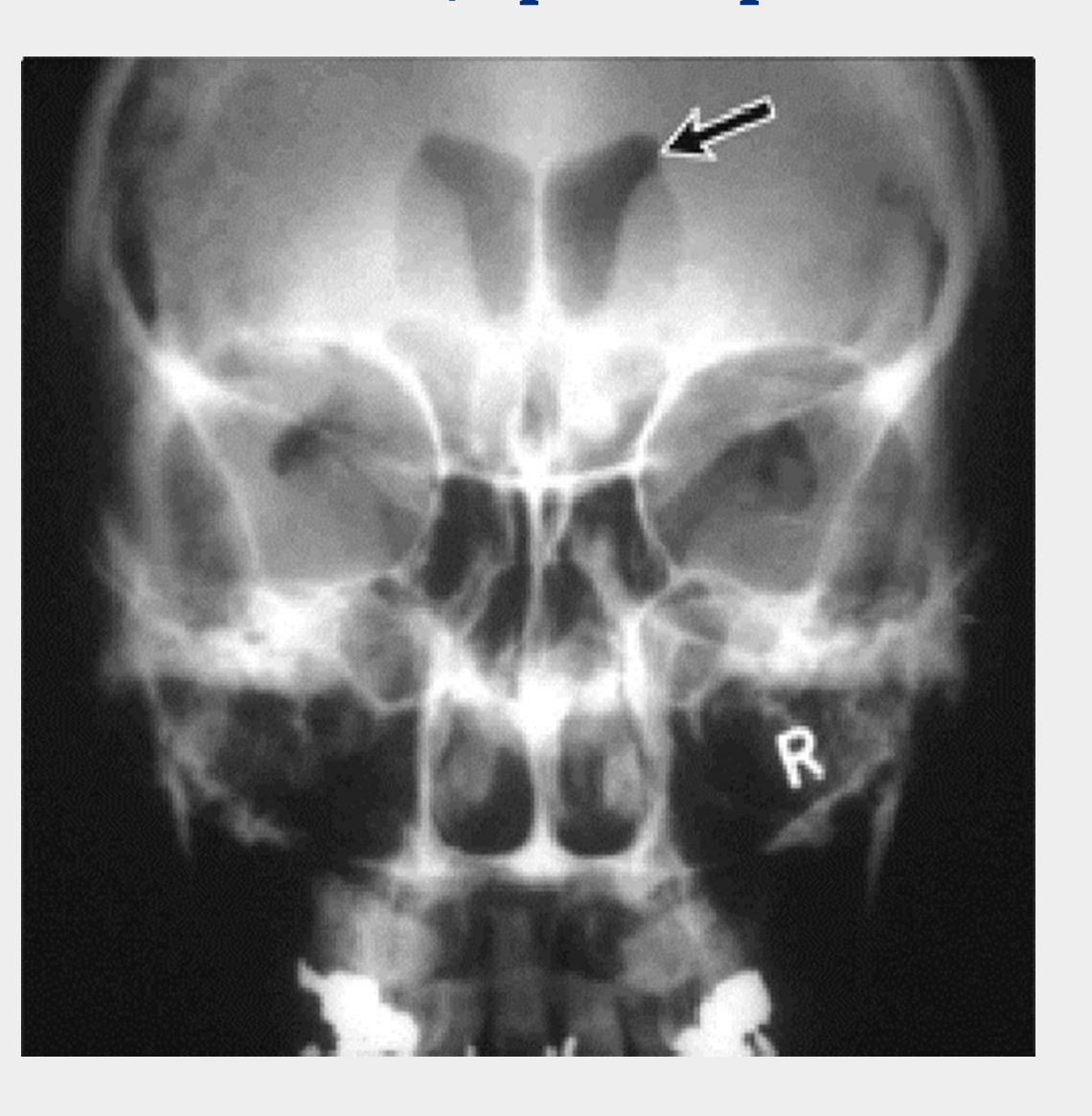
#### Возрастные особенности



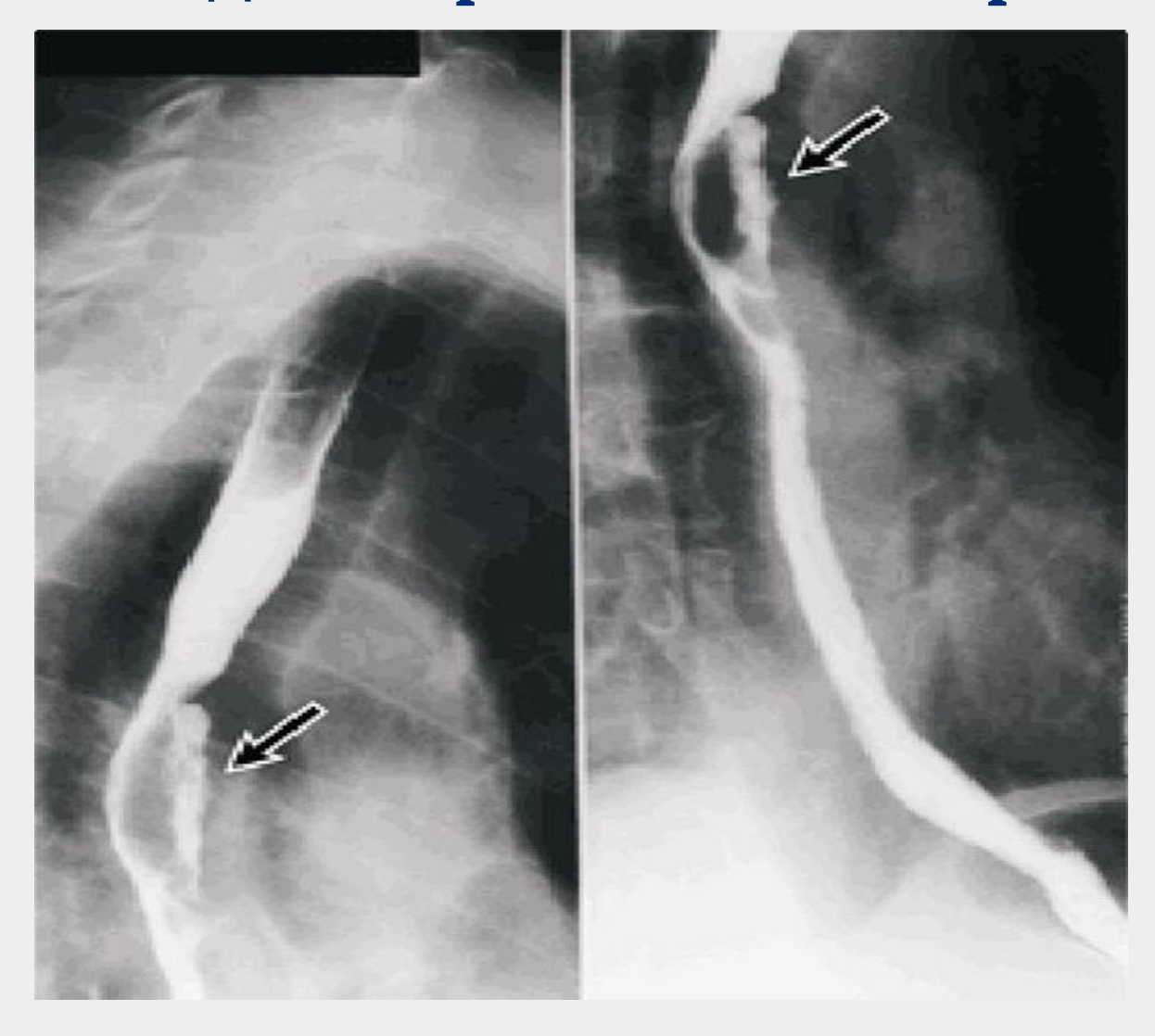
#### Основные типы контрастных препаратов



#### Пневмоэнцефалограмма



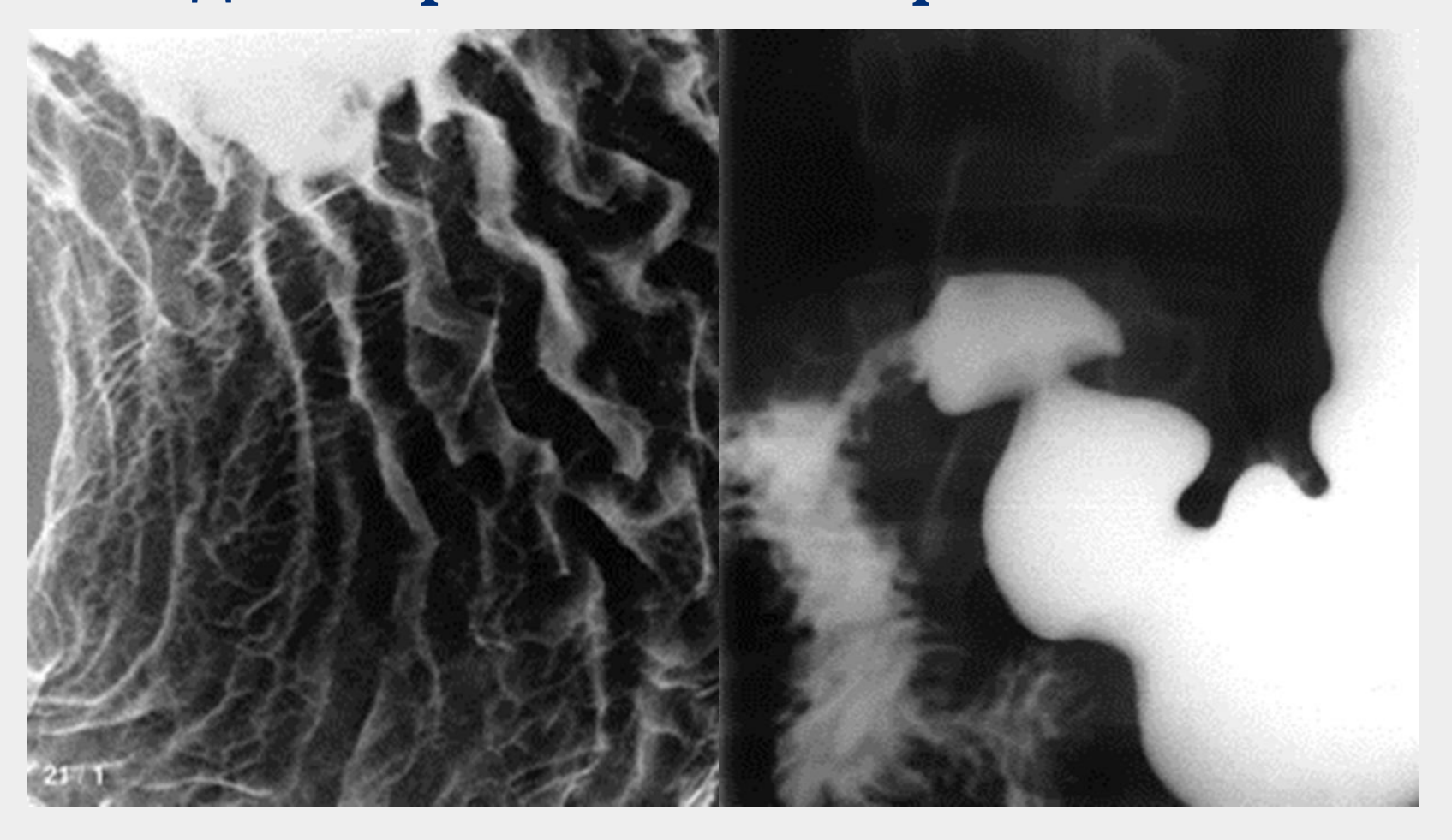
#### Метод контрастного завтрака



#### Метод контрастного завтрака



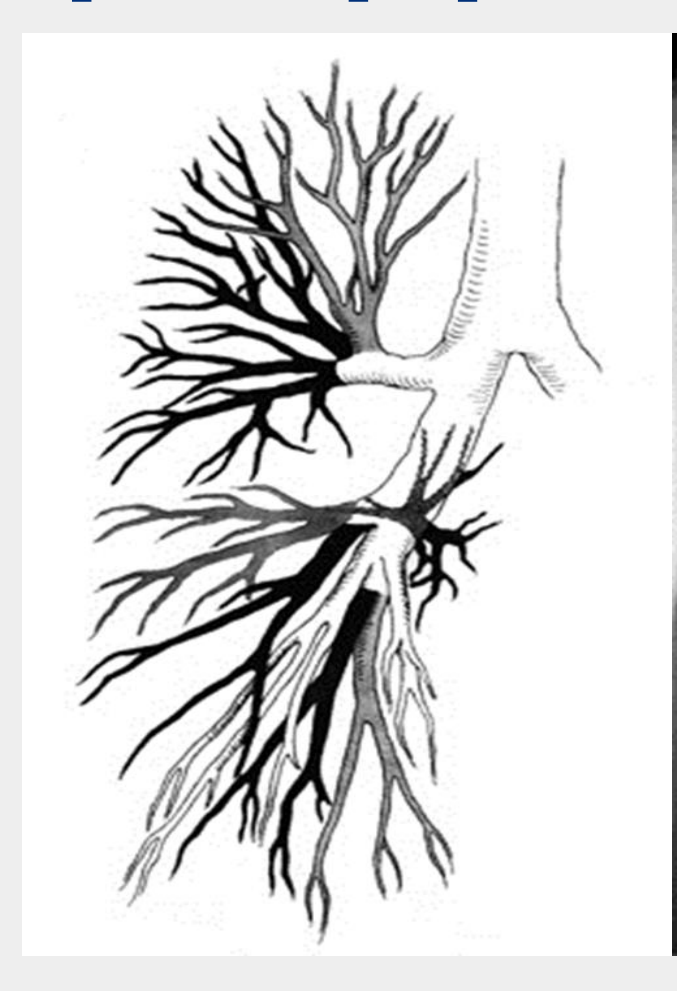
#### Метод контрастного завтрака



## Иригография



## Бронхография





#### Компьютерная томография



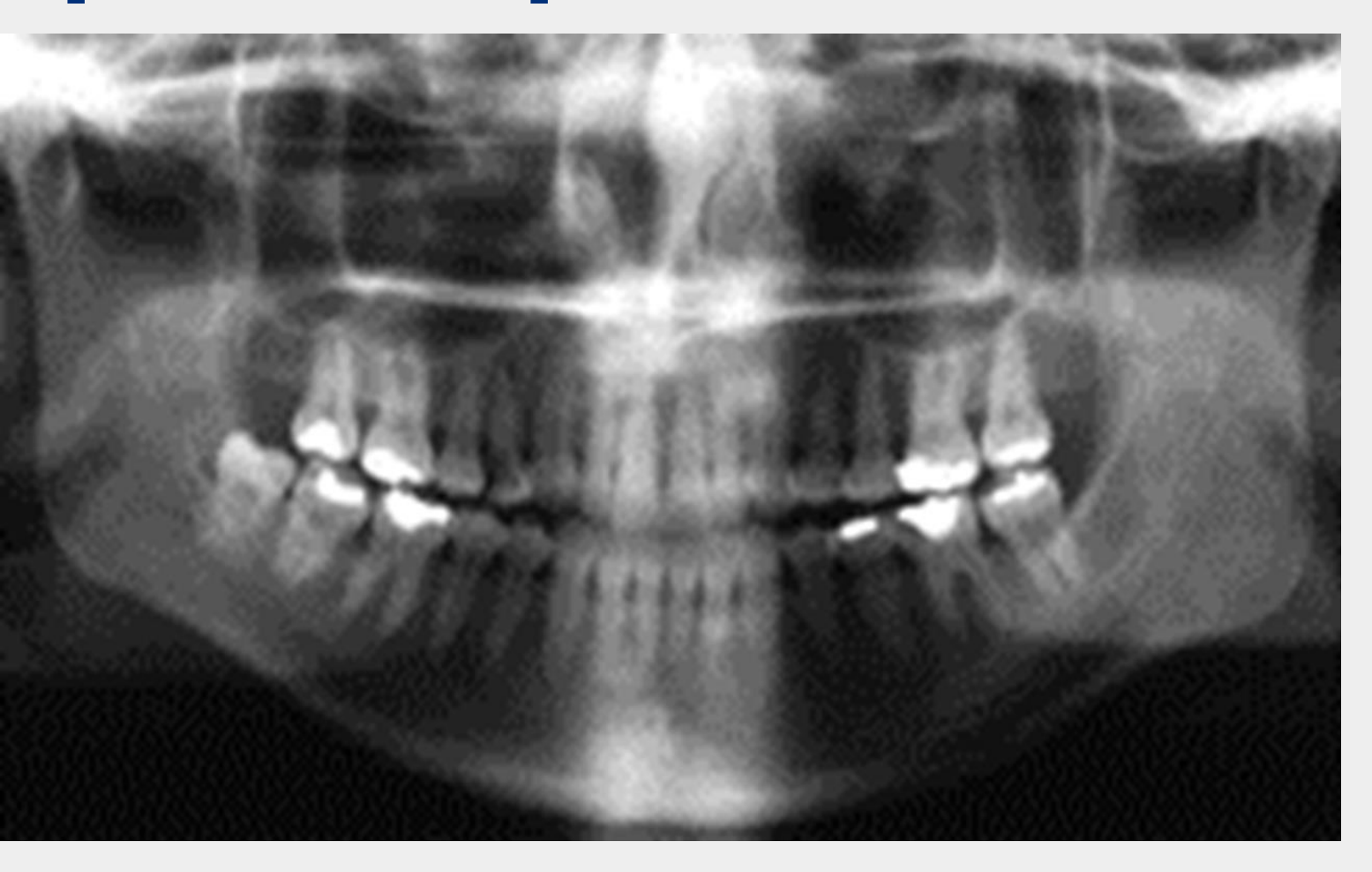
## Артрография



#### Магнитно-резонансная томография



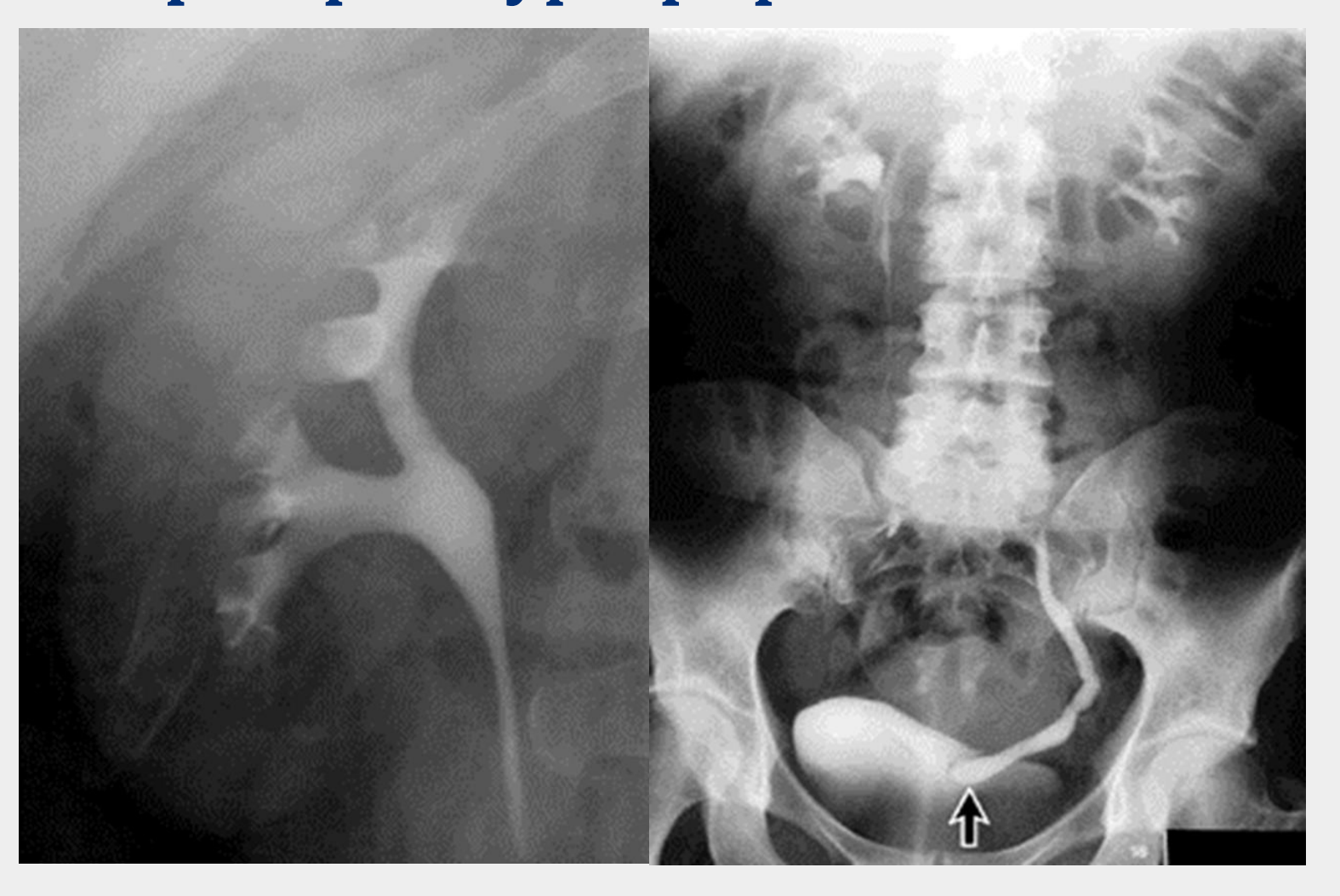
#### Ортопантомограмма



# Экскреторная урография



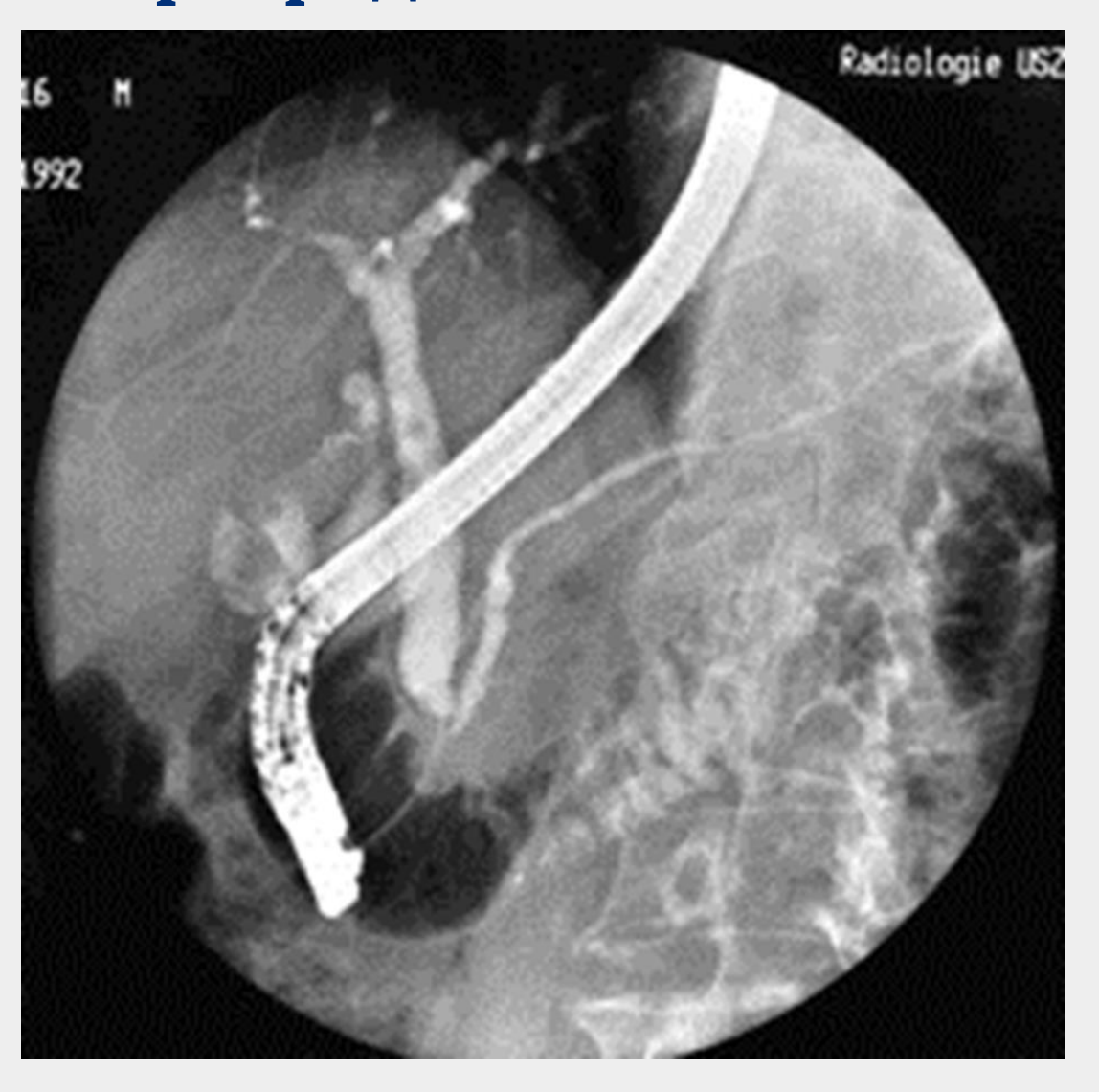
# Экскреторная урография



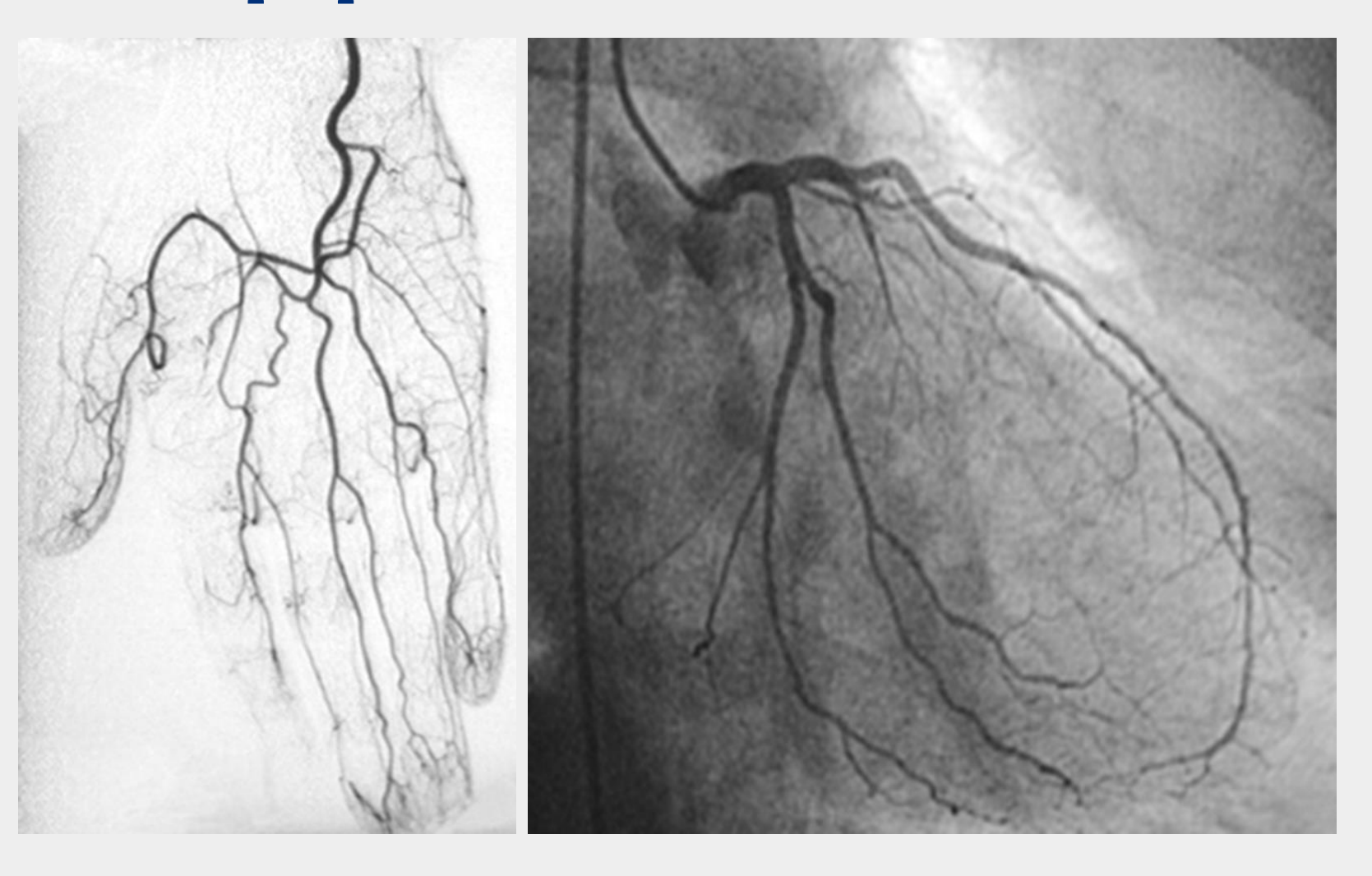
### Холецистография



#### Ретроградная холангио-панкреатография



# Ангиография

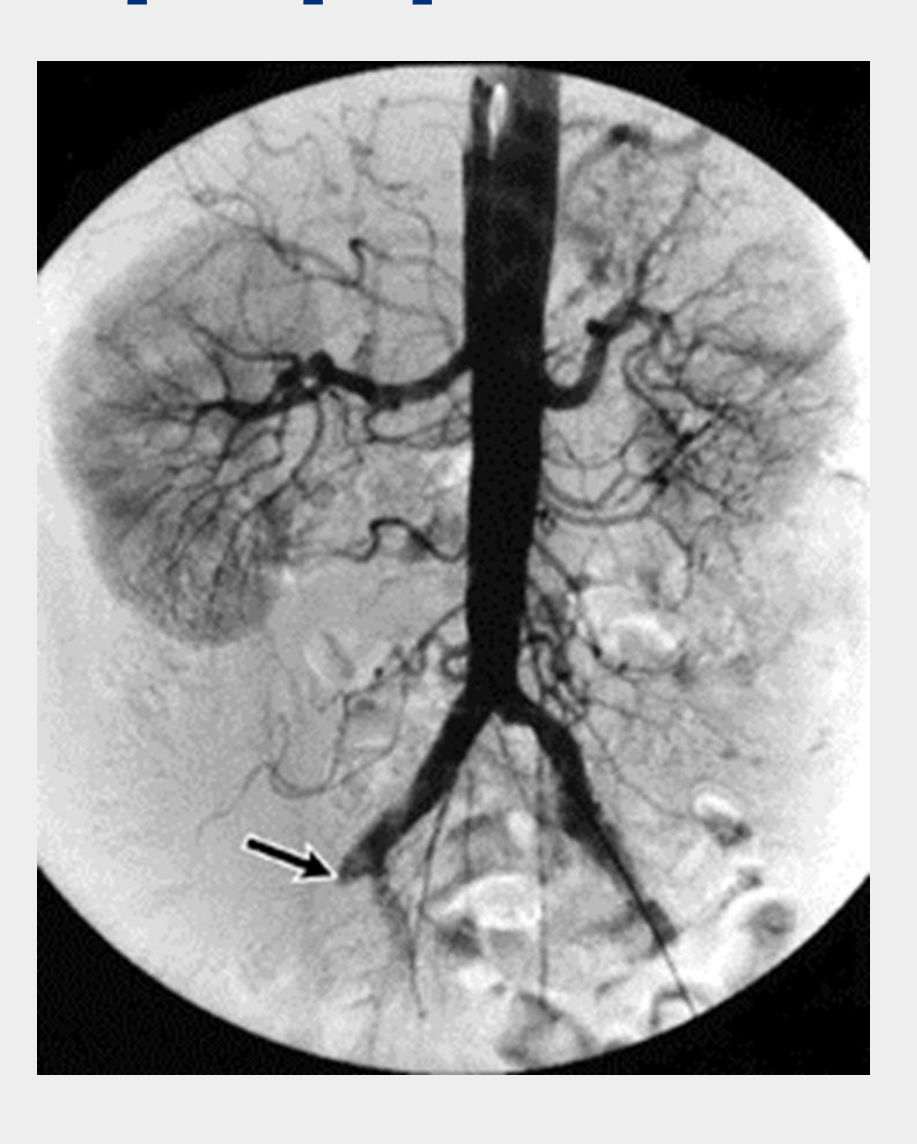


## Ангиография





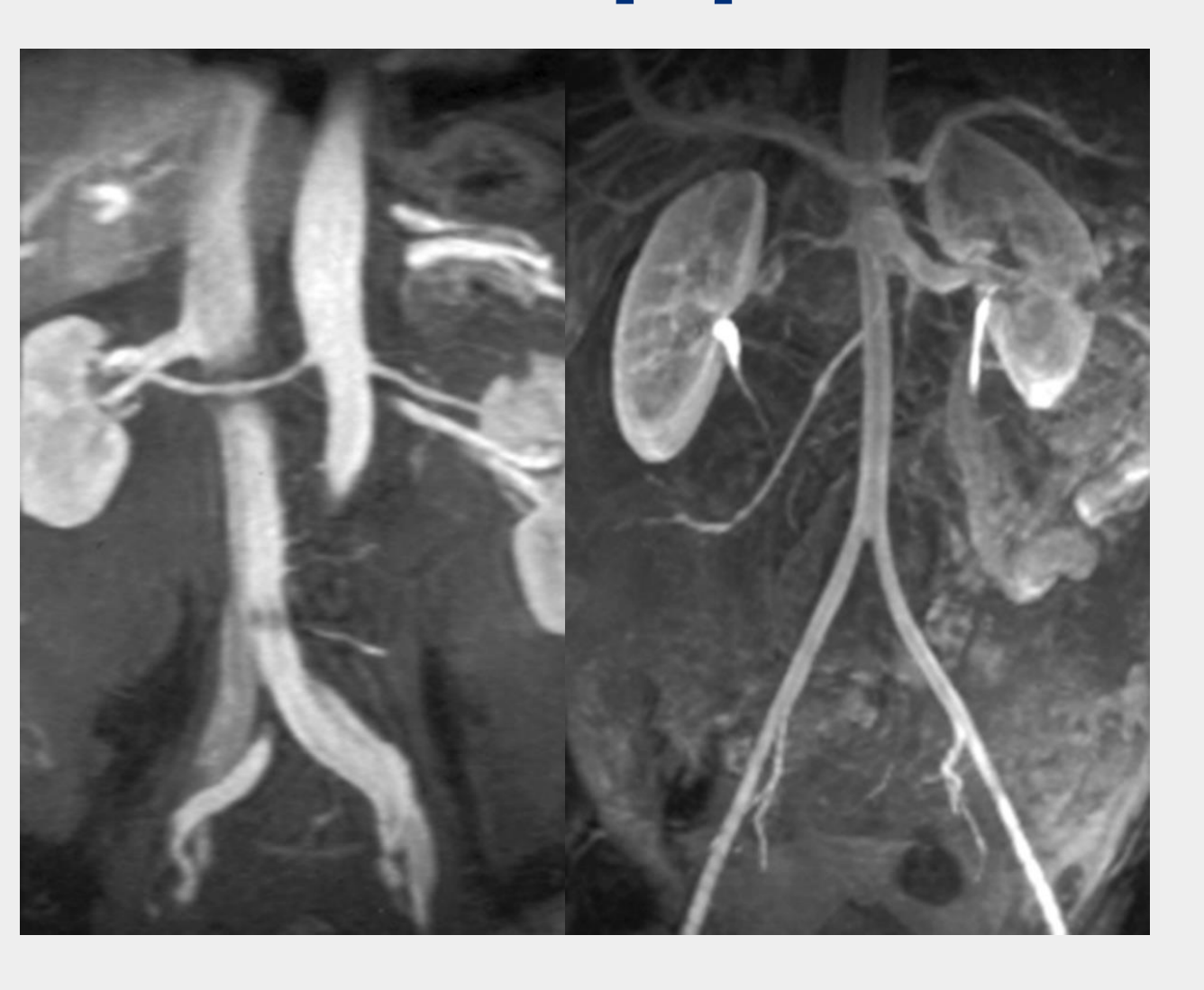
### Аортография



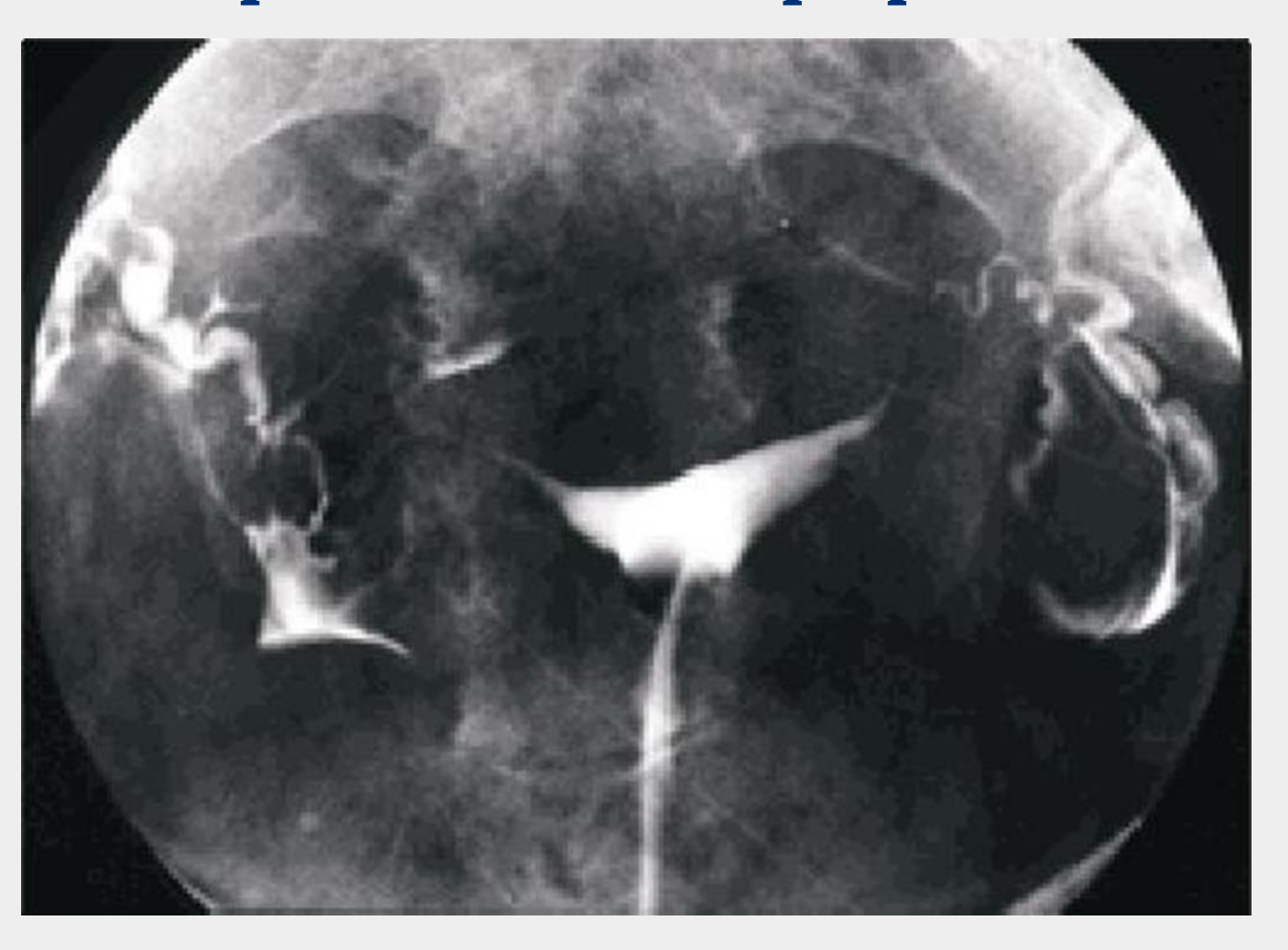
## Лимфография



### КТ- и МР-ангиография

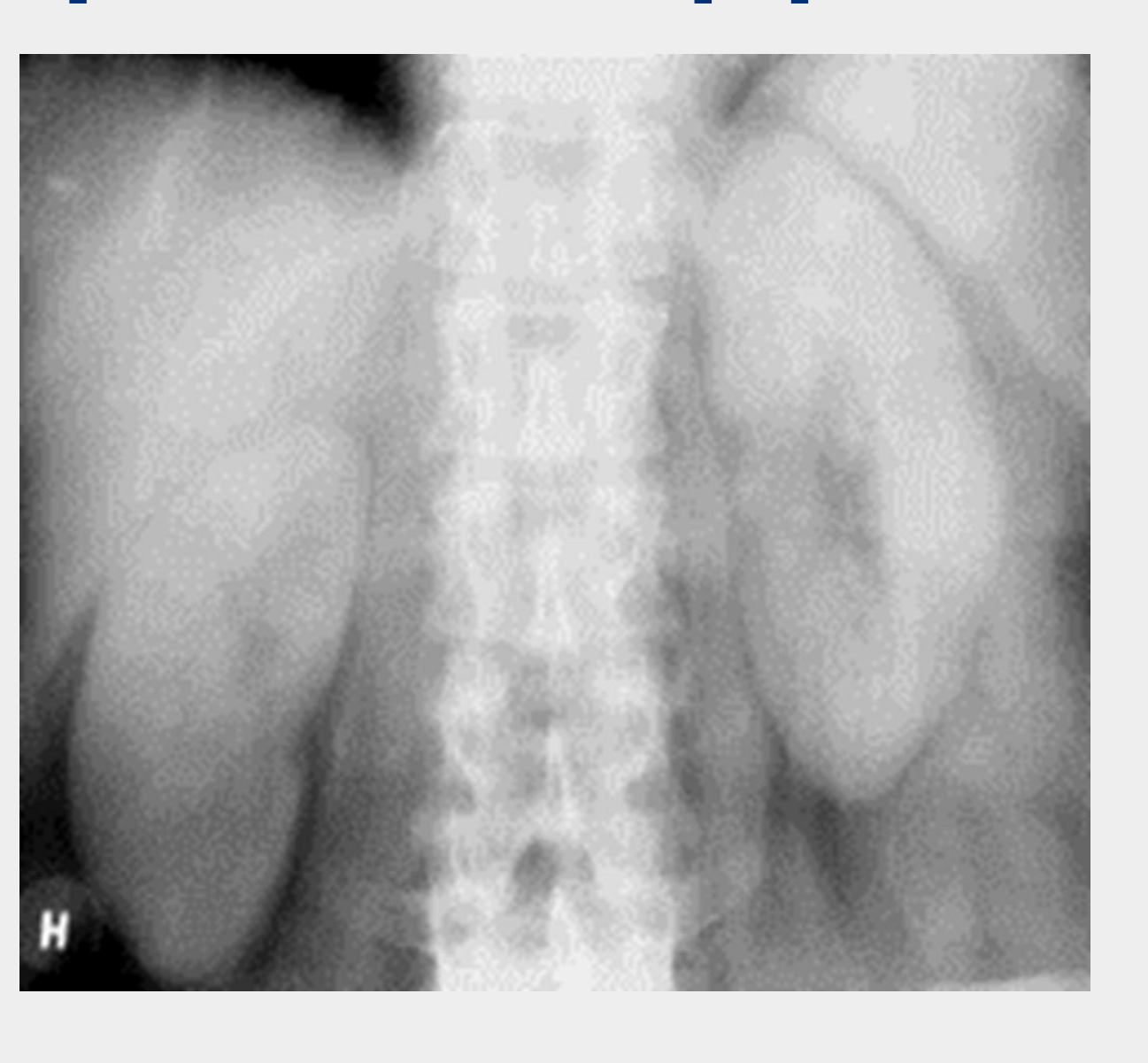


### Гистеросальпингография



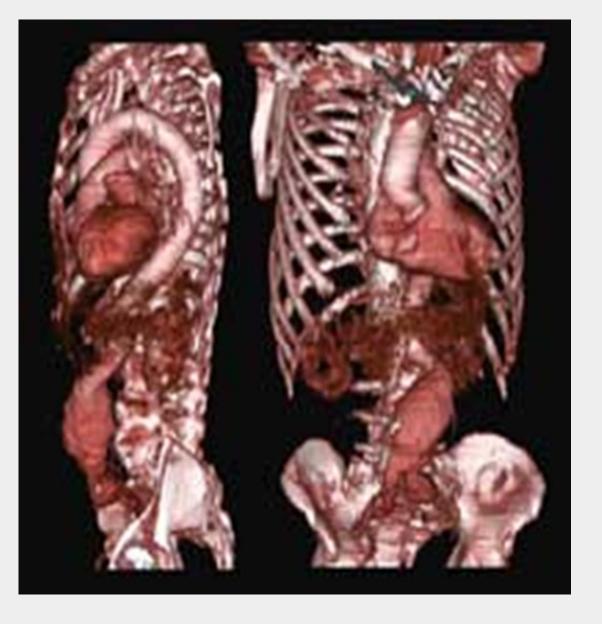


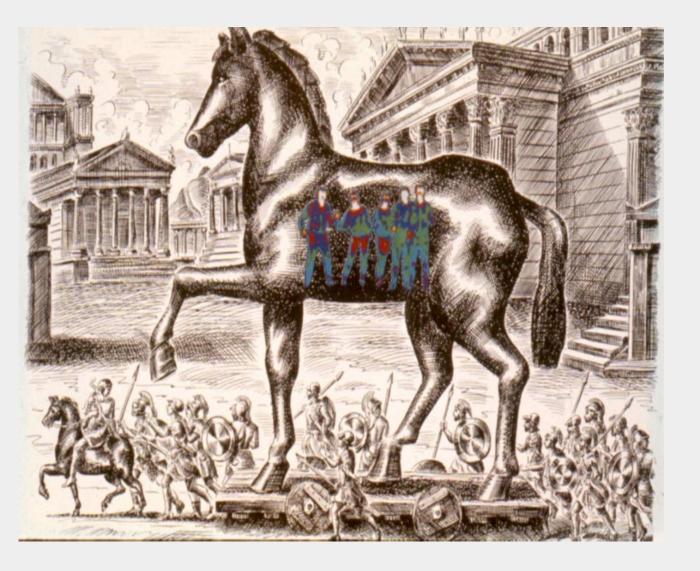
#### Продольная томография



#### Комплексное лучевое исследование



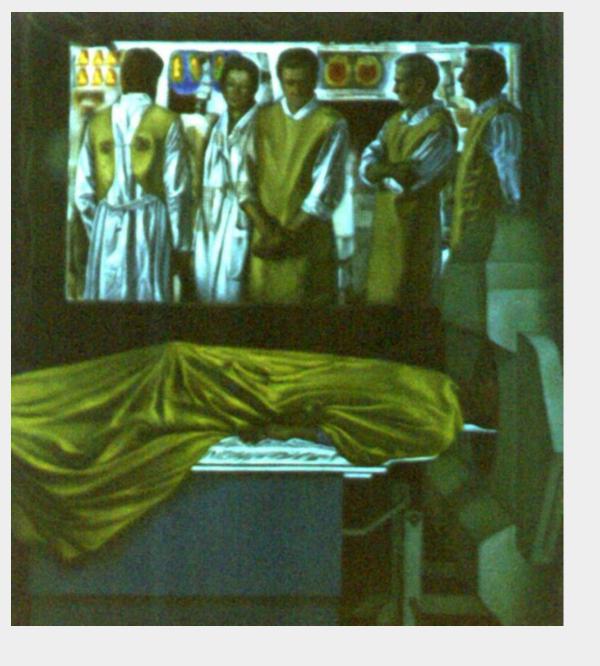












# Рентгенологический метод лучевой диагностики

Кафедра лучевой диагностики и лучевой терапии Сеченовский Университет

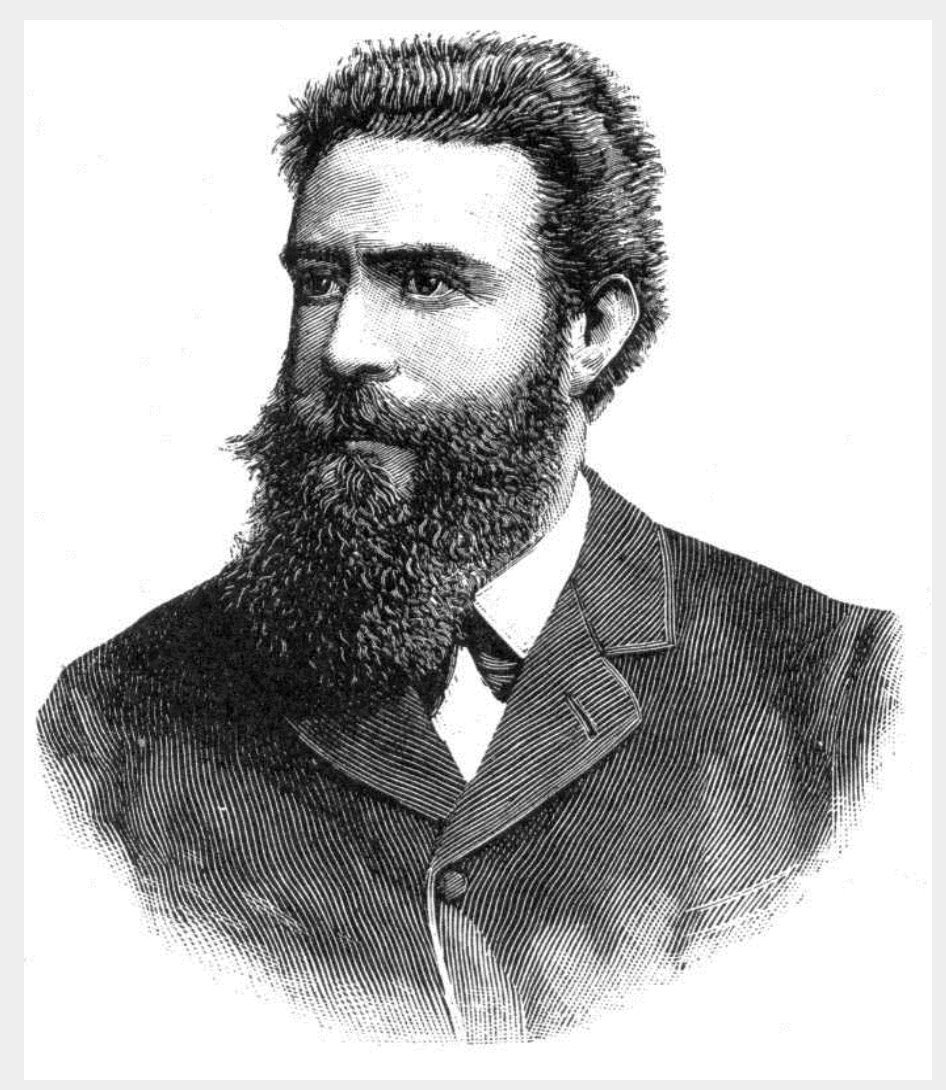
Москва, Россия

Лектор: д.м.н., профессор Шехтер Анатолий Ильич

Москва, Россия

#### Основные методы лучевой диагностики

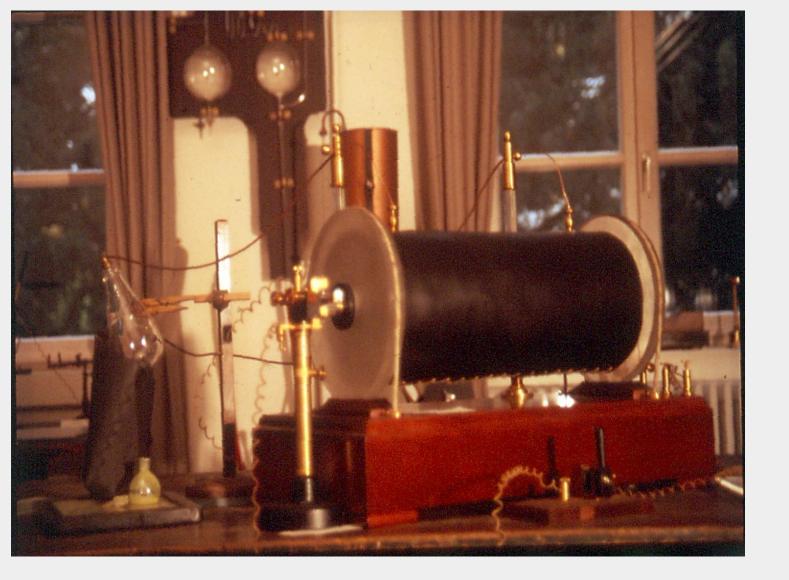
- Рентгенологический метод
- Рентгеновская компьютерная томография
- Радионуклидный метод
- Ультразвуковой метод
- Магнитно-резонансная томография и магнитно-резонансная спектроскопия
- Позитронно-эмиссионная томография

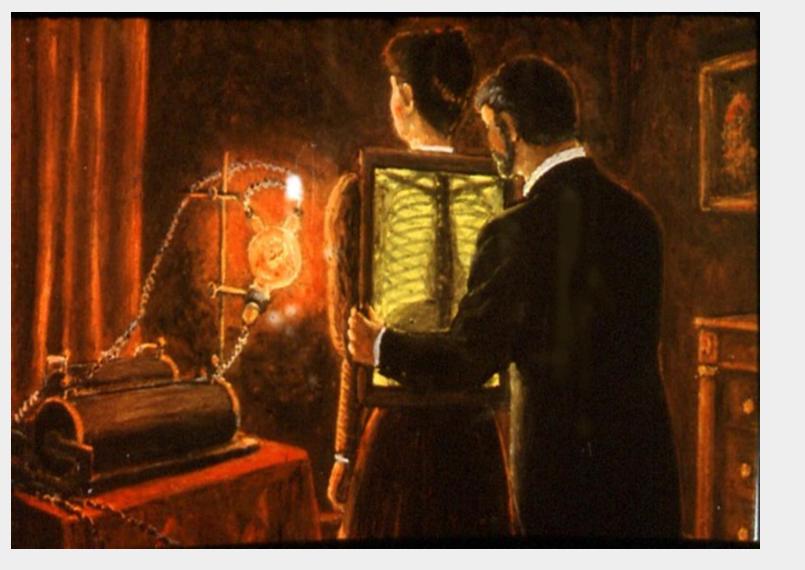


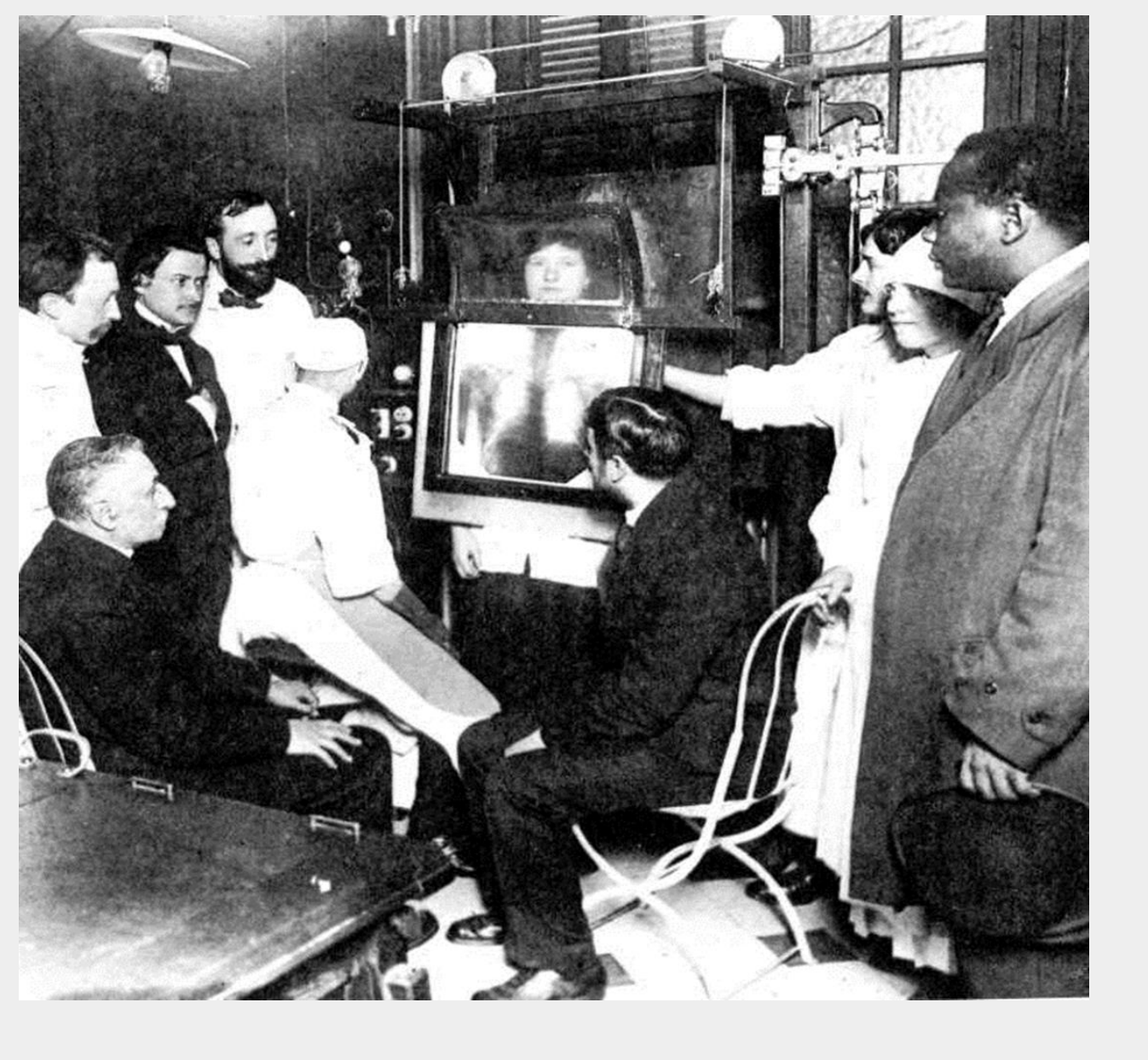


Вильгельм Конрад Рентген (1845-1923)



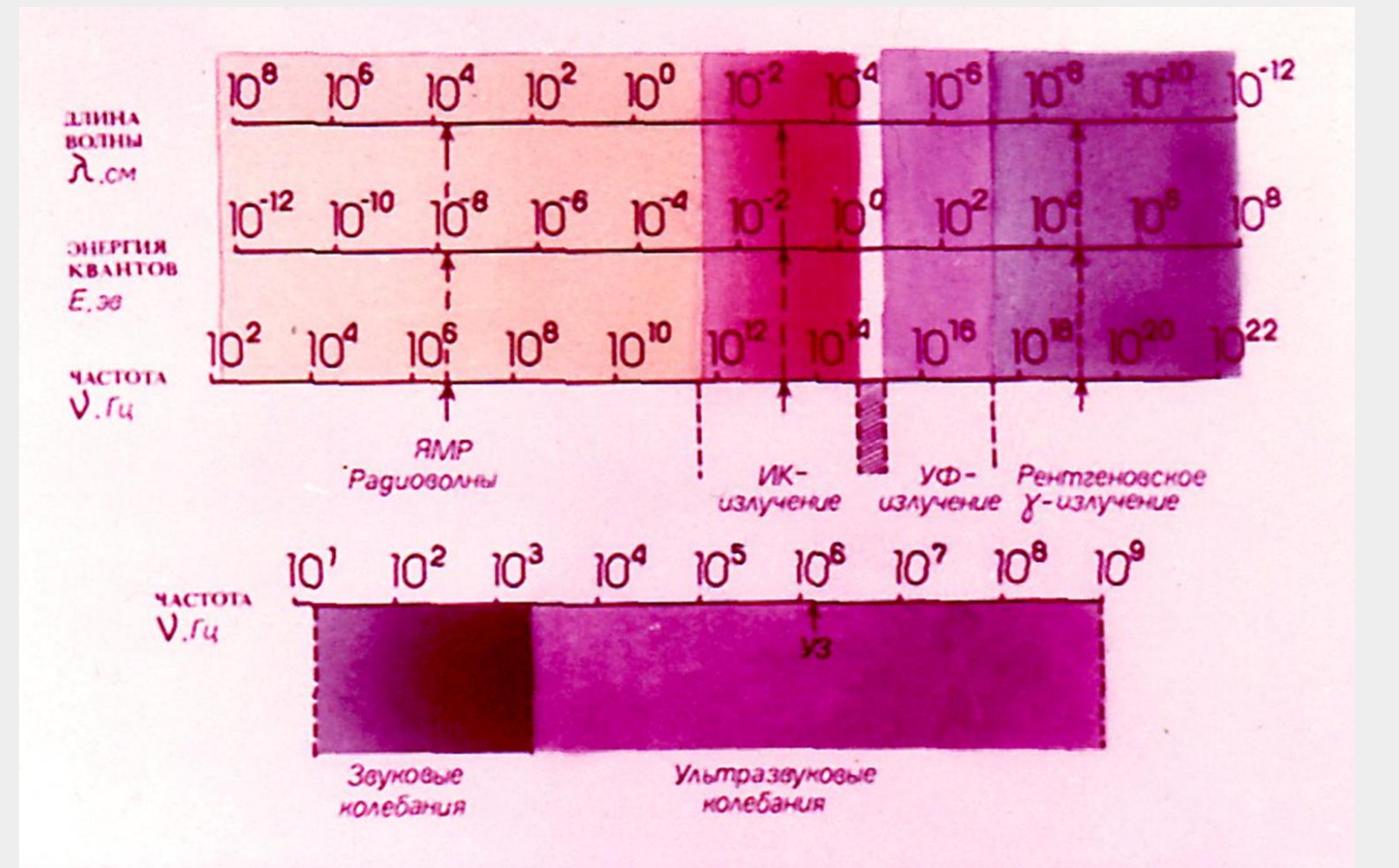




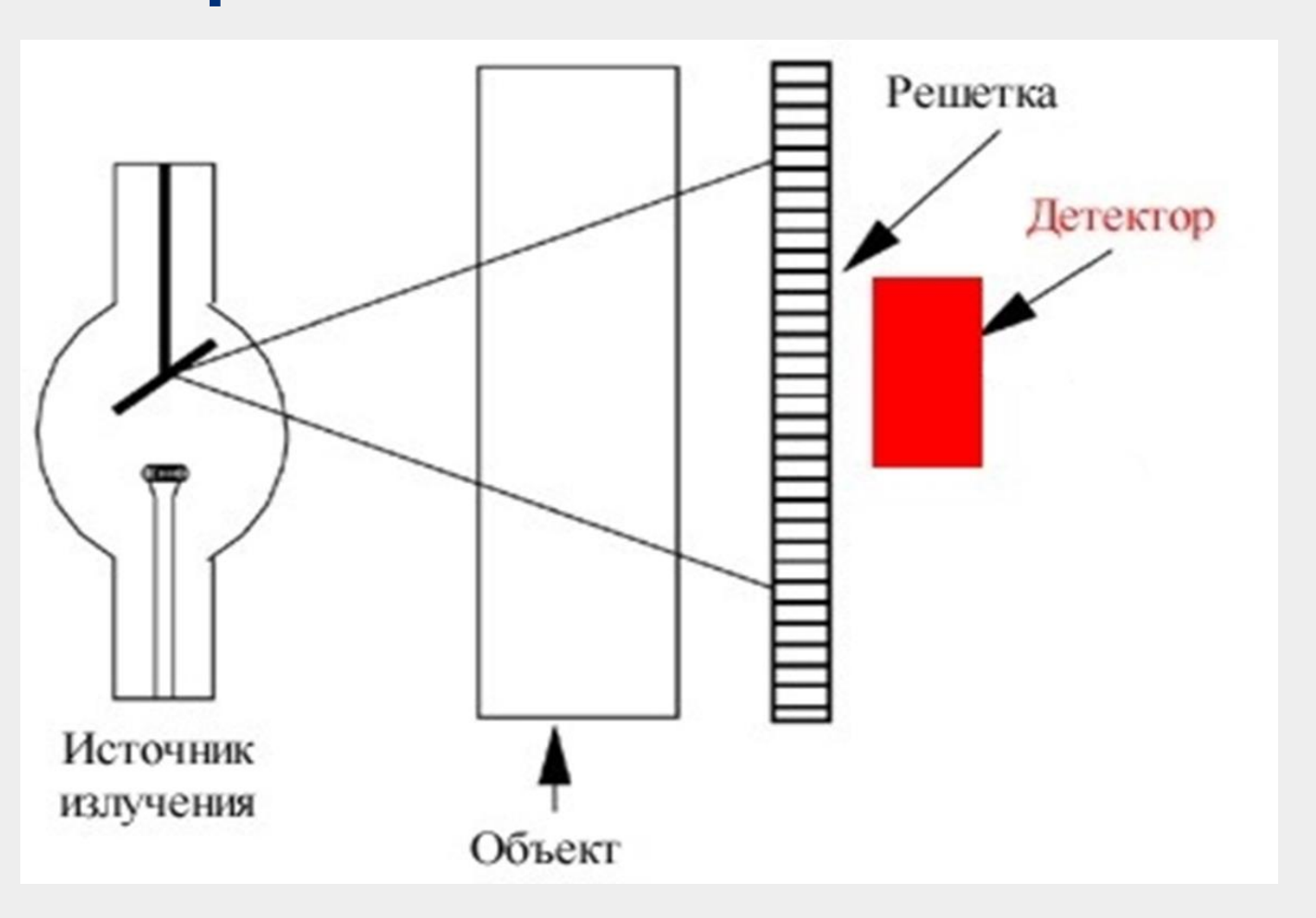


#### Свойства рентгеновского излучения

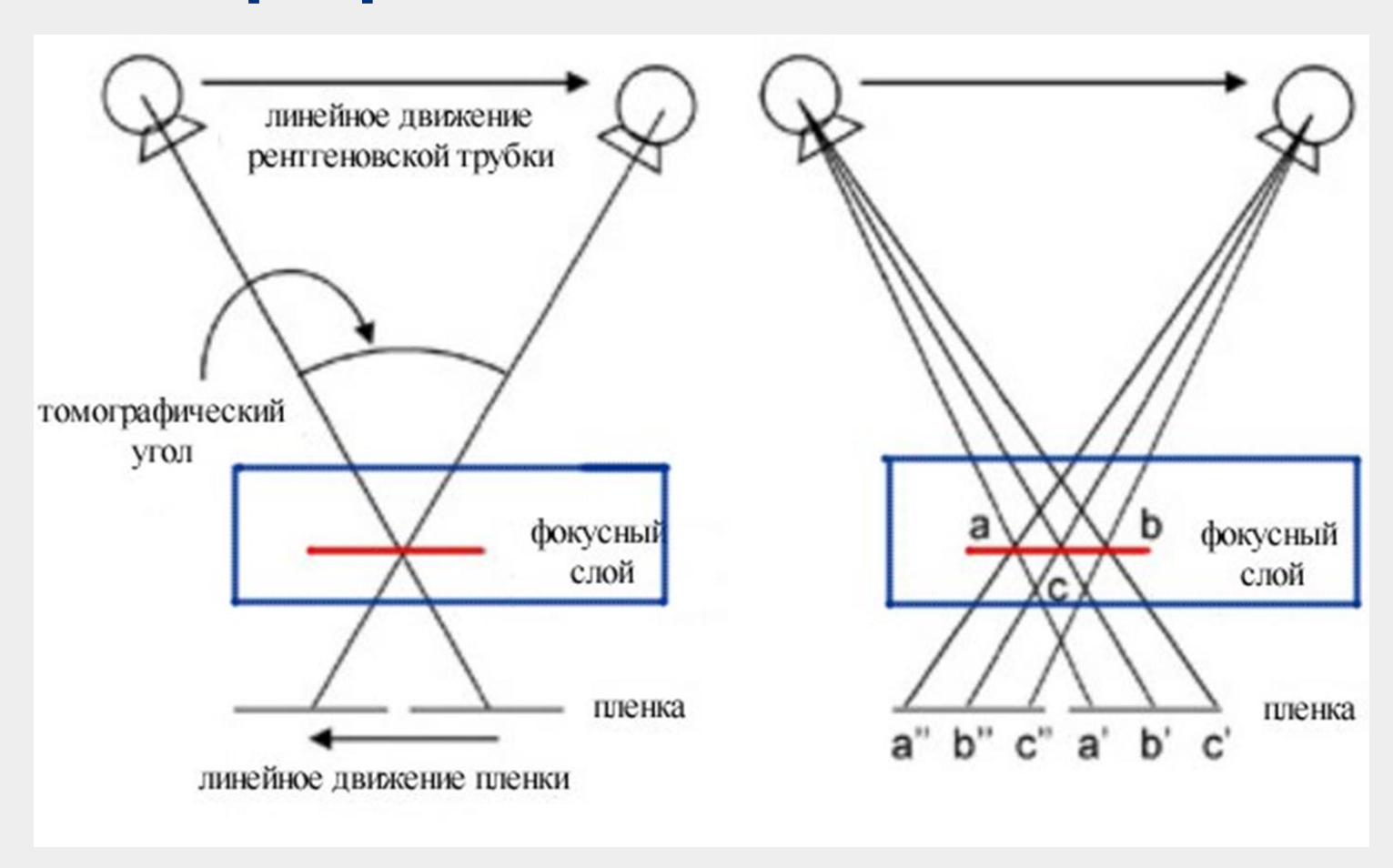
- Высокая проникающая способность
- Поглощение
- Рассеивание
- Прямолинейность распространения
- Способность вызывать флюоресценцию (свечение)
- Фотохимическое действие
- Ионизация веществ
- Биологическое действие
- Невосприимчивость органами чувств



# Принцип получения рентгеновского изображения



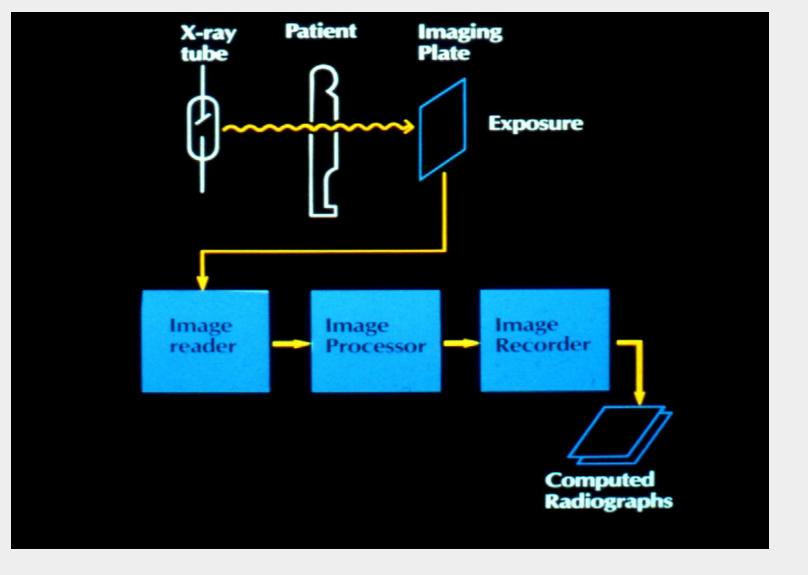
# Принцип получения продольной томографии



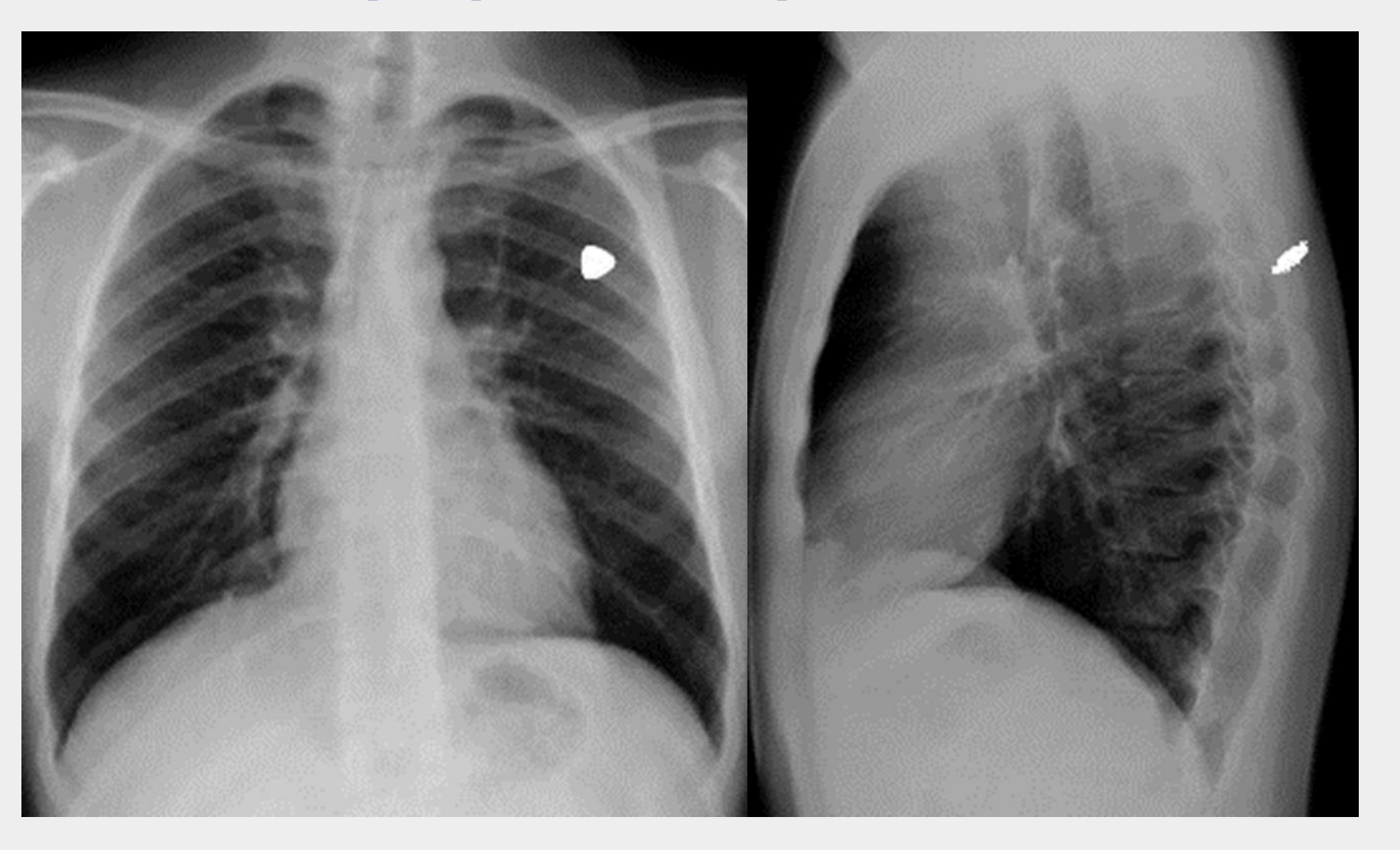
# **Технологии получения проекционных изображений**

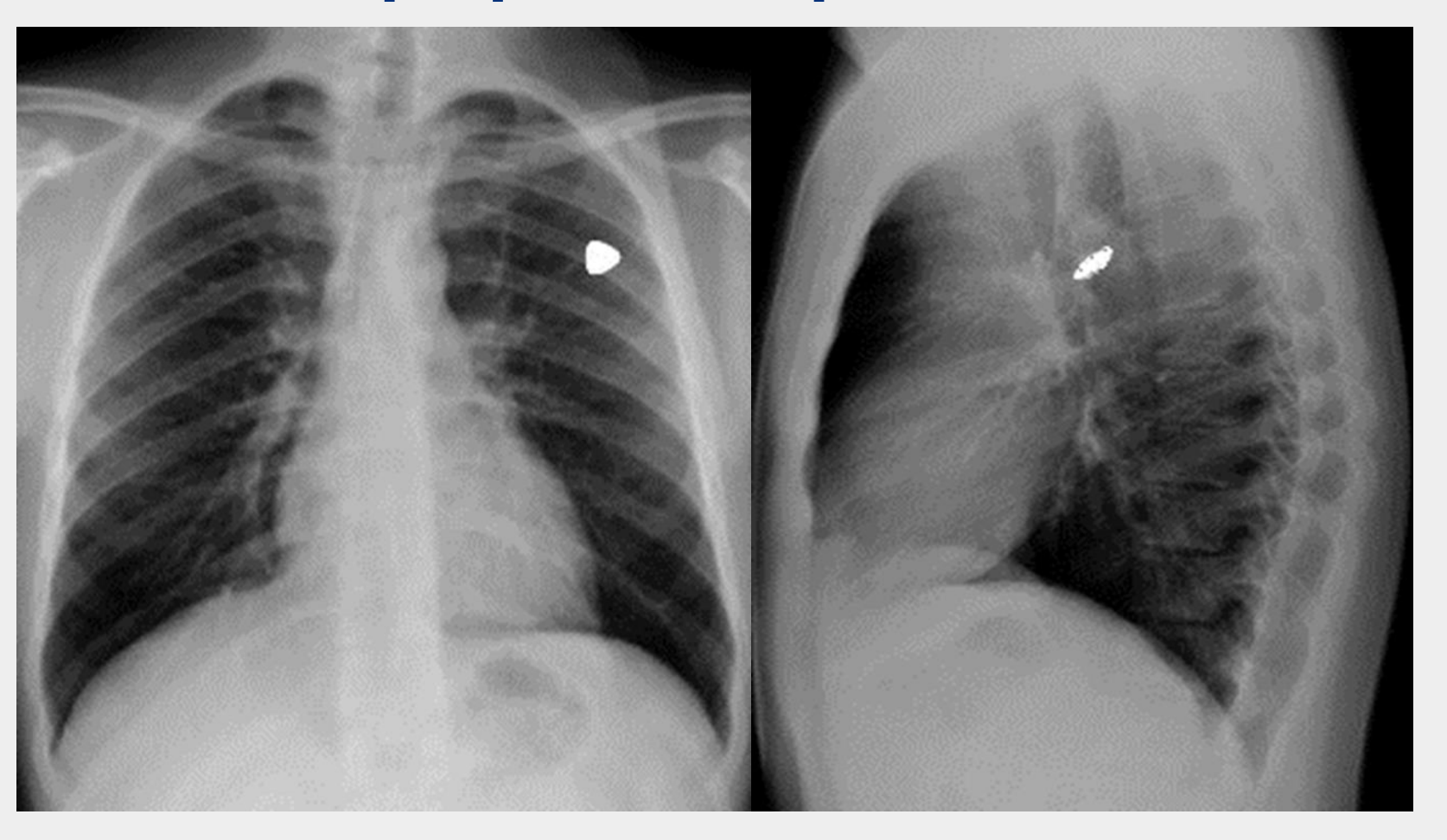
# Универсальный аналоговый рентгеновский аппарат

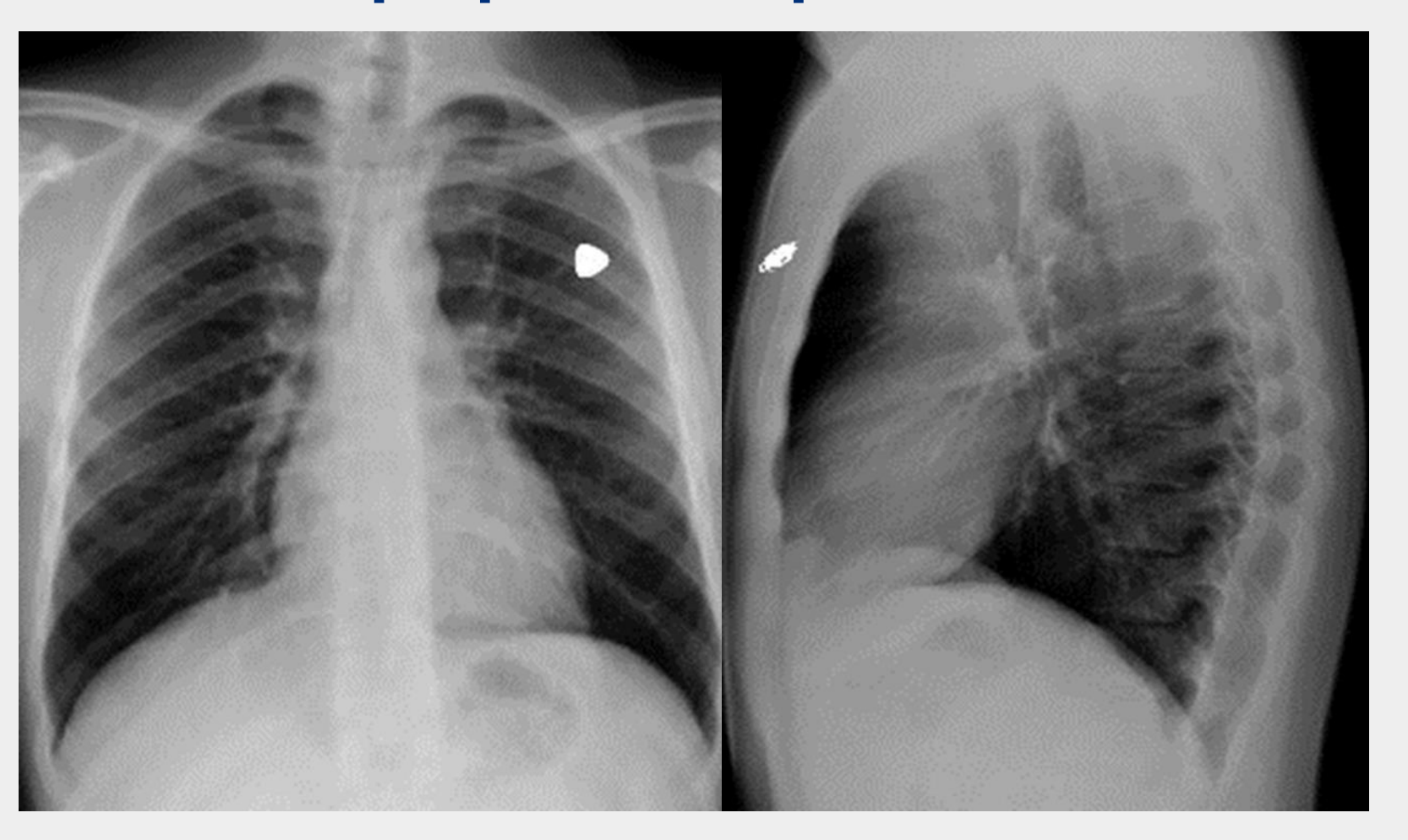


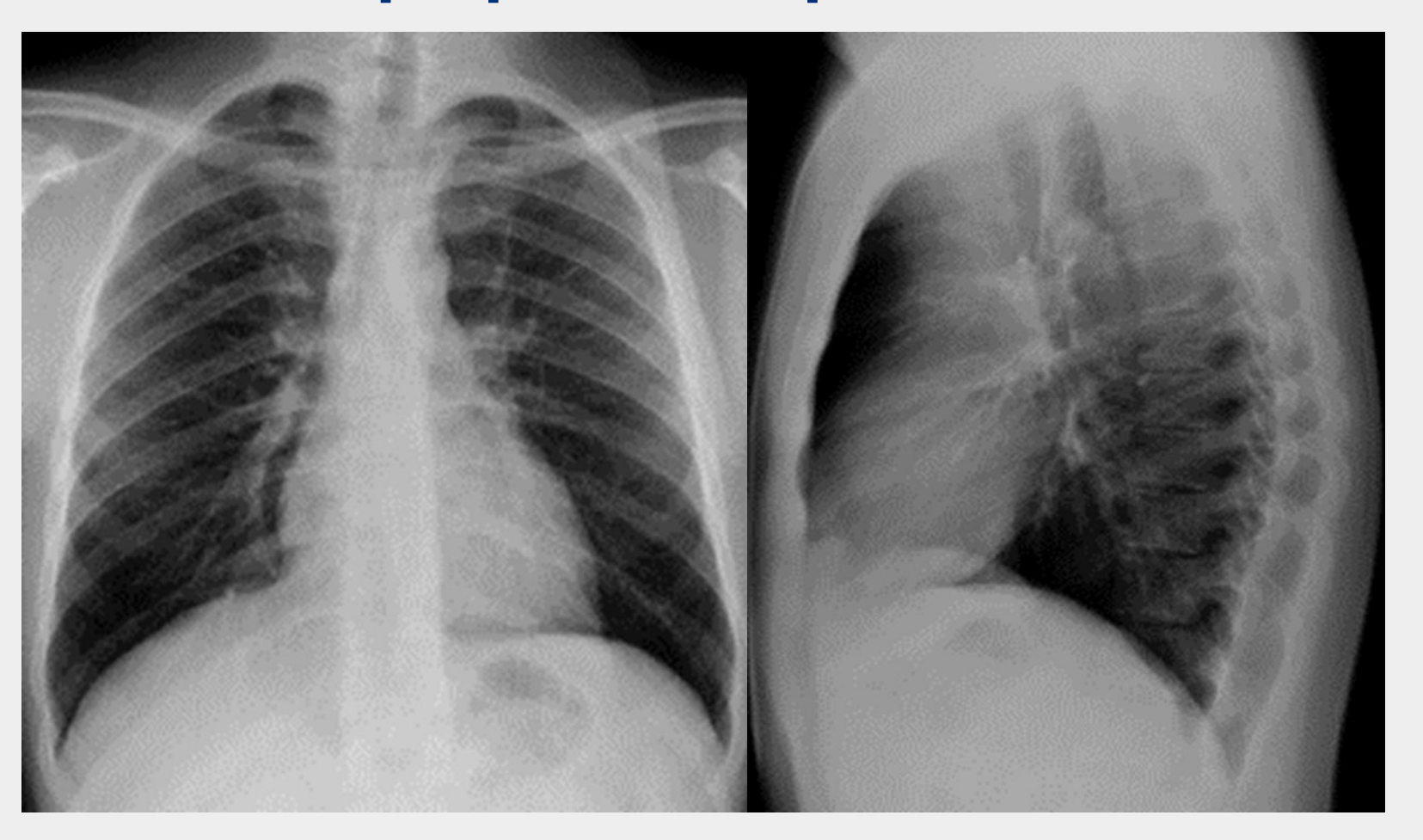


### Рентгенологический метод

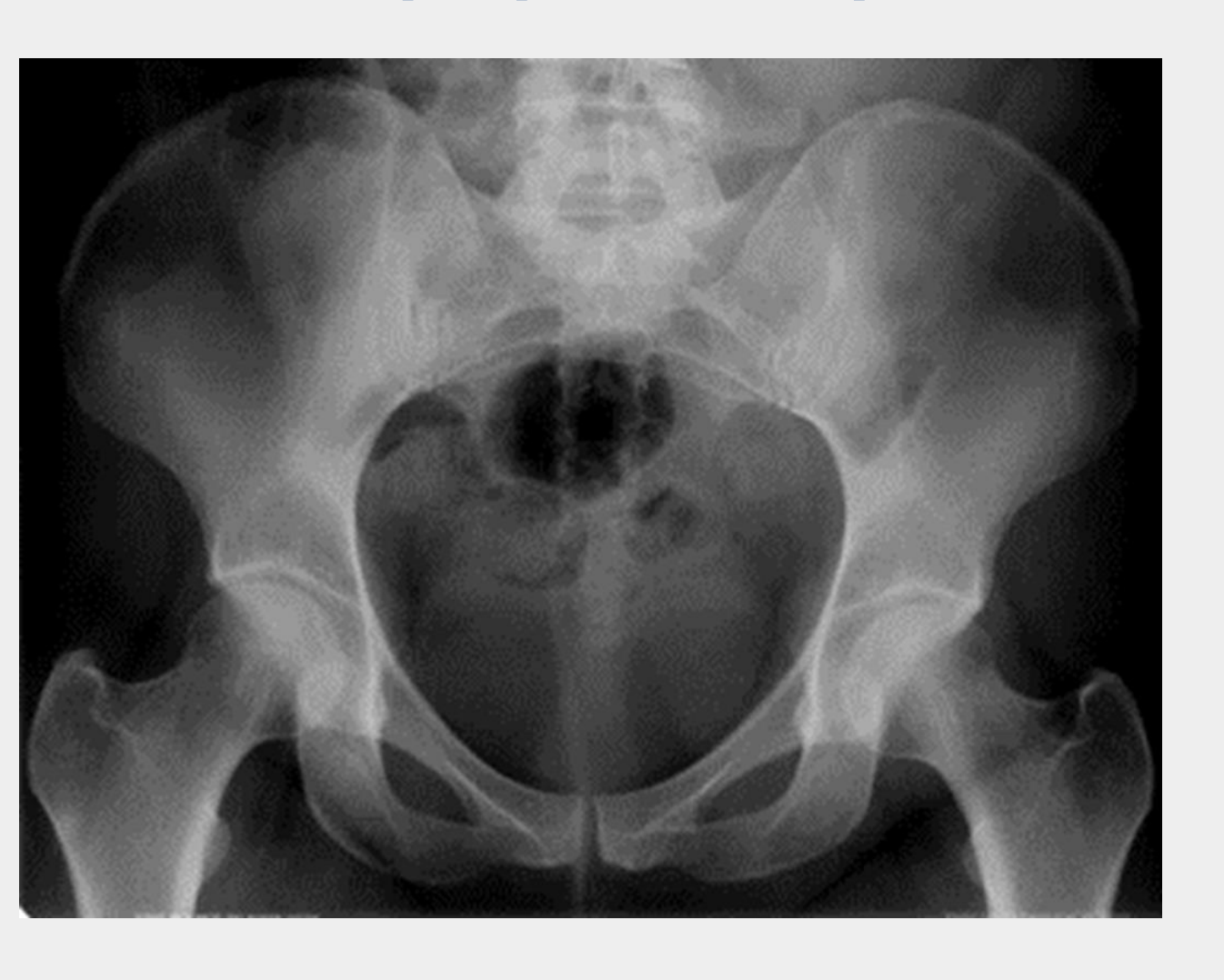


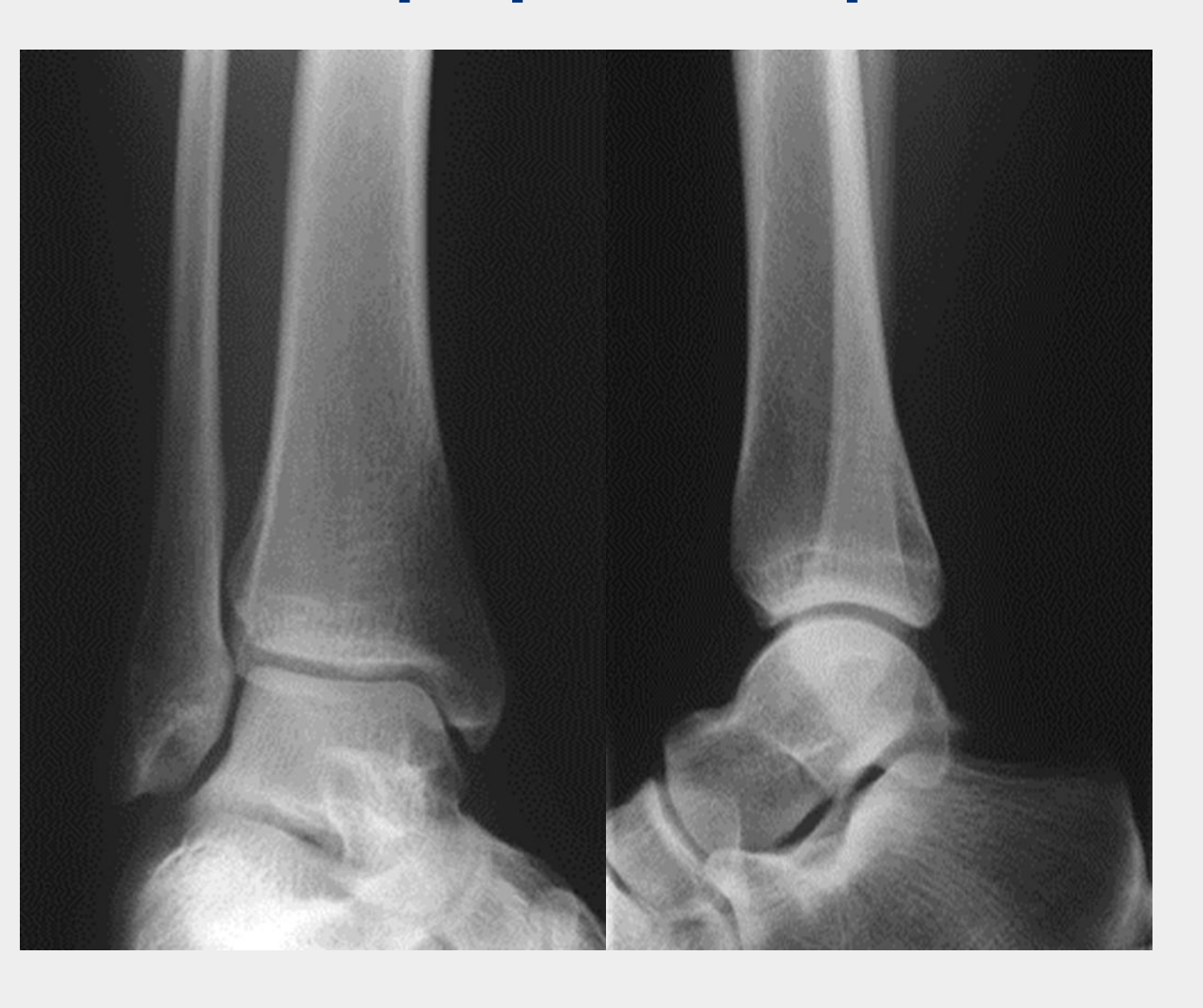
















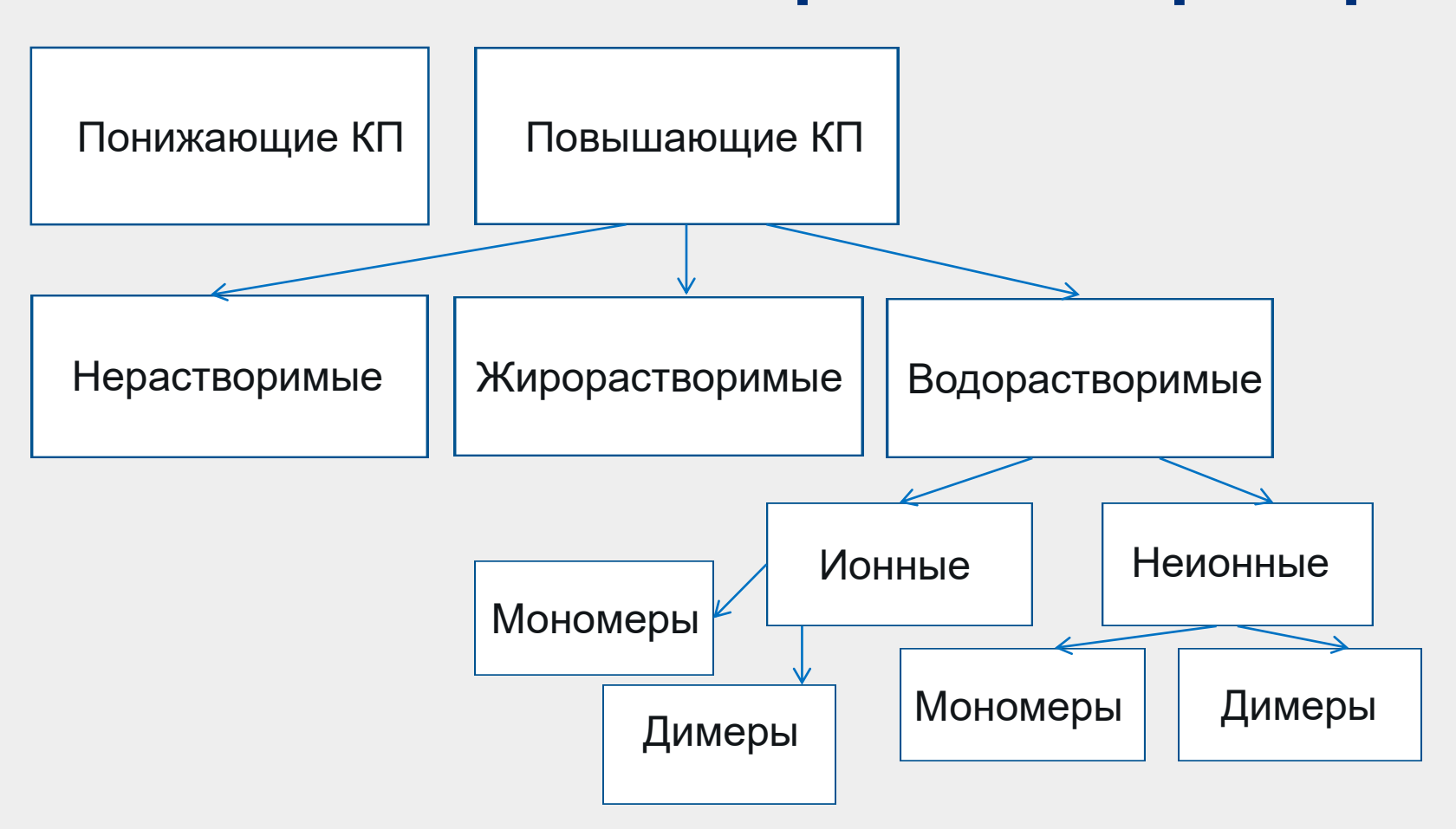
## Рентгенография прицельная



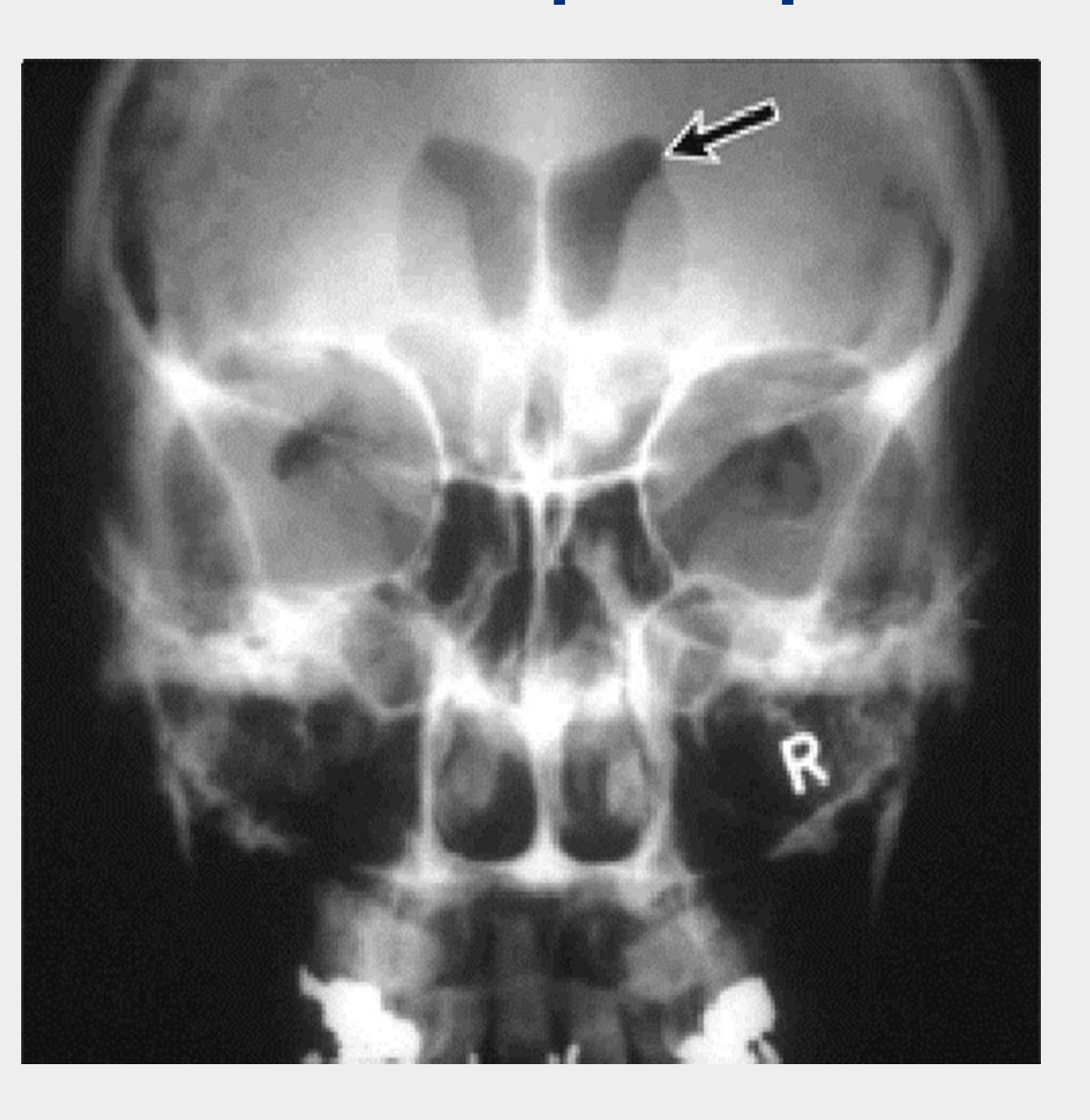
#### Возрастные особенности



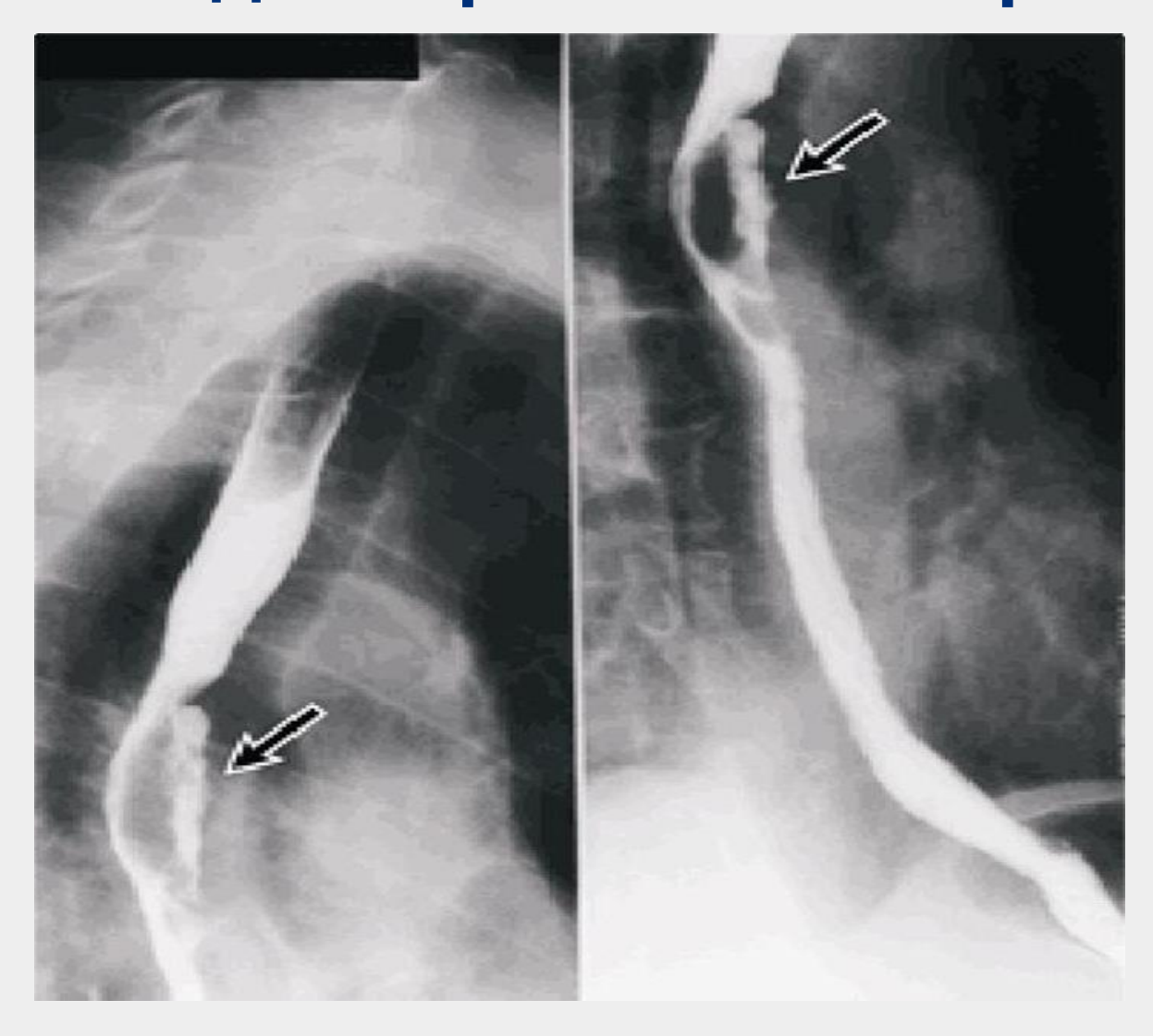
#### Основные типы контрастных препаратов



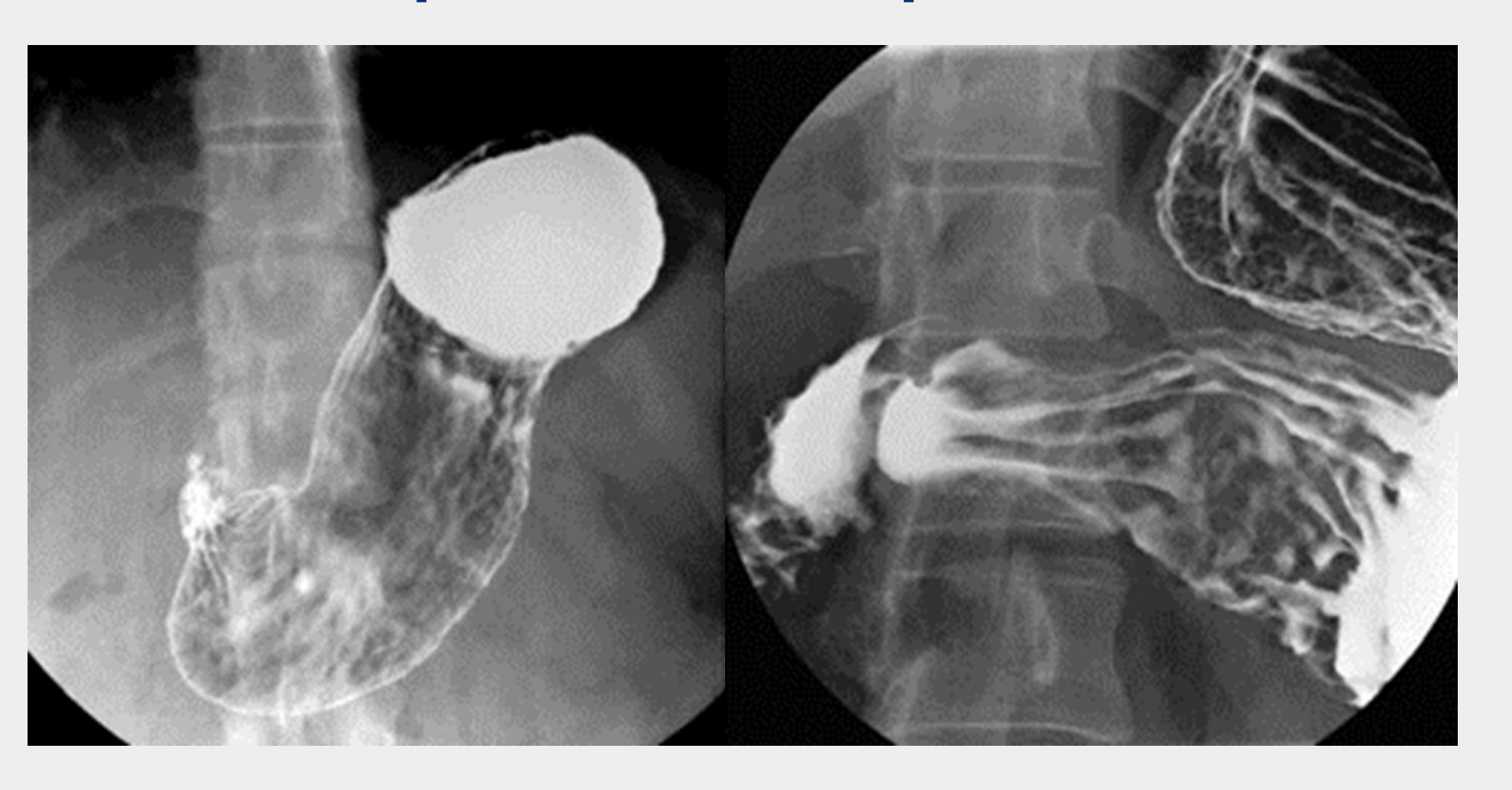
#### Пневмоэнцефалограмма



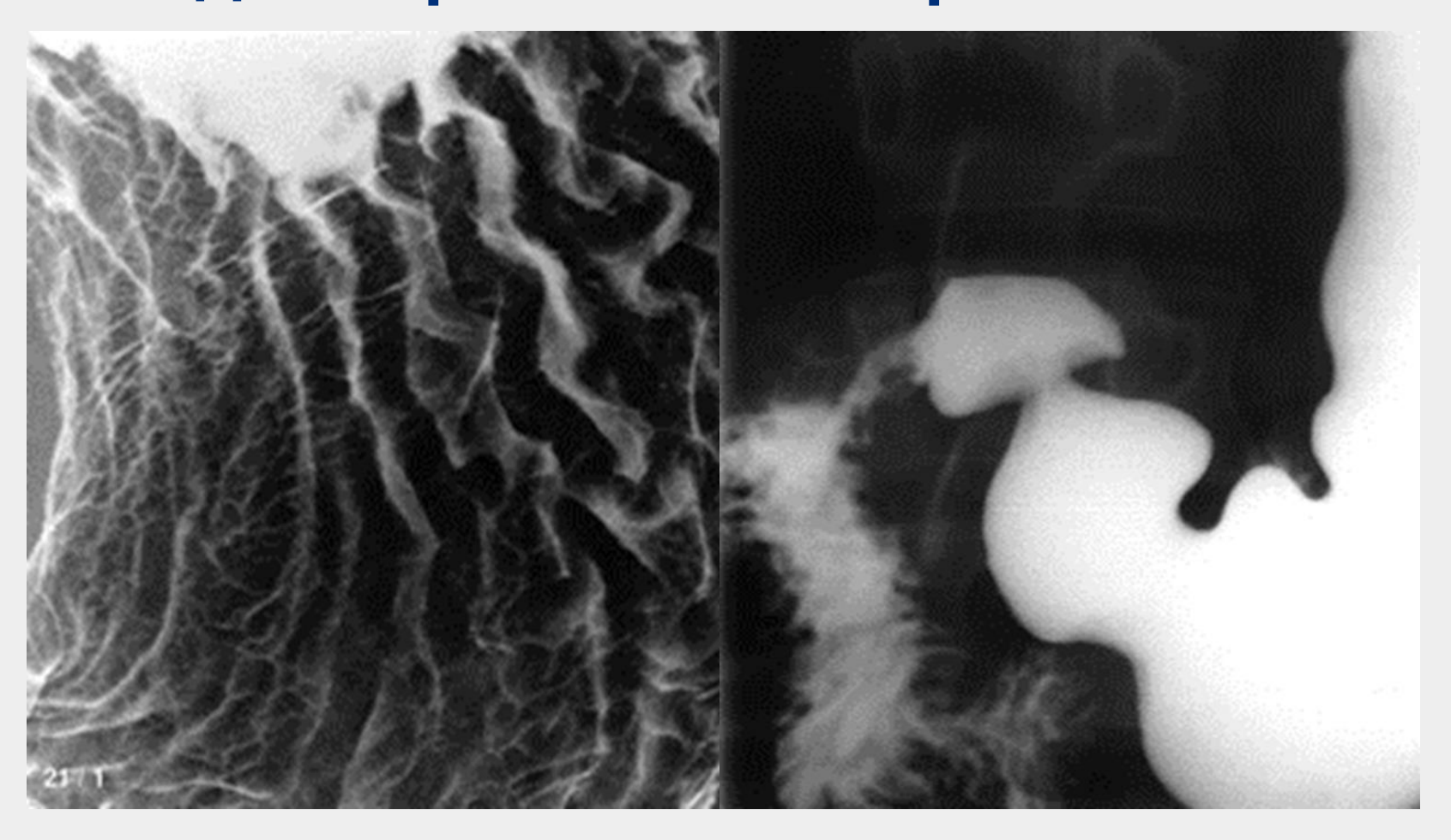
#### Метод контрастного завтрака



#### Метод контрастного завтрака



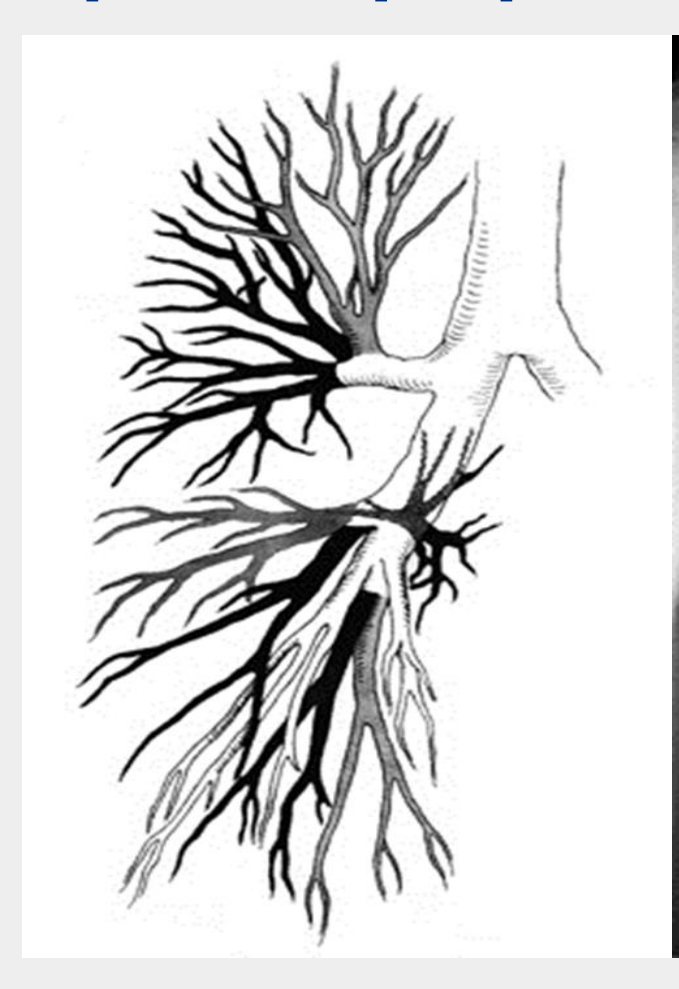
#### Метод контрастного завтрака



# Иригография



## Бронхография





#### Компьютерная томография



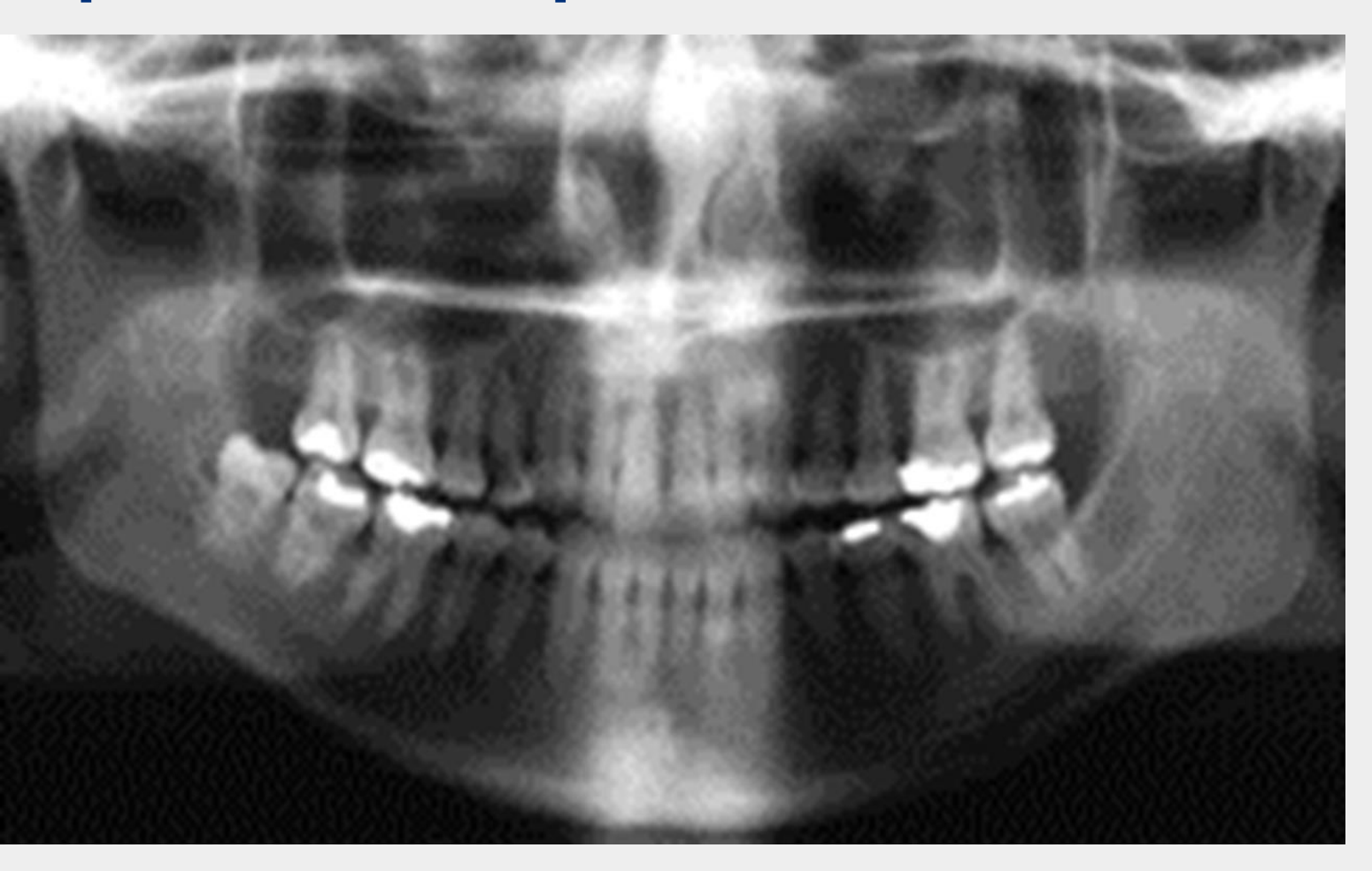
#### **Артрография**



#### Магнитно-резонансная томография



#### Ортопантомограмма



# Экскреторная урография



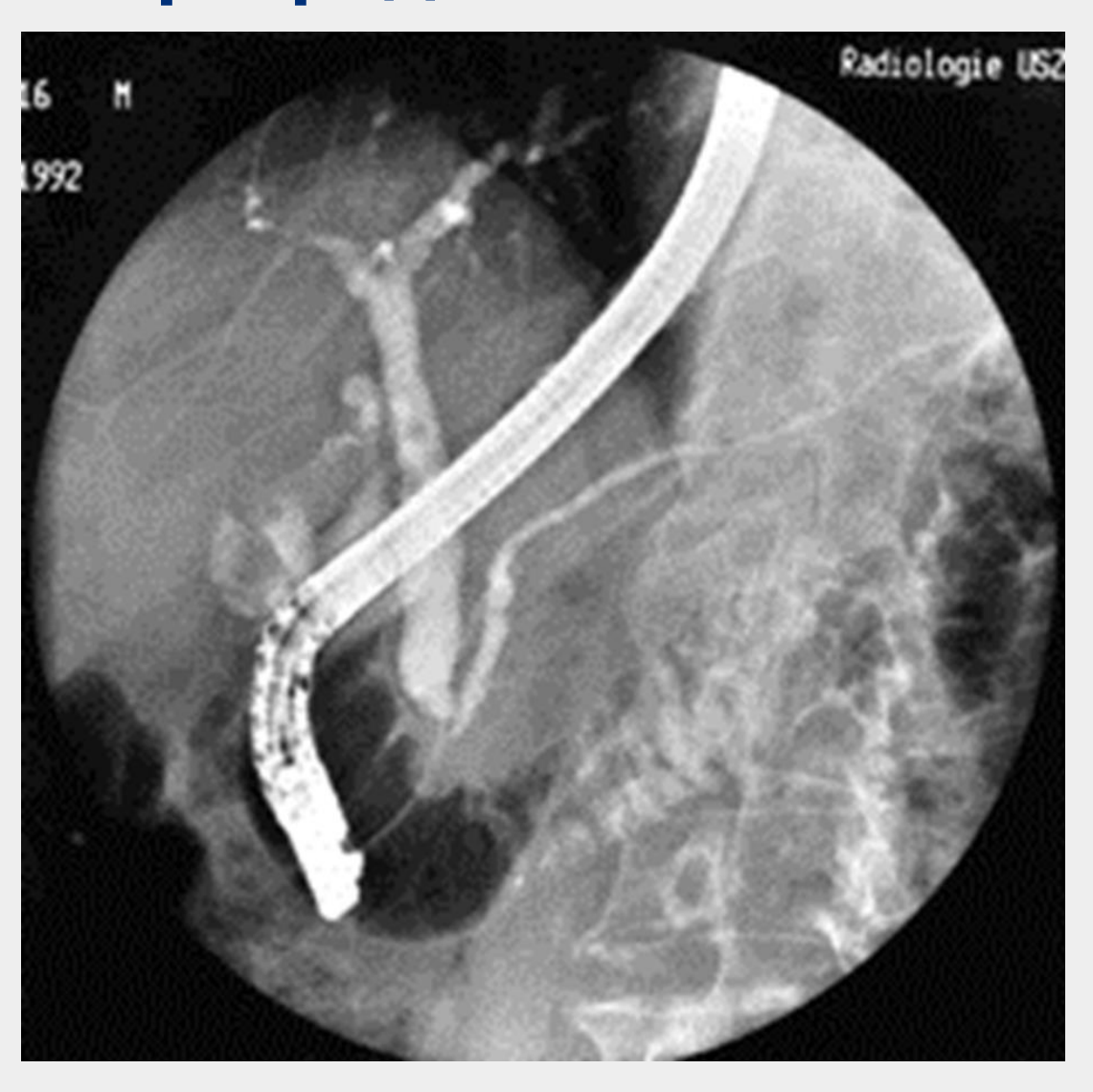
# Экскреторная урография



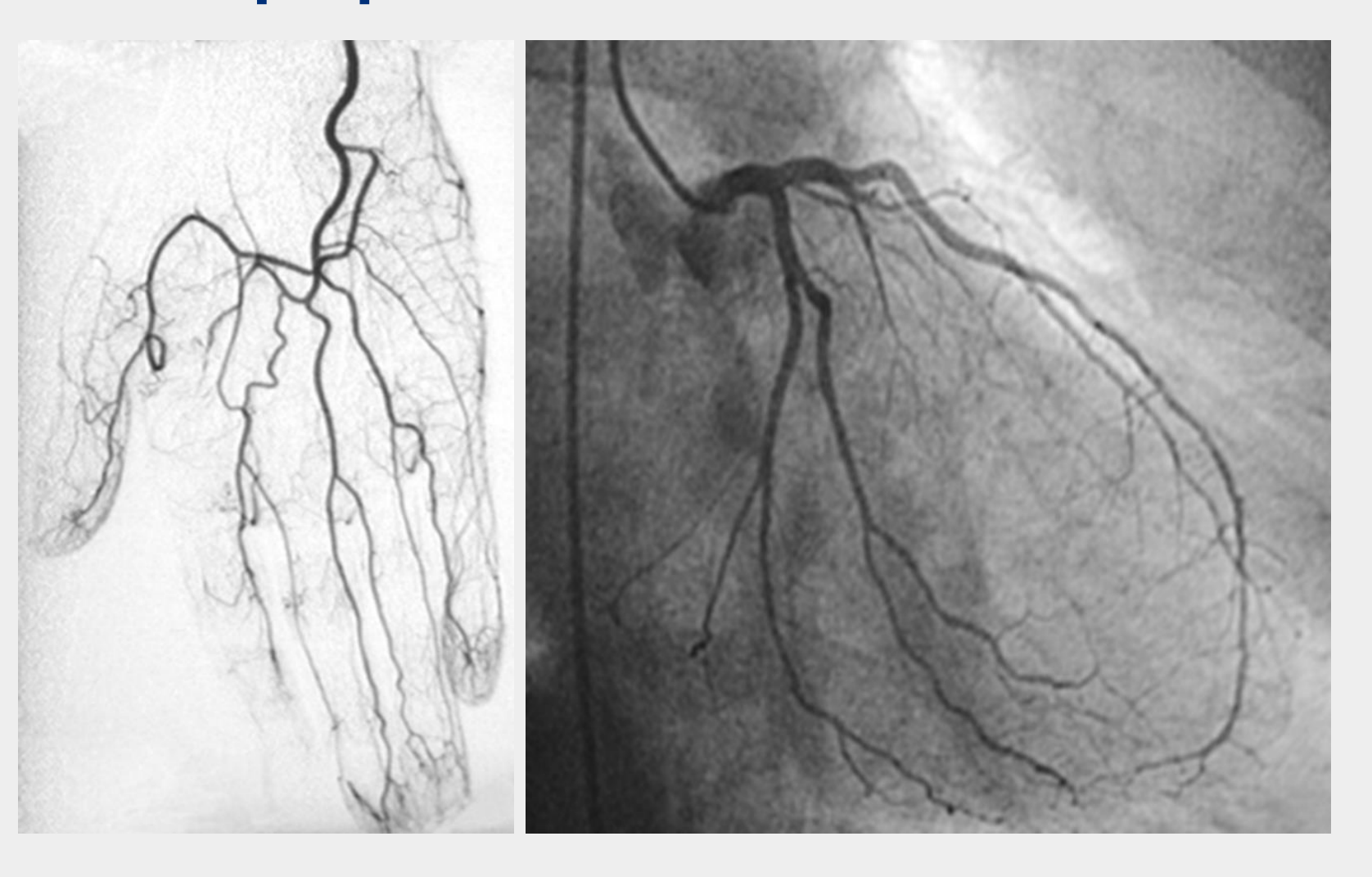
# Холецистография



#### Ретроградная холангио-панкреатография



# Ангиография

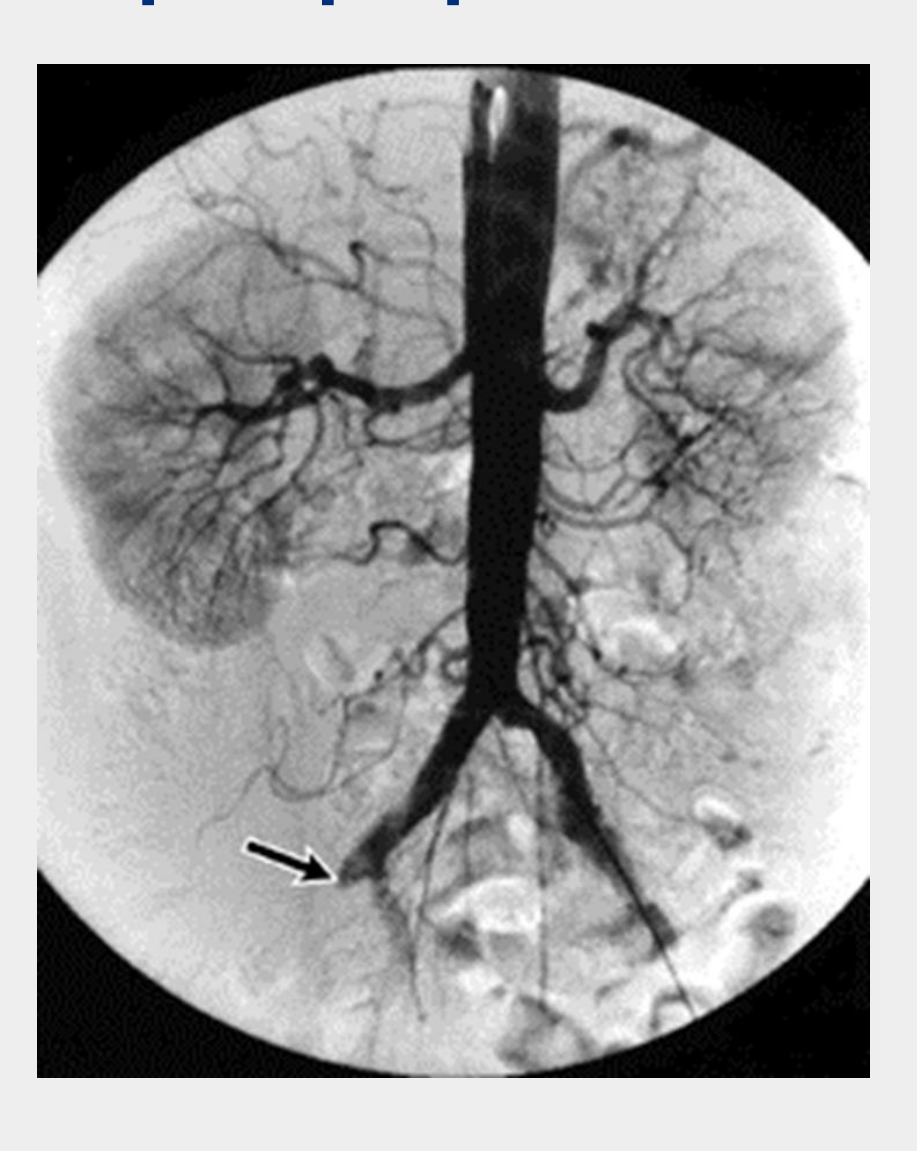


# Ангиография



#### Рентгенодиагностика

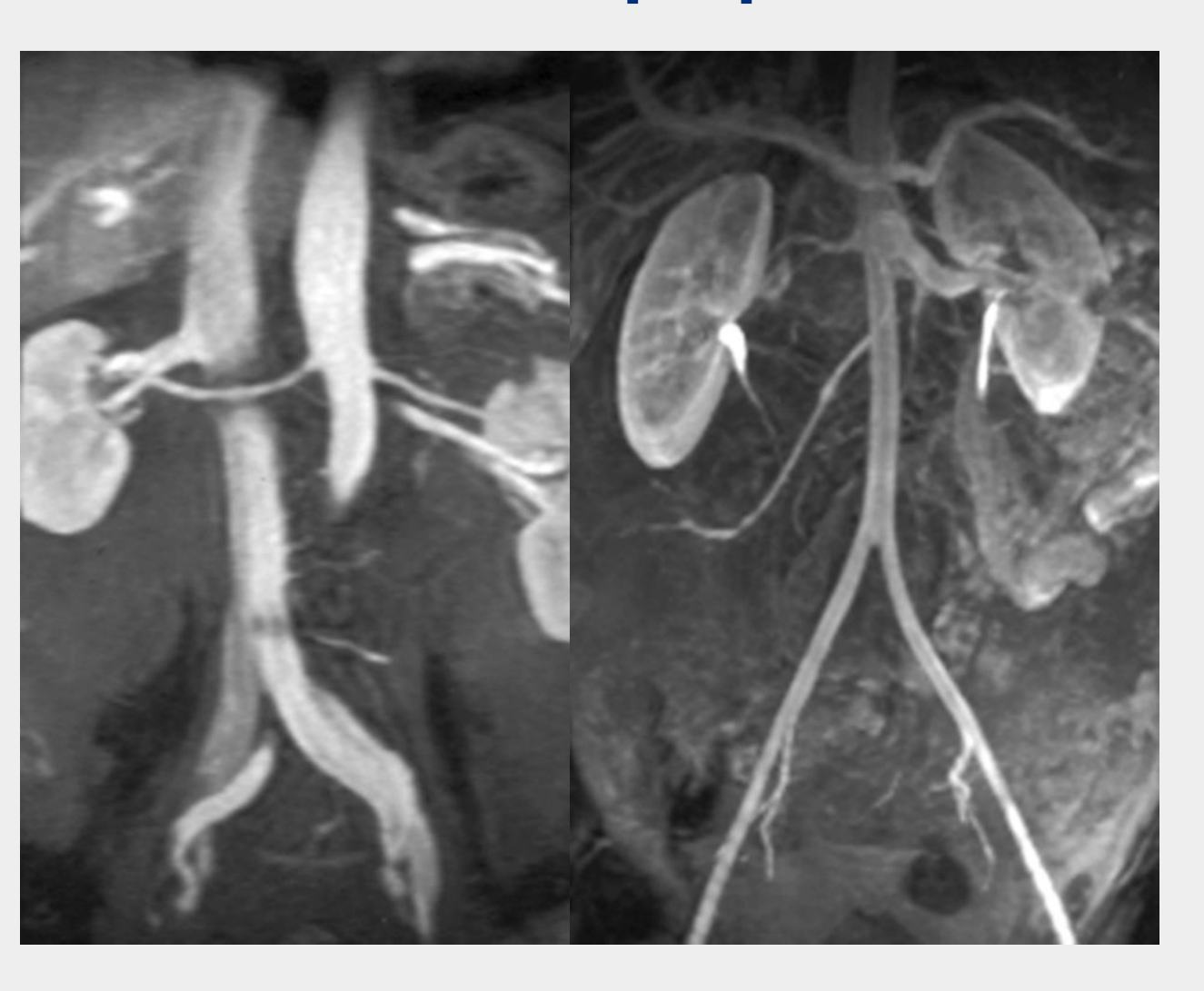
#### **Аортография**



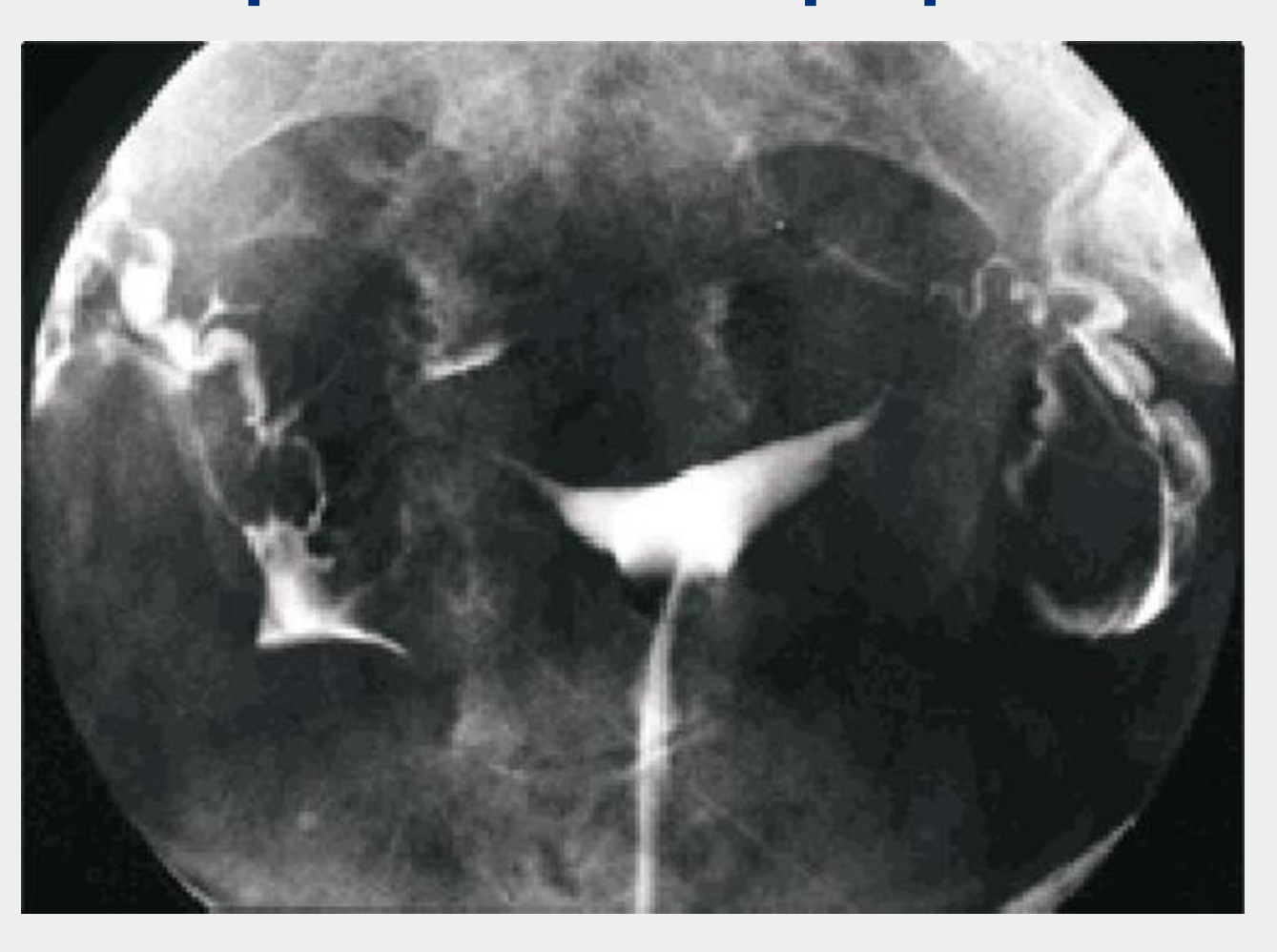
## Лимфография



## КТ- и МР-ангиография

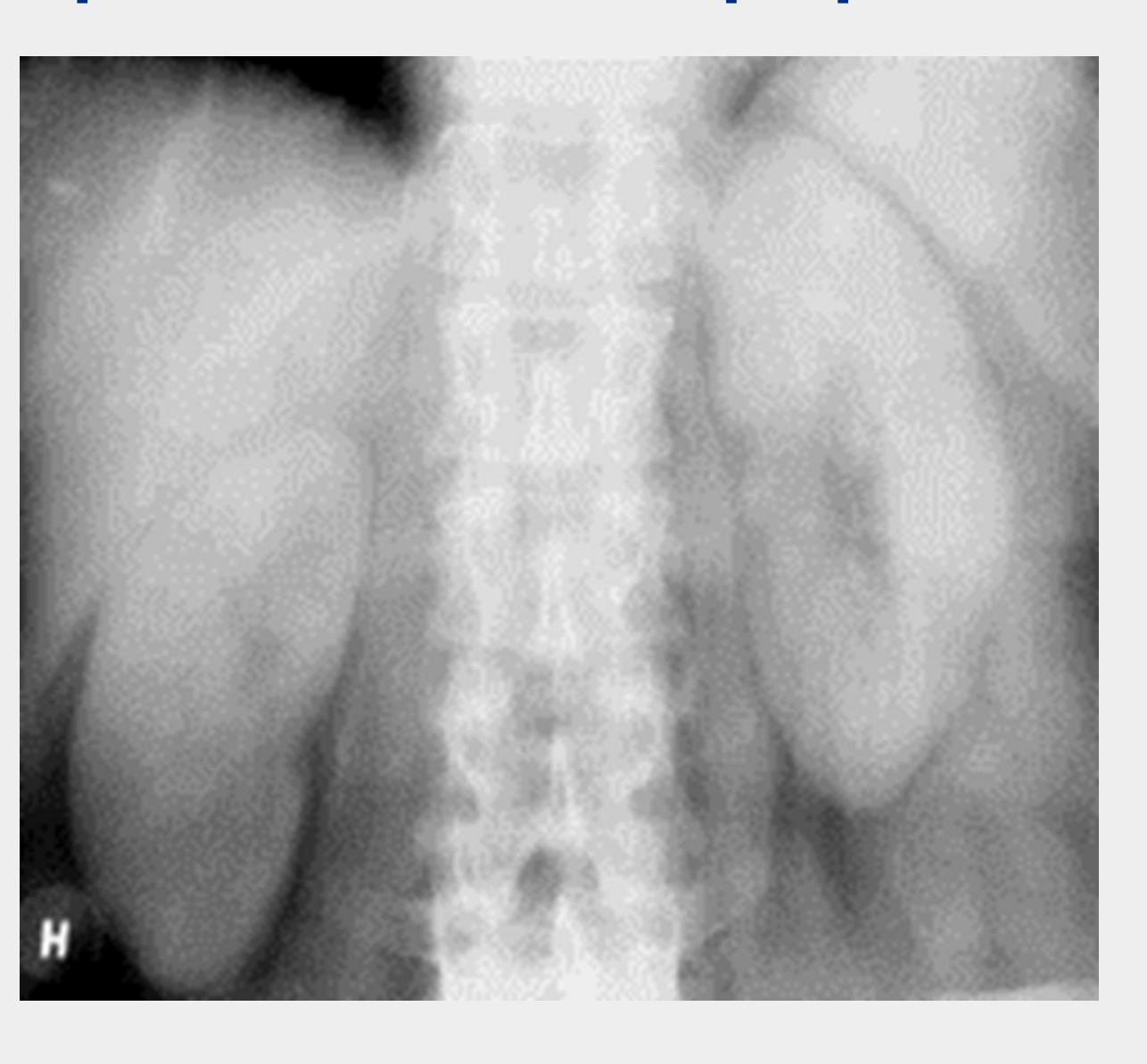


## Гистеросальпингография



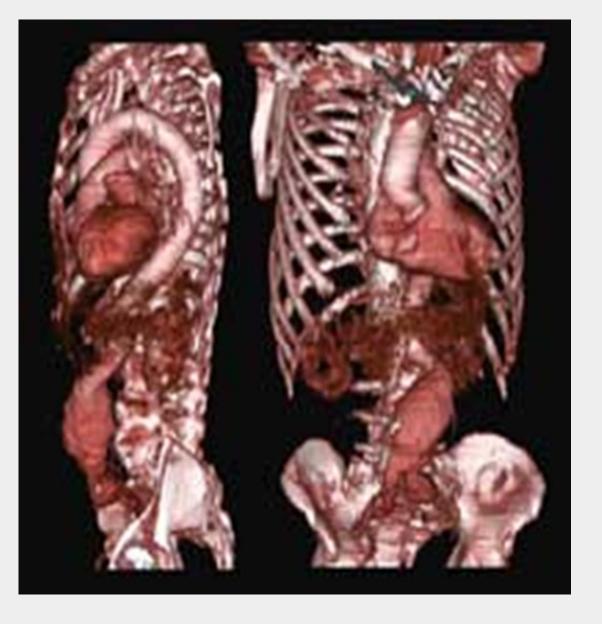


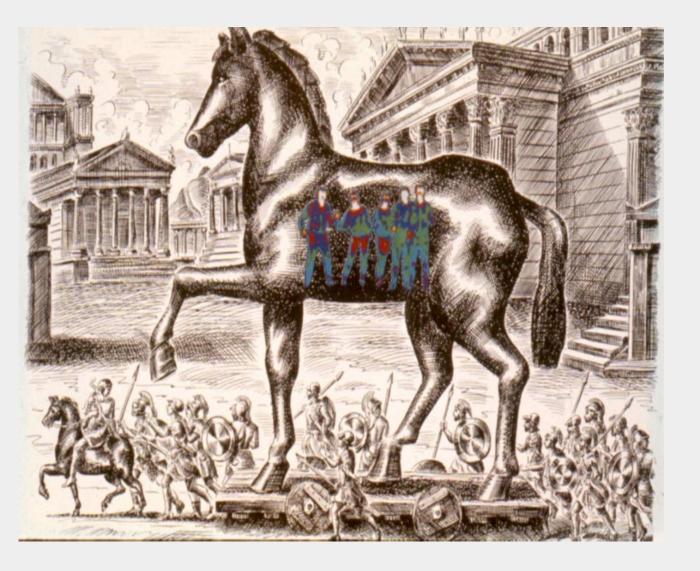
#### Продольная томография



#### Комплексное лучевое исследование



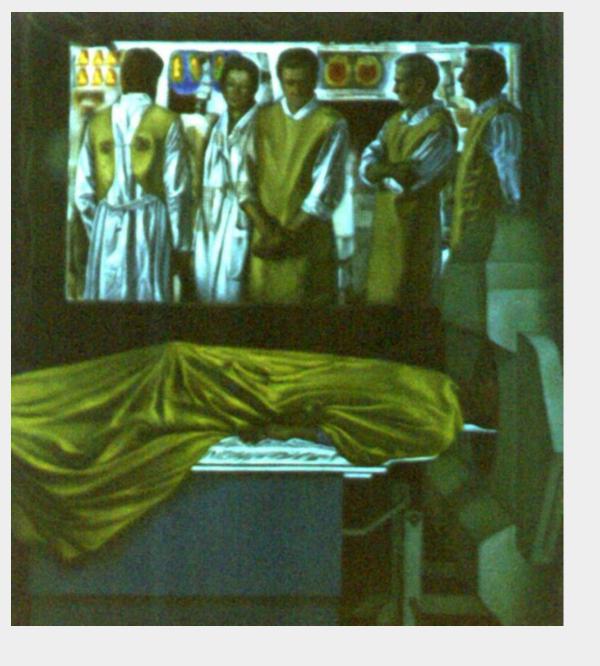












# Основы лучевой диагностики

## Медицинская радиология

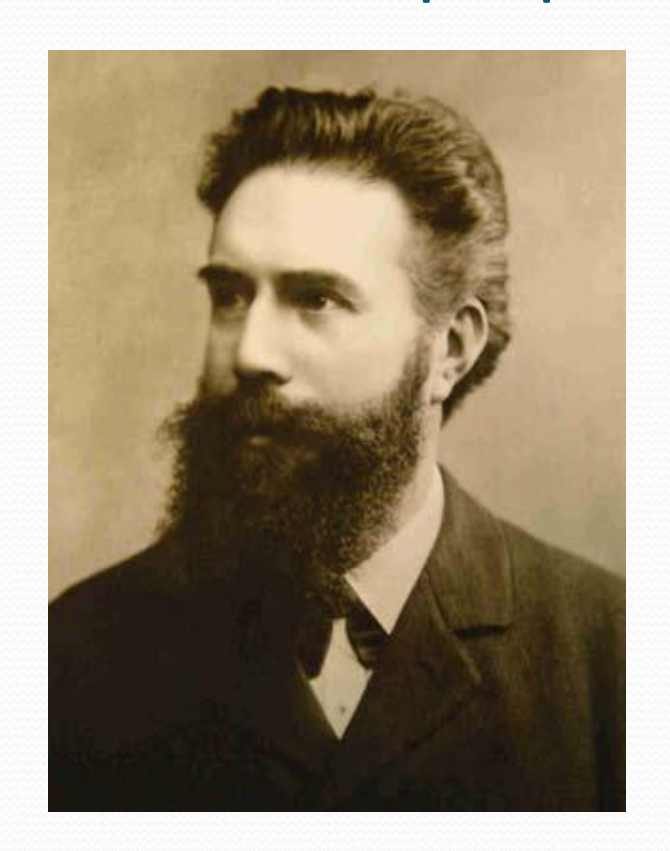
- Медицинская радиология область медицины, разрабатывающая теорию и практику применения излучения в медицинских целях. Включает в себя две основные медицинские дисциплины: лучевую диагностику и лучевую терапию.
- Лучевая диагностика наука о применении излучений для исследования строения и функций нормальных и патологически измененных органов и систем человека с целью профилактики и распознавания заболеваний.
- Лучевая терапия это наука о применении ионизирующих излучений для лечения болезней, в основном злокачественных новообразований.

## Методы лучевой диагностики

- 1) Ионизирующие (рентгенография, рентгеноскопия, маммография, урография, ангиография, радионуклидные исследования, КТ)
  - 2)Неионизирующие (УЗИ,МРТ)
- Инвазивные, неинвазивные, малоинвазивные
- Проекционные, томографические

# Вильгельм Конрад Рентген (Wilhelm Conrad Röntgen)

(27 марта 1845 – 10 февраля 1923)



#### Жизнь В.К. Рентгена

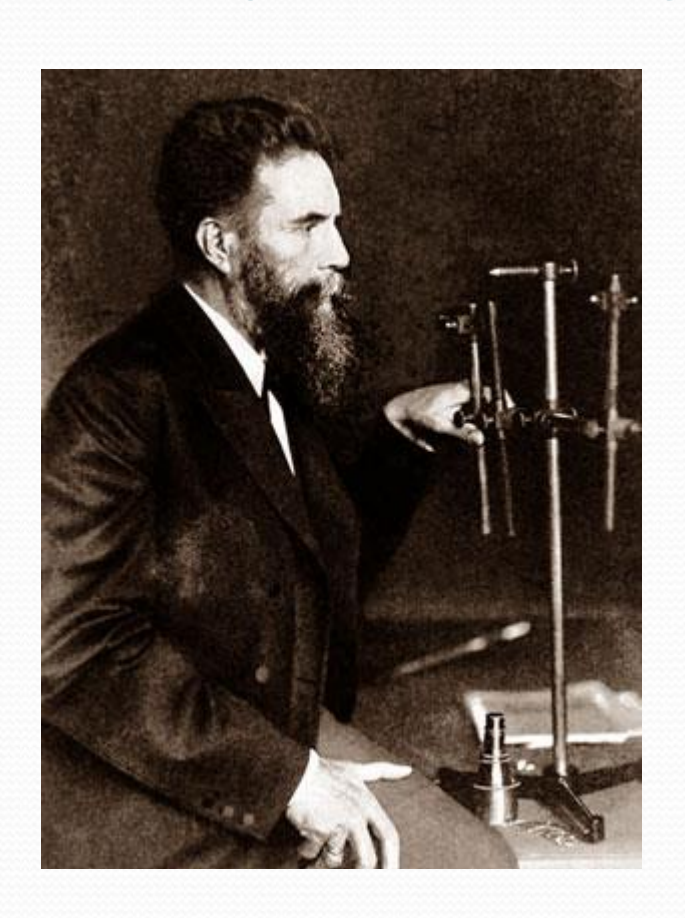
1888-1900

Профессор физического института университета Вюрцбурга

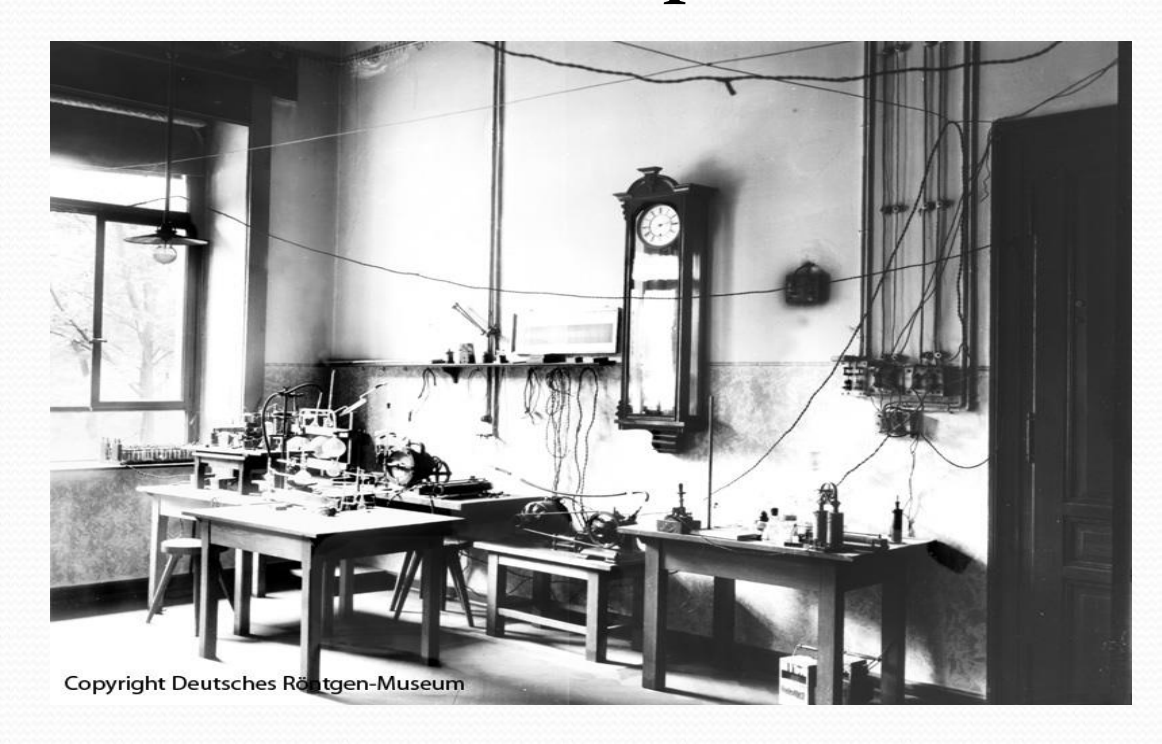


Вюрцбург

## Открытие Х-лучей – 8 ноября 1895 года



лаборатория Рентгена, в которой было сделано открытие



## Открытие Х-лучей



#### здание Физического института Вюрцбурга



## Открытие Х-лучей

22 декабря 1895 Рентген произвел ставший всемирно известным снимок кисти своей жены фрау Анны Берты.



## Открытие Х-лучей



Рентген – первый лауреат Нобелевской премии по физике.

Открытие рентгеновых лучей и радиоактивности послужило основой для развития нового направления медицинской науки — рентгенологии, а затем лучевой диагностики.

## Лучевая диагностика

- Рентгенодиагностика
- Радионуклидная диагностика
- Ультразвуковая диагностика
- Магнитный резонанс
- Интервенционная радиология (эндоваскулярная хирургия)

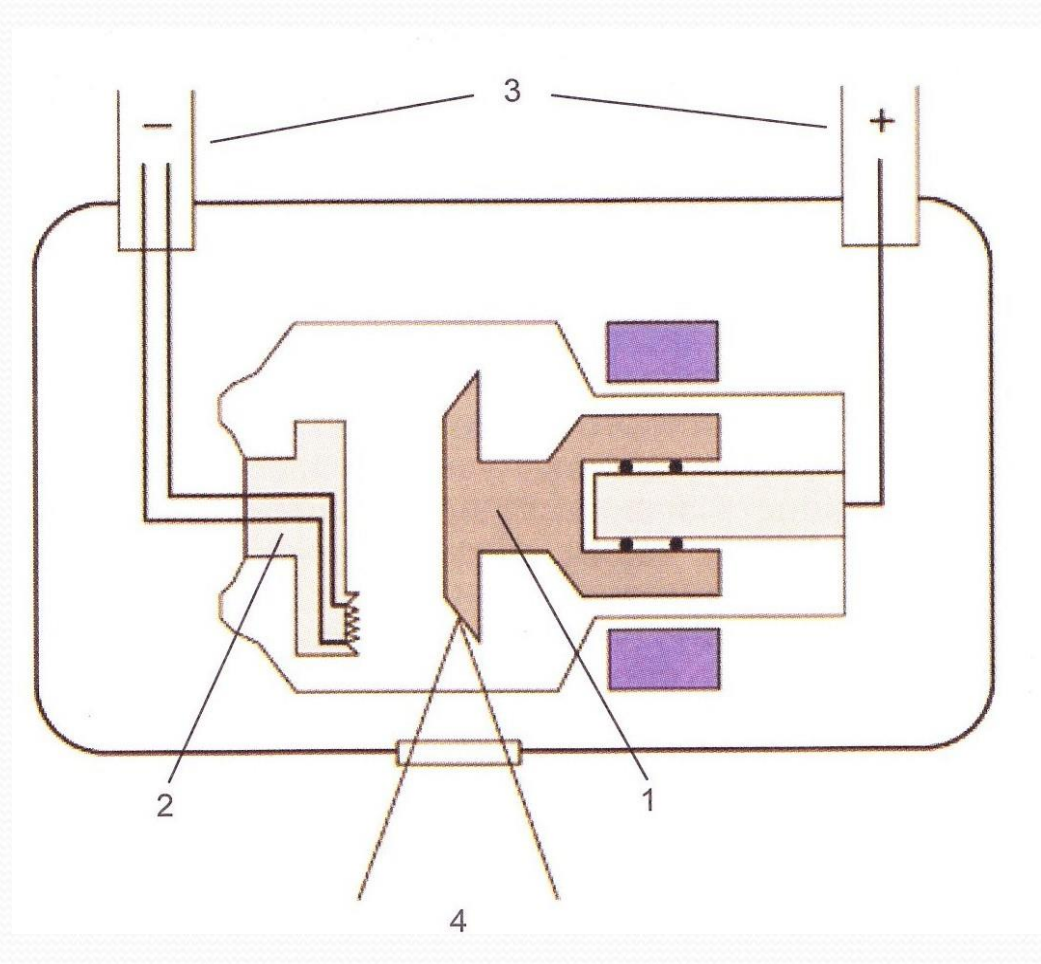
## Рентгенодиагностика

- Рентгенография
- Рентгеноскопия
- Флюорография
- Продольная томография
- Маммография
- Ангиография
- Компьютерная томография
- Конусно-лучевая томография

## Рентгенология

- Область клинической медицины, изучающая строение и функции органов и систем человека с помощью рентгеновского излучения.
- Рентгенодиагностика распознавание болезней с использованием данных рентгенологического исследования для оказания неотложной медицинской помощи (неотложная) и для определения локализации патологических изменений (топическая).

#### Устройство рентгеновской трубки



- 1. анод
- 2. катод
- 3. напряжение подаваемое на трубку
- 4. рентгеновское излучение

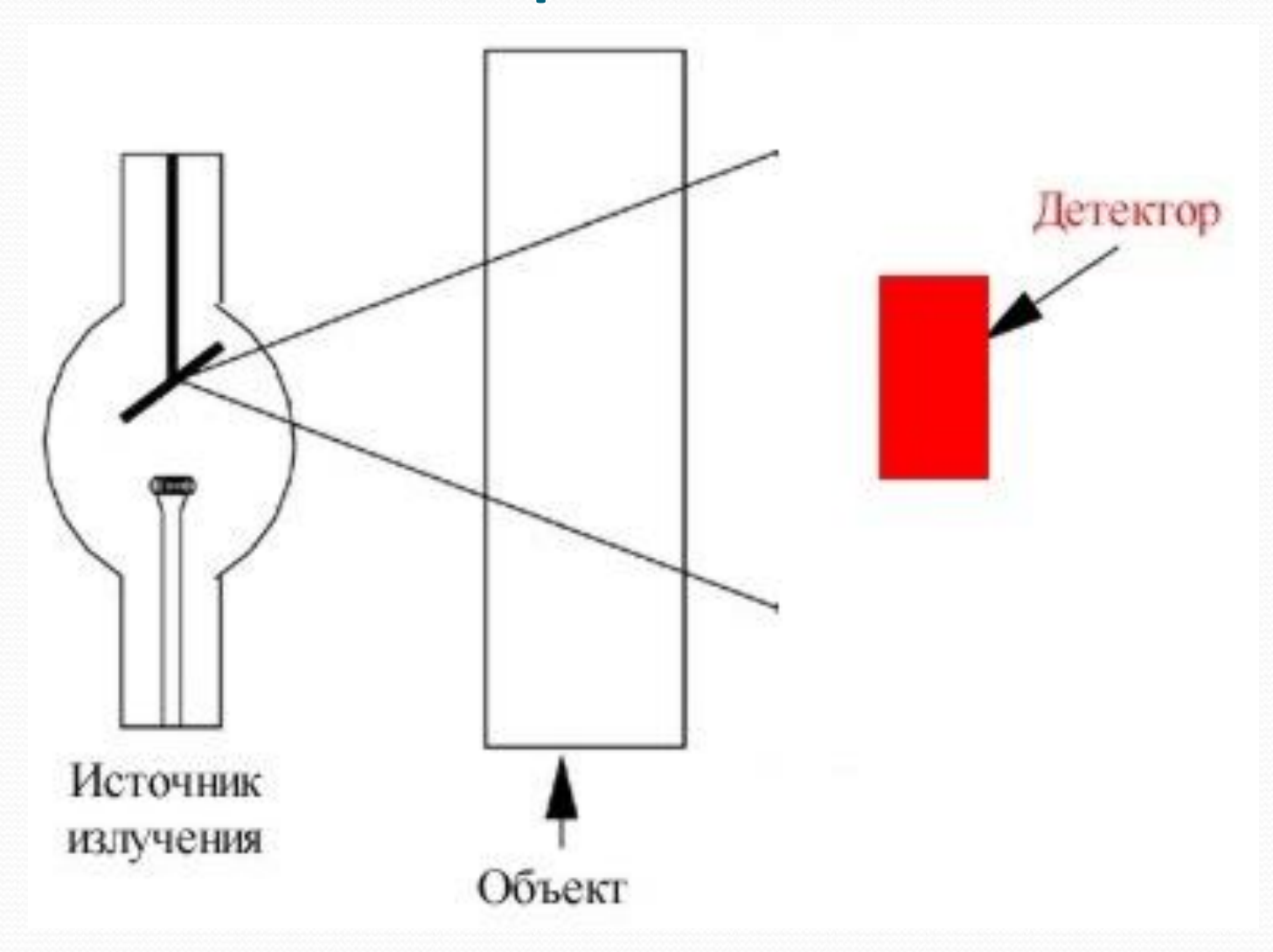
## Физические свойства рентгеновского излучения

- Проникающая способность
- Вызывает свечение ряда химических соединений
- Разлагает галоидные соединения серебра
- Ионизирует атомы
- Вызывает сцинтилляцию в кристаллах
- Обладает биологическим действием

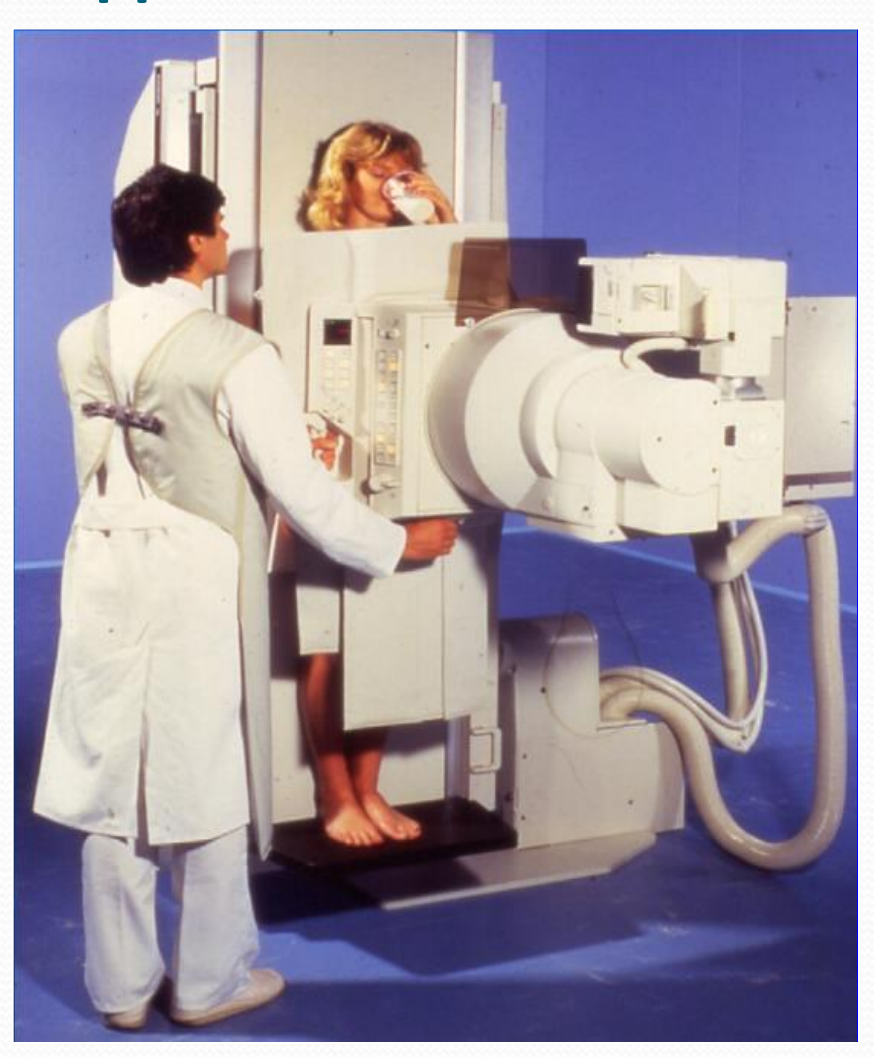
# Технологии получения проекционных изображений в рентгенологии

- Аналоговые
  - на рентгеновскую пленку или флюоресцирующий экран без использования компьютерной техники
- Цифровые или дигитальные (digit цифра)
  - с использованием компьютерной техники

## Принцип получения рентгеновского изображения



## Универсальный аналоговый рентгенодиагностический аппарат



## Рентгенография

```
стреч десарію— писать, изображать, син
рептесносьемка)— изображение объекта
фиксировано на светочувствительном
материале (аналютовая технология), в
матнитно-оптеической намяти или на других
носителях информация (цифровая
```

## Рентгенография

- Обзорная изображение всей анатомической области.
- Прицельная изображение части объекта в оптимальной проекции.
- Контактная изображение объекта получено путем прямого контакта рентгеновской пленки с поверхностью тела или слизистой оболочкой.

# На обычной рентгенограмме получается <u>суммационное</u> изображение всей толщи исследуемой части тела!

# Принцип анализа рентгенологического изображения

- Рентгенологическое излучение, прошедшее через участки тела человека, обладающие меньшей плотностью (легочная ткань, воздух, находящийся в ЖКТ), вызывает яркое свечение экрана и определяется термином «просветление».
- Плотные структуры (сердце, костный скелет, печень), значительно поглотившие рентгеновское излучение, образуют на экране темные участки – «тень».
- При рентгенографии рентгенолог оценивает **негативное** изображение!

# Обзорные рентгенограммы органов грудной полости





Прямая проекция

Боковая проекция

# Почему необходимо многопроекционное исследование?





# Обзорная рентгенография органов брюшной полости



# Обзорная рентгенография костей таза



## Рентгенография плечевого сустава



## Рентгенография суставов

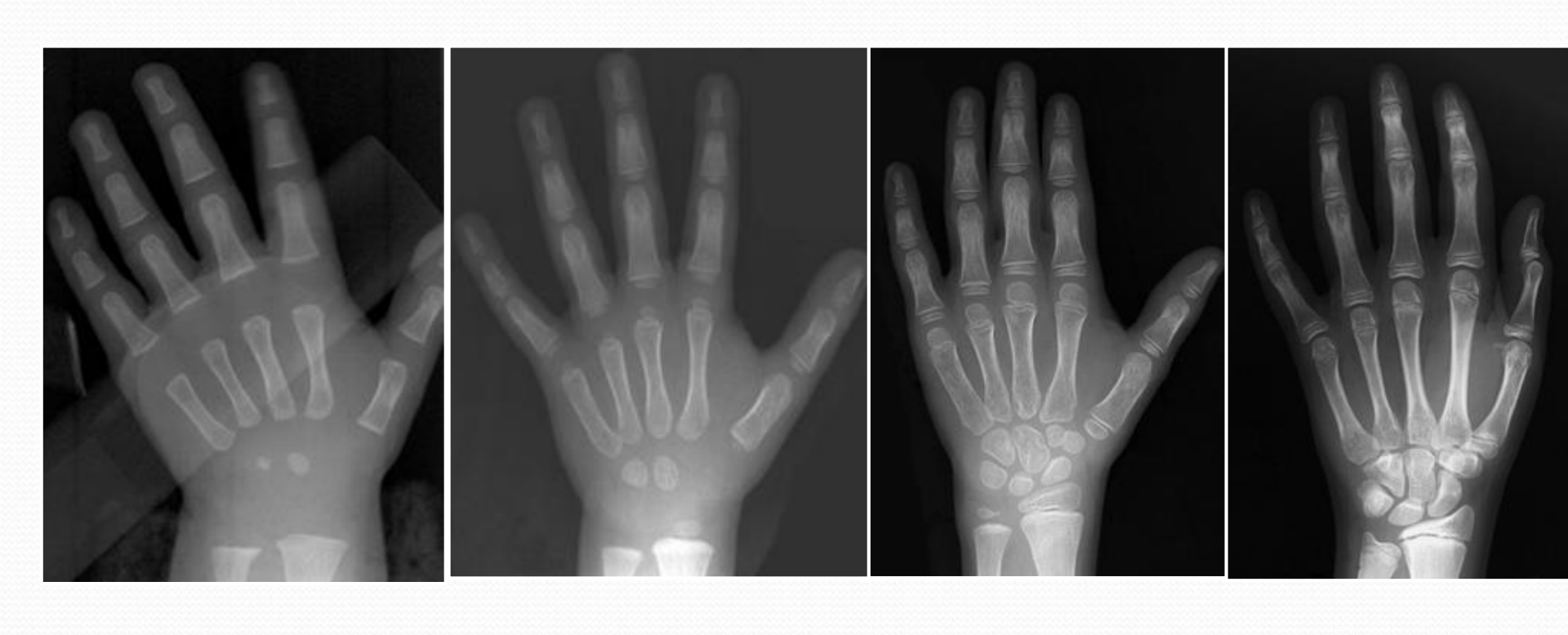






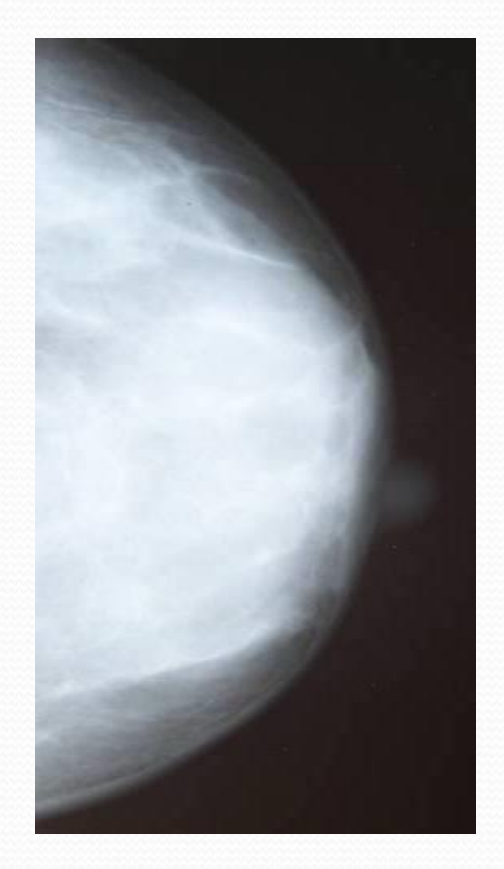


## Возрастные особенности



До 3 лет 3 года 9 лет 16 лет

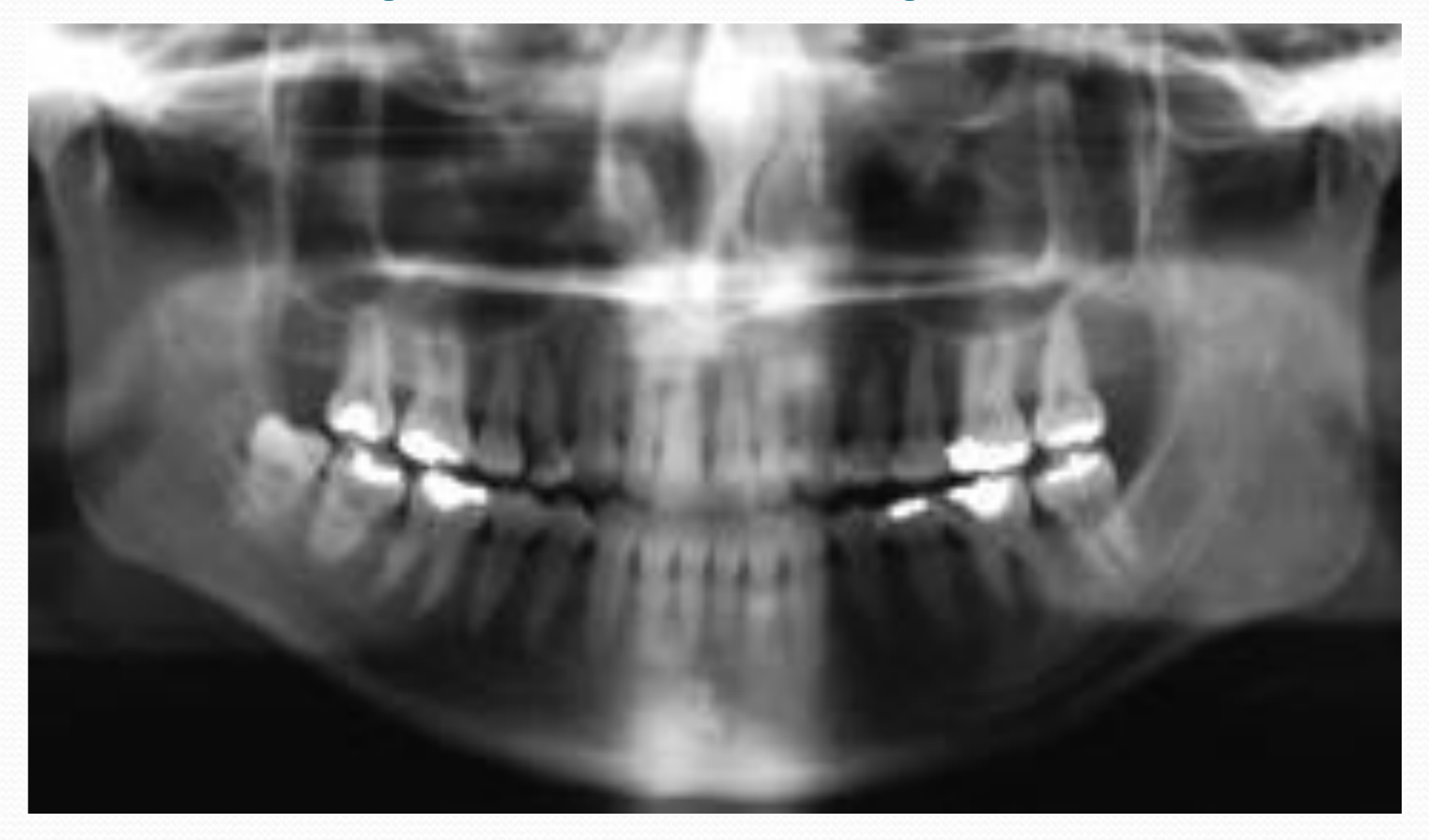
#### Маммография





• Маммография (mamma молочная железа + греч. graphō писать, изображать) — рентгенография молочной железы, которая выполняется на специальном аппарате маммографе.

#### Ортопантомограмма



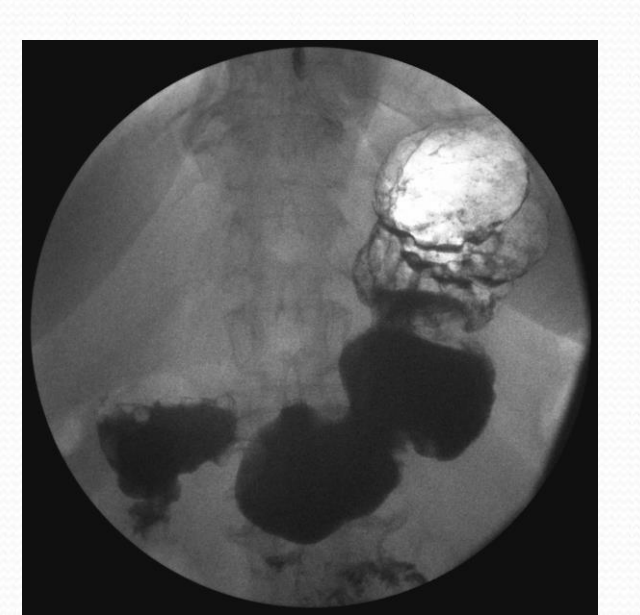
Позволяет одновременно визуализировать структуру зубов, верхней и нижней челюстей.

## Рентгеноскопия

(прости в соргание правосимами развительный в наколяють и соли и выправный в прости в наколяють в наколяють

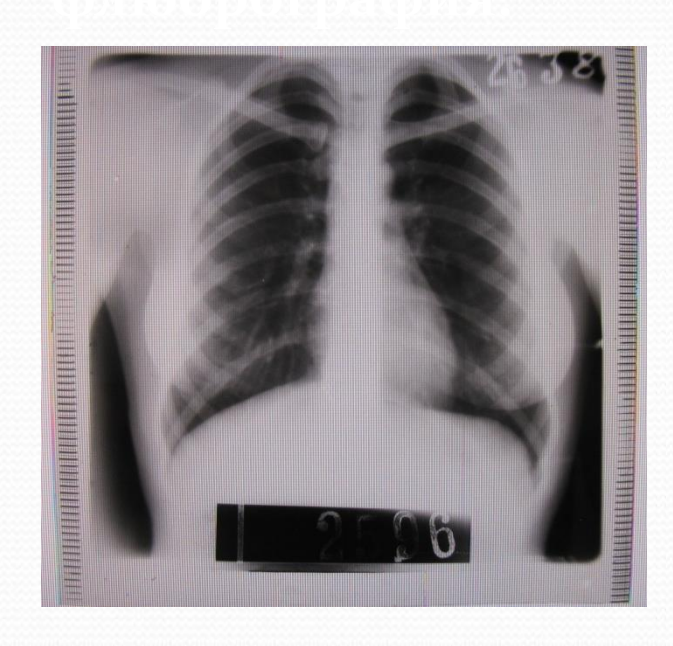






## Флюорография

меноя ренивенова коновидования изображения с промежения фоноврания изображения с финовресния руковнего экурания на фоновичения у в ебольшения фоноврания на выжено, постано выше 70 х 70 вышения фровани



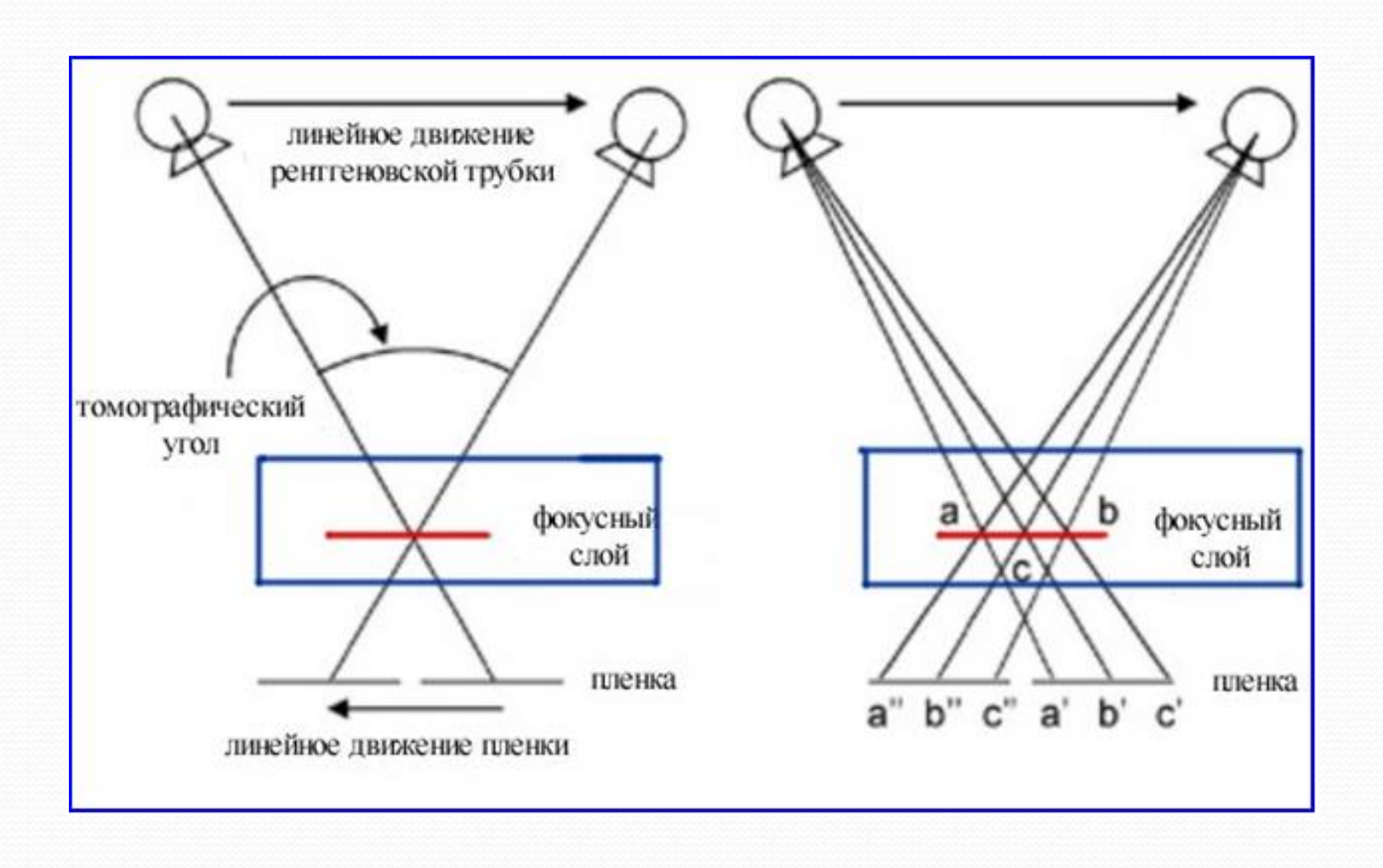


## Продольная томография

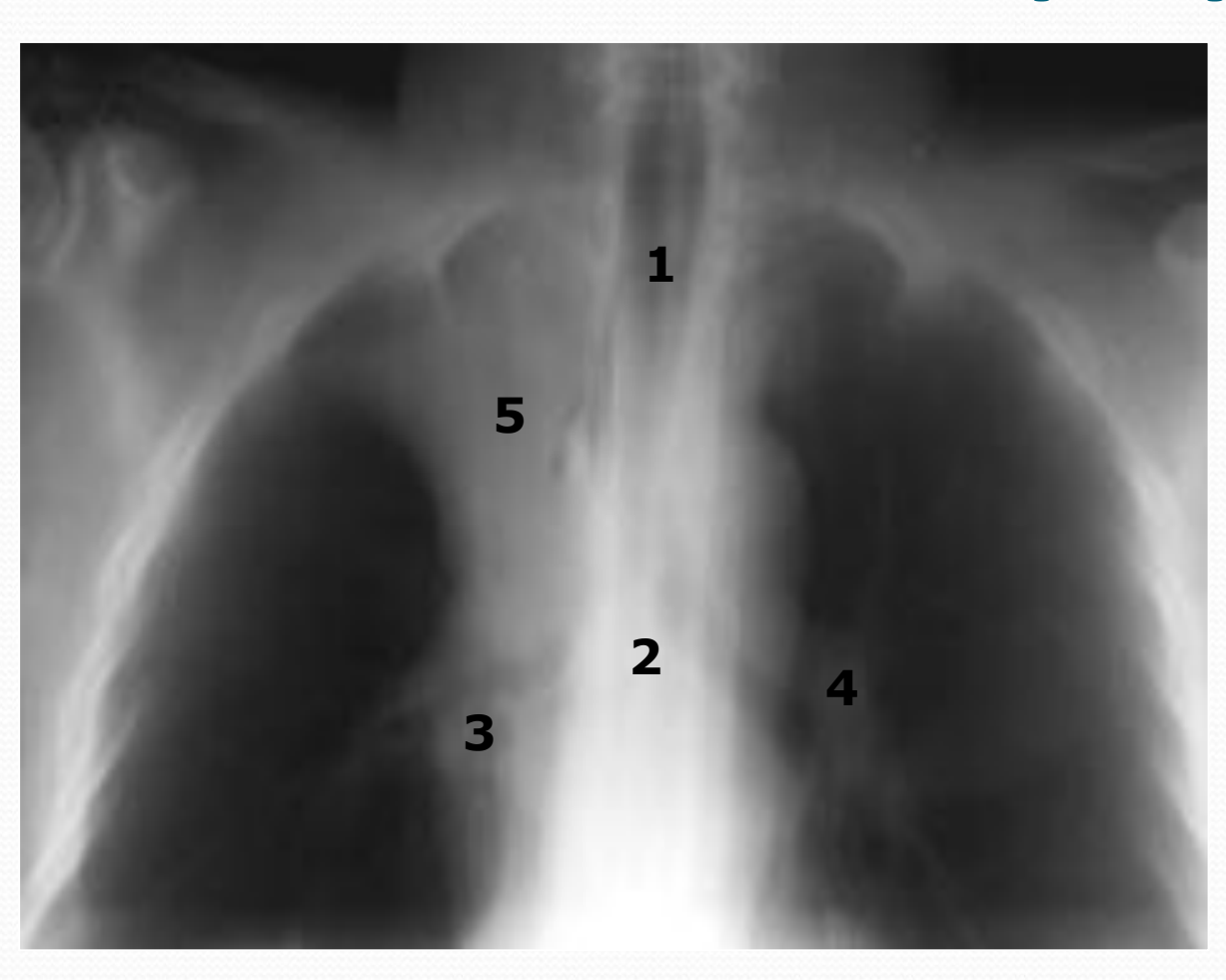
INTEREST CATAOTES EN PRESENTACE EN ESTRE EN RESERVOTE DE PERFECTICO.

Продольная томография позволяет получить изображение одного изолированного слоя исследуемой области.

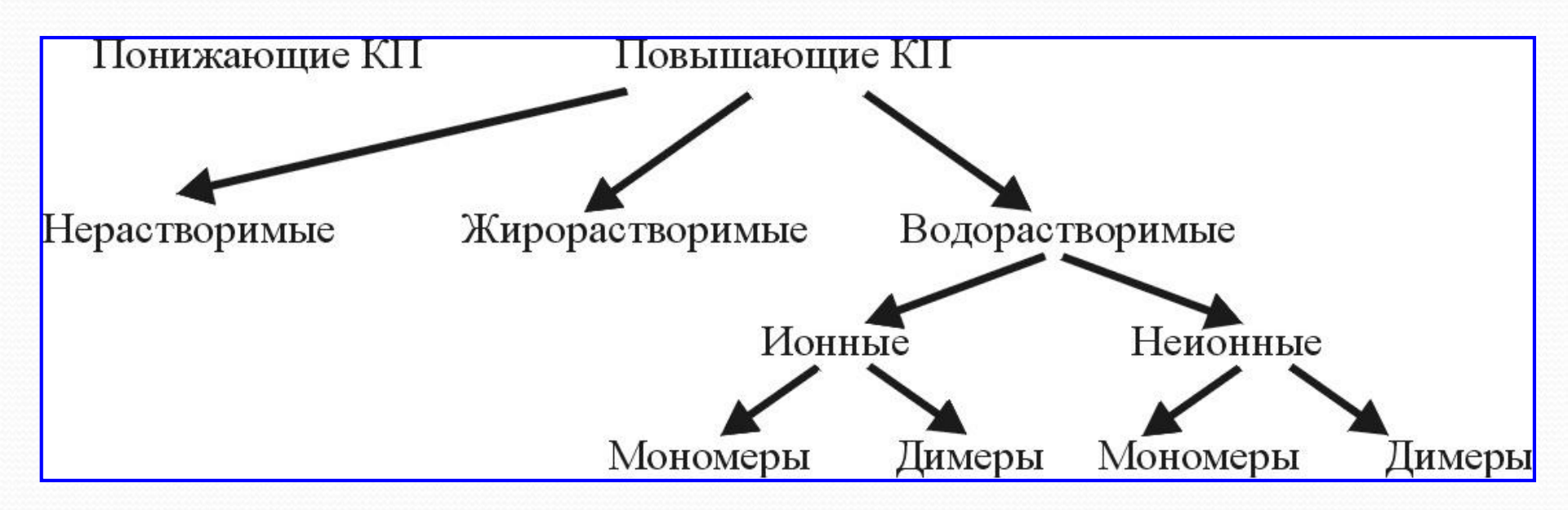
## Продольная томография



# Продольная томография

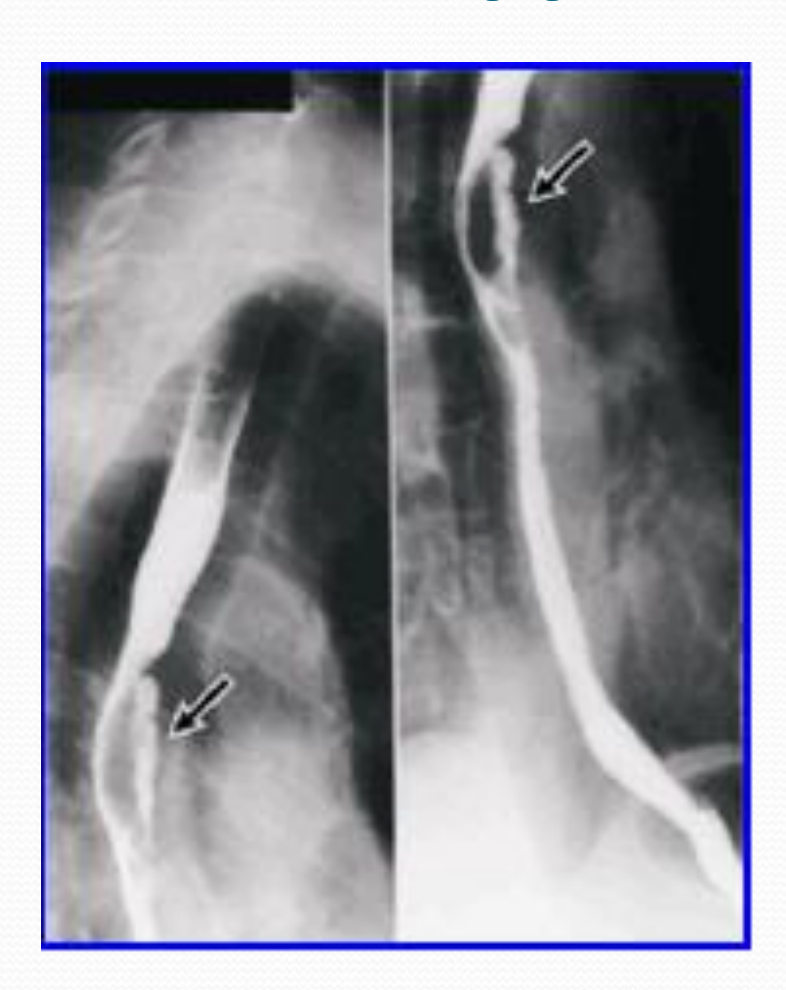


#### Контрастные средства, используемые при рентгенологическом исследовании



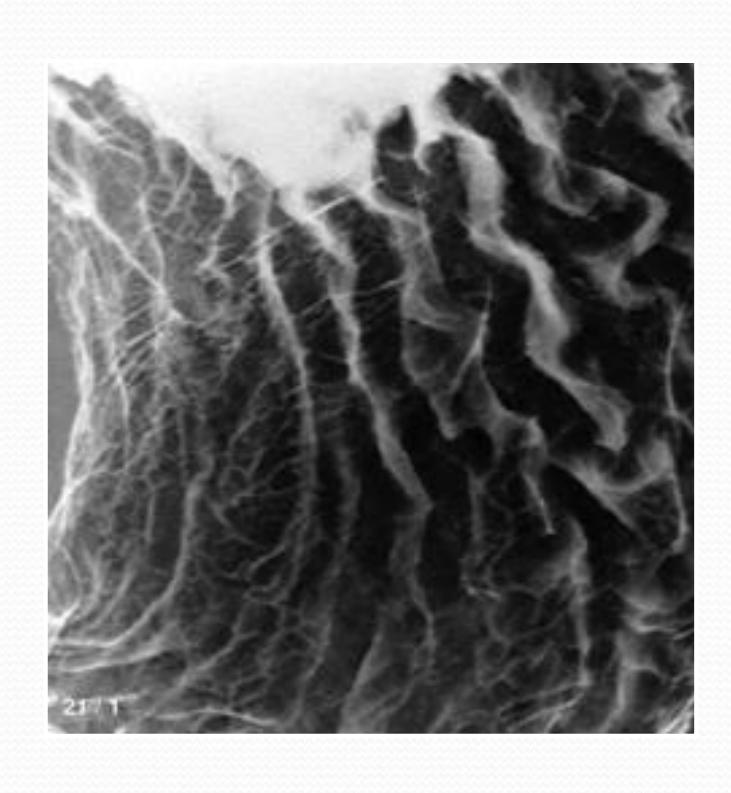
• КП – коэффициент поглощения рентгеновских лучей

## Исследование пищевода



 Стрелками обозначено прохождение воздуха вместе с барием по пищеводу

## Исследование желудка



рельеф слизистой тела желудка

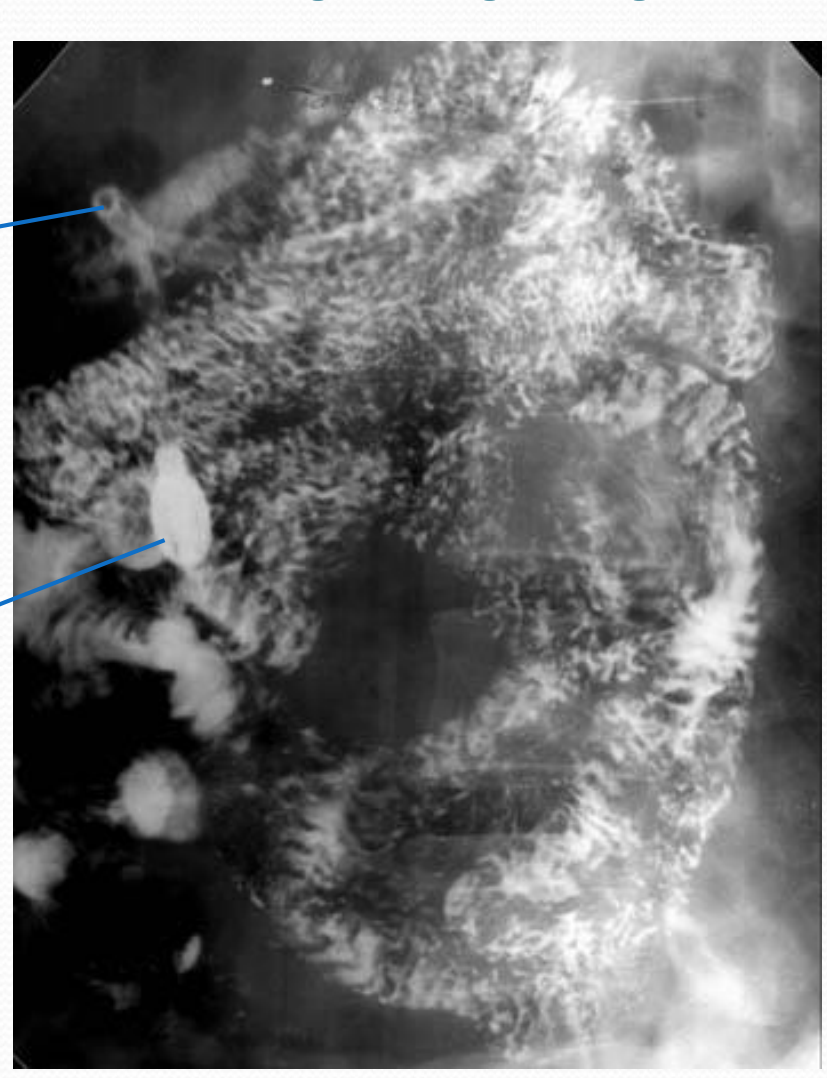


антральный отдел желудка и луковица 12-перстной кишки

## Энтерография

Зонд

Олива зонда



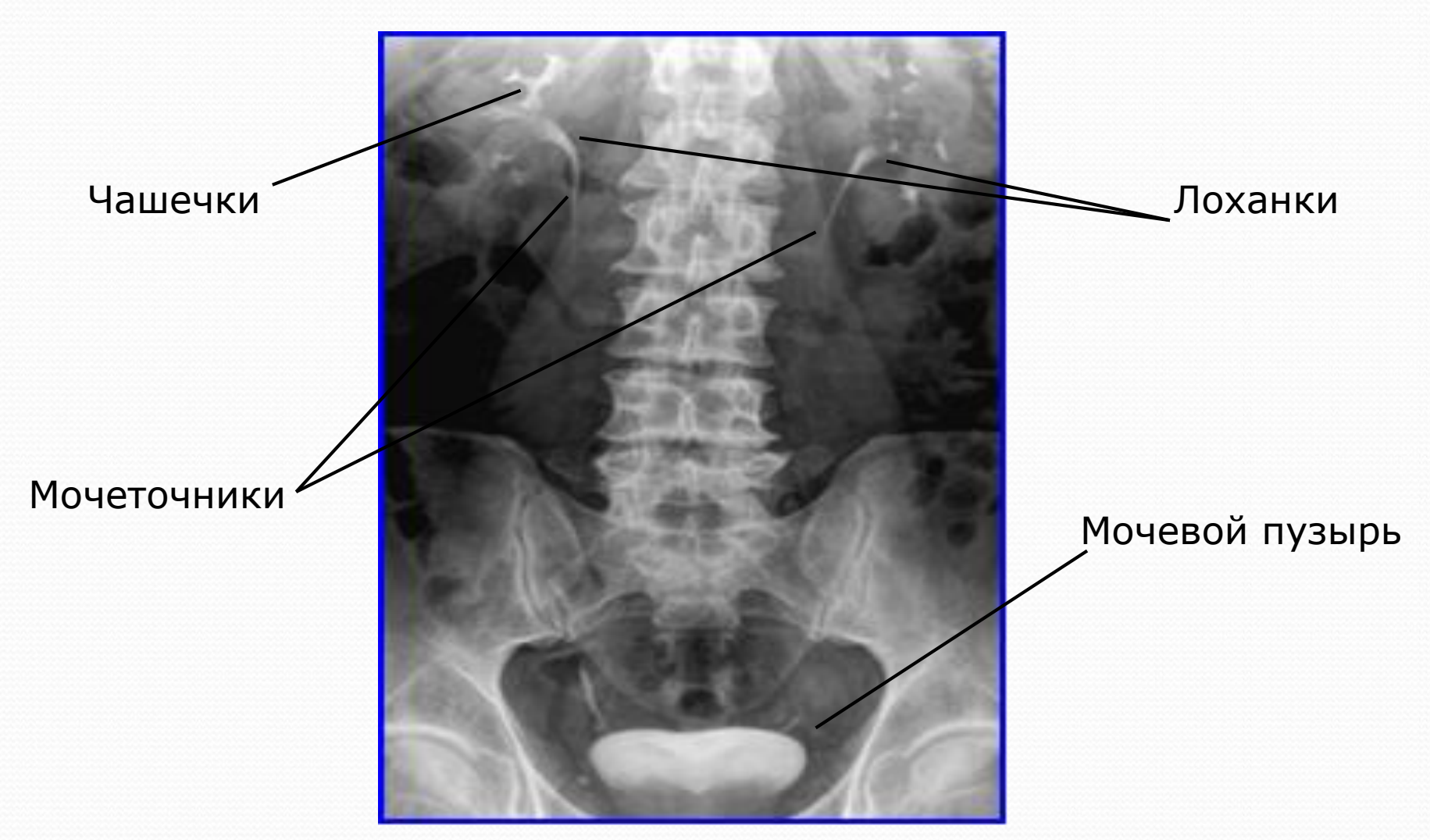
# Ирригография



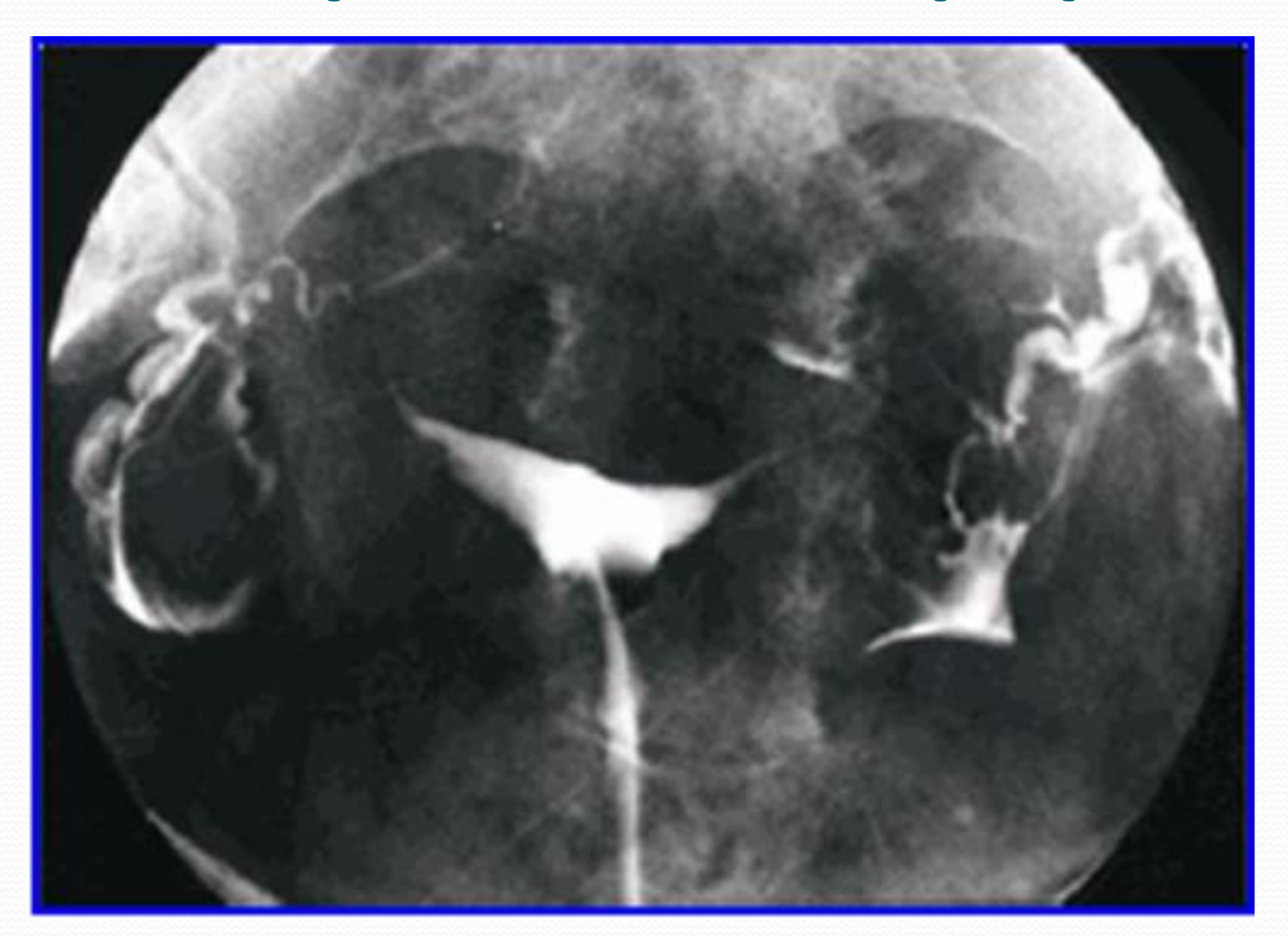




## Экскреторная урография



## Гистеросальпингография



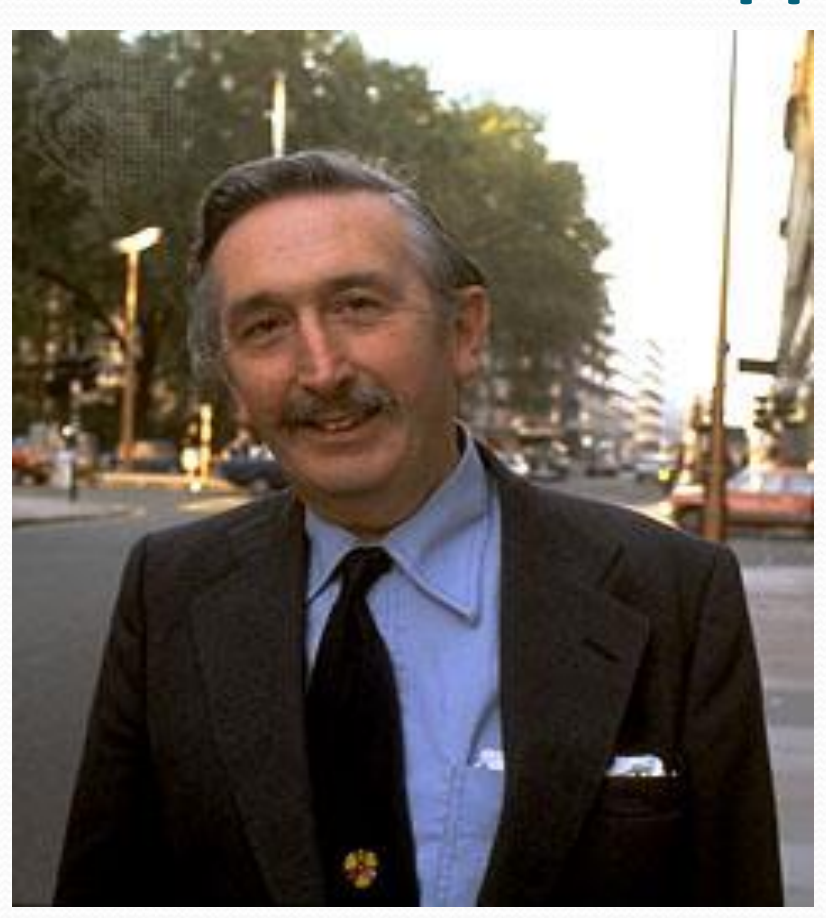
# Эндоскопическая ретроградная панкреатохолангиография



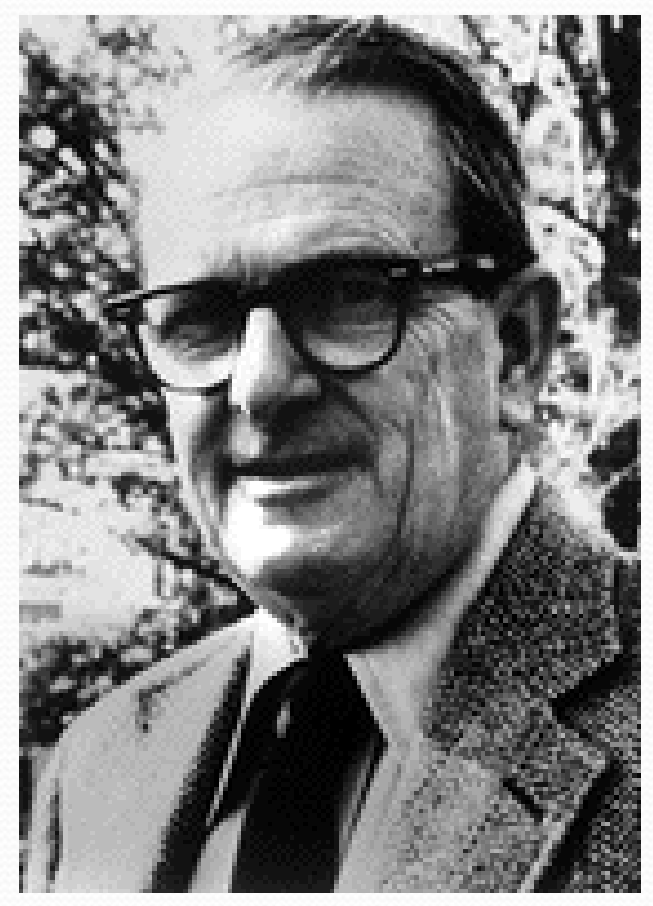


# Компьютерная томография

### Создатели КТ



Годфри Хаунсфилд



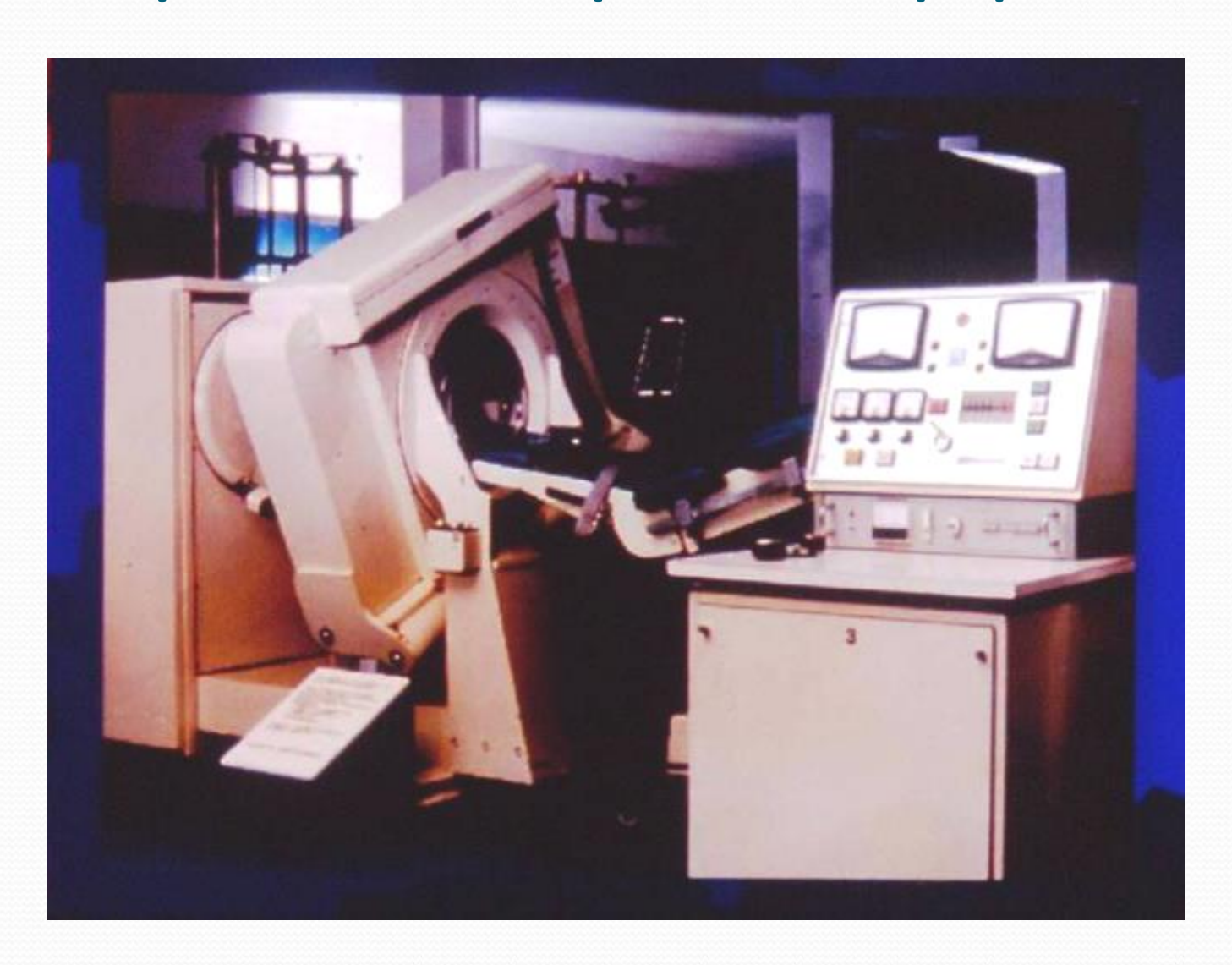
Алан М.Кормак

#### Компьютерная томография

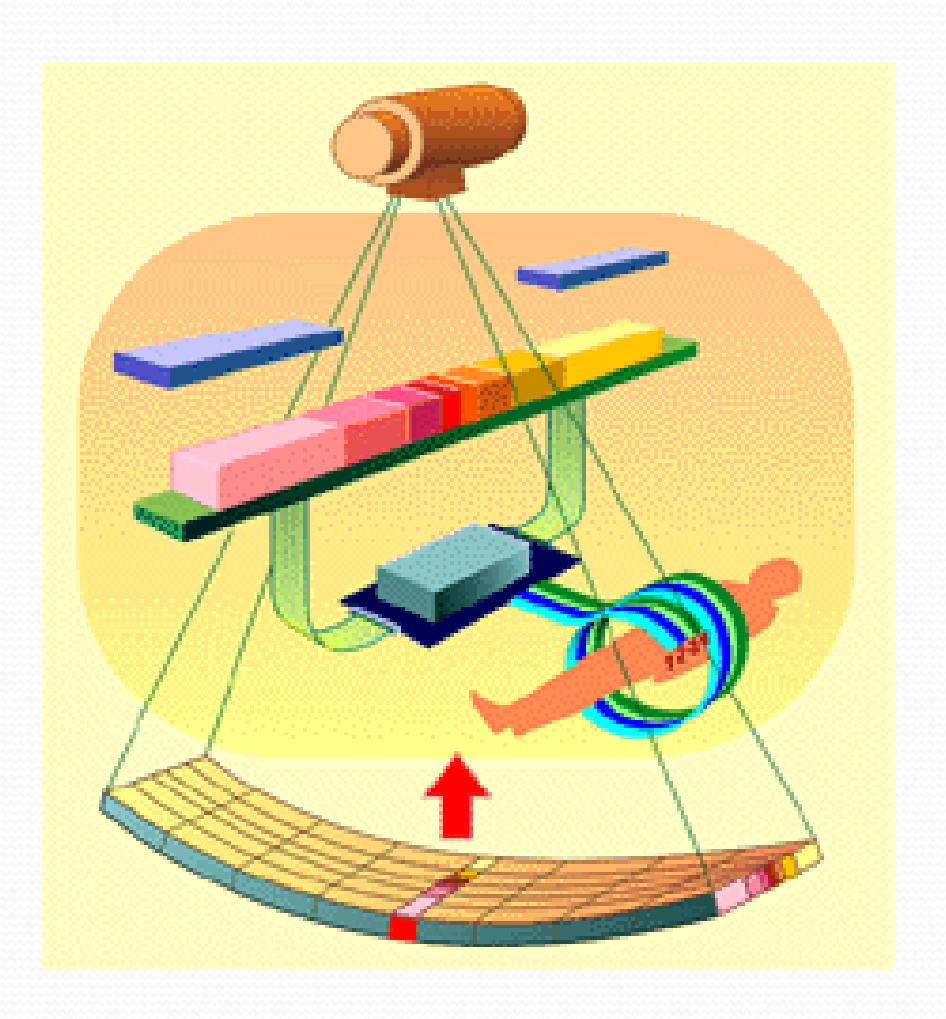
- Главное преимущество контрастное разрешение (обусловлено, главным образом, различиями в тканевых коэффициентах поглощения).
- КТ фундаментально отличается от традиционной томографии. При КТ излучение направляется только на тонкий слой тканей. Вследствие этого отсутствует наложение или размывание структур, расположенных вне выбранных срезов.

Достоинства	Недостатки и ограничения
Высокая разрешающая способность	Лучевая нагрузка
Короткое время выполнения	Ограничение функциональных исследований
Универсальность, стандартизация	Применение контрастных средств
Нет ограничения по тяжести	
состояния, наличию инородных	
предметов	

#### Первый компьютерный томограф 1972 г



#### Мультиспиральная КТ



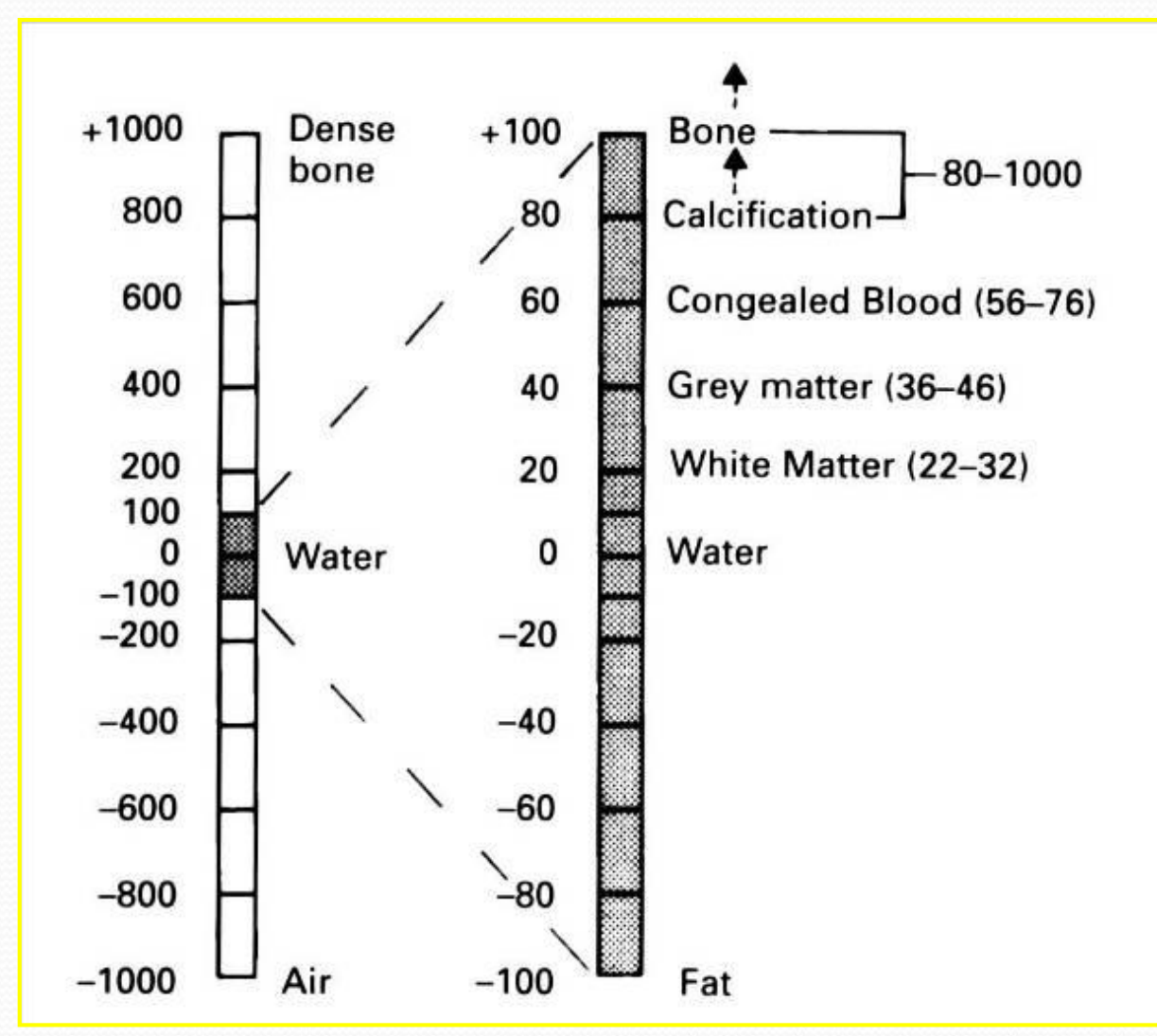
Мультисрезовая Многорядные детекторы полный оборот (за "трубкасистемы детекторы" онжом более воспроизводить среза, одного ЧТО значительно увеличивает скорость исследования)

#### Мультиспиральный томограф



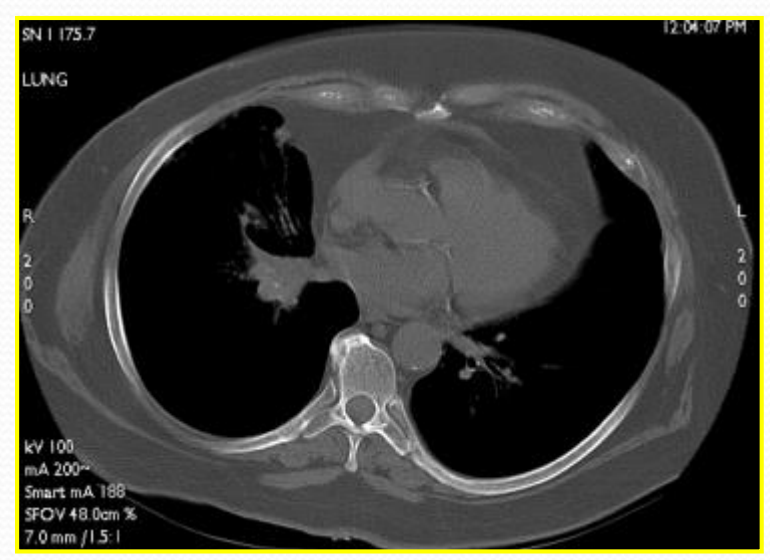


#### Шкала Хаунсфилда



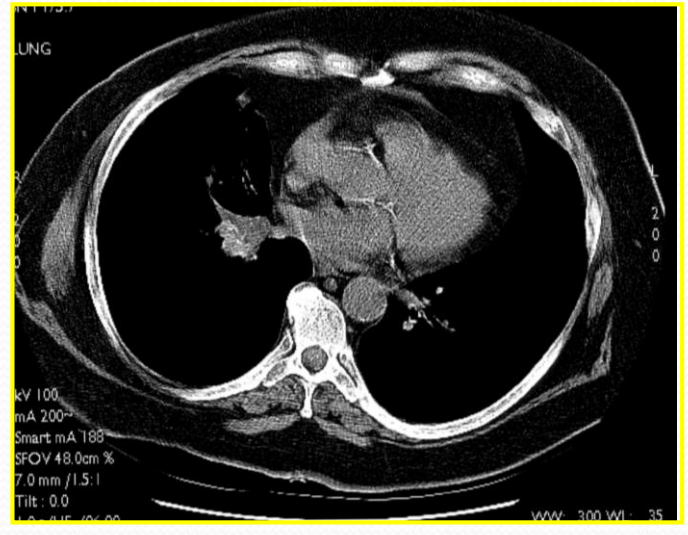
Карта рентгеновских коэффициентов поглощения, которые выражаются в единицах Houndsfield (HU), о HU - уровень поглощения дистиллированной воды, а минус 1000 НО - сухого воздуха. Коэффициент поглощения костной ткани - плюс 800-1000 HU.

#### Режимы («окна»)

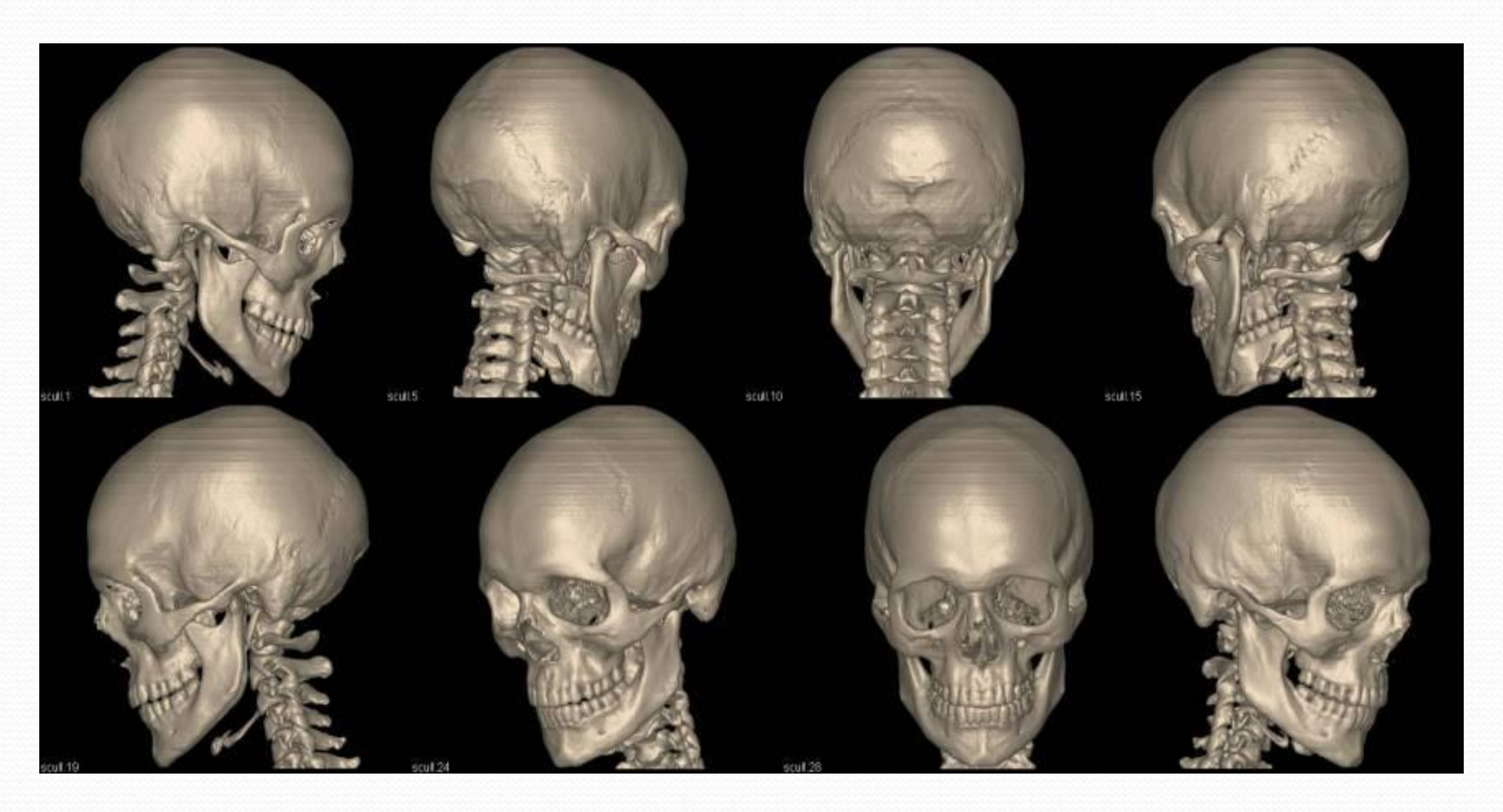




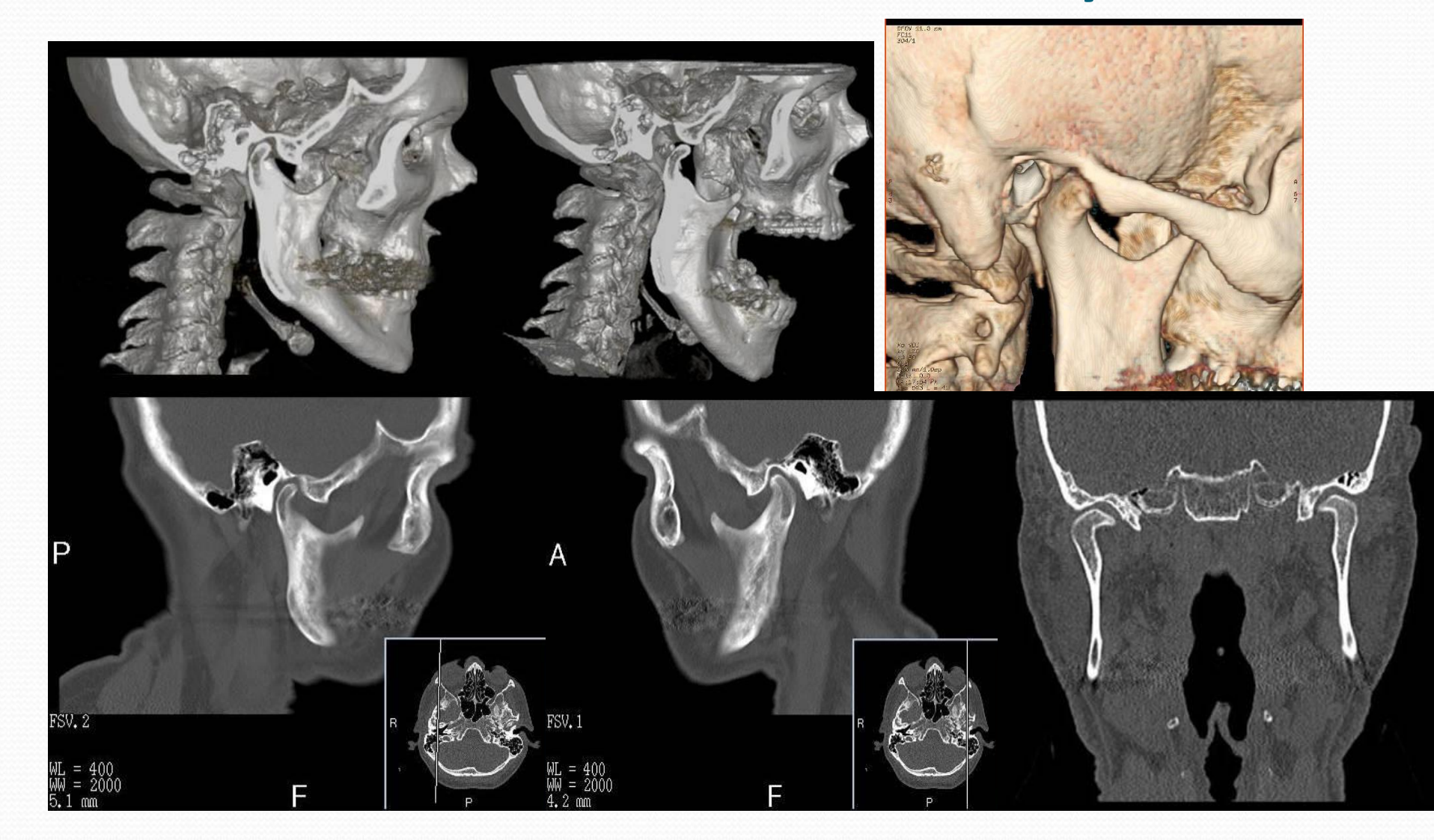




#### 3D реконструкция

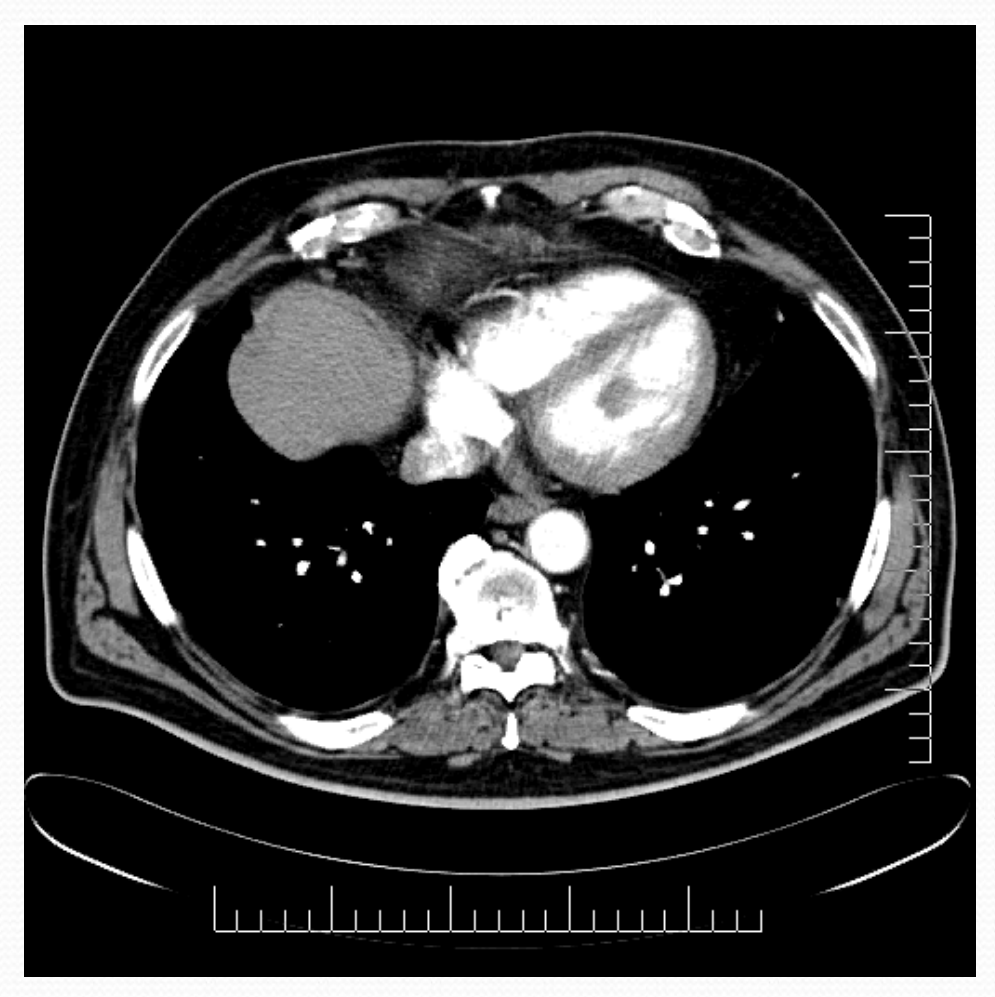


# Функциональное исследование височно-нижнечелюстного сустава



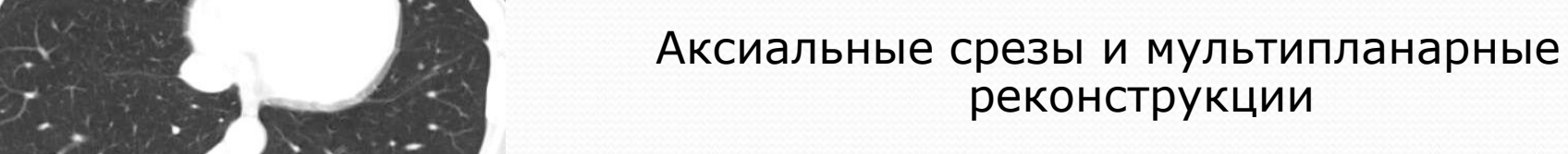
## Контрастирование

- Внутривенное: водорастворимые йодосодержащие КП, вводятся струйно или болюсно (омнипак, визипак)
- Пероральное (для заполнения ЖКТ урографин)



## КТ органов грудной клетки





## КТ органов грудной клетки

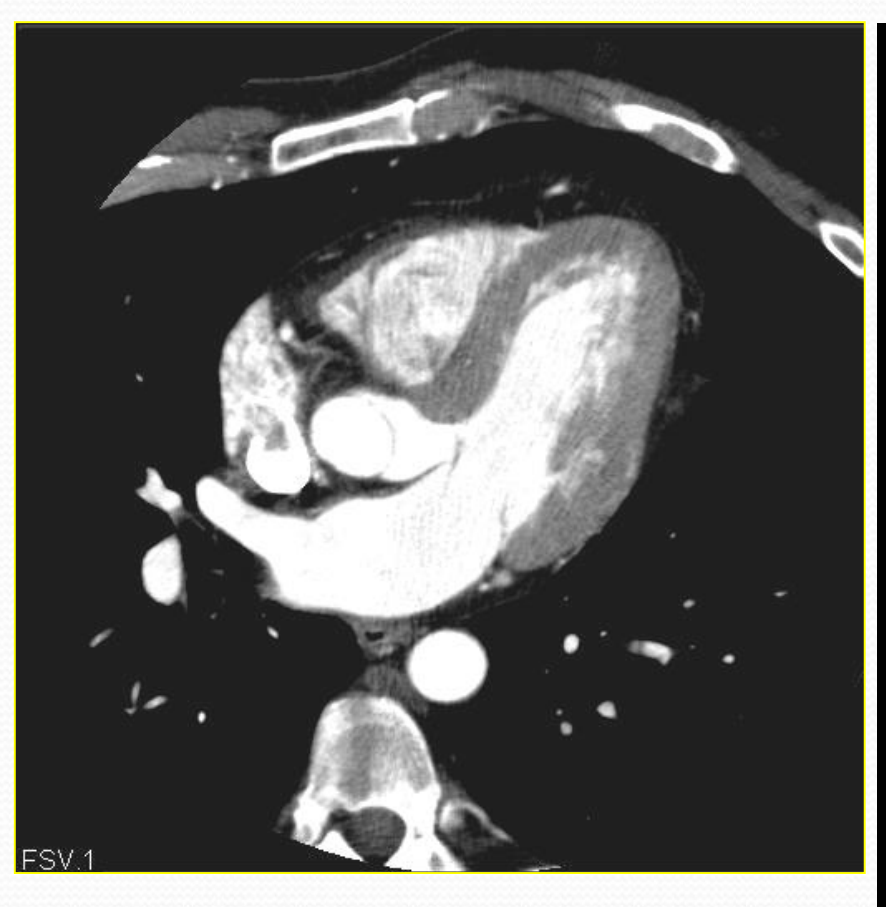


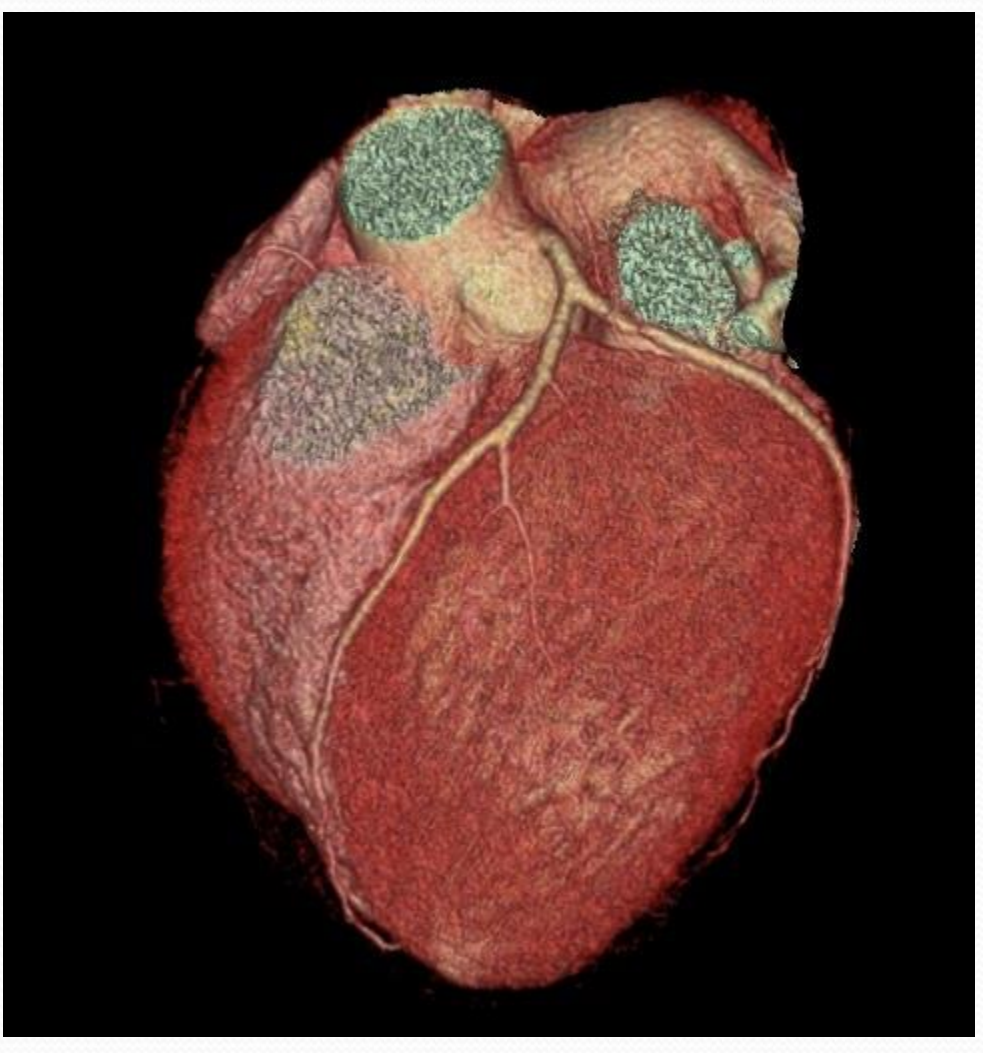


Микотическое поражение

Периферический рак

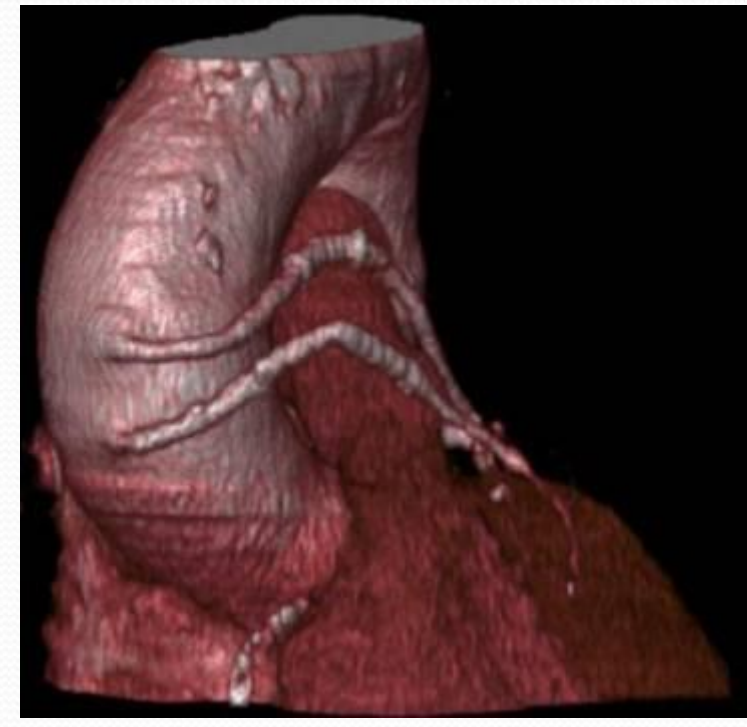
## КТ сердца и коронарных артерий

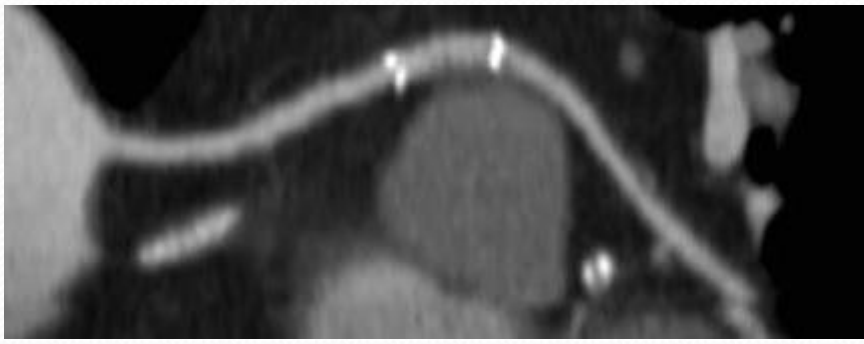


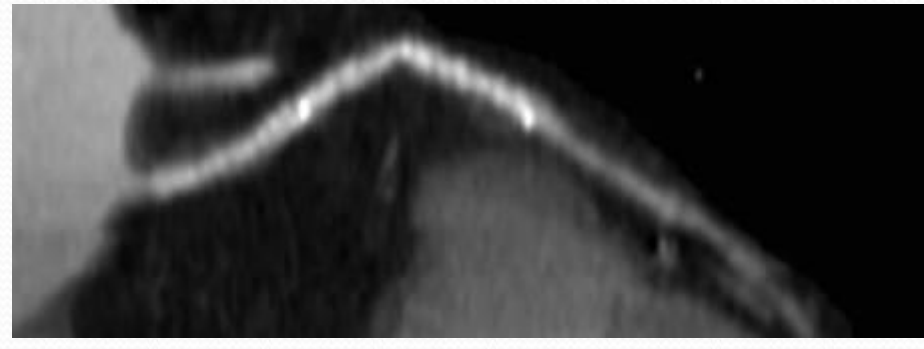


#### Стентированные аорто-коронарные шунты

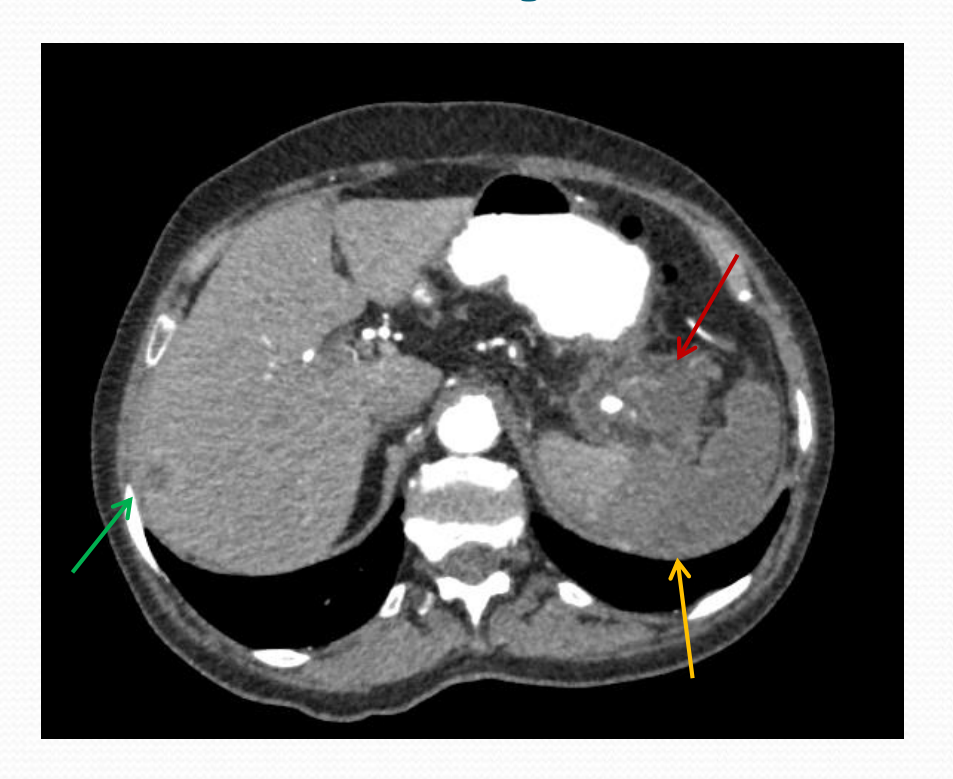


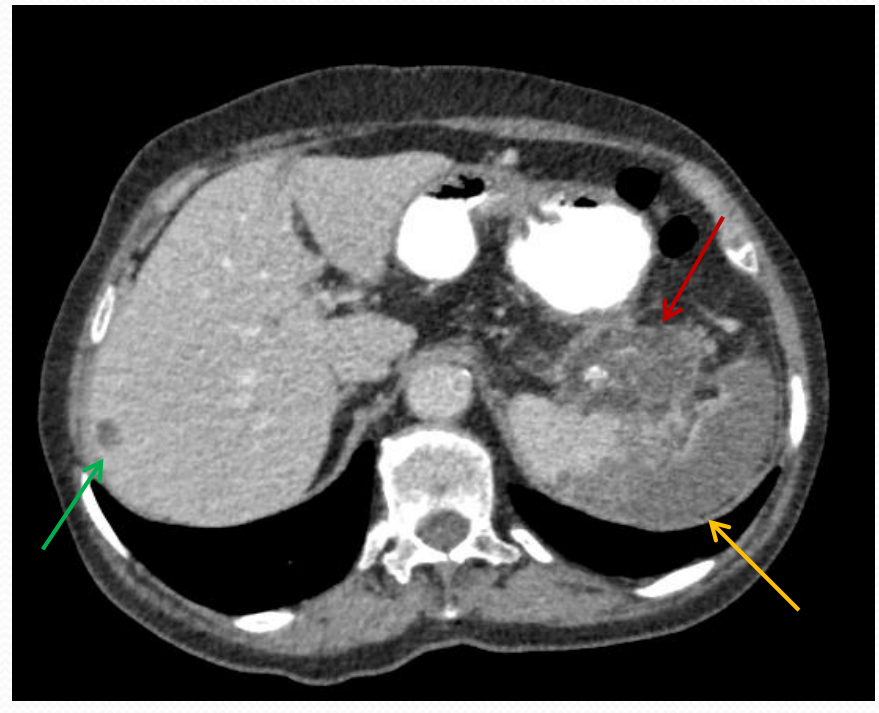






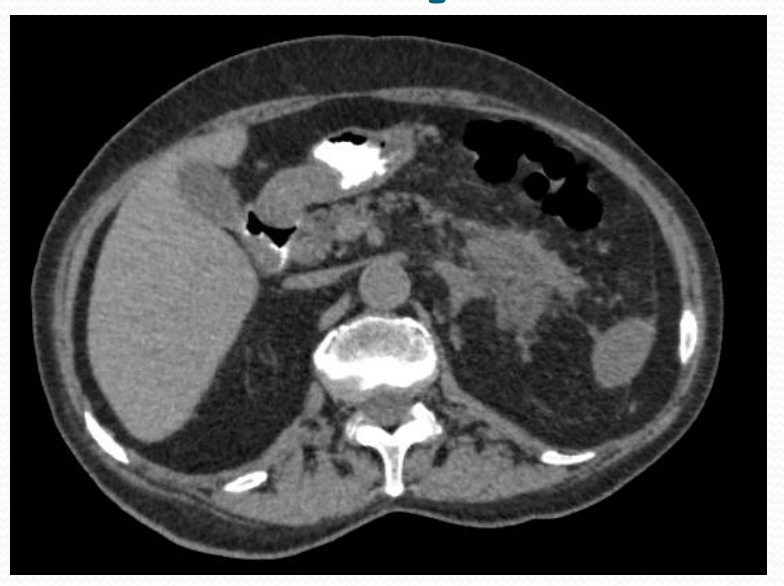
## КТ брюшной полости





Пациентка, 60 лет, опухоль тела и хвоста поджелудочной железы, инфаркт селезенки, гиподенсное образование в печени (киста/мтс?)

## КТ брюшной полости

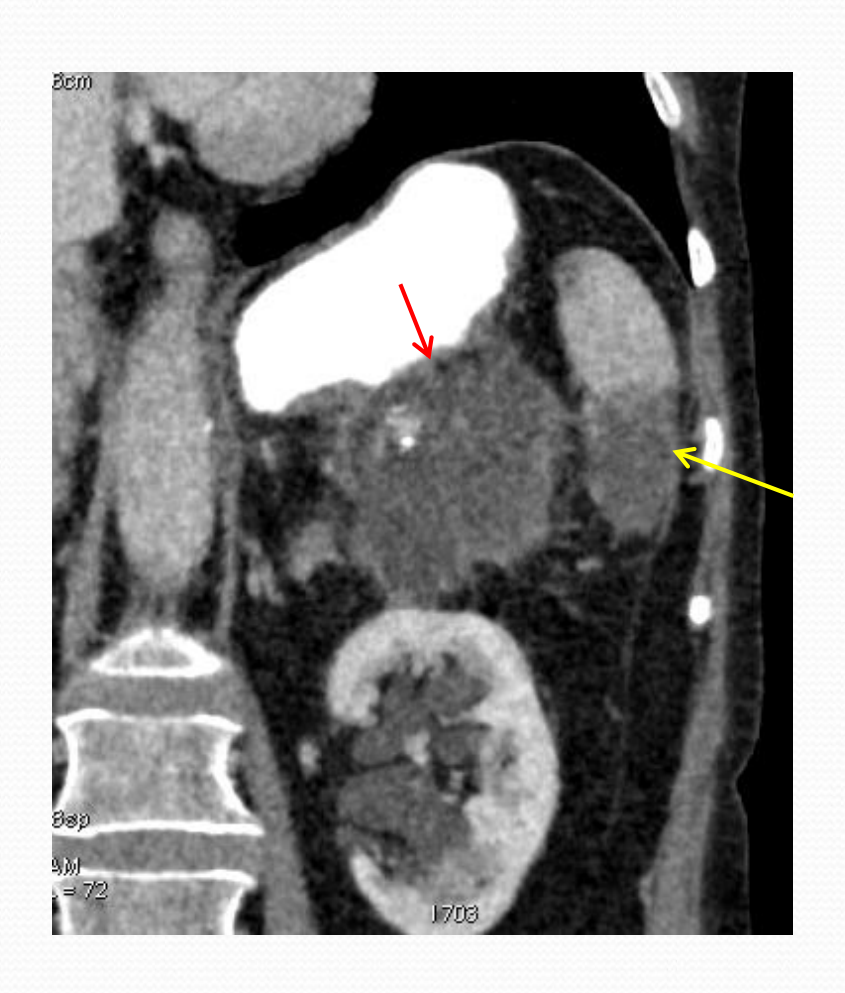






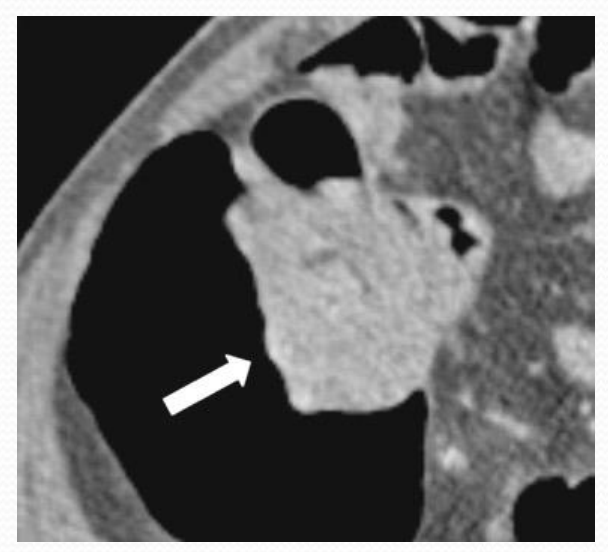
Образование хвоста поджелудочной железы интимно прилежит к левому надпочечнику, который увеличен, уплотнен и активно накапливает контрастное вещество

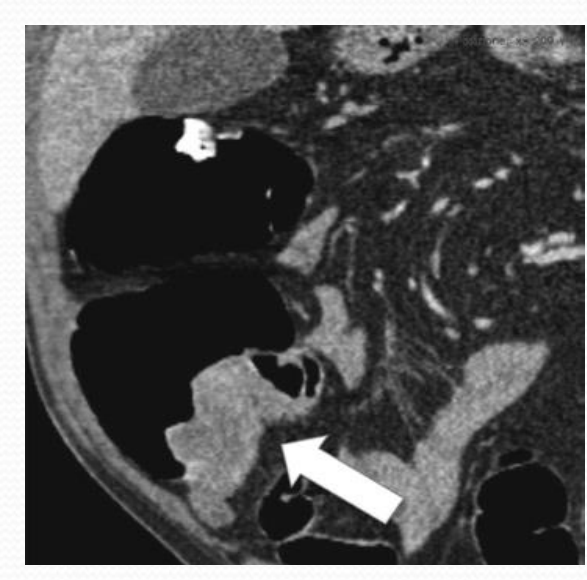
### Корональные МПР

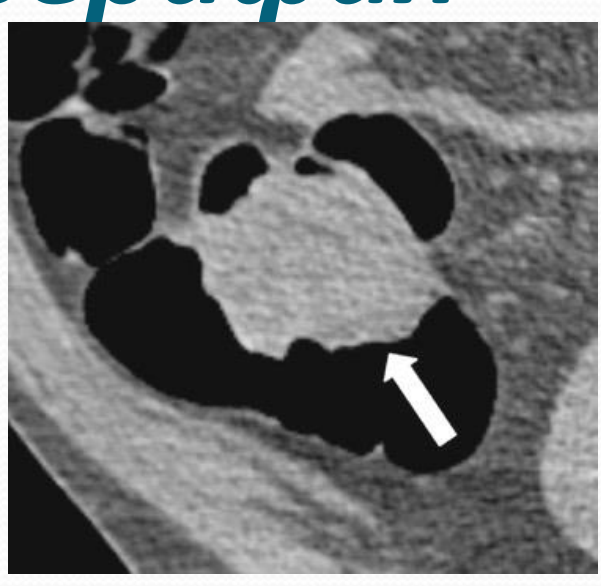


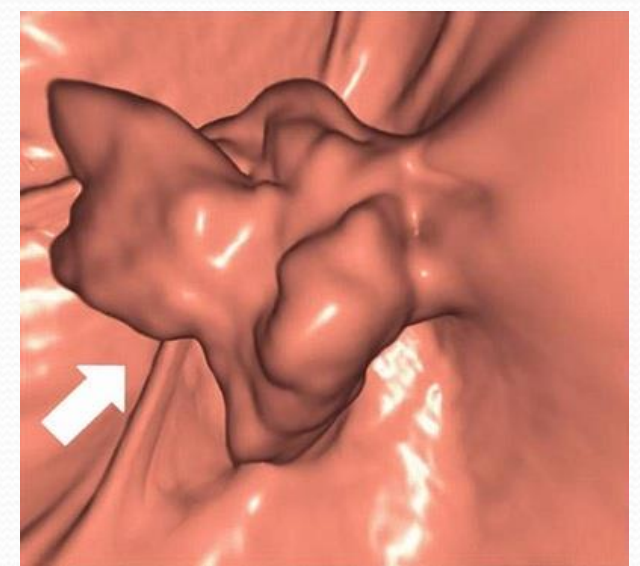


КТ-колонография







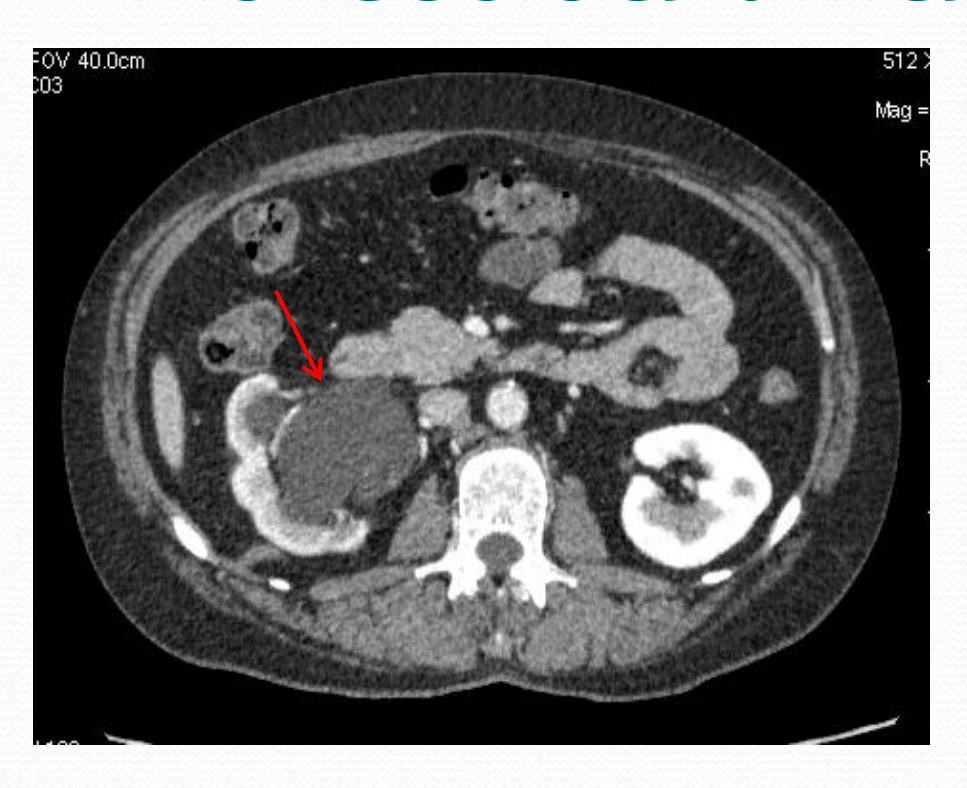


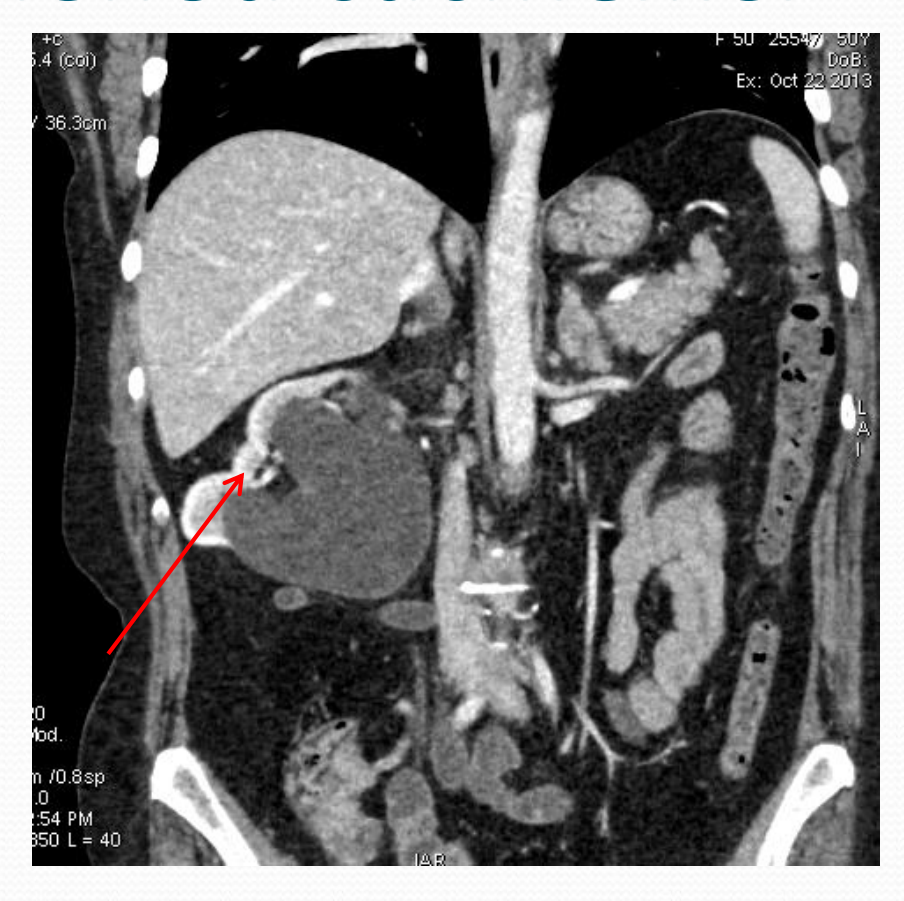
#### КТ мочевыделительной системы



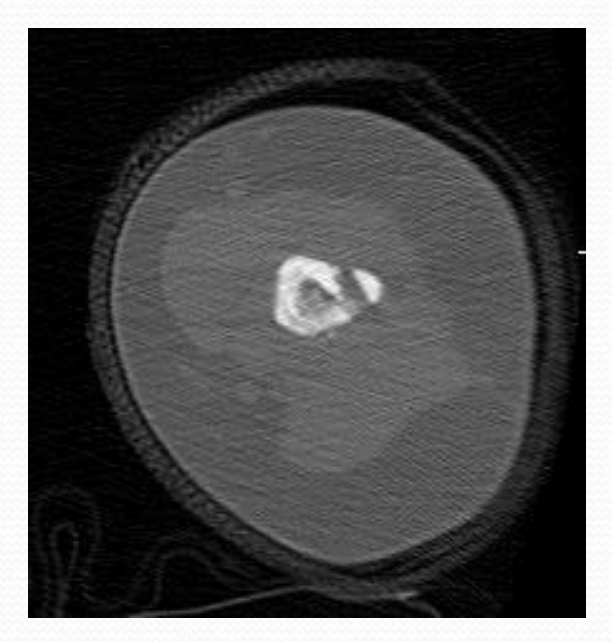


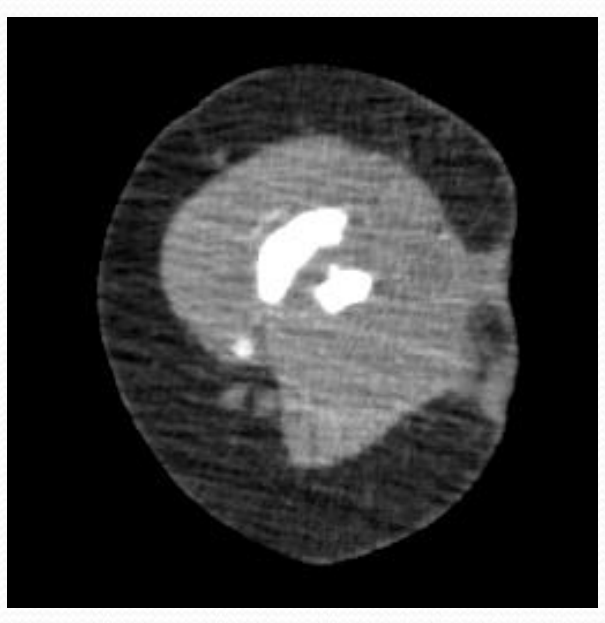
## Исследование мочевыделительной системы





#### Исследование костного скелета







Костное и мягкотканное окна, аксиальные срезы

МΠР

# Конусно-лучевая томография

- •ши роко пределавия в стоматоложи всекой. практике.
- II premikwilkwim premyesteriesiesiesiesiesiesiesies
- lo el el sum el figlio de figlia de figle ello forma de figlia de figlia de figlia de figlia de figle el felo e

### Конусно-лучевая томография

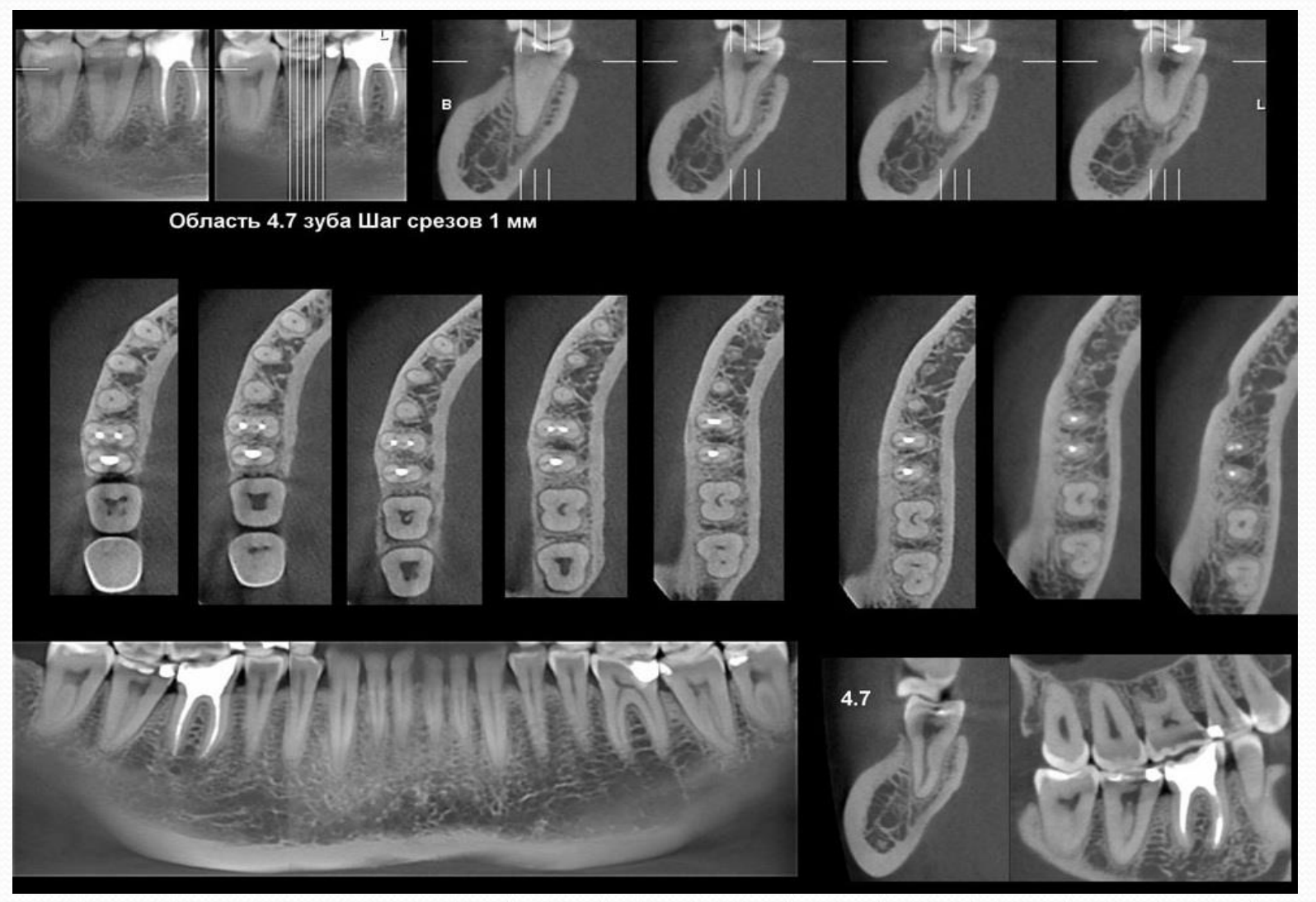
- Выполняется на специализированных томографах в положении стоя, сидя или лежа
- Во время снимка вокруг головы пациента медленно поворачивается рентгеновская трубка и плоский датчик (оборот 360 градусов), при этом время исследования занимает 10-40 секунд. В результате исследования получается первично трехмерное изображение высокого разрешения. Для просмотра и обработки исследования (построения сечений, проведения измерений) используются специальные дентальные программы.



#### Показания к КЛКТ

- Травмы и повреждения зубов и челюстей
- Аномалии развития и положения зубов и челюстей
- Заболевания верхнечелюстных пазух
- Планирование хирургических операций
- Новообразования костей и мягких тканей ЧЛО
- Выявление скрытых кариозных полостей
- Планирование ортодонтического лечения
- Планирование терапевтического лечения
- Контроль качества проведенного лечения

- Преимущества: возможность оценки большого количество анатомических структур, входящих в зону исследования, представление изображения с позиции трех взаимно перпендикулярных плоскостей или в виде трехмерной реконструкции, более низкая лучевая нагрузка (чем при КТ), возможность построения реконструкций (панорамных, мультипланарных), наличие специализированных программ.
- Недостатки: недостаточно хорошая визуализация и дифференцировка мягких тканей.





# Радионуклидная диагностика

- группа два простических метомов.

  основания каказуал изания органов и

  пканей путем решистрания пониканруков сто излучения от введенного в органия

## Радионуклидная диагностика

- Радиометрия и радиография
- Статическая и динамическая сцинтиграфия
- Эмиссионная компьютерная томография (ЭКТ)
  - Однофотонная эмиссионная КТ (ОФЭКТ)
  - Позитронно-эмиссионная томография(ПЭТ)

## Современные гамма-камеры

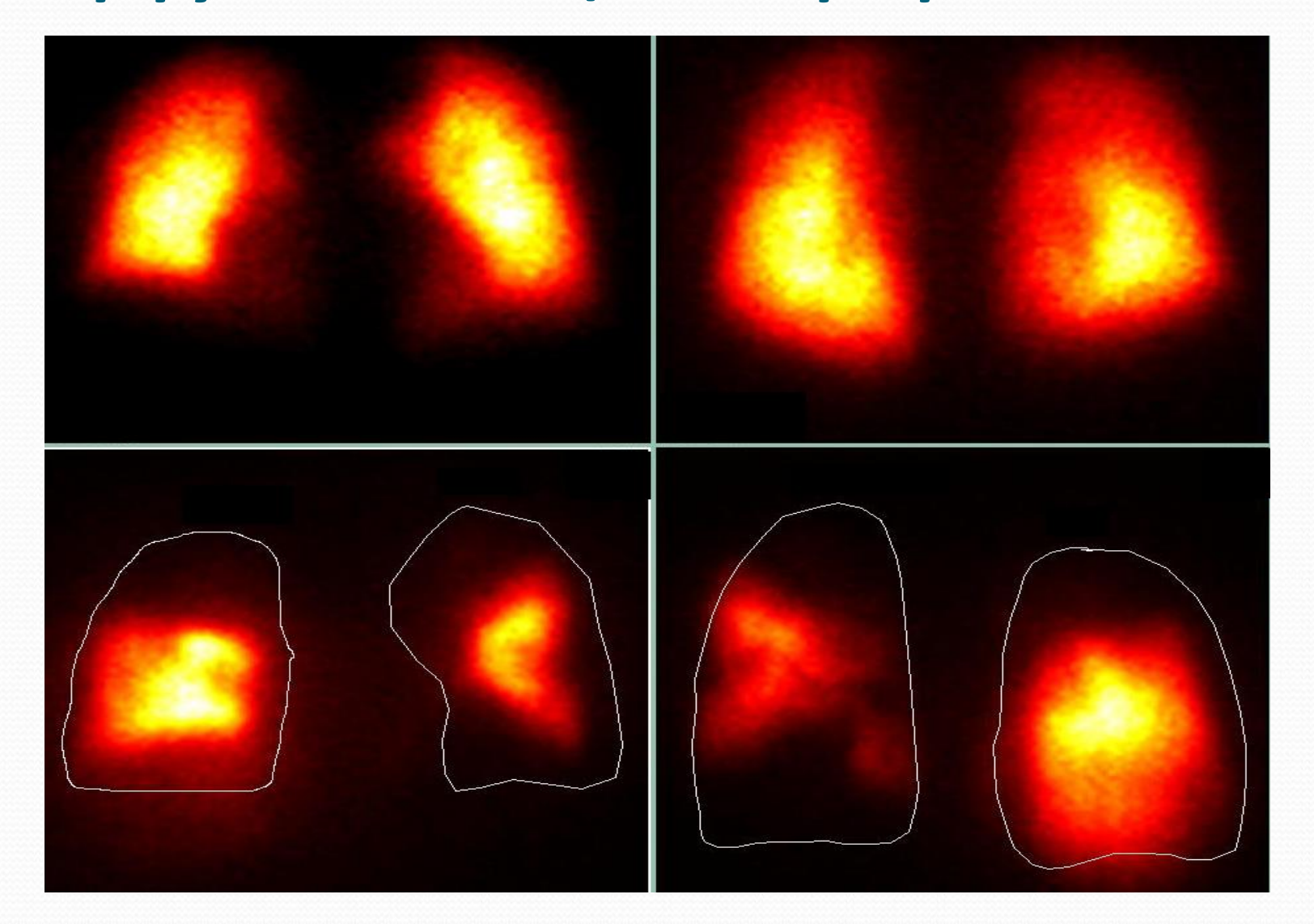




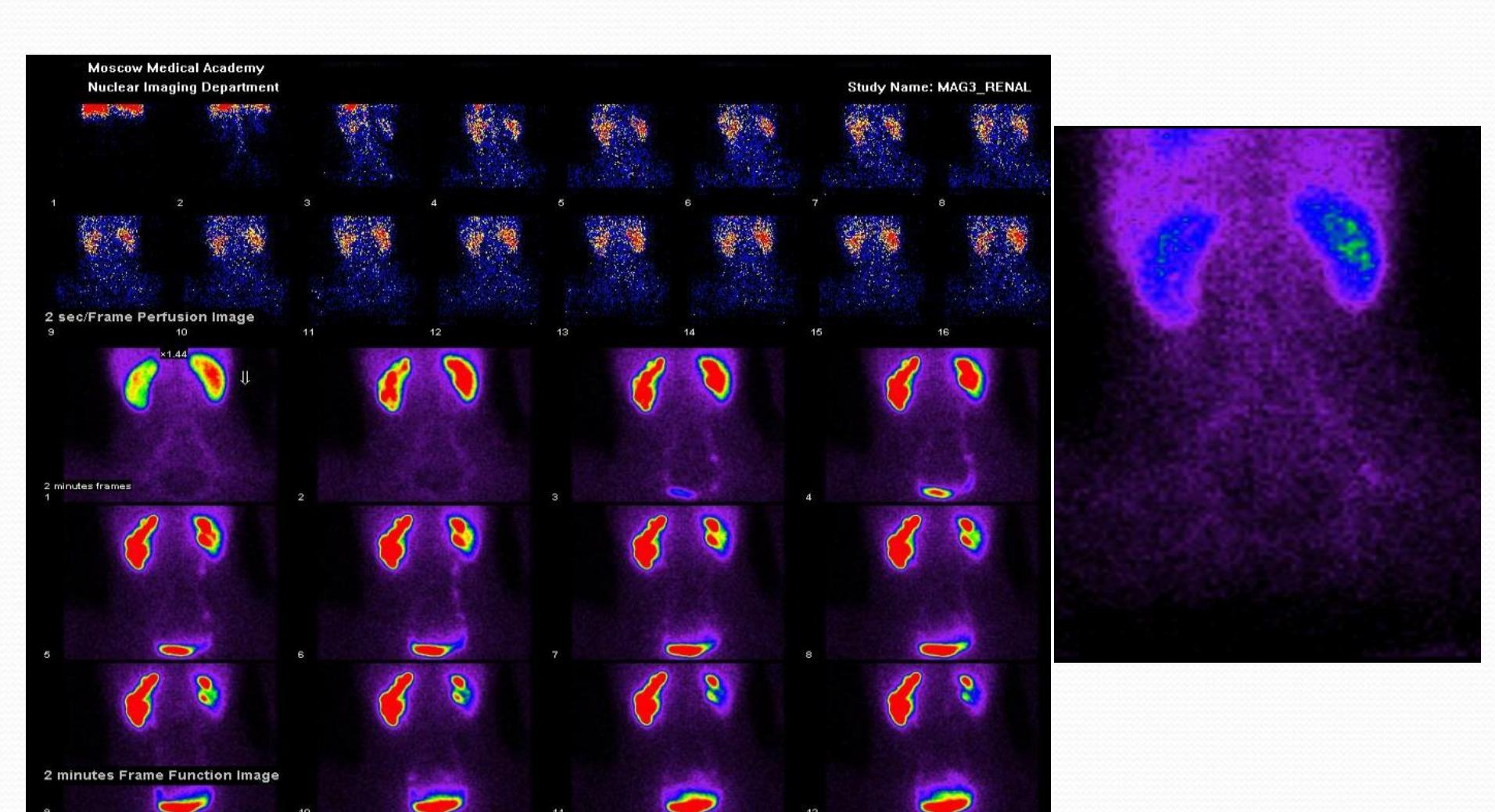
#### Сцинтиграфия щитовидной железы



#### Перфузионная сцинтиграфия легких



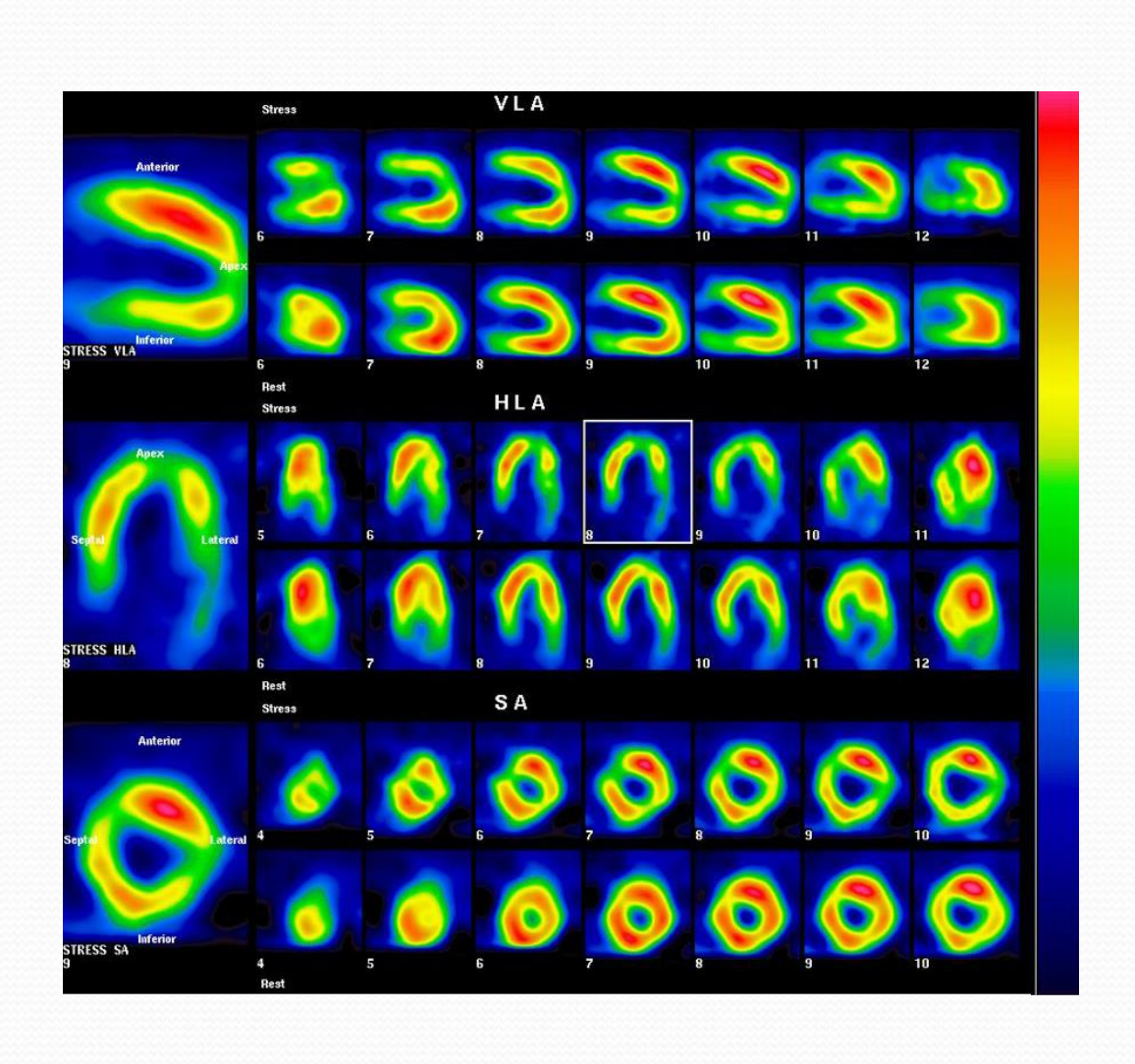
#### Динамическая нефросцинтиграфия



#### Статическая сцинтиграфия скелета



#### Перфузионная ОЭКТ миокарда



#### ПЭТ-центр Института сердечно-сосудистой хирургии им. Бакулева

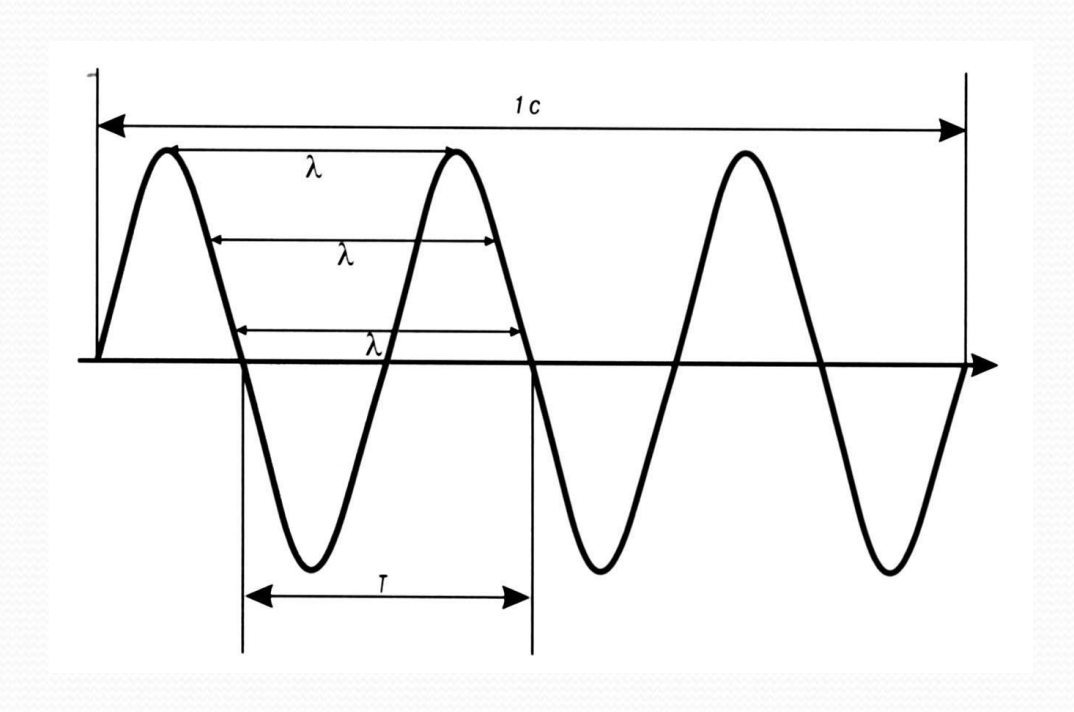
#### Состав клинического ПЭТ-центра



## Ультразвуковое исследование

Метон, лучекой динантостики, остожанный на получений изображения внутренних органов с поможько ультразвуковых волн

#### Физические основы



- Ультразвуковая волна – это звуковые колебания, превышающие 20Кгц
- Звуковая волна по природе является волной сжатия/разряжения: молекулы сжимаются или растягиваются в направлении распространения волны.

## Области применения

- Эхокардиография
- УЗИ печени, желчного пузыря, желчных путей, поджелудочной железы, селезенки
- УЗИ почек
- УЗИ щитовидной железы
- УЗИ молочных желез
- УЗДГ вен нижних конечностей
- УЗИ органов малого таза
- УЗИ плода
- ТРУЗИ предстательной железы
- УЗИ суставов
- УЗИ плевральной полости

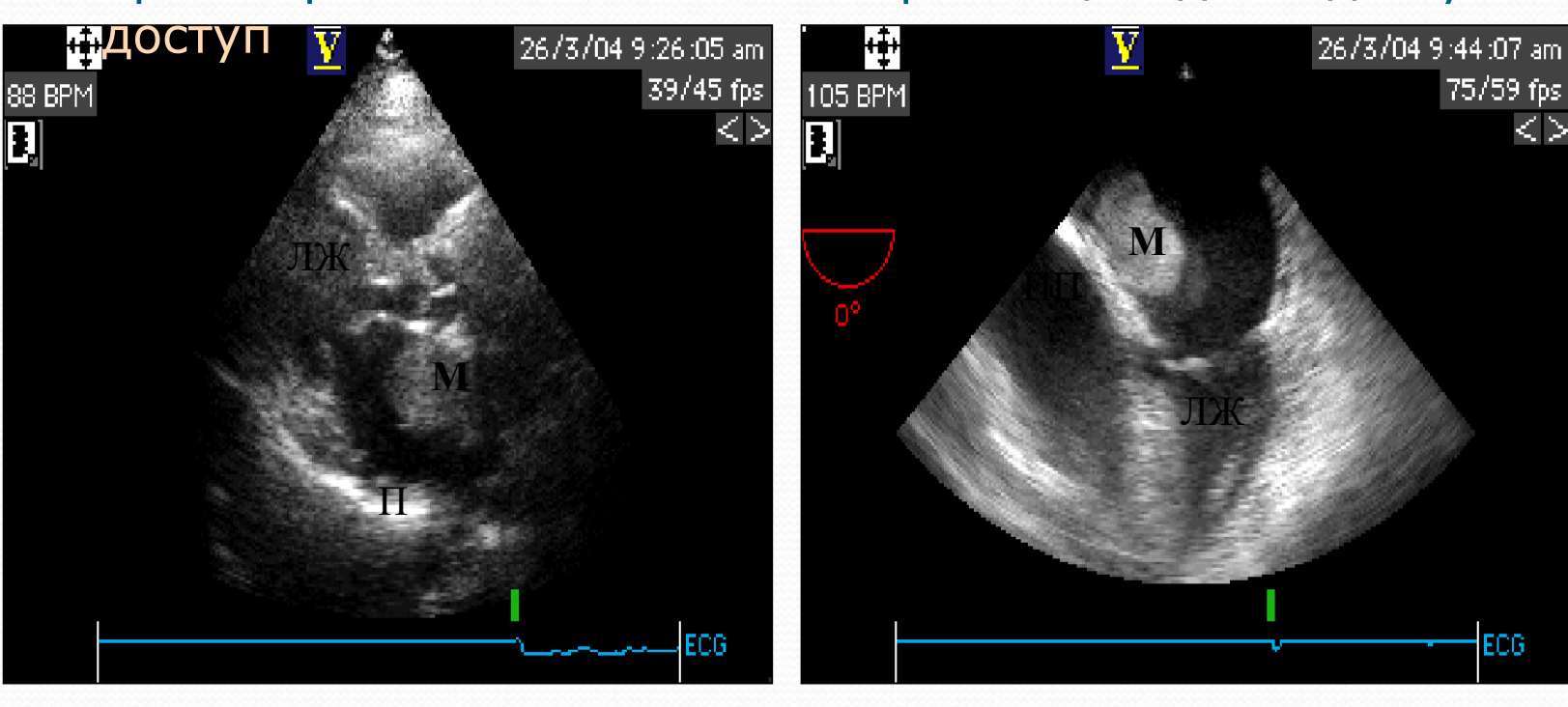
#### Возможности метода

- Оценка формы, размеров, расположения органов
- Выявление очаговых образований (кисты, абсцессы, опухоли, гематомы, гемангиомы), диффузного изменения органов
- Оценка плотности и структуры органов

## Эхокардиография

Трансторакальный

Чреспищеводный доступ



При чреспищеводном доступе более четко видны границы и структура опухоли, а также место прикрепления к межпредсердной перегородке

#### Печень



Однородная мелкозернистая эхоструктура нормальной печени.

Эхогенность печени чуть выше коркового слоя почки.

#### Цветовое допплеровское картирование

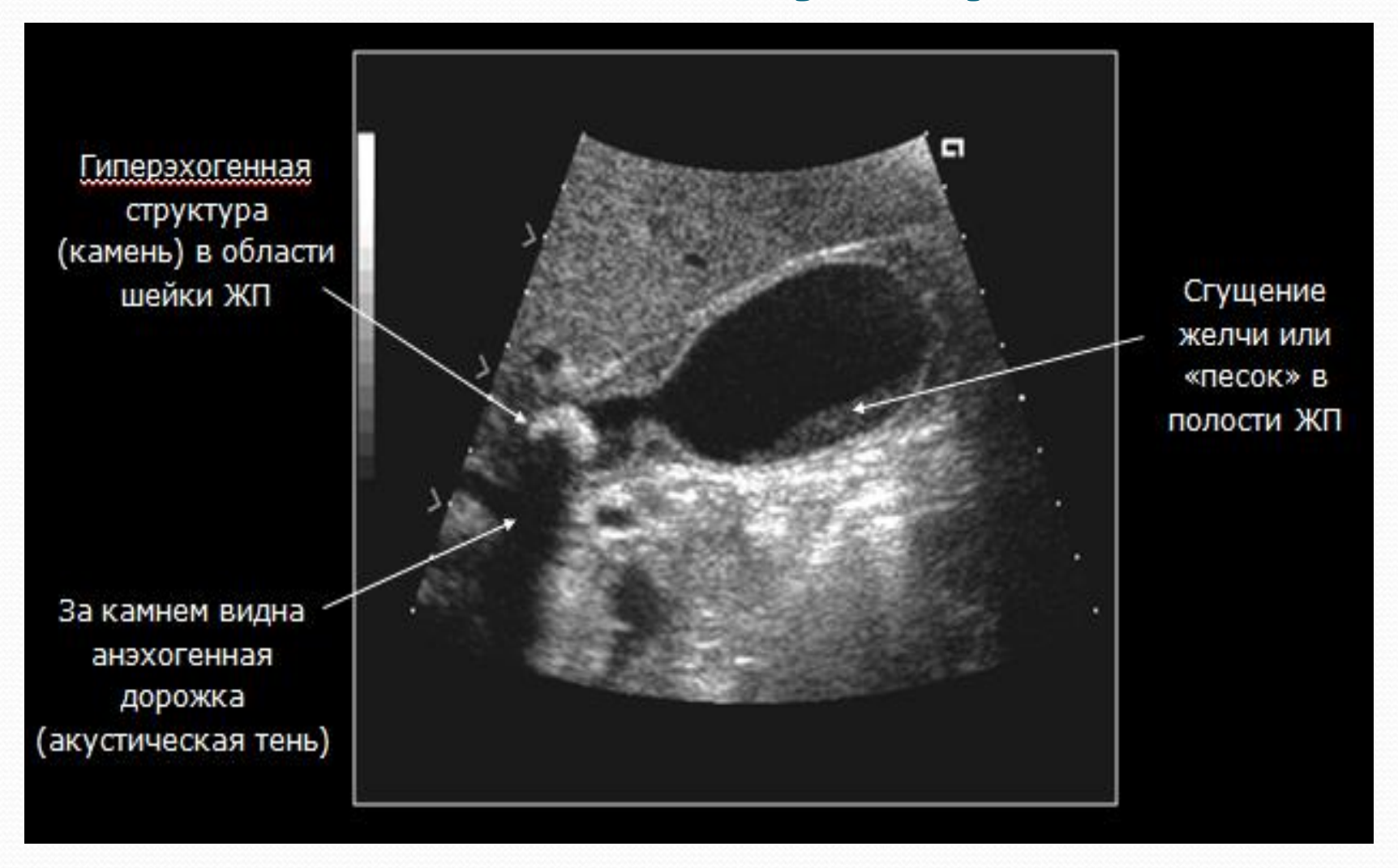
Потоки, направленные к датчику кодируются красным цветом Потоки, направленные от датчика кодируются синим цветом

#### Цветовое дуплексное сканирование сосудов печени

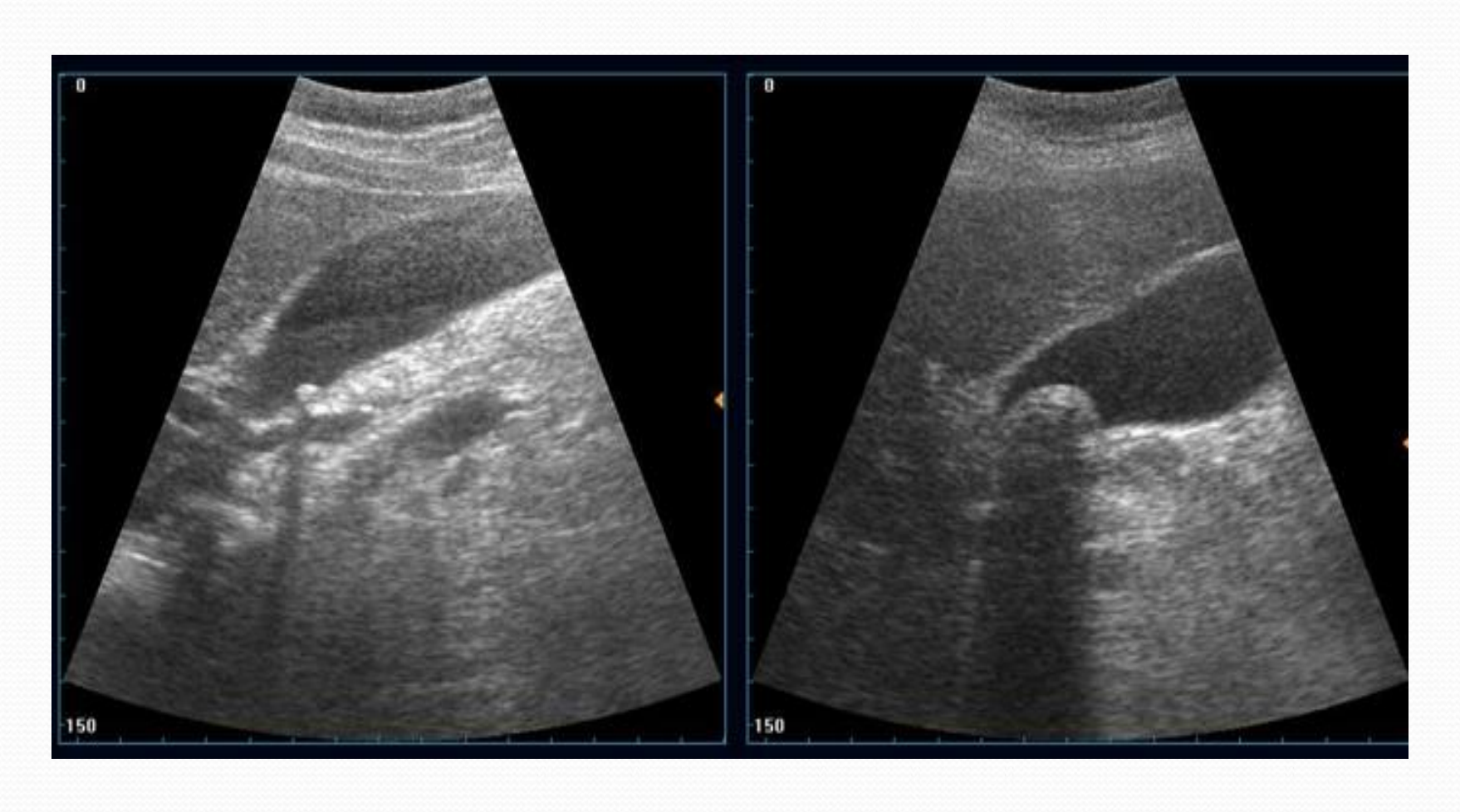


Кровоток в печеночной артерии и воротной вене направлен к датчику (кодирован красным цветом)

## Желчный пузырь



## Конкременты желчного пузыря



## Поджелудочная железа



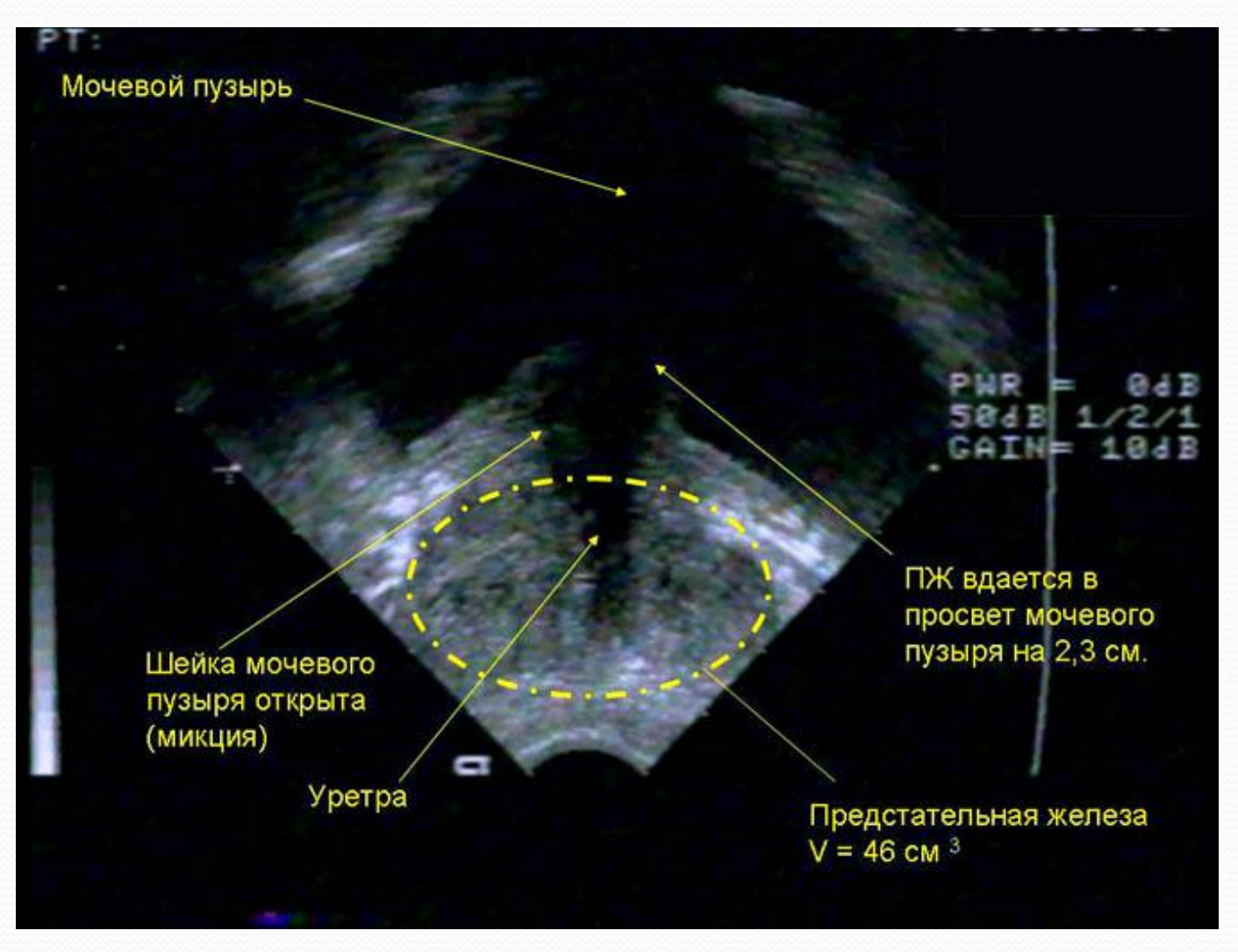
## УЗИ щитовидной железы



Серошкальное двухмерное сканирование ЩЖ линейным датчиком 7,5 Мгц

Паренхима ЩЖ имеет однородную среднезернистую эхоструктуру средней эхогенности.

## **ТРУЗИ**



#### УЗИ слюнных желез





Сиалолитиаз

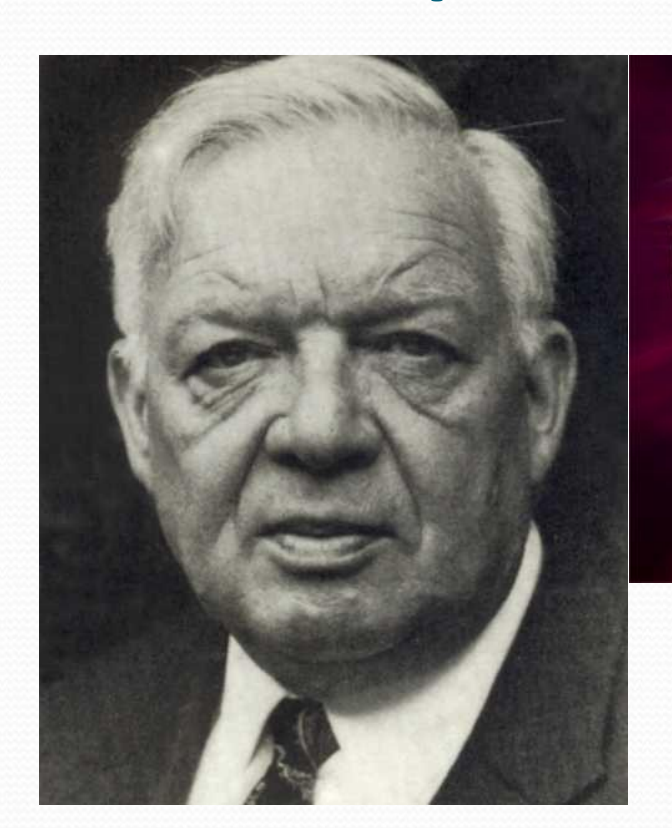
# Интервенционная радиология **радиология**

(C) O FRANCIS ANTE A PARTIE PARTIES AND A STATE FRANCIS AND A STAT

## Ангиография

- Метод рентгенологического исследования, направленный на изучение сосудов и сердца с помощью введения в них контрастных веществ.
- Для ангиографии используют водорастворимые йодсодержащие контрастные вещества.

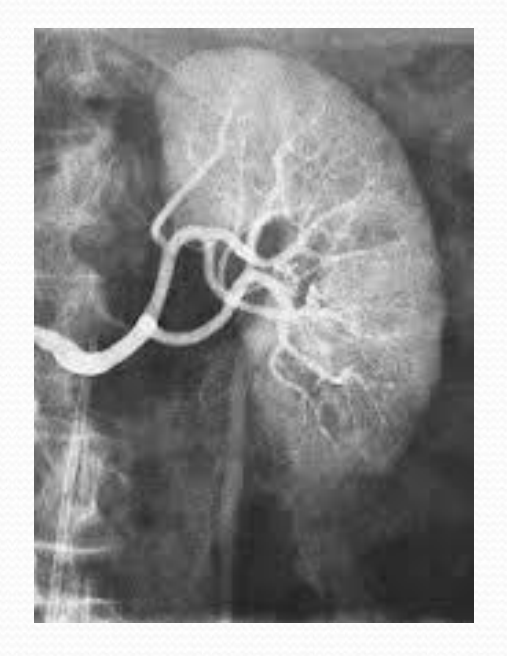
#### История мировой рентгенологии

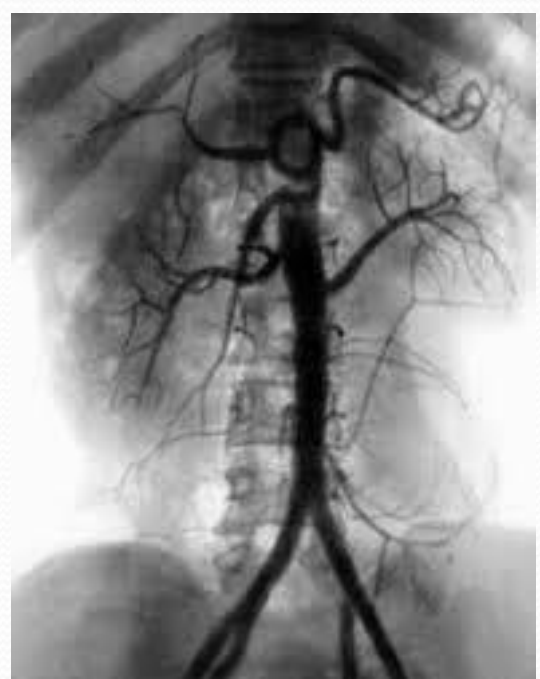


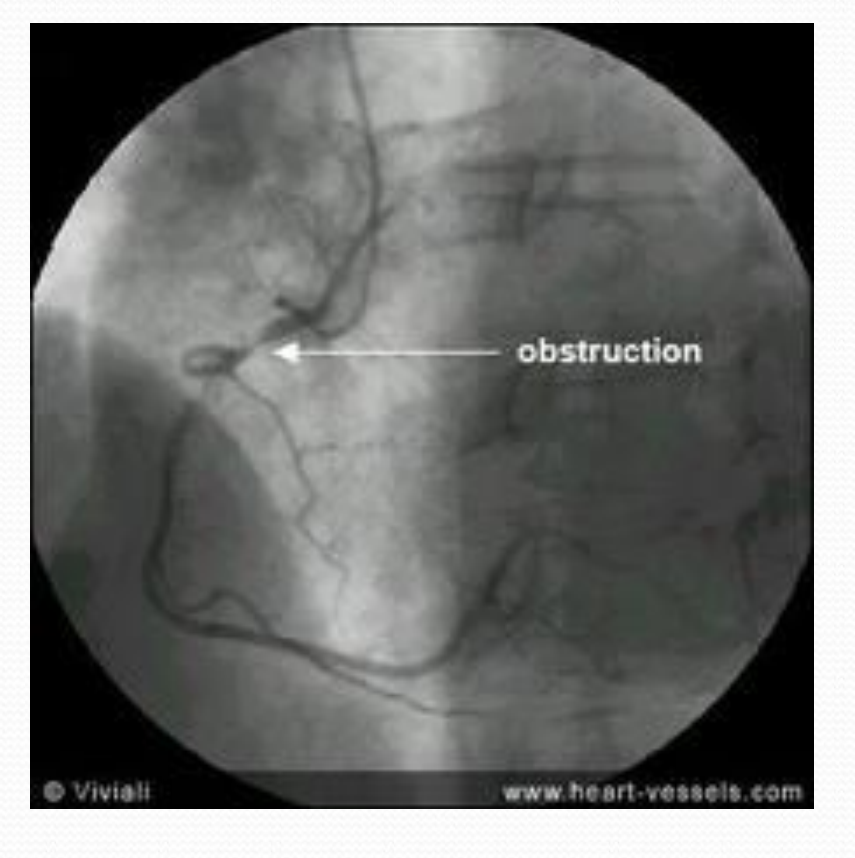
Вернер Форсман (1904– 1979) Разработал способ катетеризации сердца. Испытал его на себе, проведя зонд через локтевую вену в правое предсердие.



### Ангиография







# Магнитно-резонансная томография

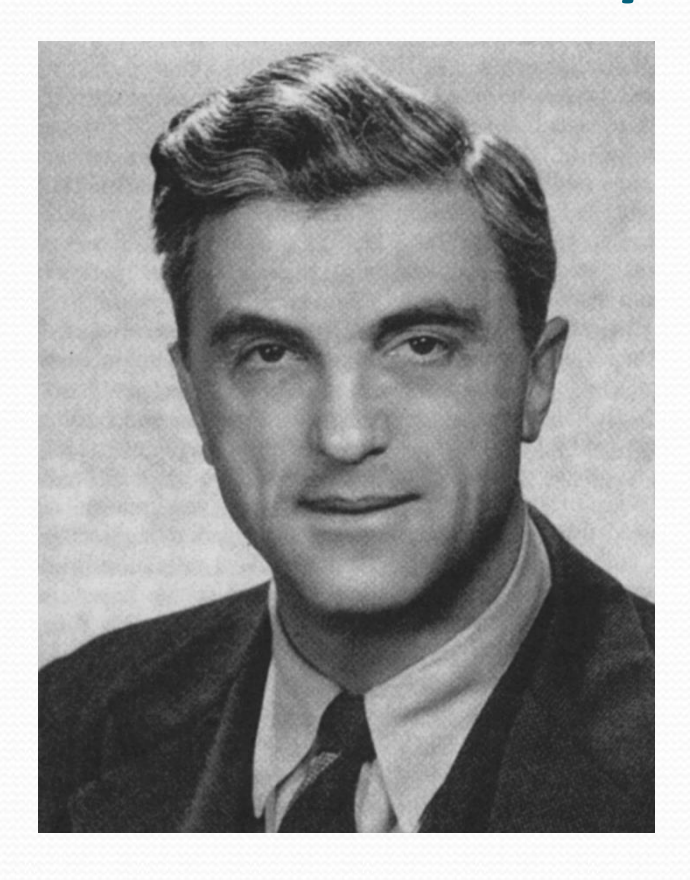
#### Физический принцип МРТ

- В основе МРТ лежит феномен ядерно-магнитного резонанса, открытый в 1946 году физиками Ф.Блохом и Э.Перселлом (Нобелевская премия по физике, 1952 г.).
- Суть феномена ядерно-магнитного резонанса состоит в способности ядер некоторых элементов [H,C,O,P], находясь под воздействием статического магнитного поля В₀, принимать энергию радиочастотного импульса и переходить на более высокий энергетический уровень. При переходе на нижний энергетический уровень ядра выделяют полученную энергию МР-сигнал.

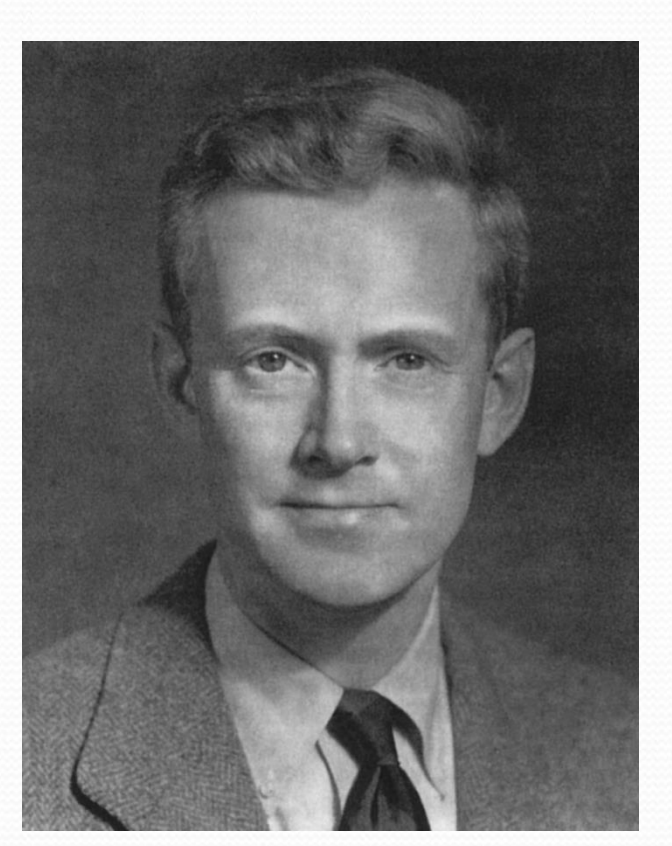
#### Физический принцип МРТ

- В 1973 г. американский ученый П.Лотербур предложил дополнить феномен ЯМР воздействием переменного магнитного поля для пространственной локализации сигнала. С помощью протокола реконструкции изображений, использовавшегося в то время при проведении компьютерной томографии, ему удалось получить первую МР-томограмму живого существа.
- Принцип MPT позволяет получать сигнал от любых ядер в теле человека, но наибольшей клинической значимостью обладает оценка распределения протонов, входящих в состав жидкости и жира (что определяет высокую мягкотканную контрастность метода).

#### Лауреаты Нобелевских премий за открытие ЯМР

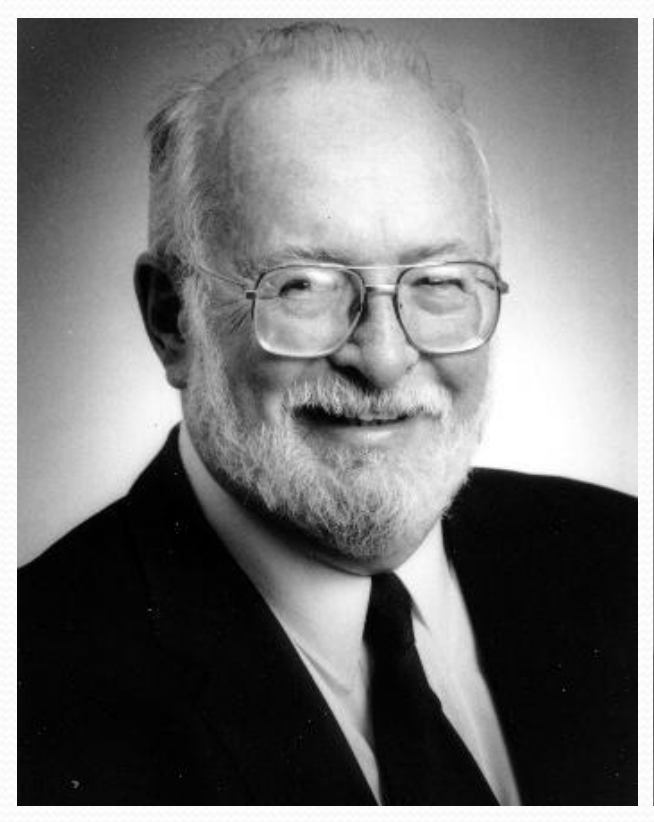


Феликс Блох

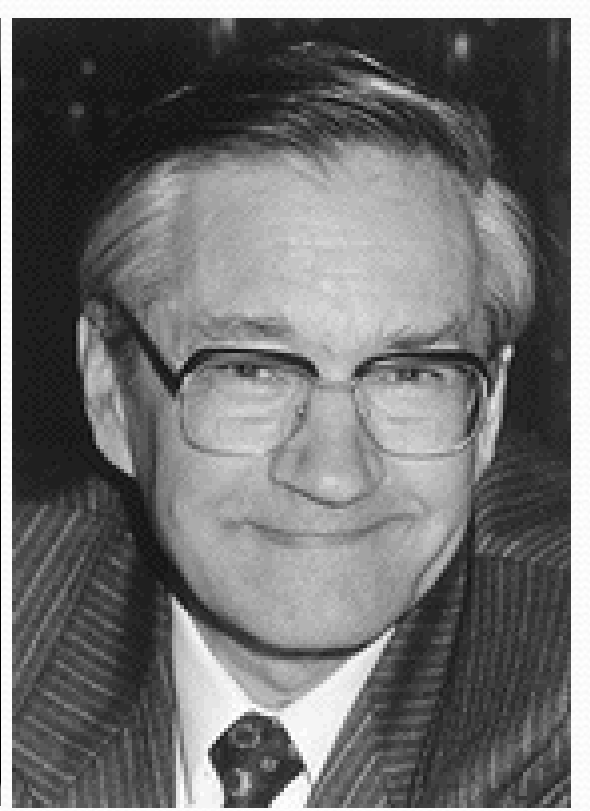


Эдвард Перселл

# Лауреаты Нобелевских премий за разработку МРТ







Пол Лотербур

Сэр Питер Мэнсфилд

Ричард Эрнст

#### Компоненты МР-томографа

- Магнит создает статическое однородное магнитное поле
- Градиентные катушки слабое переменное магнитное поле
- Радиочастотные катушки передают радиочастотный импульс и принимают МР сигнал
- Компьютер управление томографом, получение и обработка МР сигнала, реконструкция МР изображений

# Примеры МР-томографов





# Достоинства метода

- Неинвазивность
- Отсутствие ионизирующего излучения
- Трехмерный характер получения изображений
- Высокий мягкотканый контраст
- Естественный контраст от движущейся крови
- Высокая диагностическая эффективность

#### Недостатки метода

- Высокая стоимость оборудования и его эксплуатации
- Невозможность надежного выявления камней, кальцификатов, патологии костей
- Артефакты (в т.ч. от металлических объектов)
- Длительное время получения изображений
- Ограничения при обследовании тяжелых больных

# Абсолютные противопоказания

- Наличие у пациента искусственного водителя ритма (может перейти в асинхронный режим работы под воздействием градиентного магнитного поля)
- Внутричерепных ферромагнитных гемостатических клипс (при смещении может произойти повреждение сосуда и кровотечение)
- Периорбитальных ферромагнитных инородных тел (при смещении может произойти повреждение глазного яблока).
- Выраженная клаустрофобия

#### Относительные противопоказания

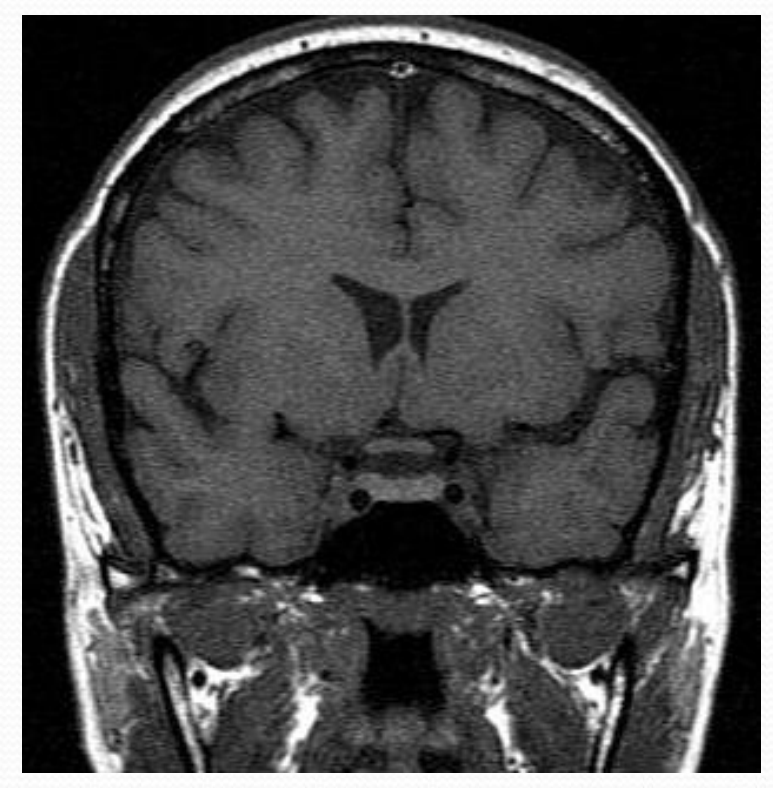
- Первый триместр беременности
- Застойная сердечная недостаточность.
- Большинство медицинских устройств является условно совместимыми с МРТ. Это значит, что обследование пациентов с установленными стентами, внутрисосудистыми катушками, фильтрами, протезами сердечных клапанов может проводиться при наличии клинических показаний по согласованию со специалистом по лучевой диагностике на основе информации компании-производителя о характеристиках металла, из которого изготовлено установленное устройство.

# Контрастирование

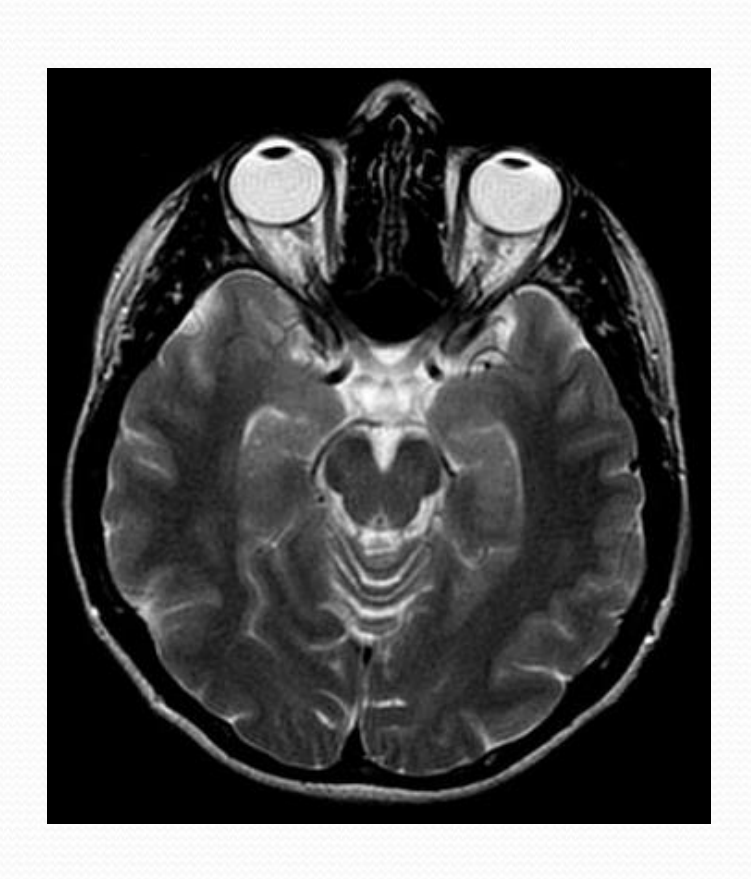
- Внутривенное: используется гадолиний.
- В чистом виде данный металл обладает высокой токсичностью, однако в форме хелата становится практически безопасным. Побочные реакции возникают крайне редко (менее 1% случаев) и обычно имеют легкую степень выраженности (тошнота, головная боль, жжение в месте инъекции, парестезии, головокружение, сыпь).
- Введение MP-контрастных препаратов при беременности не рекомендуется, т.к. неизвестна скорость клиренса из амниотической жидкости

# Головной мозг



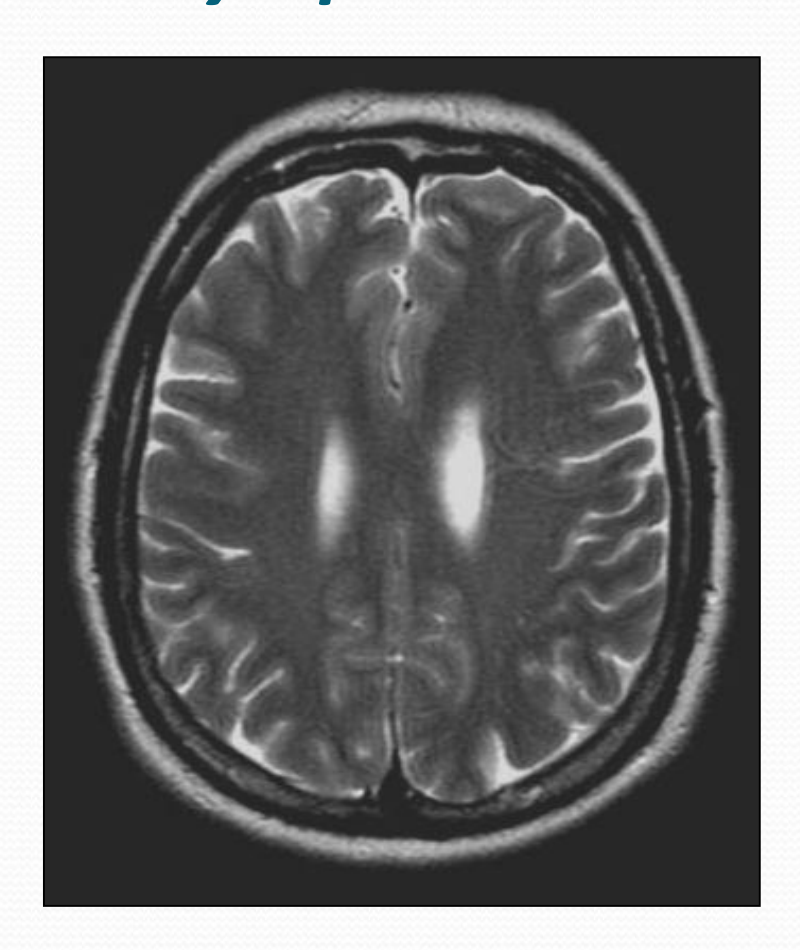


# Головной мозг

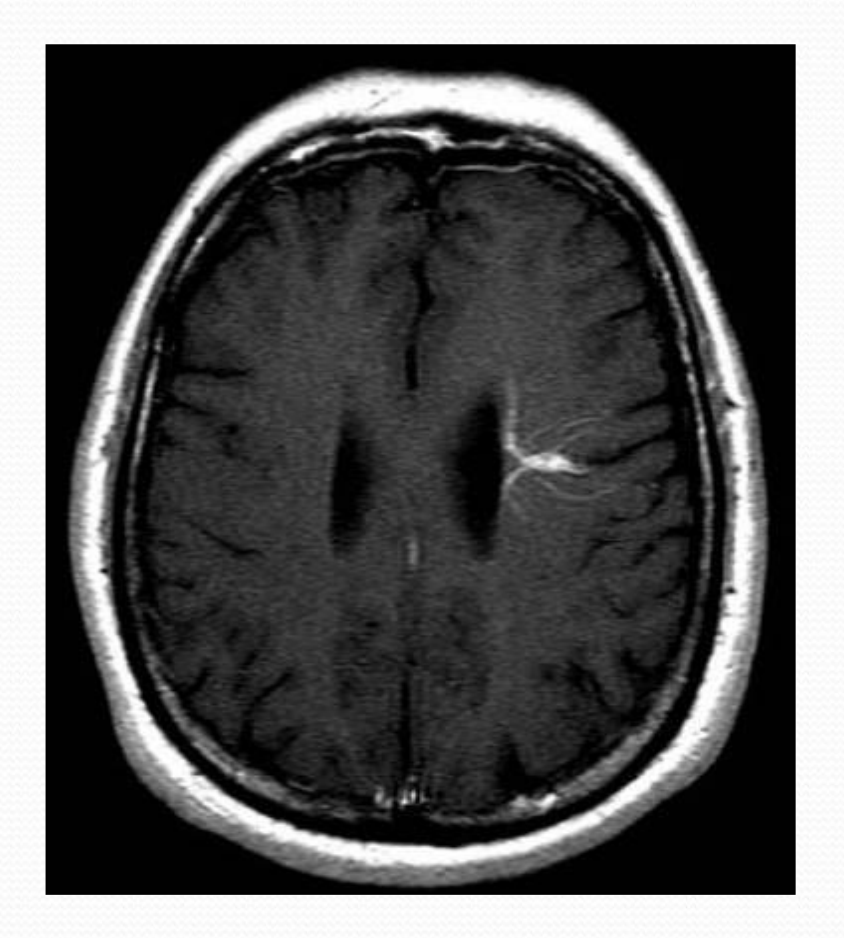




#### Внутривенное контрастирование



Т2-взвешенная томограмма



T1-взвешенная томограмма после введения Gd

# МРТ в травматологии и ортопедии

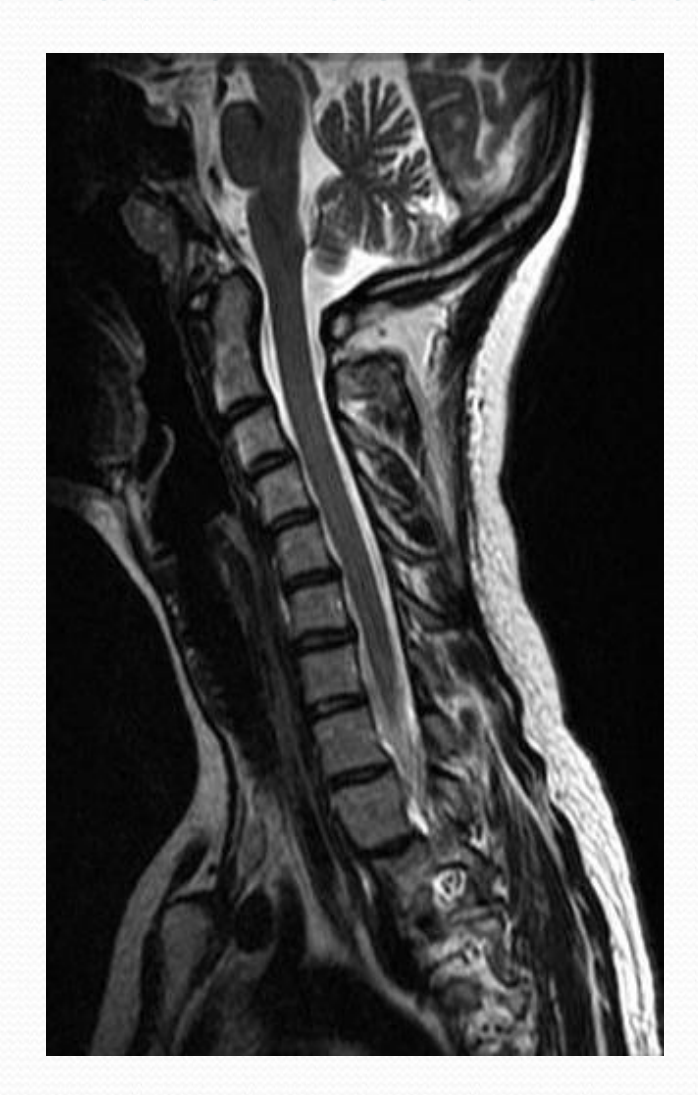
- Визуализация мягко-тканных структур (внутрисуставных связок, менисков, синовиальных складок)
- Патологические процессы, связанные с увеличением содержания жидкости (отек, инфильтрация, разрывы)
- Использование импульсных последовательностей с подавлением сигнала от жира позволяет выявлять зоны контузии (посттравматического отека) в губчатой кости.
- Выявление инфильтрации и деструкции костной ткани, замещение костного мозга задолго до появления рентгенологических (в т.ч. КТ) признаков.

# МРТ коленного сустава





#### МРТ шейного отдела позвоночника



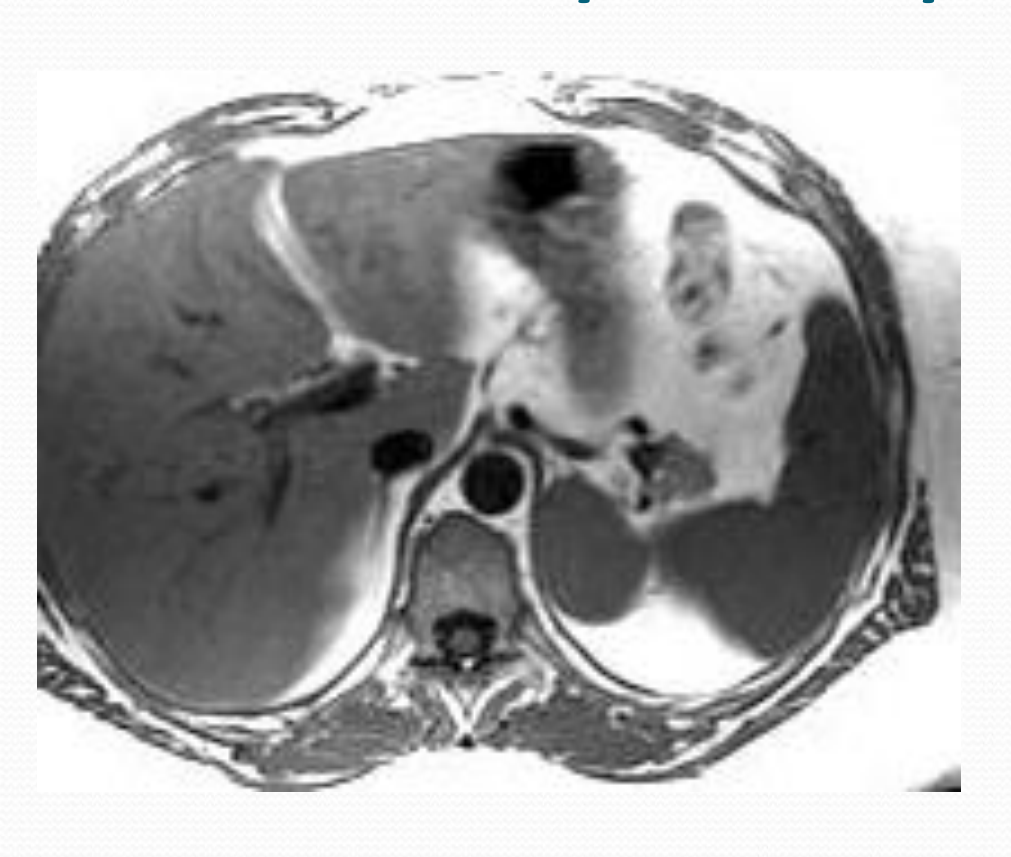
#### **МРТ** кисти

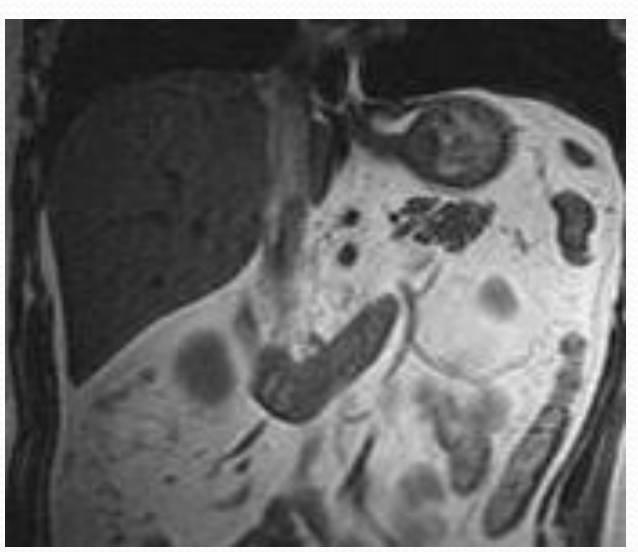


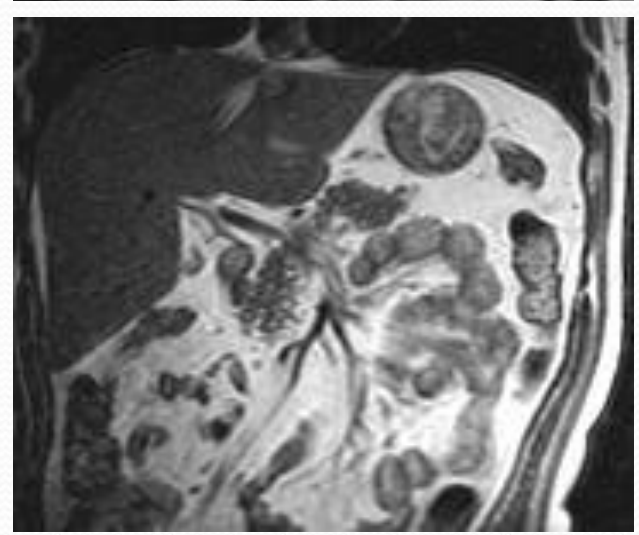
# МРТ органов брюшной полости

- Метод выбора для дифференциальной диагностики образований паренхиматозных органов брюшной полости и забрюшинного пространства при невозможности выполнения КТ с внутривенным введением йодсодержащих контрастных препаратов.
- Наиболее информативный метод при метастатическом поражении печени, гемангиомах, ГЦК, аденомах печени, фокальной жировой инфильтрации, образованиях надпочечников

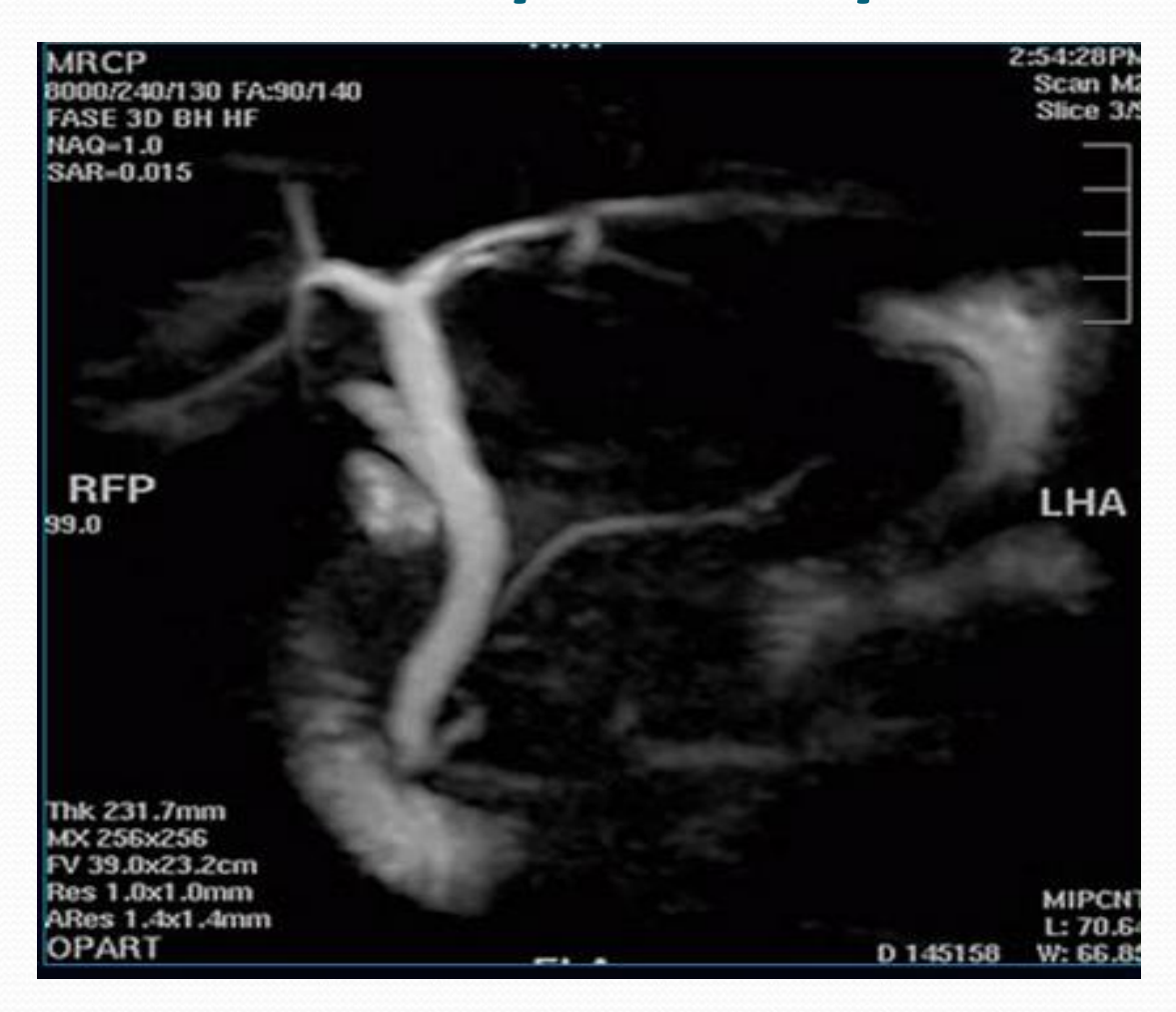
# МРТ органов брюшной полости



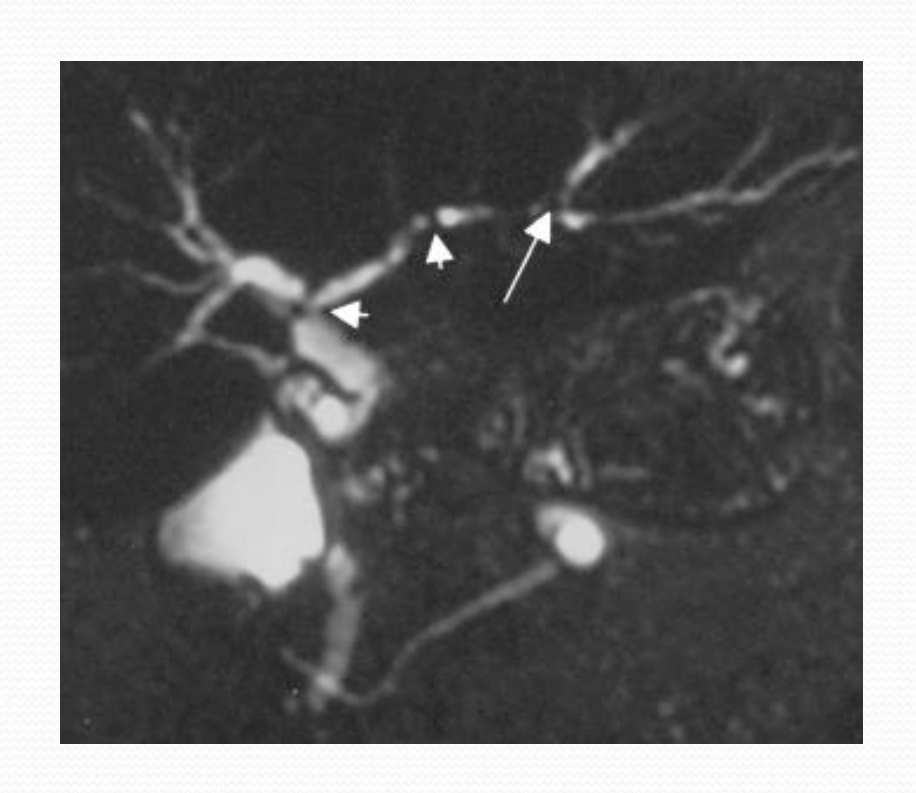


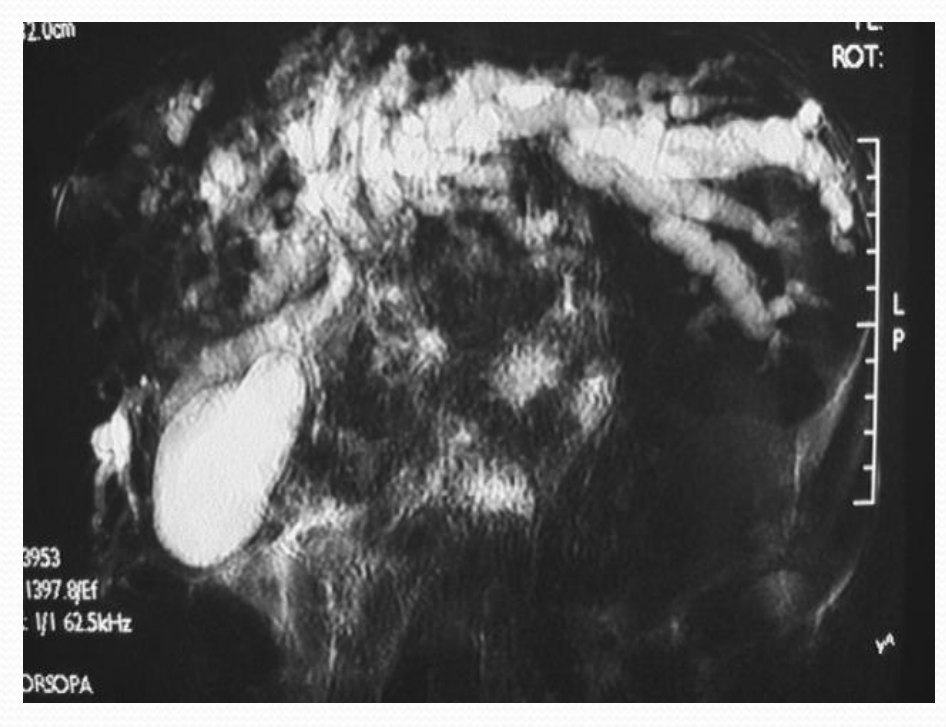


# МРТ билиарного тракта



# **МР-холангиография** Первичный склерозирующий холангит

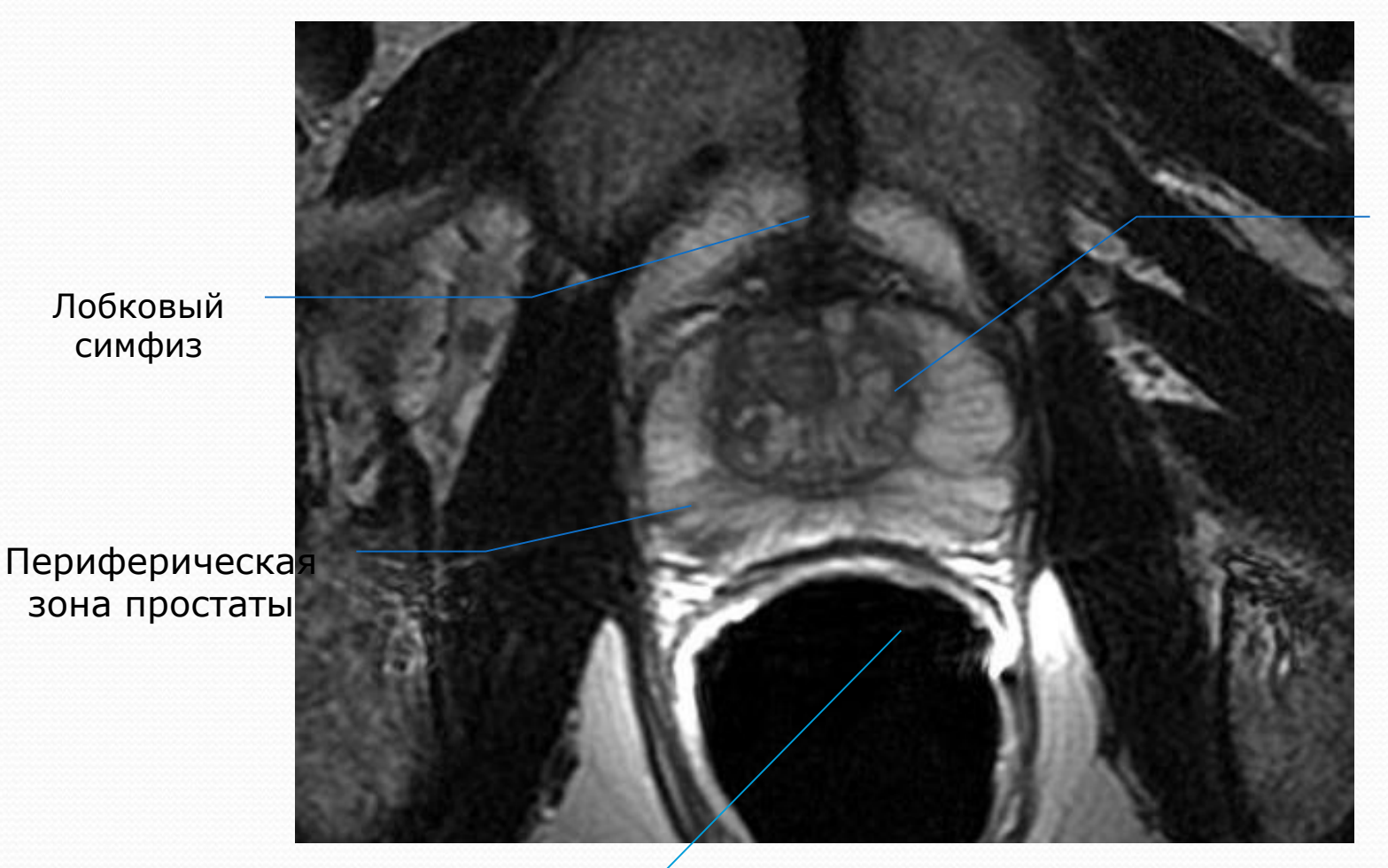




#### **МРТ простаты**

Центральная зона

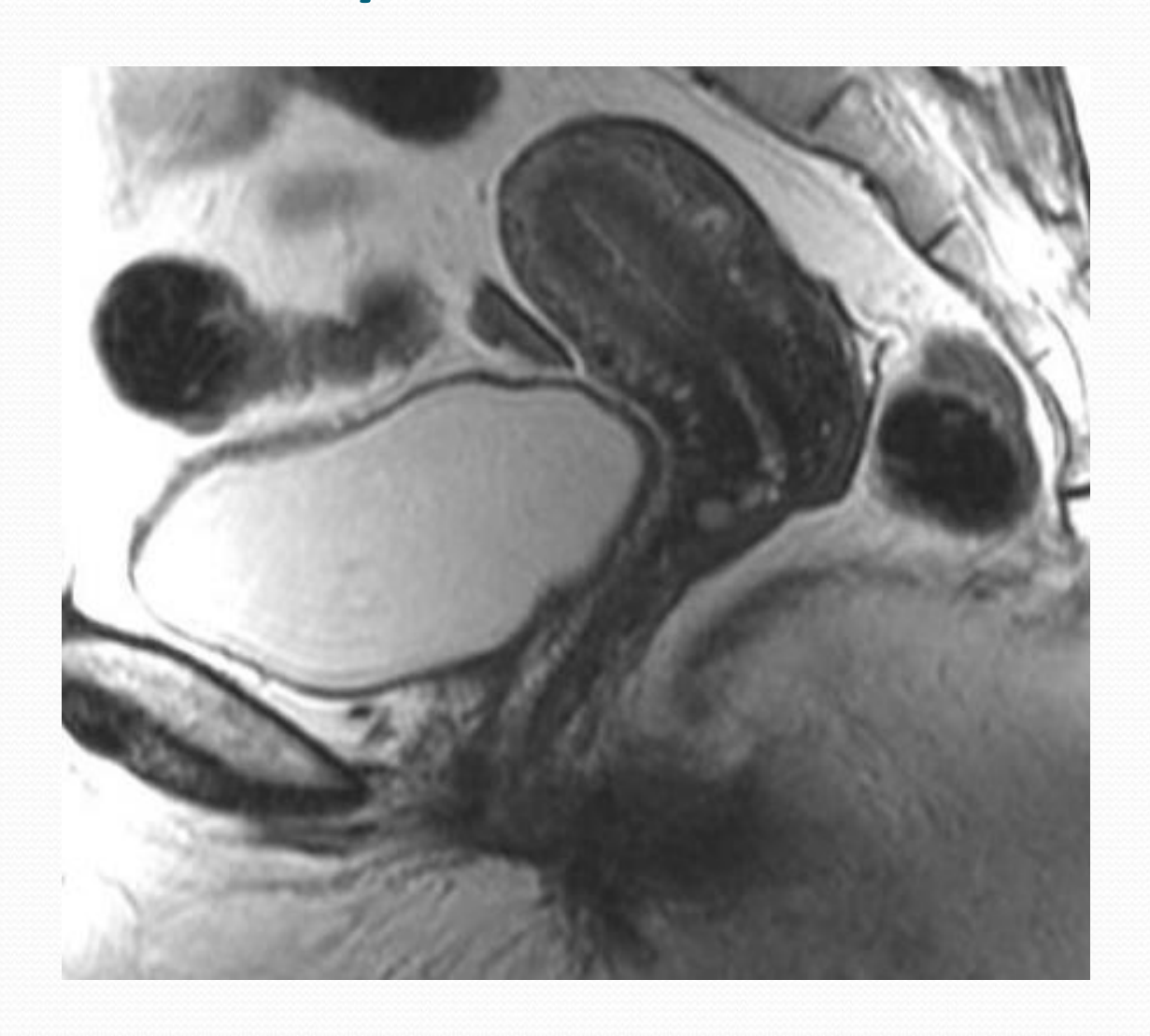
простаты



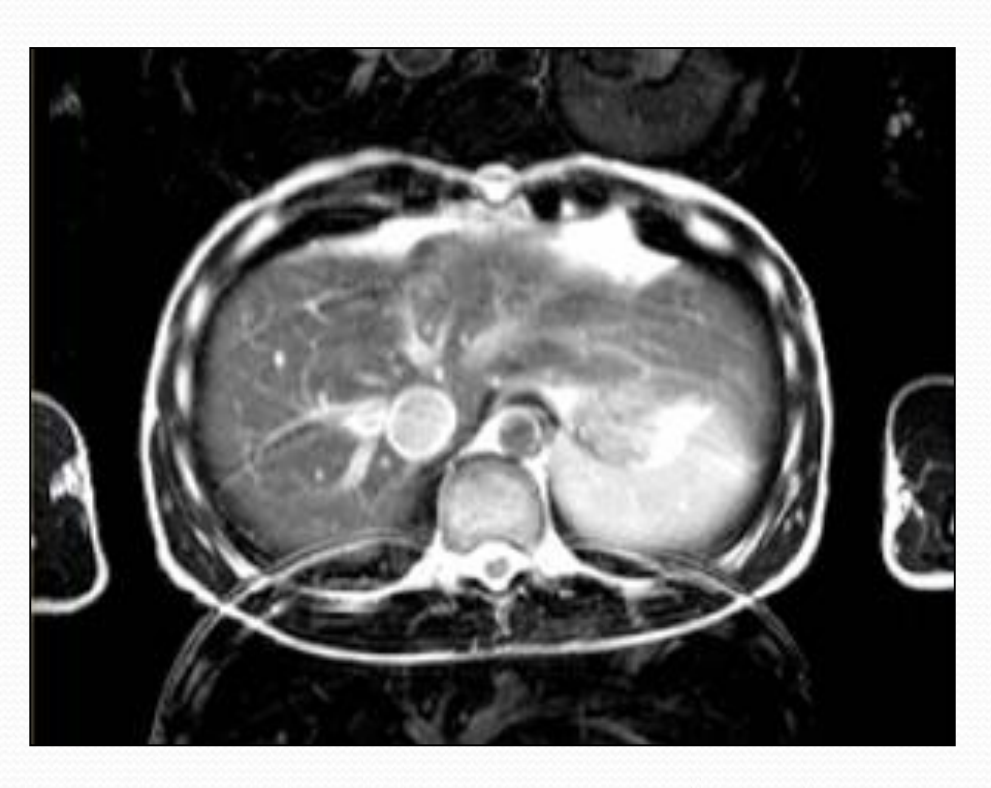
Прямая кишка (заполнена эндоректальным датчиком)

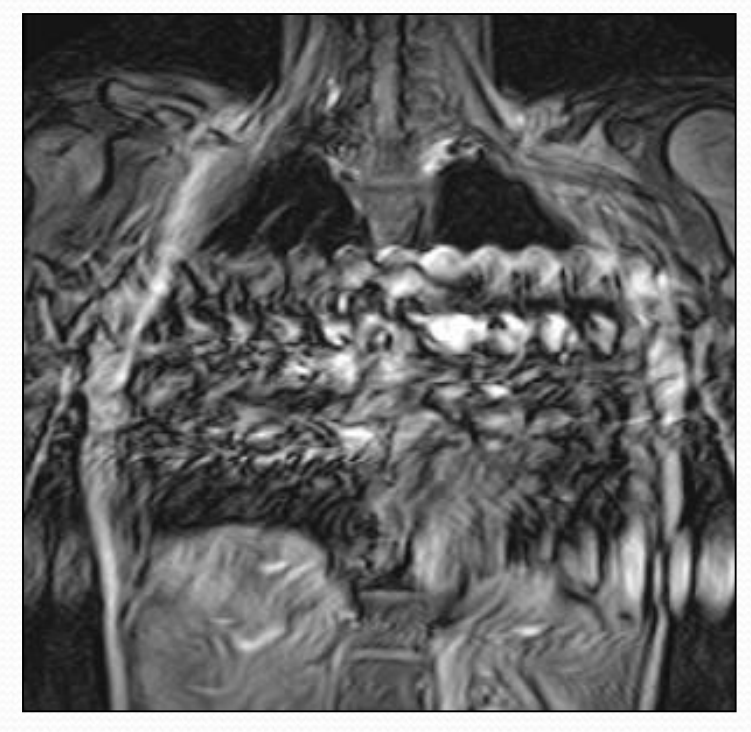
симфиз

# МРТ органов малого таза



# Артефакты от движения





# Благодарю за внимание!

# ОСНОВЫ УЛЬТРАЗВУКОВОЙ ДИАГНОСТИКИ

УЛЬТРАЗВУКОВАЯ ДИАГНОСТИКА - визуализация внутренних органов и структур при помощи ультразвуковых волн

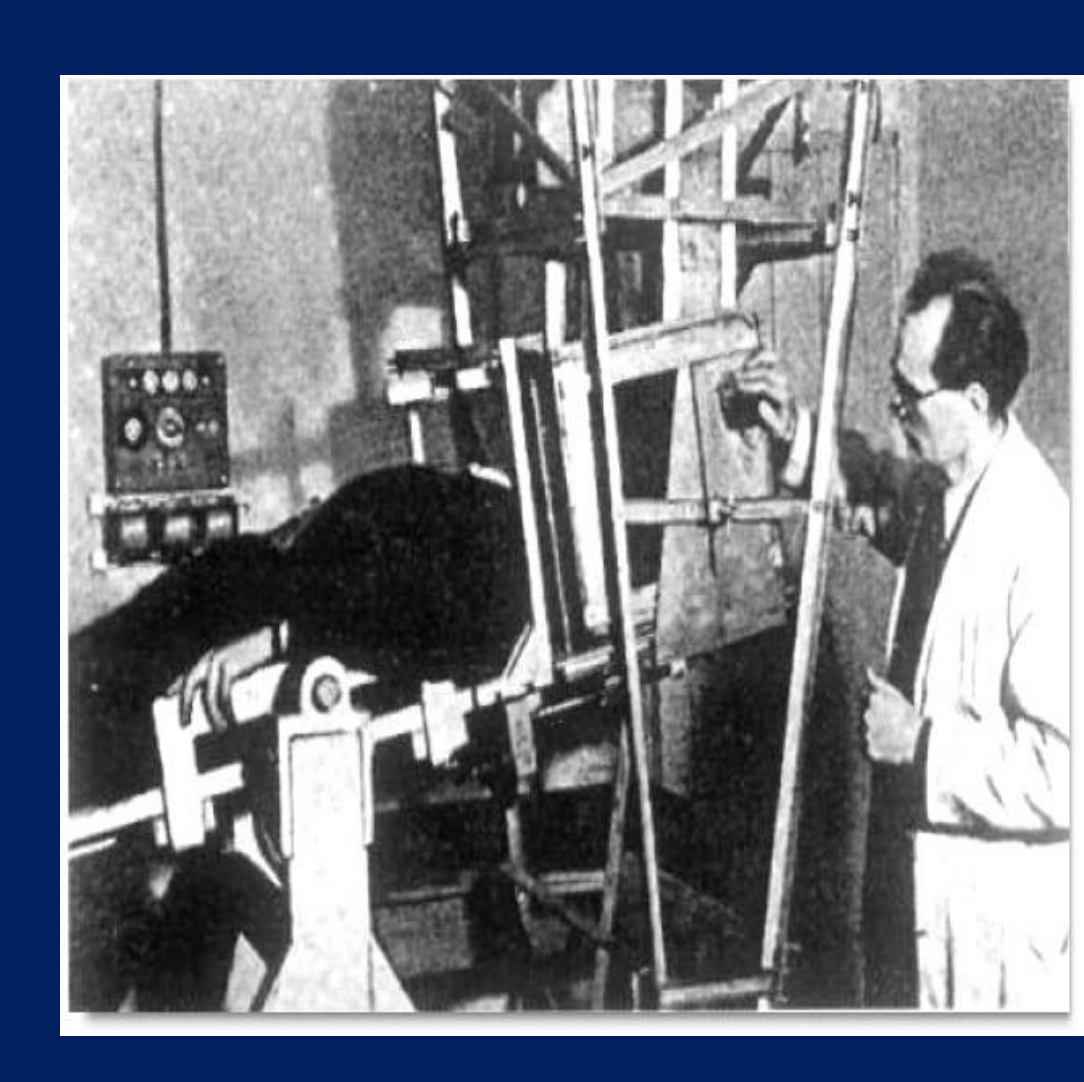
#### Преимущества метода

- высокая информативность
- безвредность
- быстрота выполнения
- возможность обследования в режиме реального времени
- возможность многократного повторения без вреда для здоровья
- мобильность и доступность

- 1794 итальянский физик и натуралист
- L.Spallanzani обратил внимание, что летучие мыши теряют ориентацию в пространстве при закрытых ушах

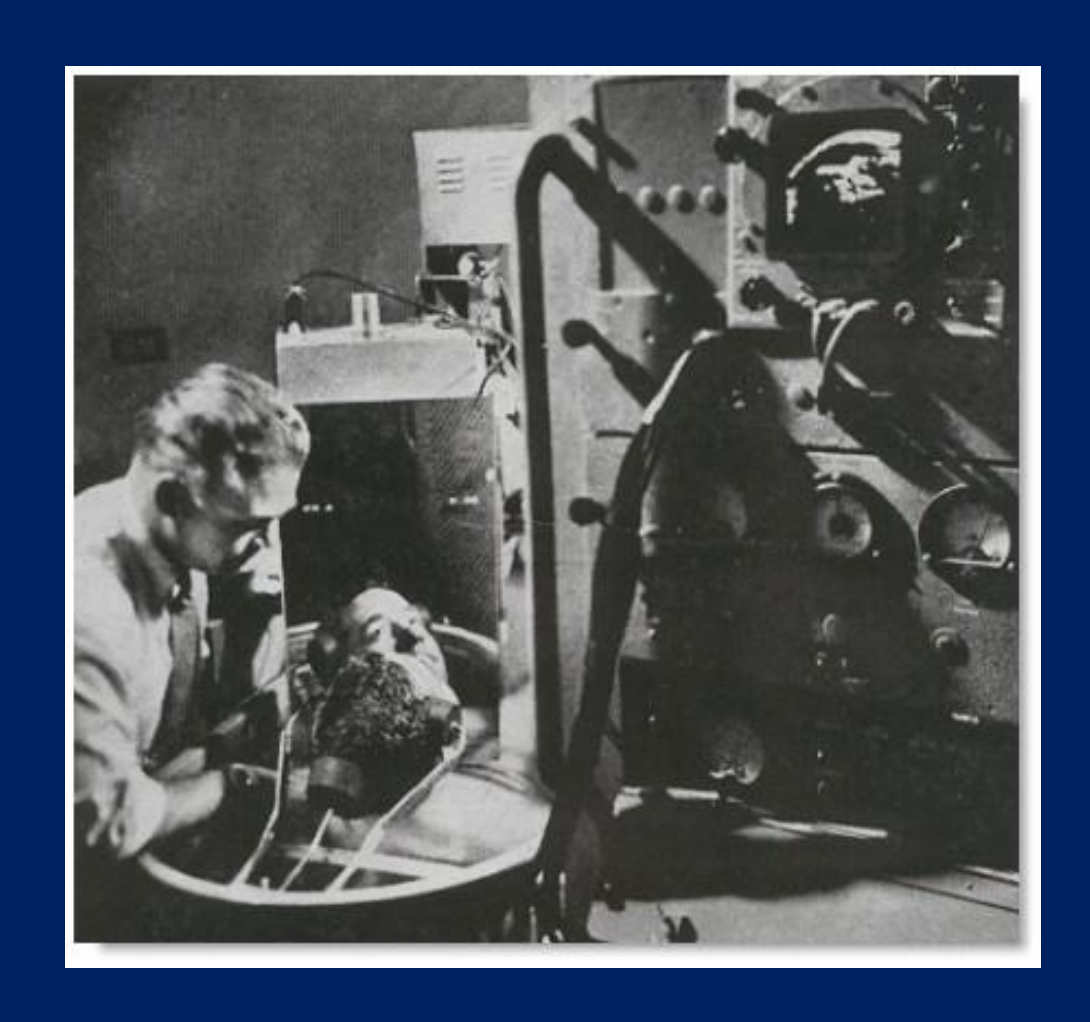


- 1880 братья Curie P. Curie J.
- открытие явления пьезоэффекта
- 1947 K.T.Dussik метод гиперфонографии



# История ультразвуковой диагностики

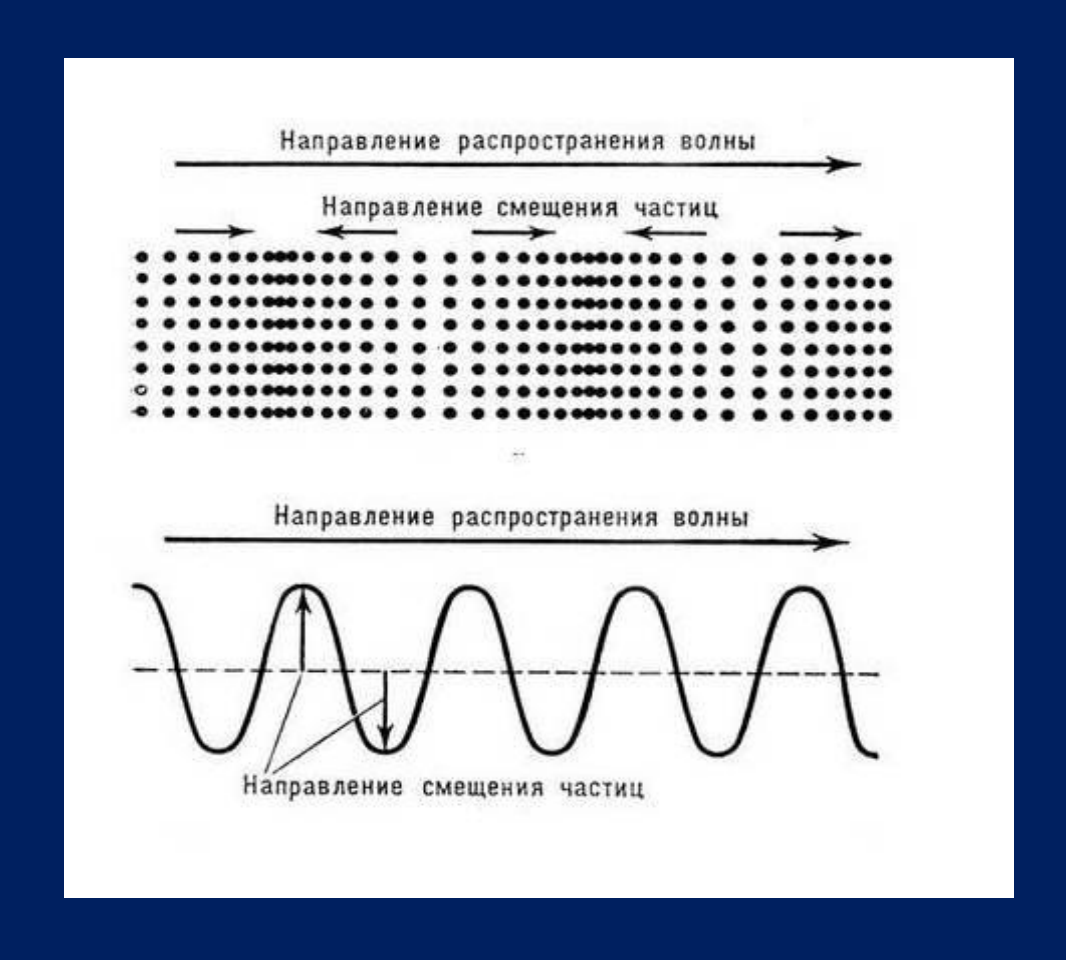
1951 D.Howry (США) первый ультразвуковой сканер в виде полукруглой кюветы с окном для пациента - сомаскоп



# История ультразвуковой диагностики

- 1952 основание American Institute of Ultrasound in Medicine
- 1963 первый контактный сканер, управляемый рукой
- 1966 Всемирный конгресс в Вене

- Звуковые колебания
  представляют собой
  механические колебания
  частиц упругой среды в
  направлении
  распространения
  продольной волны.
- Для распространения звуковой волны в отличии от электромагнитной волны (свет, радиация) необходима упругая среда (твердая, жидкая, газообразная).

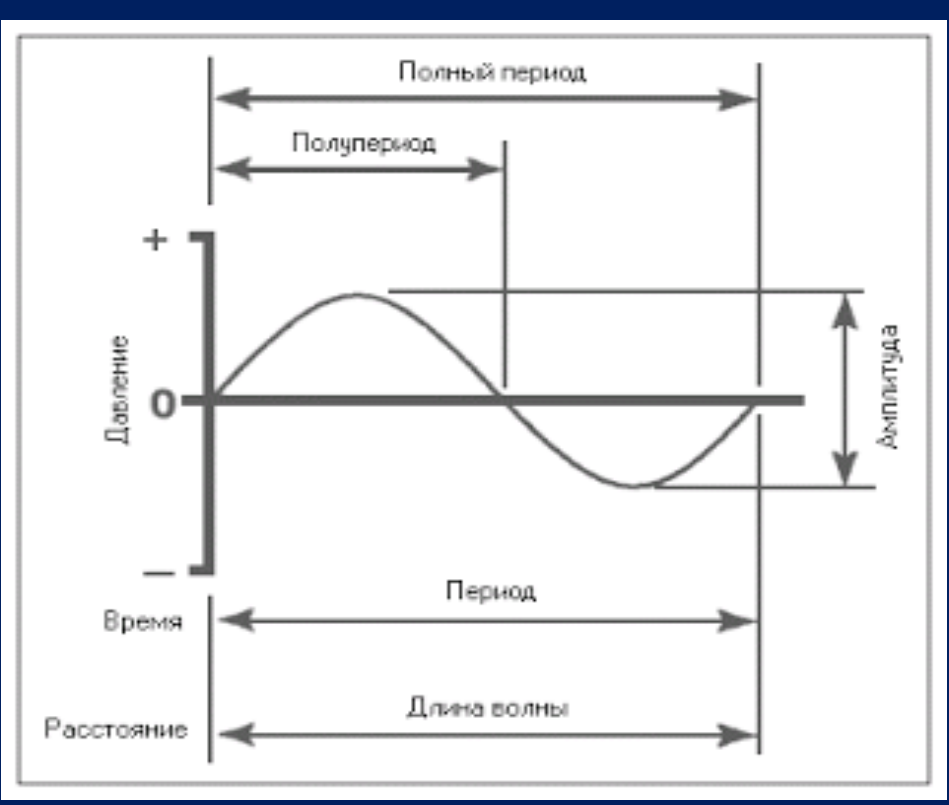


#### Параметры звуковой волны

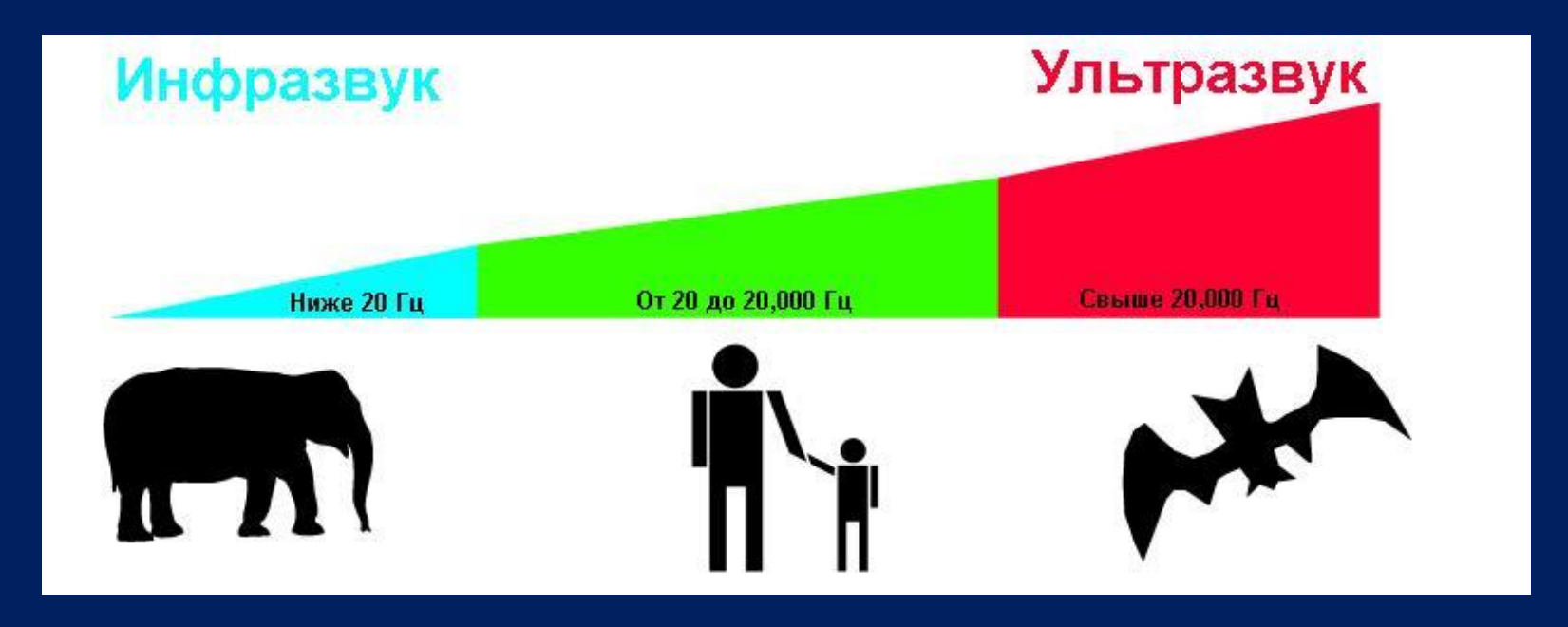
- Частота- число полных колебаний за 1 секунду
- Интенсивность отношение мощности к площади

 Амплитуда - максимальное отклонение от среднего значения

- Скорость распространения
- Длина волны



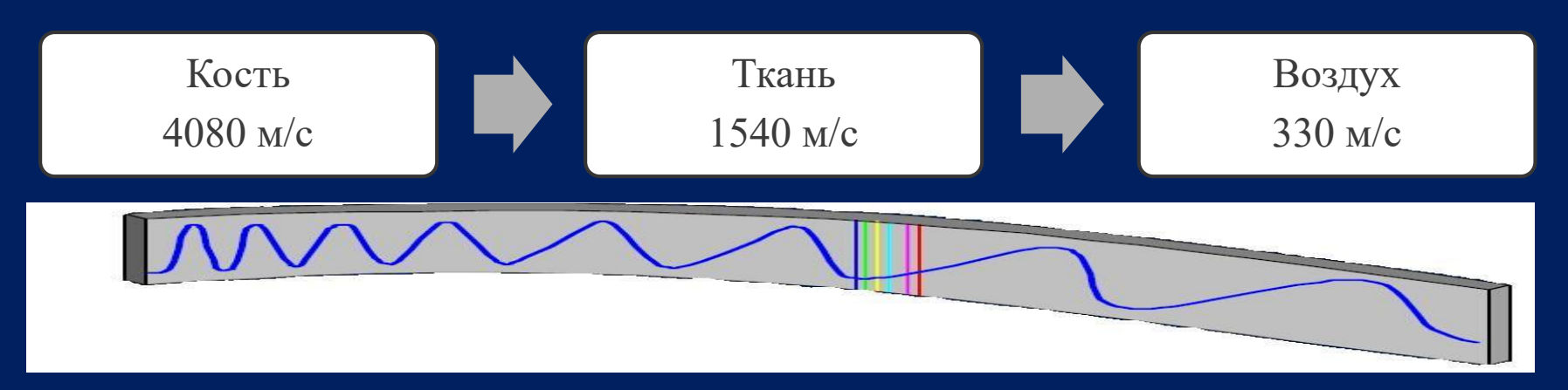
Звуковой спектр по частотным характеристикам можно разделить на три сегмента



Ультразвук - это звуковая волна с частотой свыше 20000 Гц

 Диапазон диагностического медицинского изображения колеблется от 1 до 15 МГц

 Скорость распространения звуковой волны – расстояние, пройденное волной за 1 с



- скорость зависит от плотности, однородности и температуры
- чем ближе молекулы вещества (больше плотность), тем выше скорость
- средняя скорость распространения УЗ в мягких тканях равна 1540 м/сек

#### ФИЗИЧЕСКИЕ ОСНОВЫ

# Скорость УЗ волн в различных средах и акустические сопротивления сред

Среда	Скорость звука м/с	Плотность относительно воды, ρ/ ρ	Акустическое сопротивление,Z
Воздух	343	1,2x10	0,3x10
Дист. Вода	1480	1,0	1,0
Легкие	400-1200	-	-
Жировая ткань	1350-1470	0,95	0,86-0,94
Кровь	1540-1600	1,06	1,09
Мышечная ткань	1560-1620	1,07	1,13 -1,18
Костная ткань	2500-4300	1,2-1,8	2,2-5,0

 Длина волны – расстояние, которое проходит звуковая волна за 1 колебание

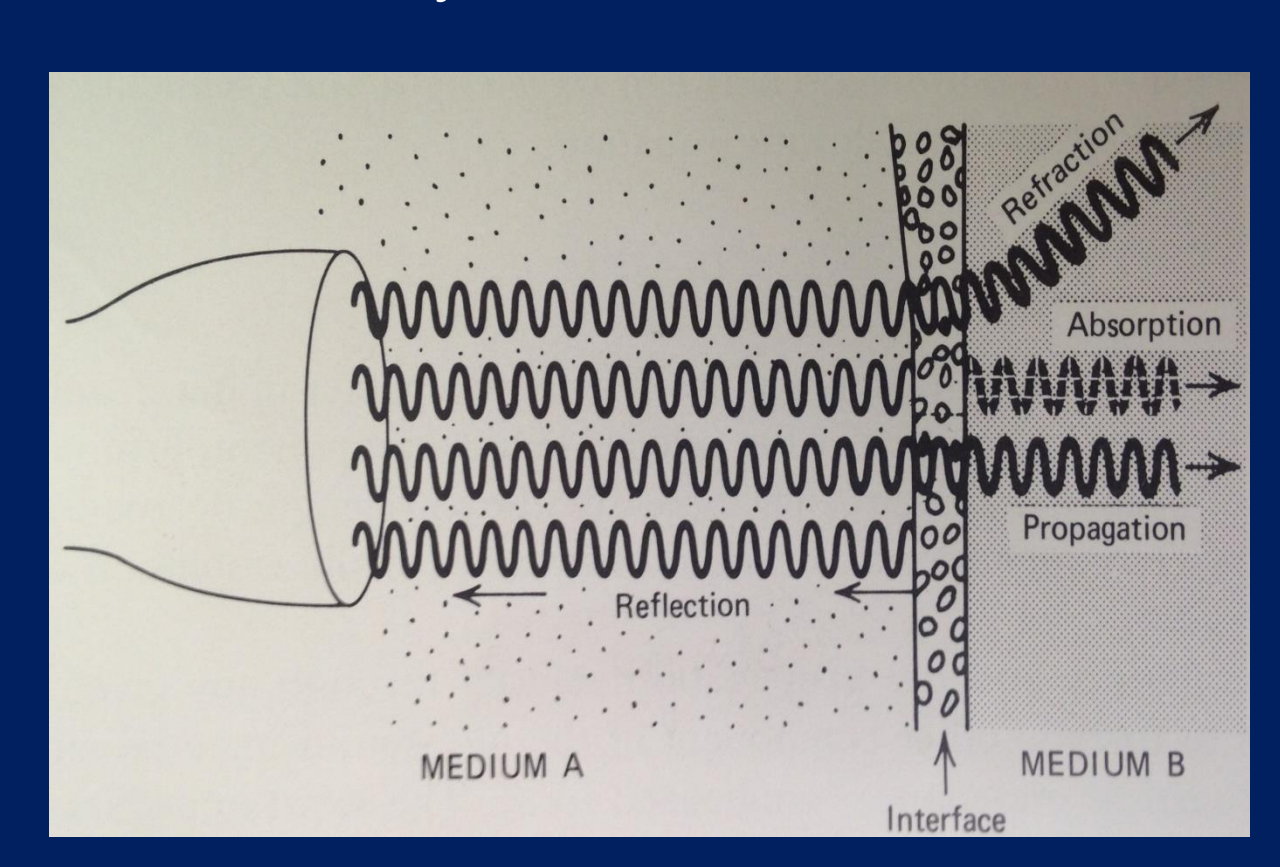
#### $V=\lambda^*f$

- Чем меньше длина волны, тем выше разрешающая способность
- Для визуализации мелких объектов надо уменьшить длину волны
- Уменьшить длину волны удобно увеличив частоту ультразвукового излучения

- Выше частота лучше визуализация поверхностных структур
- Ниже частота лучше визуализация глубоких структур

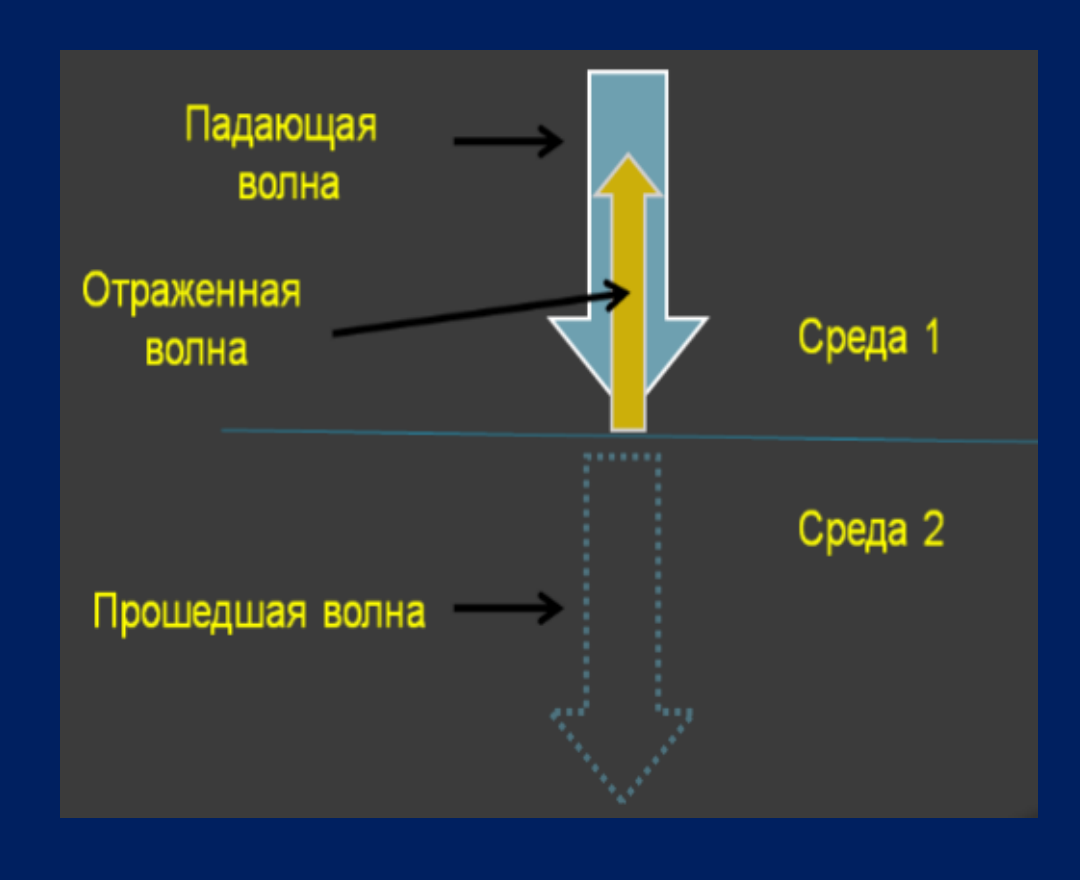
При прохождении УЗ-волны через ткани на границе двух сред с разными акустическими плотностями возникают следующие явления

- отражение
- преломление
- рассеивание
- пенетрация
- поглощение



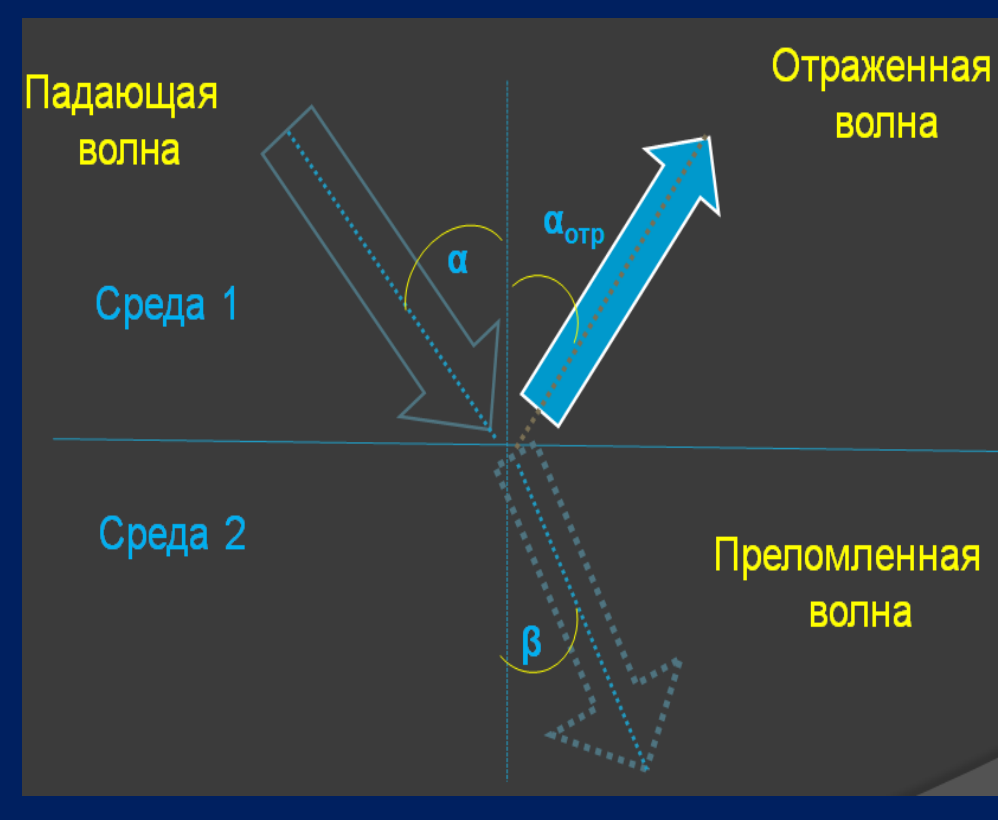
## Отражение и преломление ультразвука на границе сред

- Отражение УЗ-волны возникает при разности акустической плотности на границе раздела сред не менее 1%
- Степень отражения зависит от угла падения



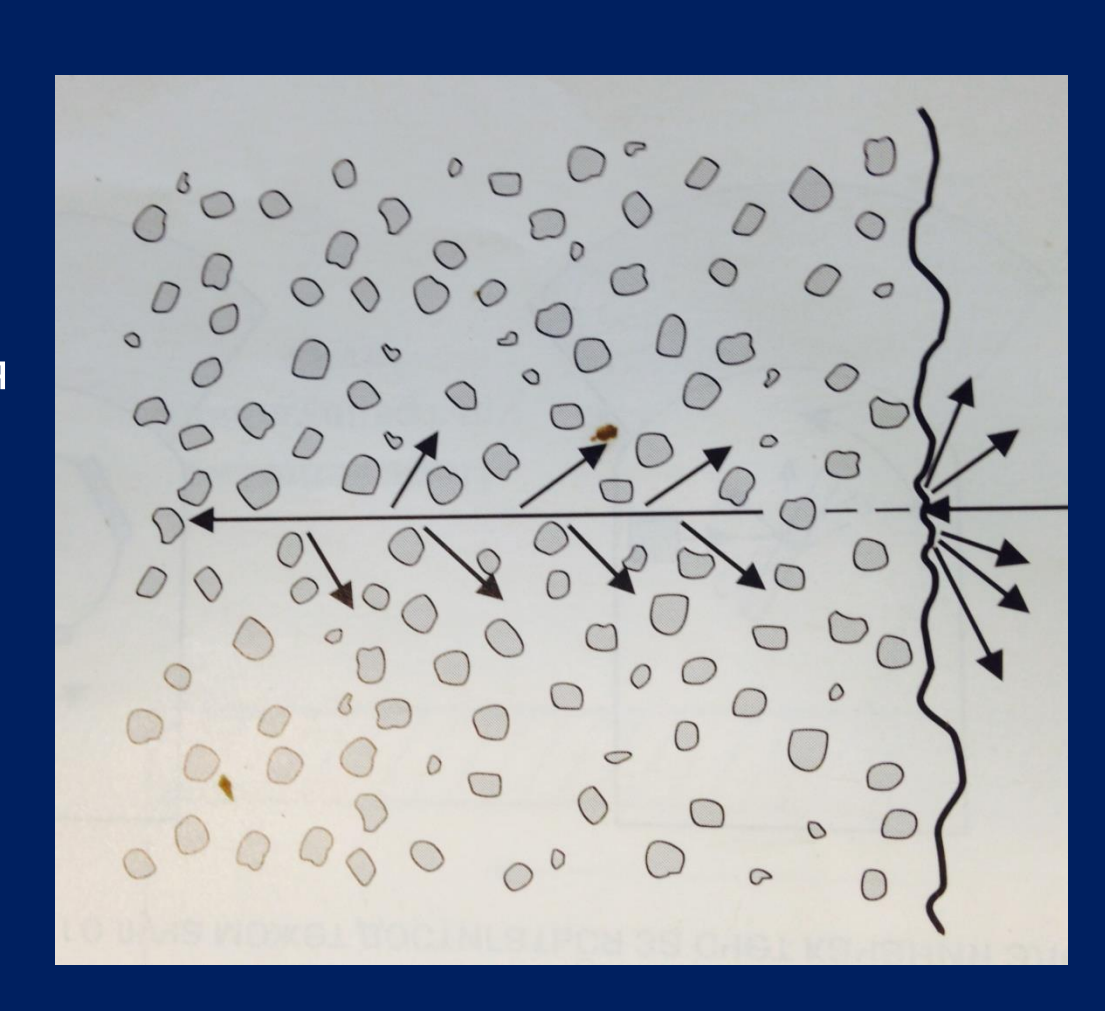
## Отражение и преломление ультразвука на границе сред

- Преломление изменение направления распространения луча при пересечении границы сред с различными скоростями проведения ультразвука
- Чем значительнее различие в акустическом сопротивлении, тем большая часть энергии отражается и тем больше угол преломления.



#### Виды отражения

- Зеркальное когда угол падения равен углу отражения
- Диффузное когда звуковая волна отражается во всех направлениях
- Рассеивание когда длина волны сопоставима с неровностями отражающей поверхности или имеется неоднородность среды



Затухание УЗ-волны — снижение амплитуды и интенсивности УЗ-сигнала при прохождении через ткани

Затухание происходит в результате:

- отражения
- рассеивания
- поглощения (перехода части звуковой энергии в тепло при прохождении через ткани за счет трения между частицами среды)

### Затухание зависит от:

- плотности ткани (больше всего в костях)
- частоты (чем выше частота, тем больше выражено затухание)

### Биологическое действие ультразвука

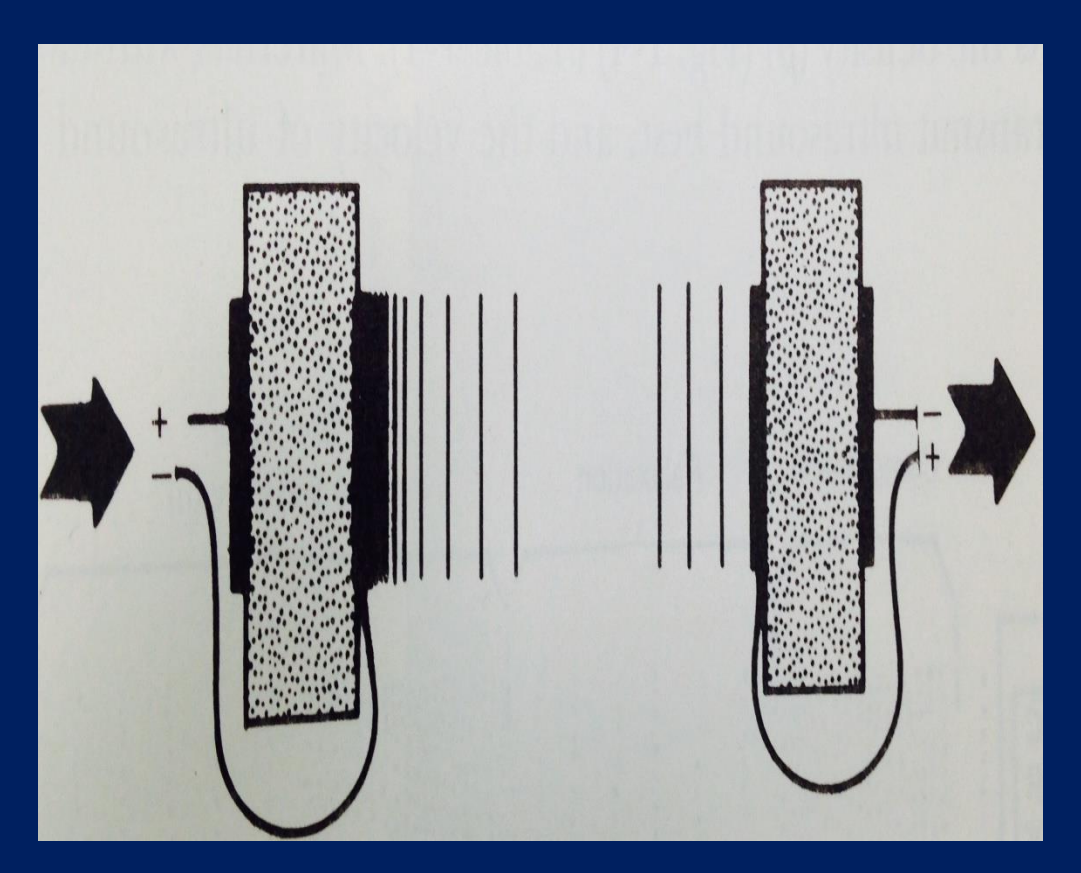
- Нагрев тканей
- Кавитация образование в жидкости пульсирующих пузырьков, заполненных газом, паром или их смесью

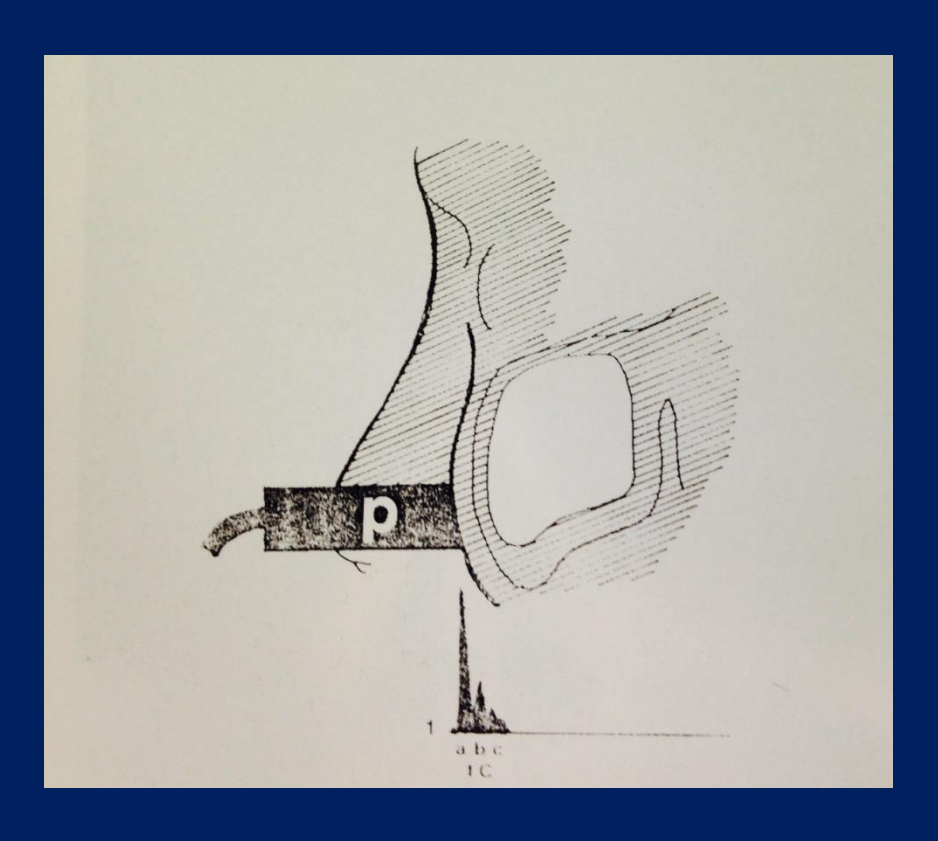
#### Прямой

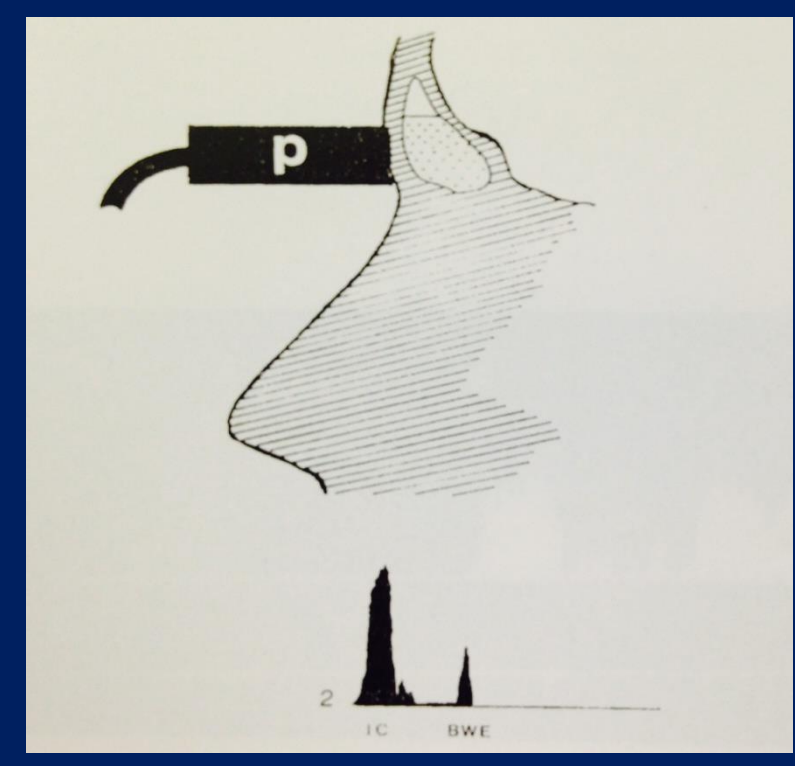
пьезоэлектрический эффект - возникновение электрических зарядов, противоположных по знаку, на поверхности некоторых кристаллов при их деформации под воздействием УЗ волн

#### Обратный

пьезоэлектрический эффект — возникновение звуковой волны при подаче на поверхность кристалла переменного электрического заряда



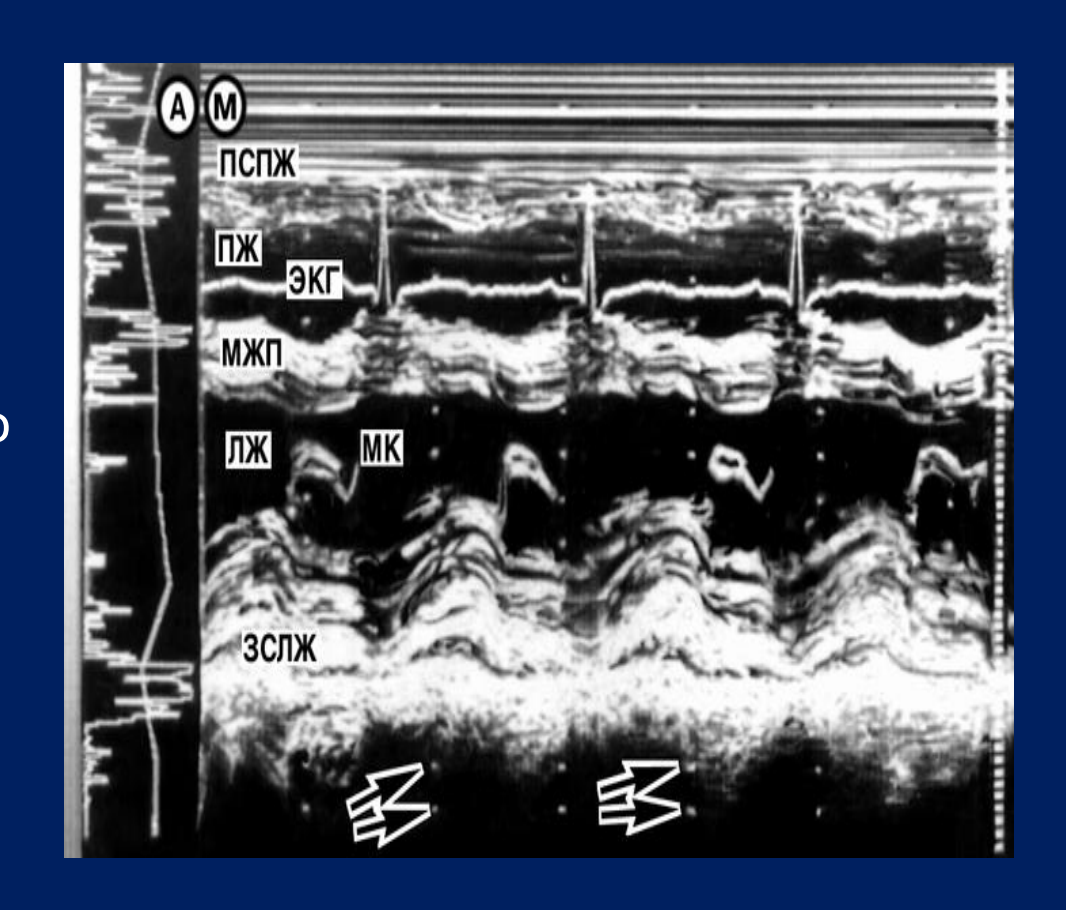




A-режим (amplitude)одномерное УЗ исследование

## TM-режим (М-режим) — motion

На экране воспроизводится график перемещения изучаемого объекта во времени, когда неподвижно установленный датчик воспринимает отражение от движущихся внутренних структур



B-режим (brightness) – режим двумерного ультразвукового сканирования, когда интенсивность отраженного сигнала выражается в виде яркости точки, расположенной на определенной глубине. Изображение представляет собой мозаику из множества точек – пикселей, яркость которых определяется интенсивностью отраженного от объекта сигнала (серая шкала)



#### Двумерный (2D)режим Two Dimension Mode, Bimodal

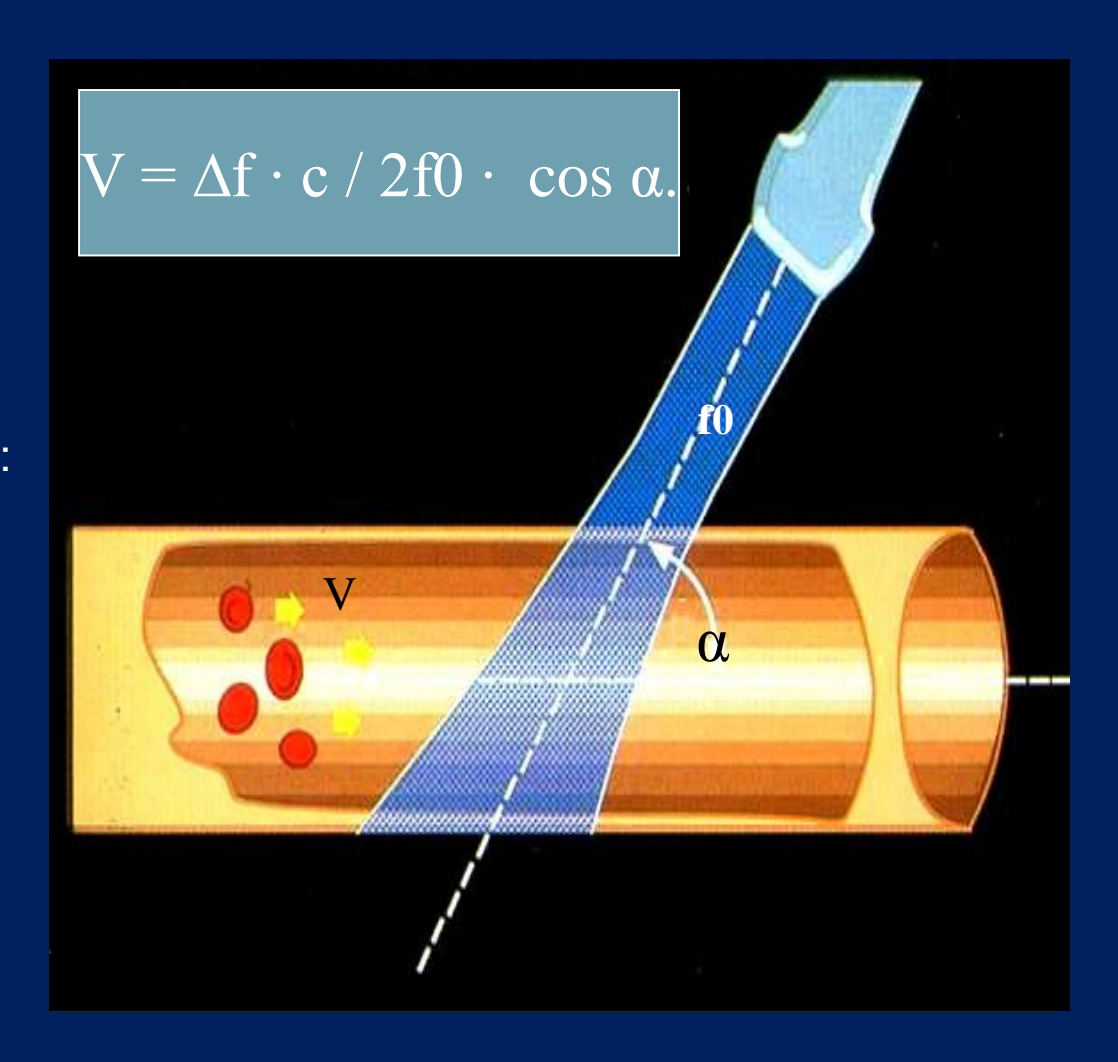
Современный режим, позволяющий формировать изображение в одной плоскости (томограмме) в масштабе реального времени. При этом неподвижные изображения(кадры) с большой частотой сменяют друг друга, создавая впечатление движения



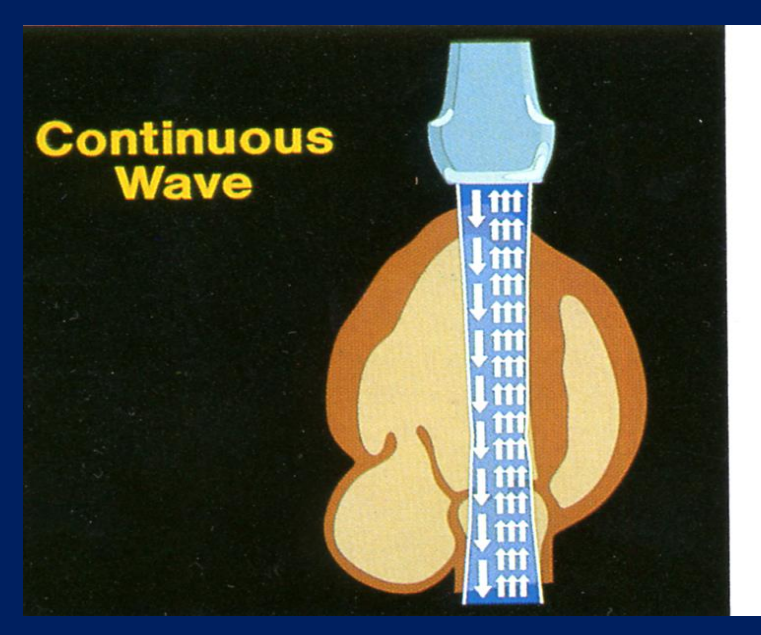
**D-режим (ультразвуковая допплерография)-** режим для исследования движущихся объектов

Ультразвуковая волна, отраженная от движущегося объекта, меняет свою частоту: при приближении к датчику длина волны уменьшается, а частота отраженной волны увеличивается, а от удаляющегося объекта отражается волна меньшей частоты (К.Допплер, 1842)

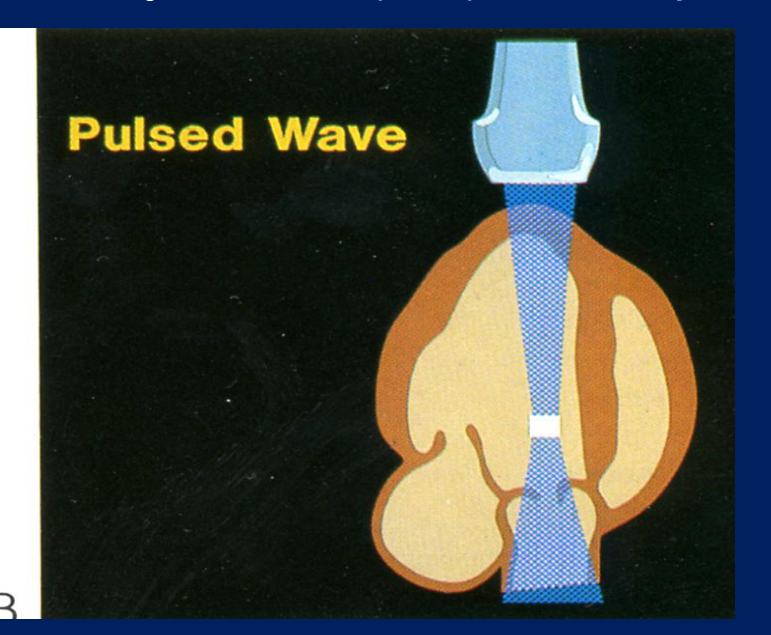
V= cos 0 x сдвиг частоты (длины волны)



Непрерывно-волновой (CW) и импульсный (PW) допплер



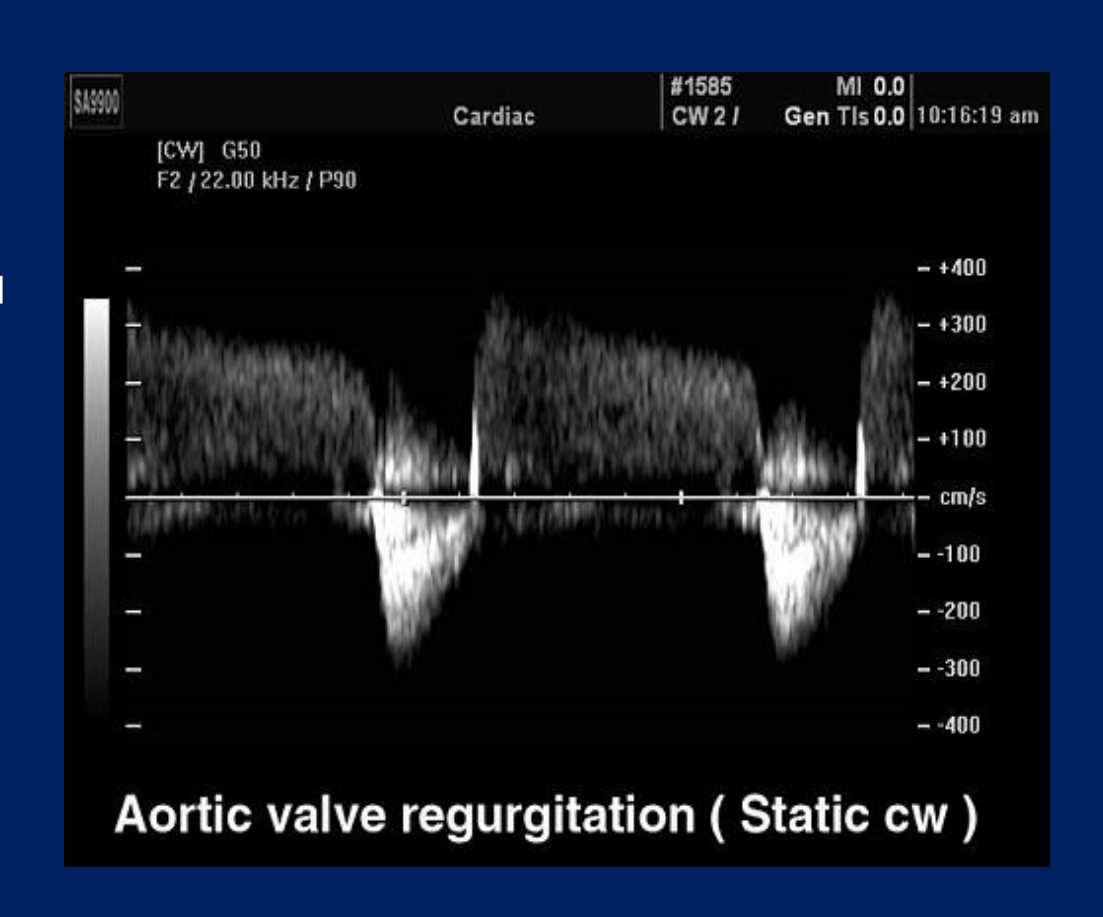
- 1. Невозможно оценить локализацию анализируемого потока
- 2. Нет ограничений скорости потока



- 1. Можно определить локализацию анализируемого потока
- 2. Ограничена оценка скорости потока

### Спектральная

допплерография – разновидность импульсноволнового допплера, когда информация преподносится в виде «допплеровского спектра» – диаграммы или кривой, позволяющей определить как качественные, так и количественные характеристики кровотока в исследуемом сосуде (скорость, направление, ламинарность потока)



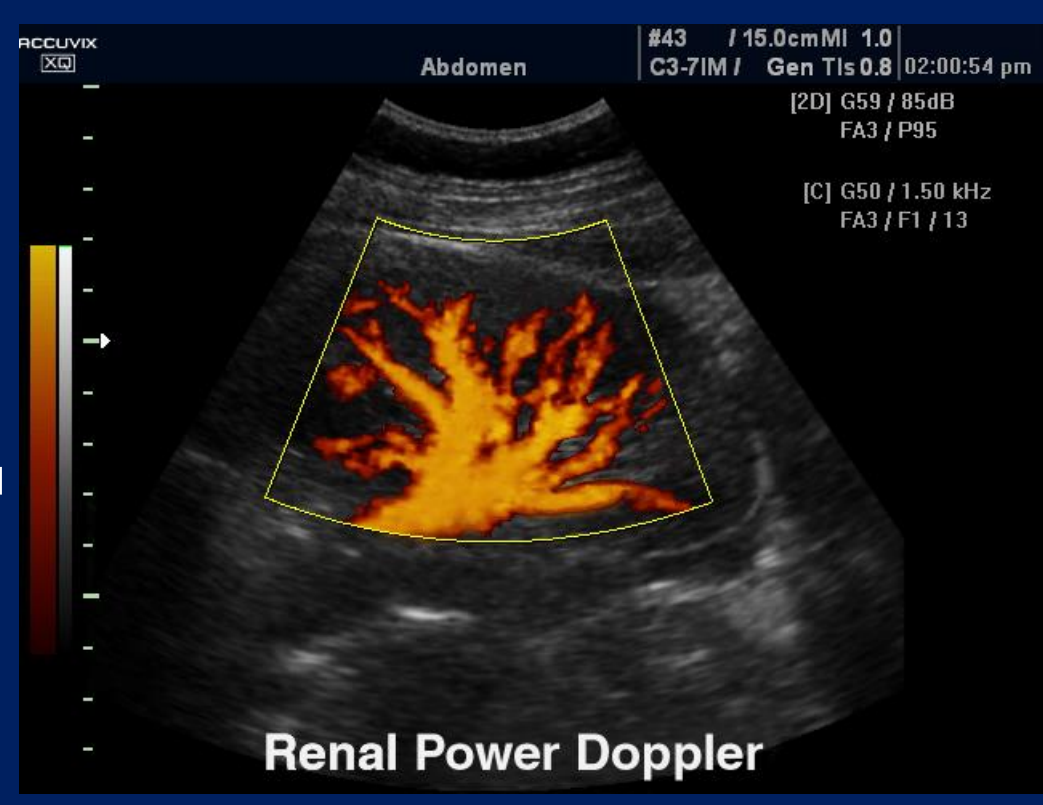
## Цветное допплеровское картирование (Color Doppler – ЦДК

- разновидность импульсноволнового допплера, где каждый цвет соответствует определенному диапазону скоростей.
- подходит для быстрого определения наличия потока, для выявления сосудов
- Для установления соответствия с анатомическими ориентирами накладывается на серую шкалу



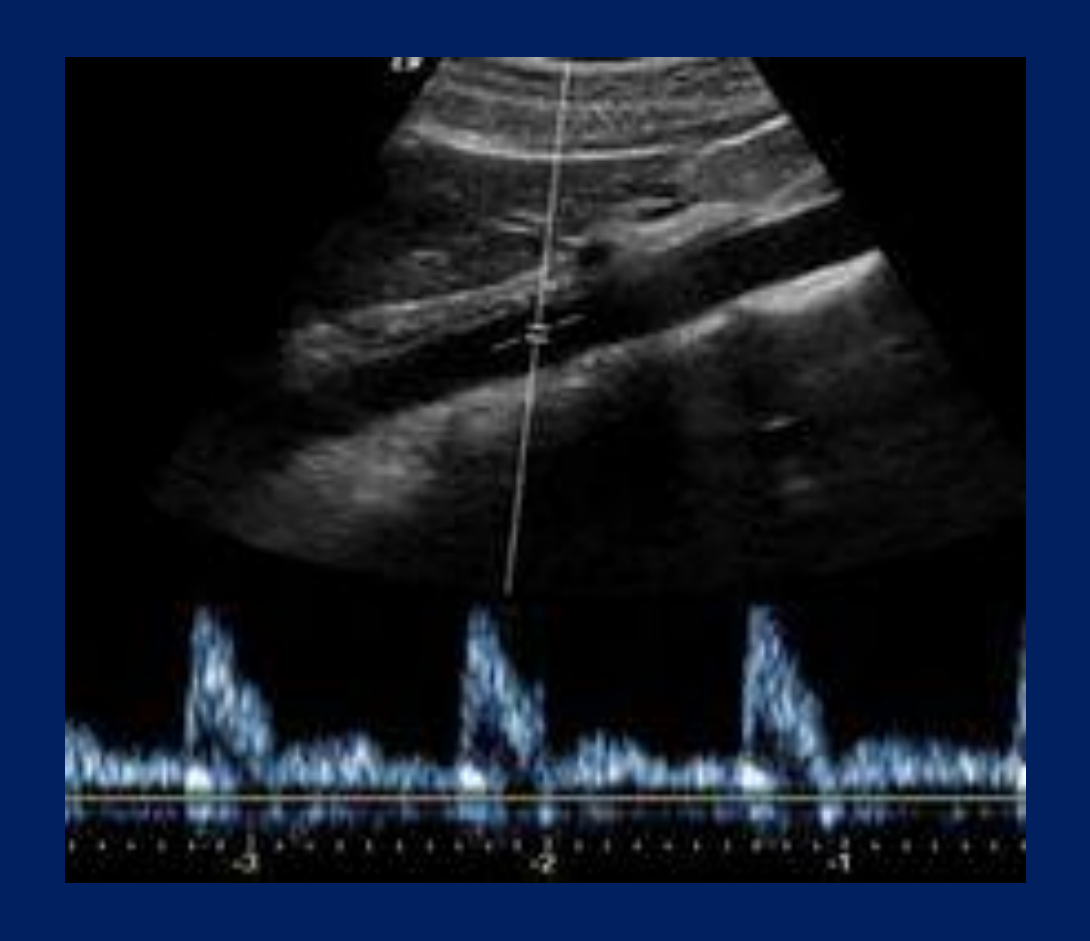
Энергетическое допплеровское картирование (Power Doppler –ЭДК) – разновидность импульсноволнового допплера, при котором движущиеся объекты картируются одним цветом, что не позволяет судить о направлении потока, но при этом происходит качественное улучшение визуализации

мелких сосудов



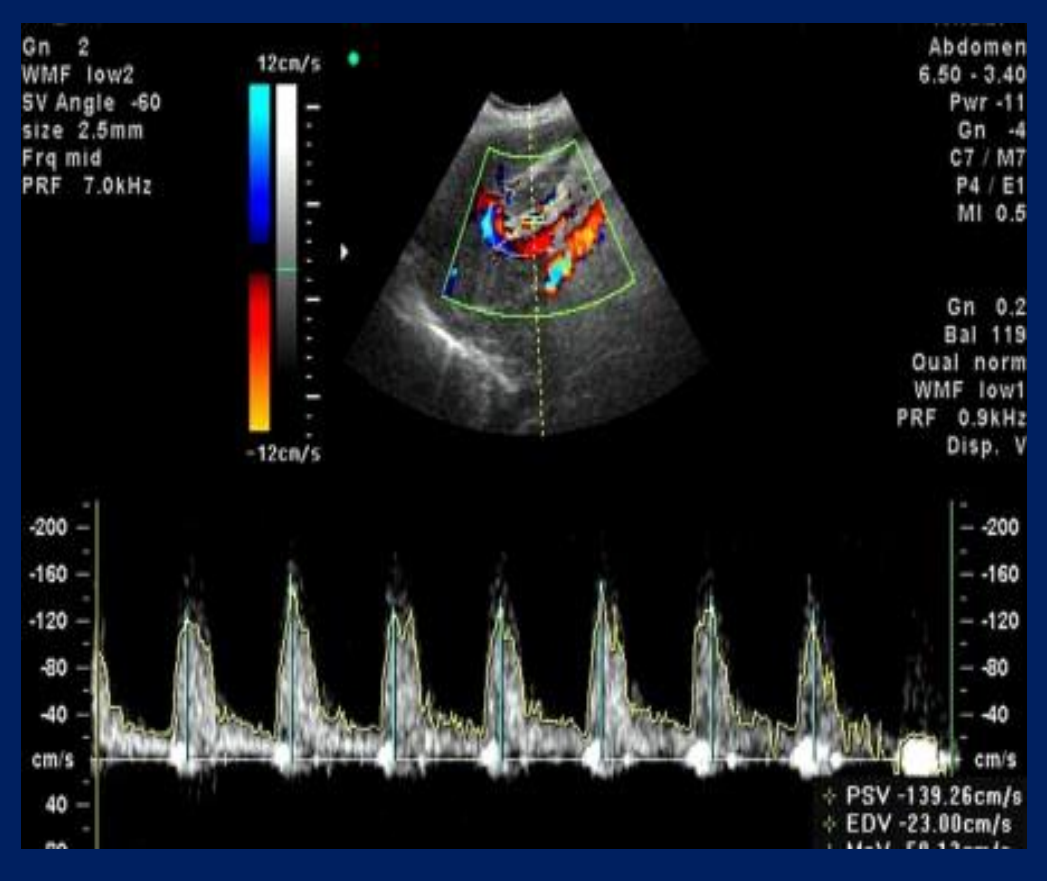
### Дуплексный режим

– сочетаниесерошкальногорежима и одногоиз допплеровскихрежимов



### Триплексный режим

сочетание серошкального режима с цветным и спектральным режимами



**3D (Three Dimension Mode)** –результат компьютерной обработки информации, полученной в Врежиме, когда создается виртуальное трехмерное статическое изображение неподвижного объекта



 4D РЕЖИМ (Real Time 3D) – трехмерное ультразвуковое исследование в реальном масштабе времени

### • Контрастные вещества

- -использование основано на усилении интраваскулярного контрастирования тканей за счет содержащихся в контрасте пузырьков газа. Диаметр пузырьков не более 5 мкм, циркуляция не менее 5 минут
- Направления эхоконтрастирования
- -динамическая эхоконтрастная ангиография (улучшает визуализация кровотока)
- -тканевое эхоконтрастированиеизбирательность включения контрастных веществ в структуру определенных органов

- Ультразвуковой диагностический датчик является генератором ультразвуковых волн ,и одновременно он играет роль приемника отраженных сигналов.
- Генератор работает в импульсном режиме, посылая около 1000 импульсов в секунду
- Современный датчик состоит из нескольких сотен мелких пьезокристаллических преобразователей, работающих в одном режиме



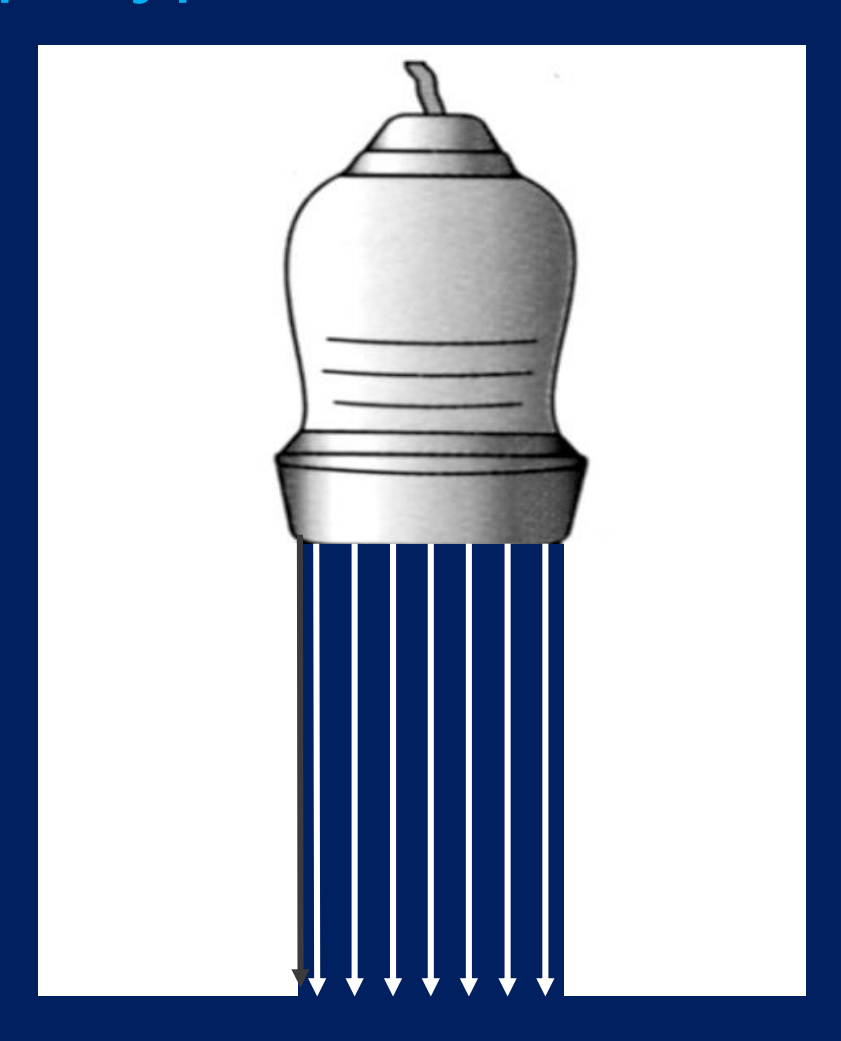
Электронное сканирование (в реальном масштабе времени) – перемещение УЗ-луча осуществляется поочередным включением большого числа пьезоэлементов

### Виды электронных датчиков

- линейные
- конвексные
- секторные

#### Линейный датчик

- Частота 5-15 МГц
- Глубина сканирования10-11 см
- Применяется для поверхностно расположенных органов
- Недостатком является неравномерность прилегания датчика к коже и искажение изображения по краям



#### Конвексный датчик

- частота 1,8-7,5 МГц
- Глубина сканирования20-25 см
- Плотное прилегания к коже
- Исследование
   брюшной полости и забрюшинного
   пространствы
- Изображение больше датчика по ширине



### Секторный датчик

- частота 1,5-5 МГц
- глубина сканирования20-25 см
- большой обзор на глубине с маленького участка
- исследование сердца
- большое несоответствие между размерами датчика и получаемым изображением



## Датчики специального назначения

- Кардиологические
- Пункционные
- Внутриполостные (чреспищеводные, ре ктальные, вагинальные, видеоэндоскопические и т.д.)
- Интраоперационные, лапароскопические, катетерные



### Виды аппаратов

- Аппараты общего назначения
- Аппараты специального назначения (эхокардиографы, эластографы)
- Портативные, переносные аппараты

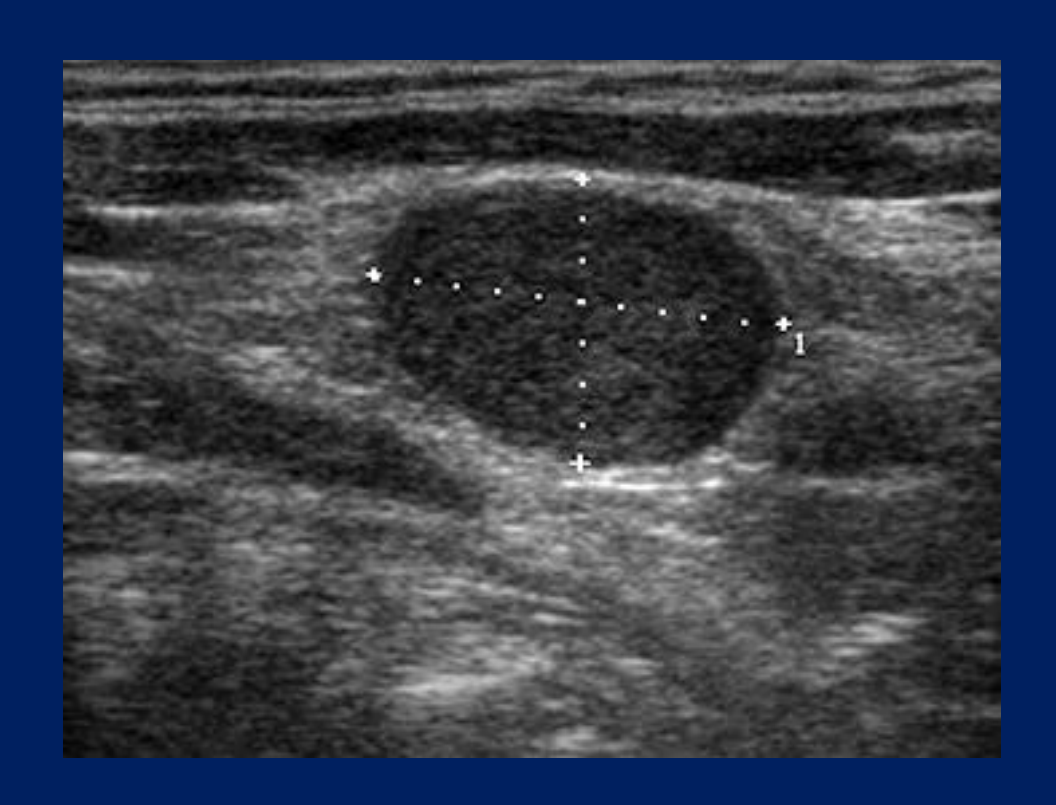


- Изображение объекта, полученное при УЗ исследовании имеет ряд специфических характеристик
- морфометрические характеристики (форма, объем, размер, местоположение)
- эхогенность
- эхографическая структура
- звукопроводимость

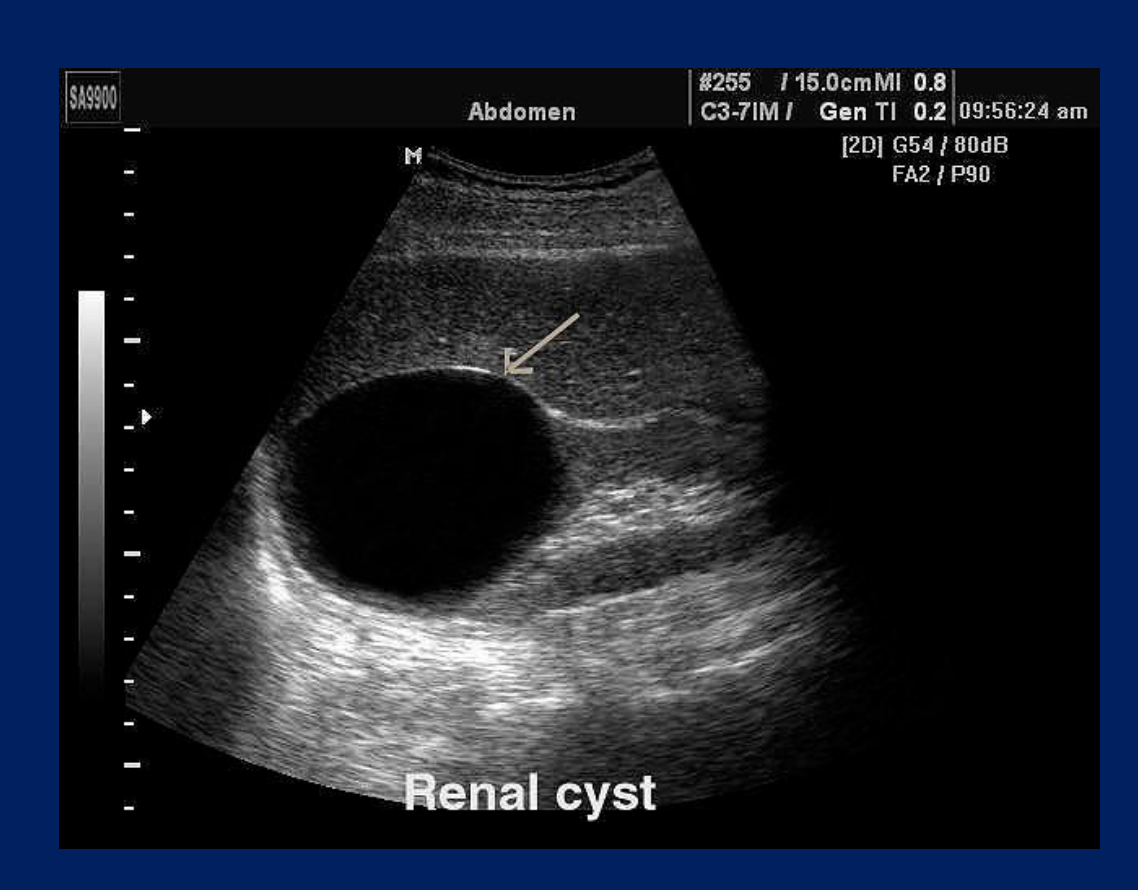
- **Эхогенность** способность исследуемого объекта отражать УЗ-волны
- Эхогенность является показателем плотности исследуемого объекта (чем выше эхогенность, тем ярче будет изображение на экране)
- Средняя эхогенность тестовым органом является печень (соответствует срединным оттенкам серой шкалы)



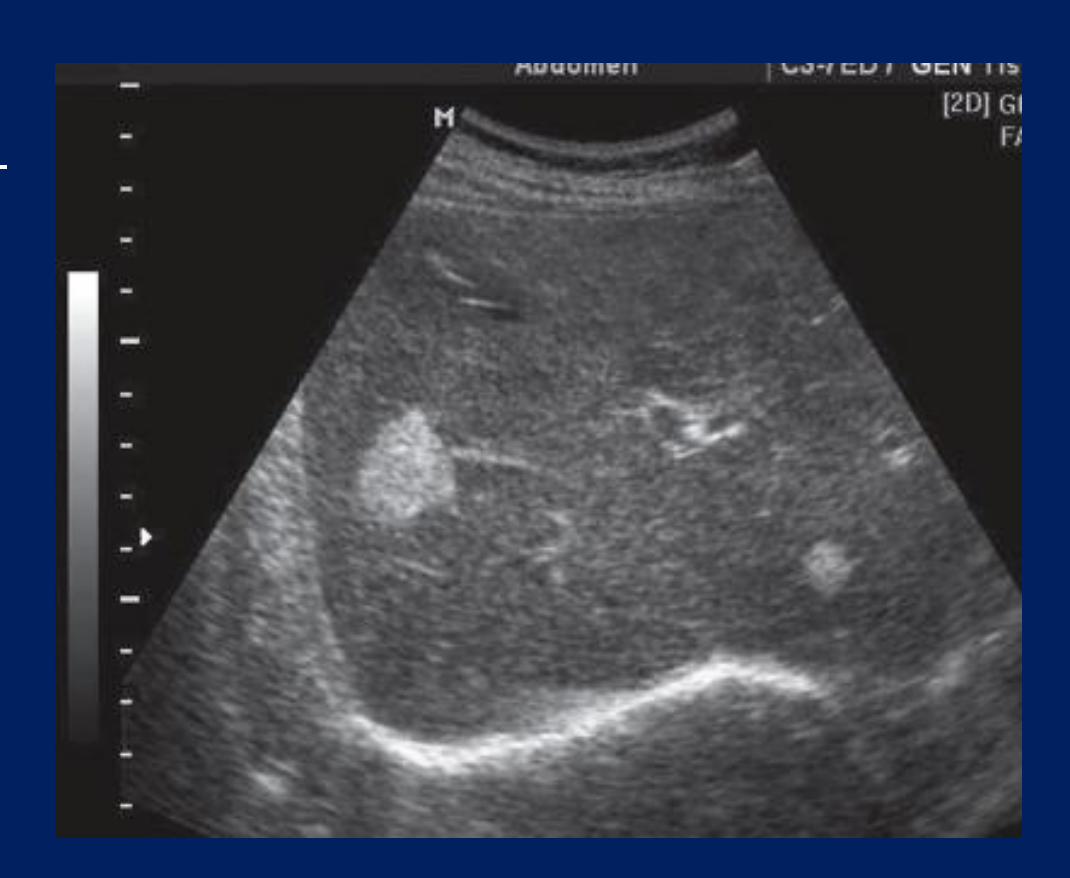
Пониженная
 эхогенность
 (гипоэхогенные
 образования)
 формируются при
 наличии отражения
 ультразвука от структур,
 мало отличающихся по
 акустическому
 сопротивлению



- Эхонегативные
   (анэхогенные)
   образования отсутствие
   эхосигналов при
   прохождении ультразвука
   через абсолютно
   однородную среду,
   содержимое которой не
   отразило и не поглотило
   ультразвуковые колебания
- Эффект дорзального усиления



- Эхопозитивное
   образование (структура) –
   образование или структура
   частично или полностью
   отражающее УЗ-волны
- Эффект акустической тени возникает при полном затухании волны



- Эхоструктура показатель уровня распределения эхогенности в пределах исследуемого органа.
- Неизмененные паренхиматозные органы имеют однородную структуру за счет равномерно распределенных по всему органу эхосигналов с одинаковой интенсивностью



# УЗИ паренхиматозных органов брюшной полости

- Оценка расположения, формы, контуров и размеров органа (сопоставление с имеющимися общими данными)
- Оценка структуры и эхогенности
- Выявление и оценка размеров и структуры очаговых образований
- Оценка сосудистого рисунка и протоковой системы
- Использование дополнительных методик ( допплеровского исследования, эластометрии и т.д.)





Нормальная печень

Жировой гепатоз

# Доброкачественные очаговые образования печени

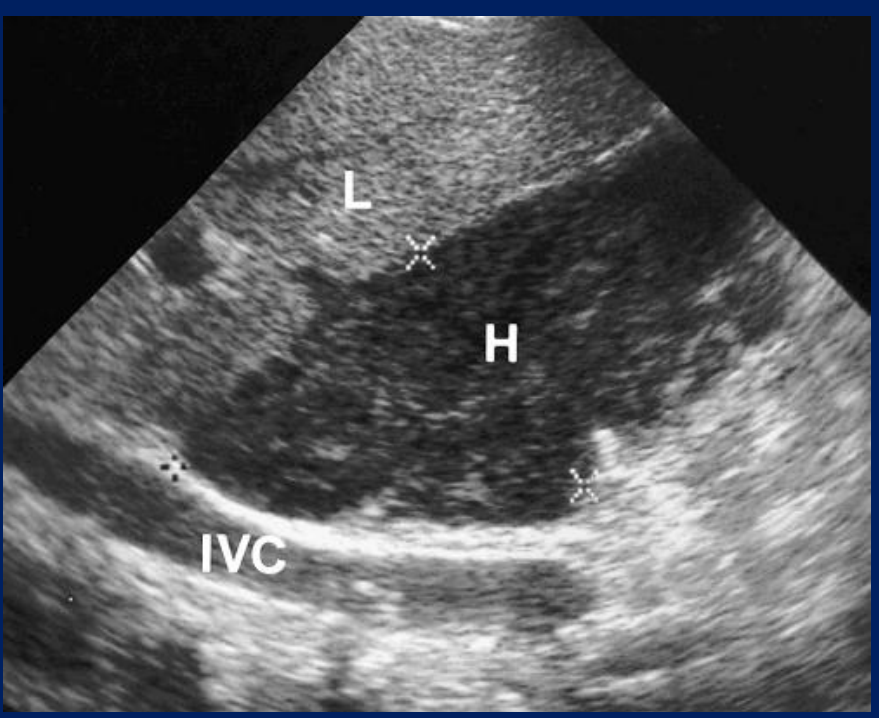




гемангиома печени

киста печени

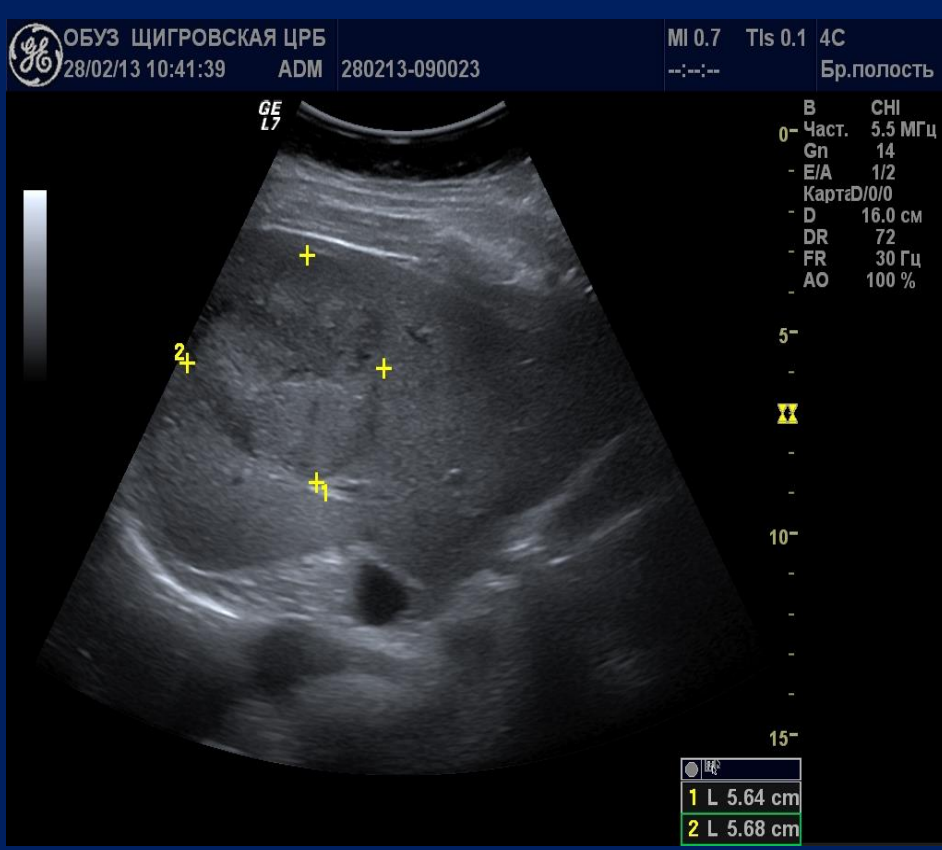




кальцинаты

гематома





Аденома печени

Нодулярная гиперплазия





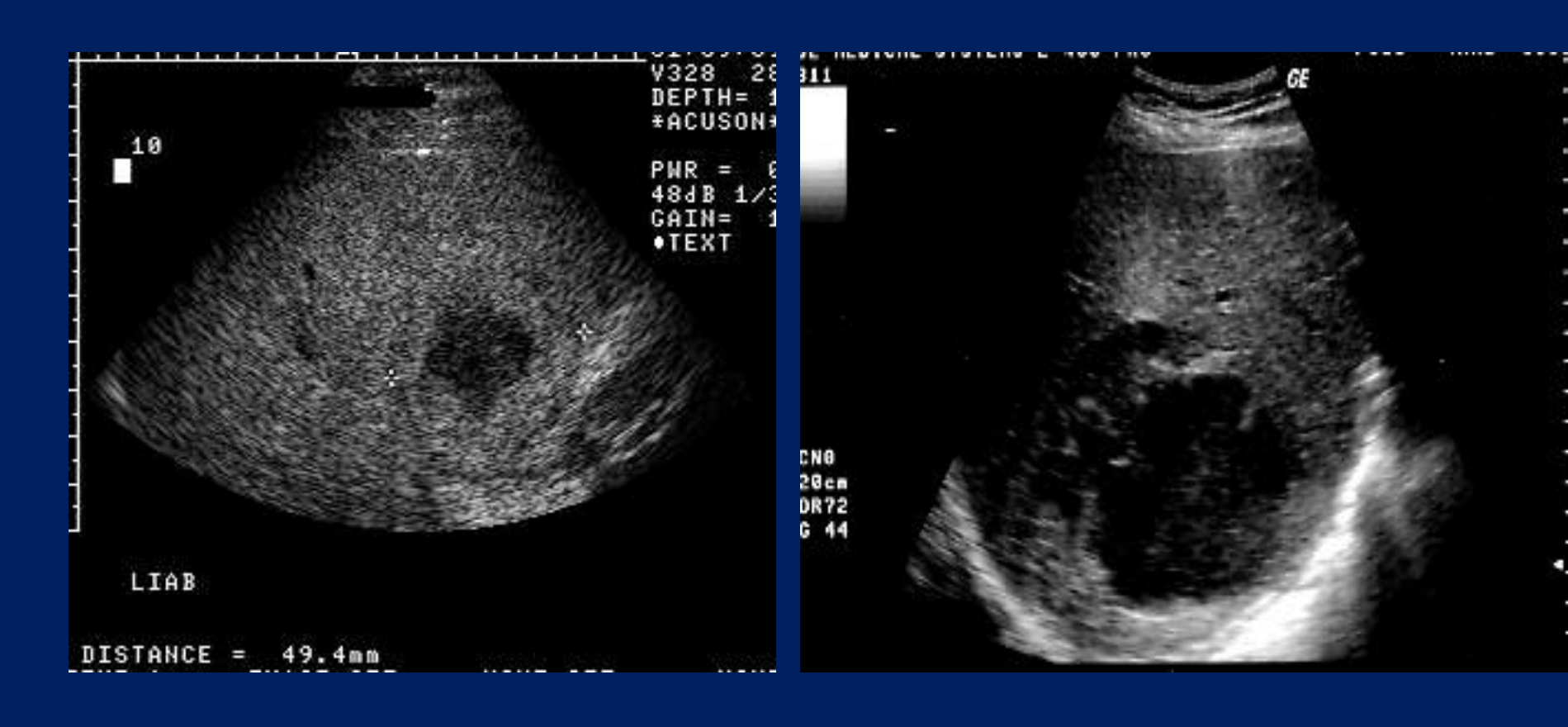
гепатома

метастазы



Эхинококкоз печени

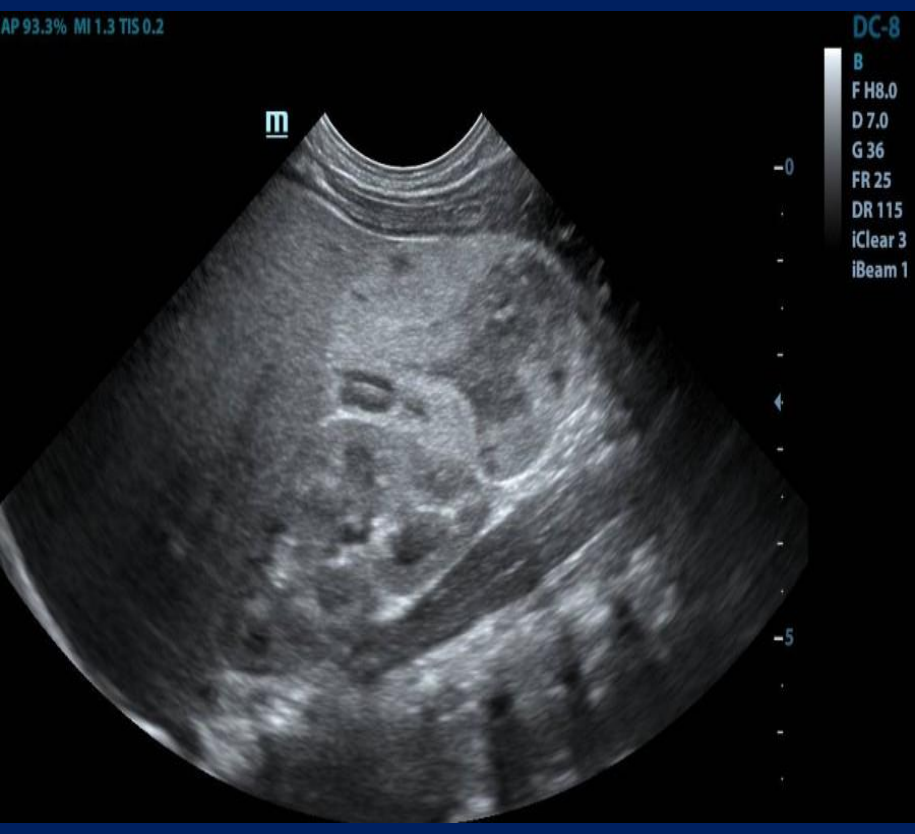
Эхинококкоз печени



Абсцесс печени

Абсцесс печени





Метастазы колоректального рака

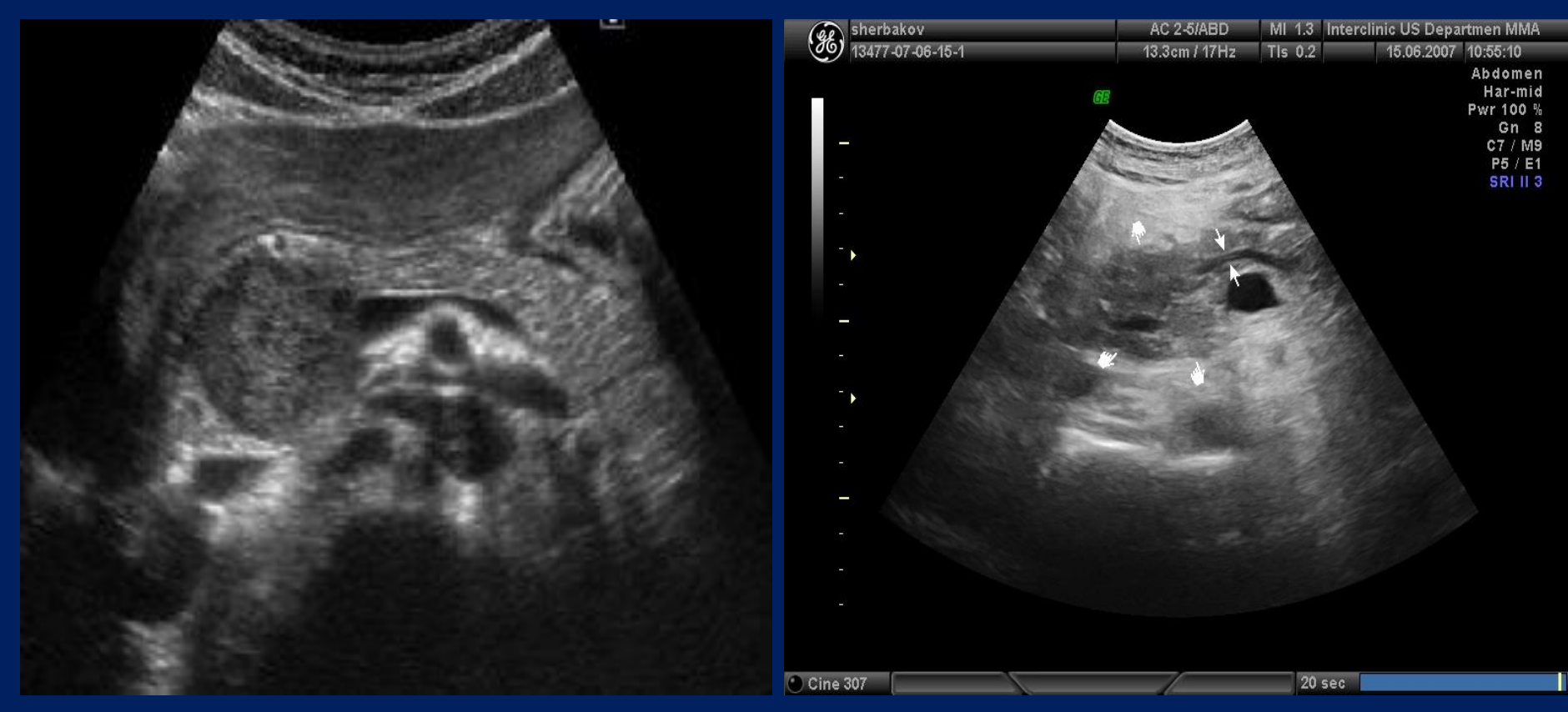
Метастазы





норма

повышение эхогенности ткани железы



Опухоль головки

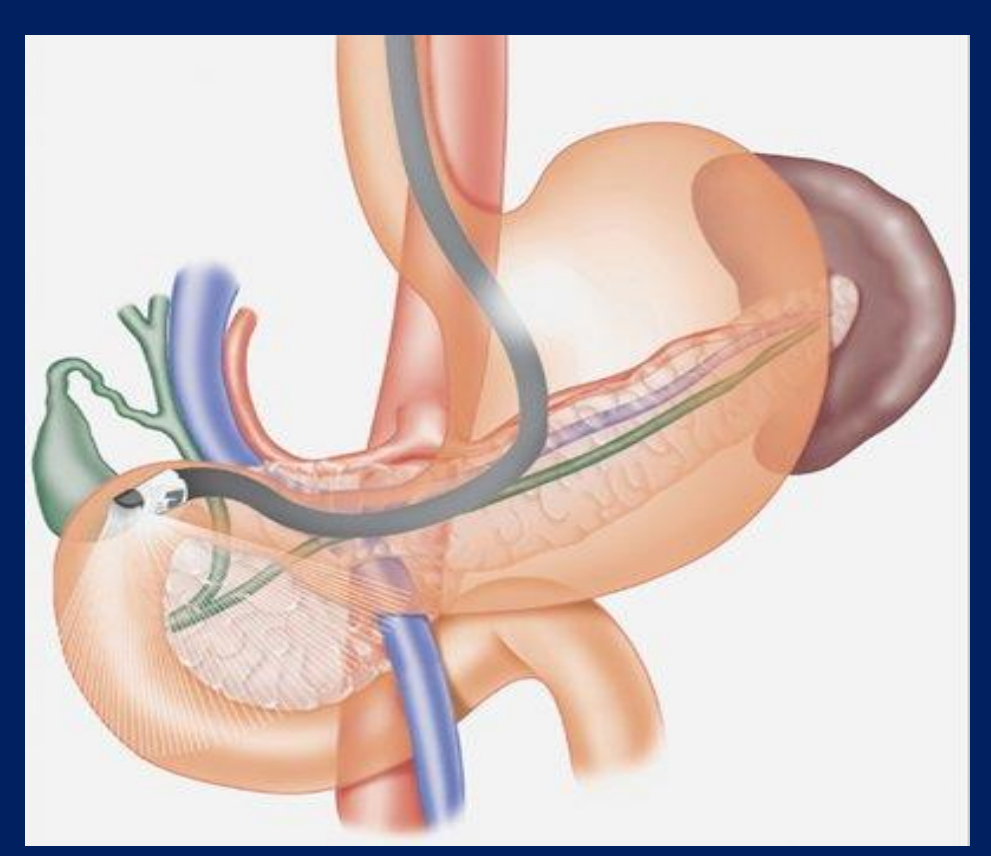
Опухоль головки





киста

опухоль



Инвазивное исследование



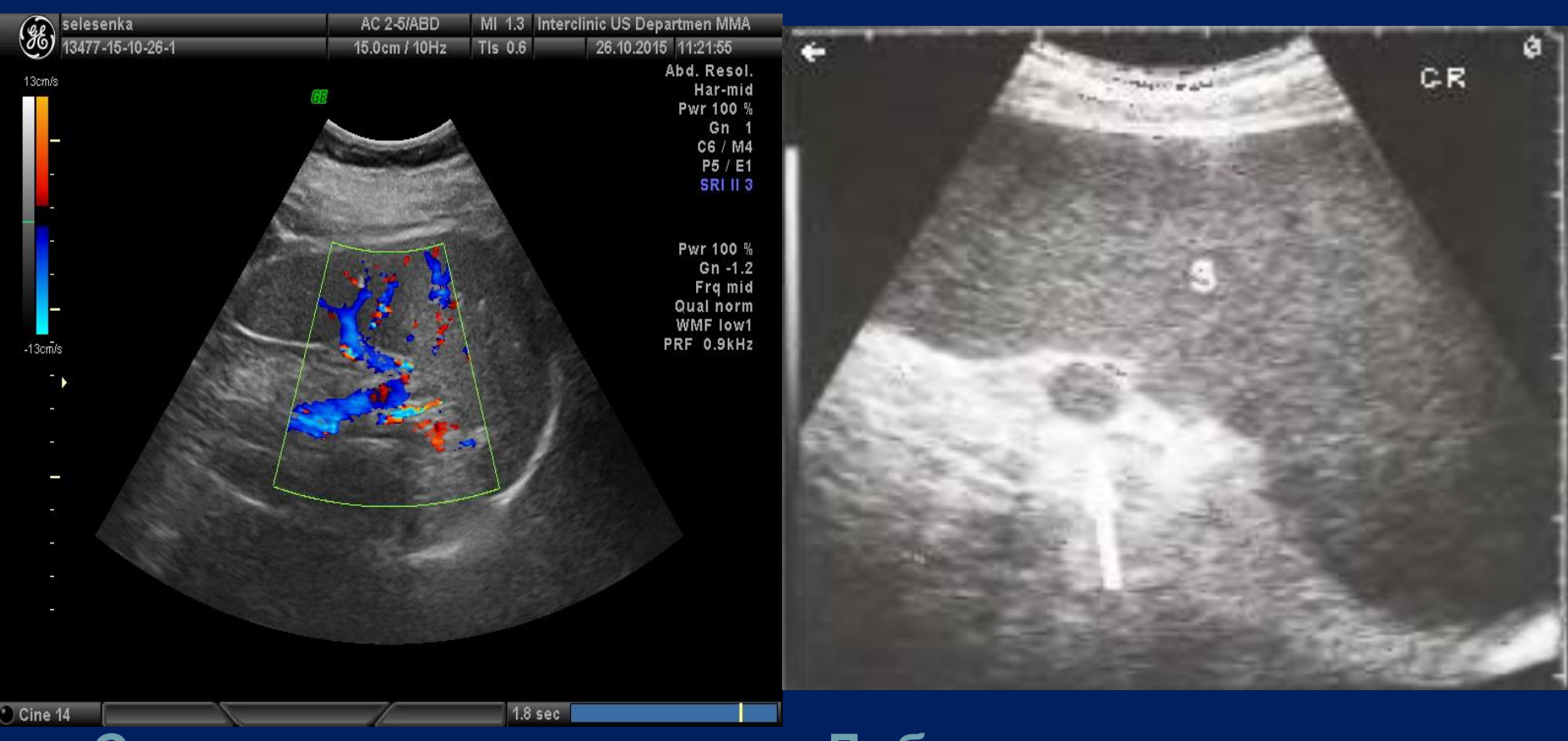
Эндоскопическое ультразвуковое исследование





норма

спленомегалия



Сосуды селезенки

Добавочная долька селезенки



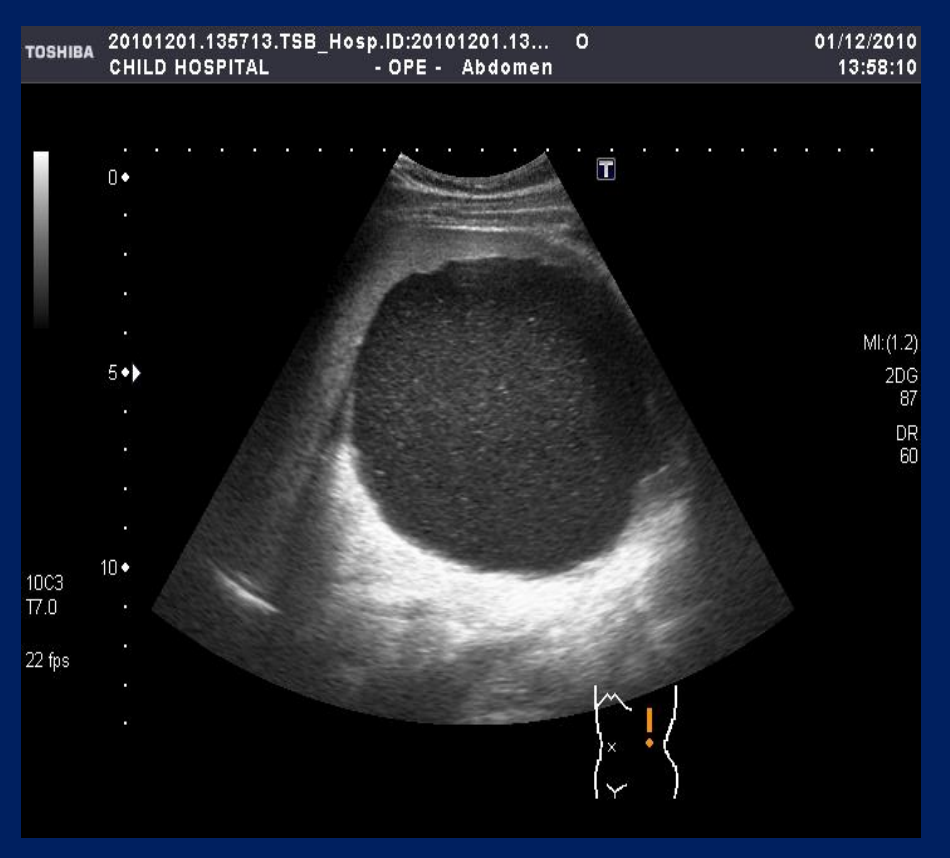
Кальцинат селезенки

Инфаркт селезенки



Травма селезенки

Абсцесс селезенки



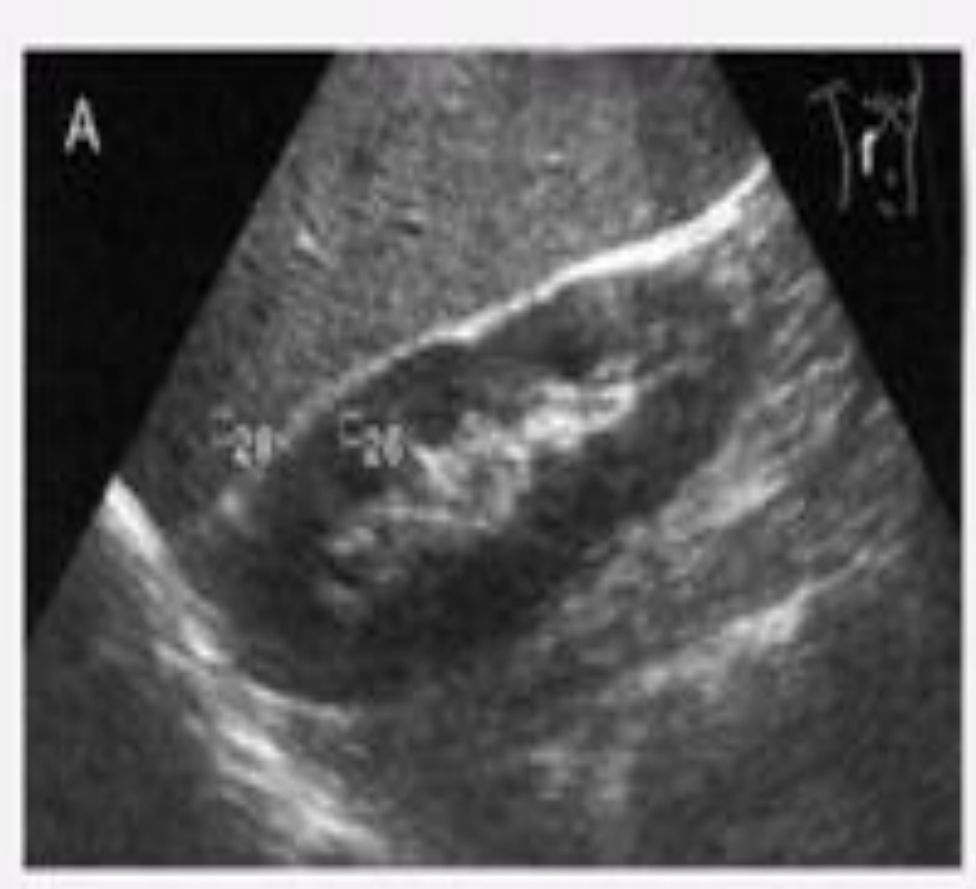


образование селезенки

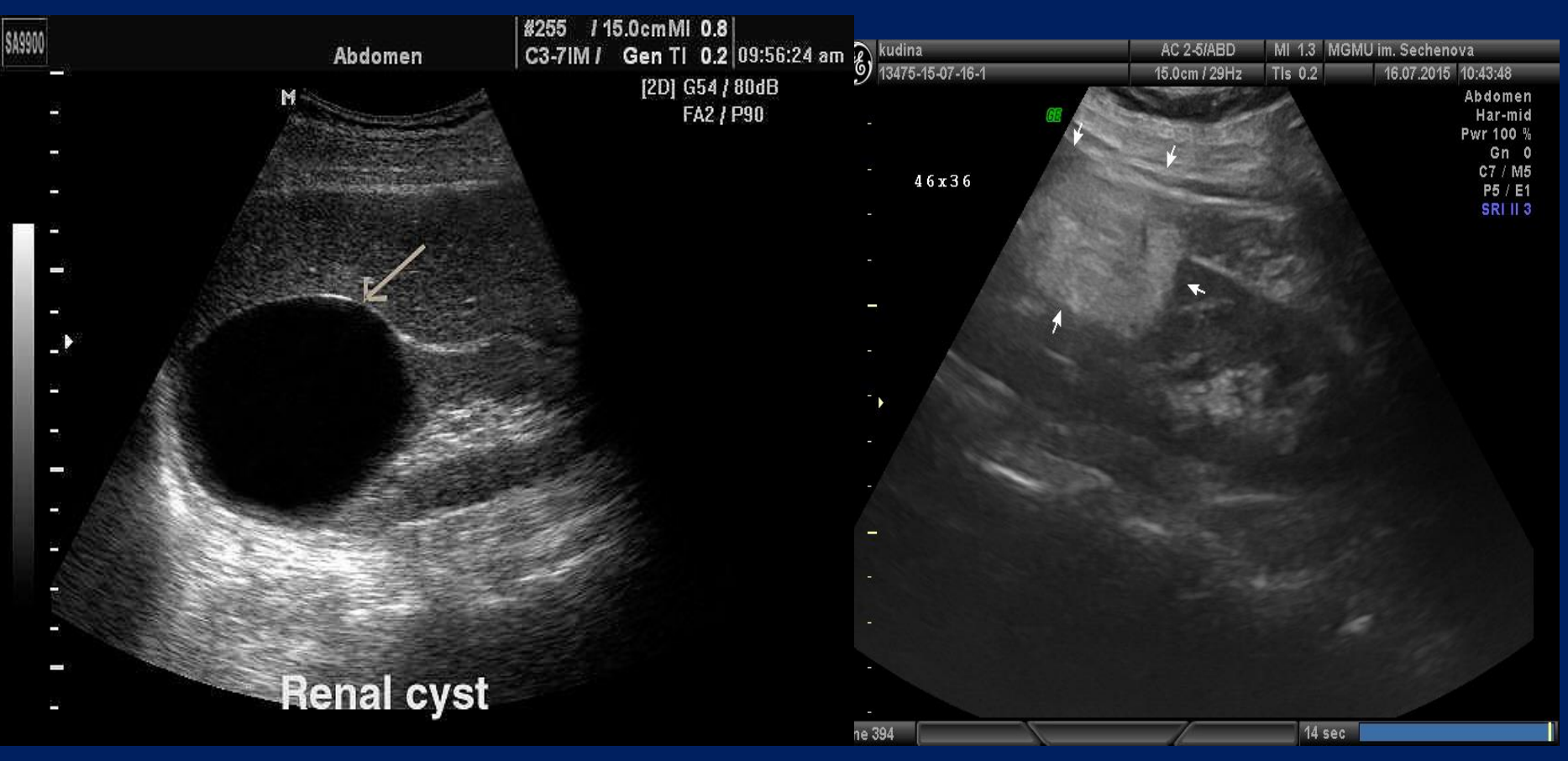
множественные образования селезенки

- УЗИ является методом выбора для первичной диагностики заболеваний почек
- В подавляющем большинстве случаев применение других методов не требуется
- Исключением являются диффузные поражения почек, требующие гистологической верификации
- Стандартное УЗИ дает информацию о морфологии, но не а функции. Сведения о перфузии почек можно получить при помощи допплерографии сосудов почек









киста

Ангиомиолипома(доброкачественная опухоль)

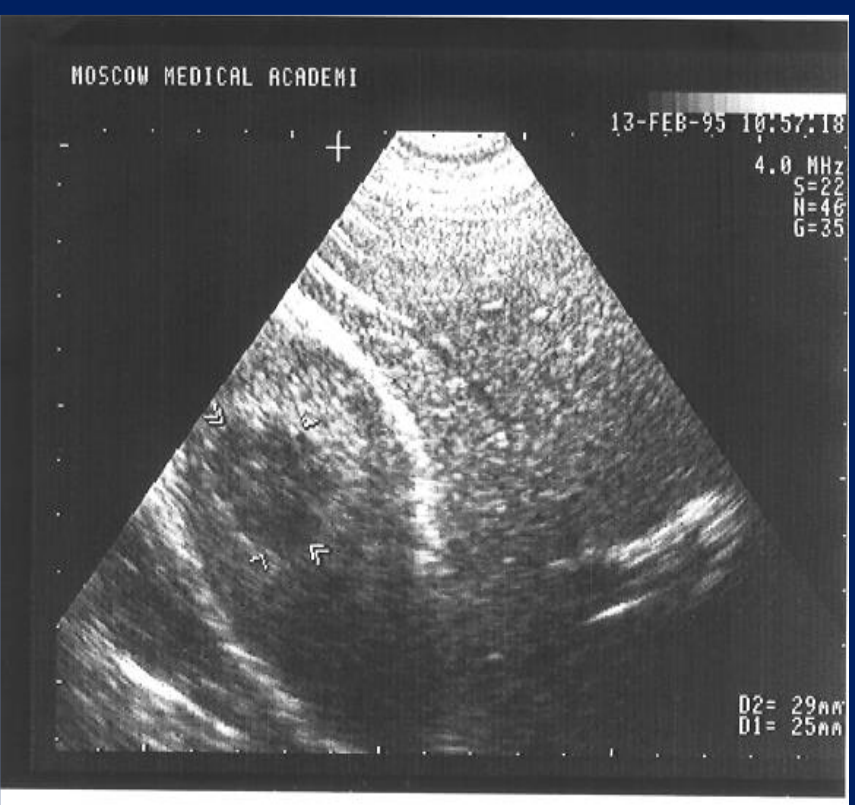


конкремент лоханки

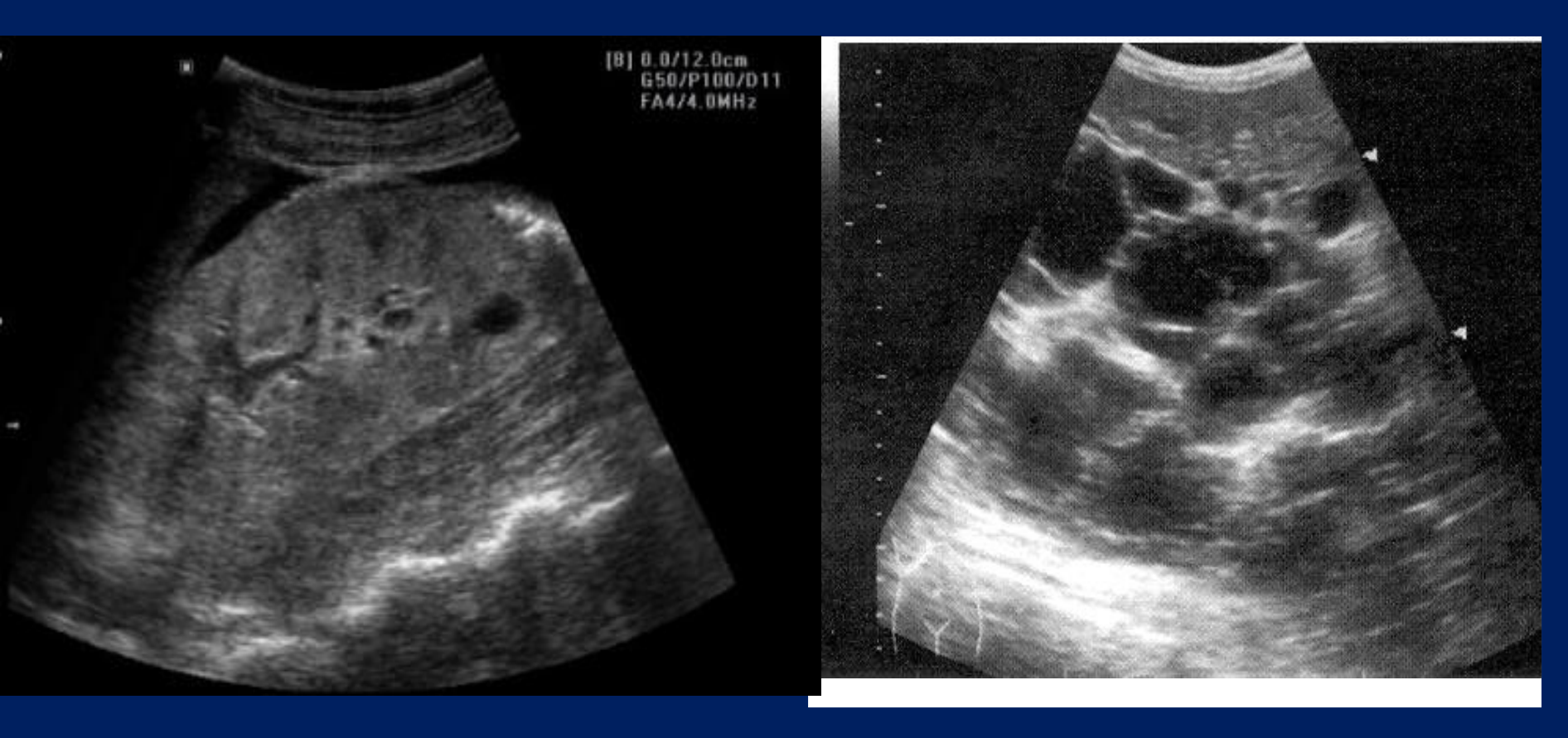


множественные конкременты



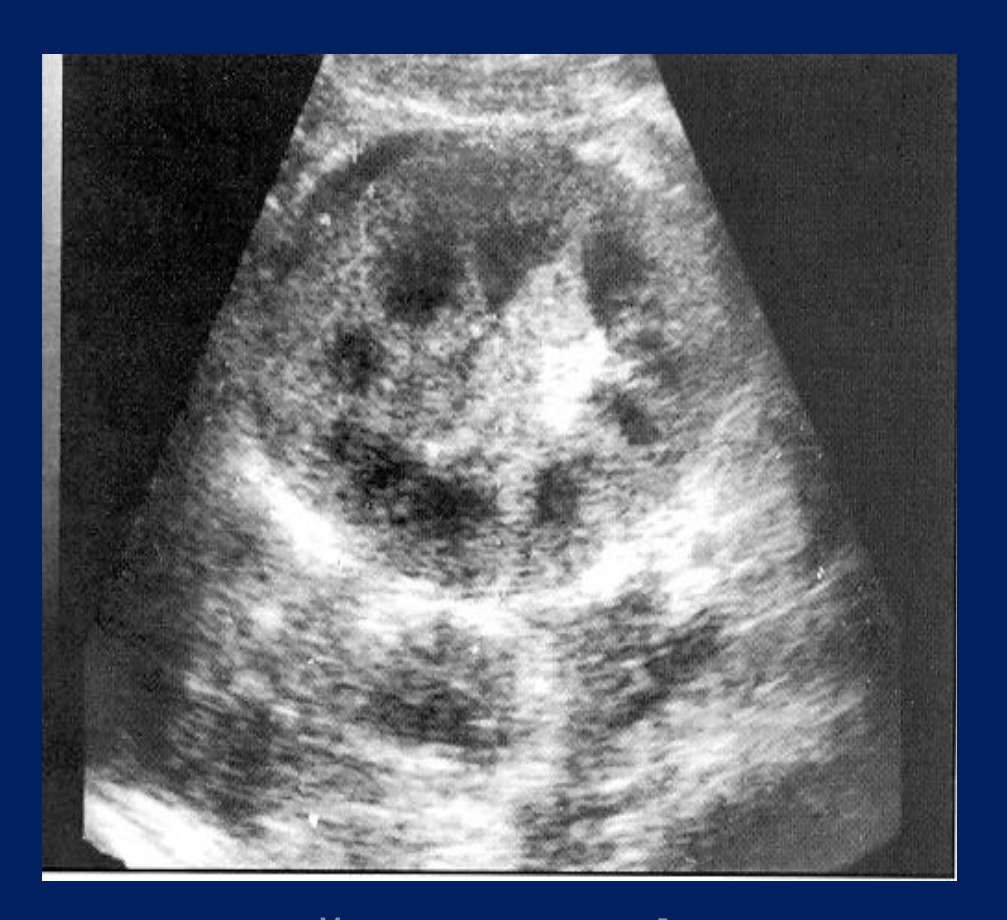


гидронефротическая трансформация абсцесс



диффузные изменения почек

поликистоз почек



острый пиелонефрит

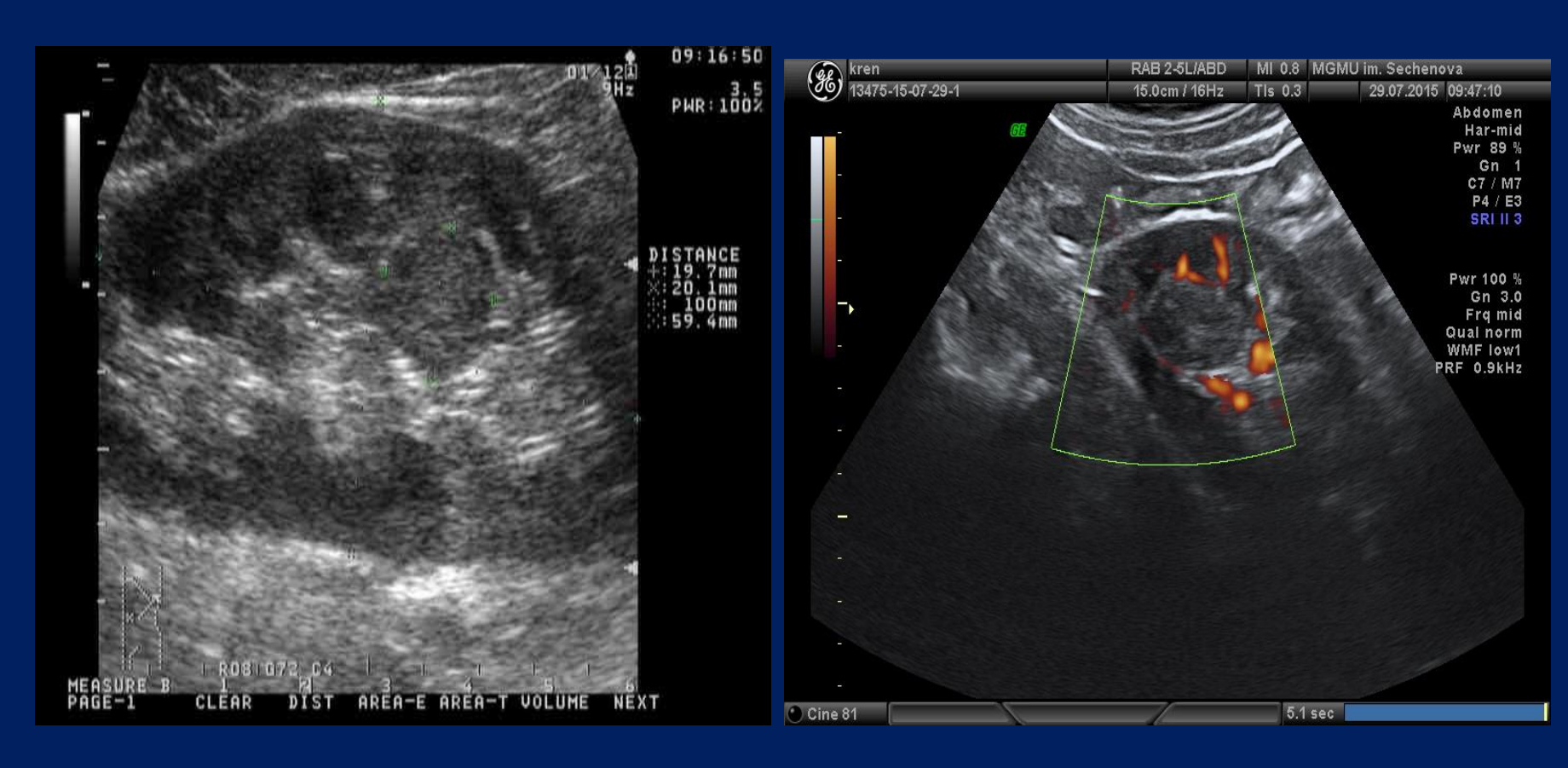


острая почечная недостаточность



Опухоль почки

Опухоль почки



Опухоль почки

Опухоль почки при исследовании в режиме ЭД

# Ультразвуковое исследование полых органов

- Оценка положения, формы, размеров и контуров органа или структуры
- Оценка внутреннего содержимого
- Оценка толщины стенки
- Оценка наличия пристеночных образований и их структура





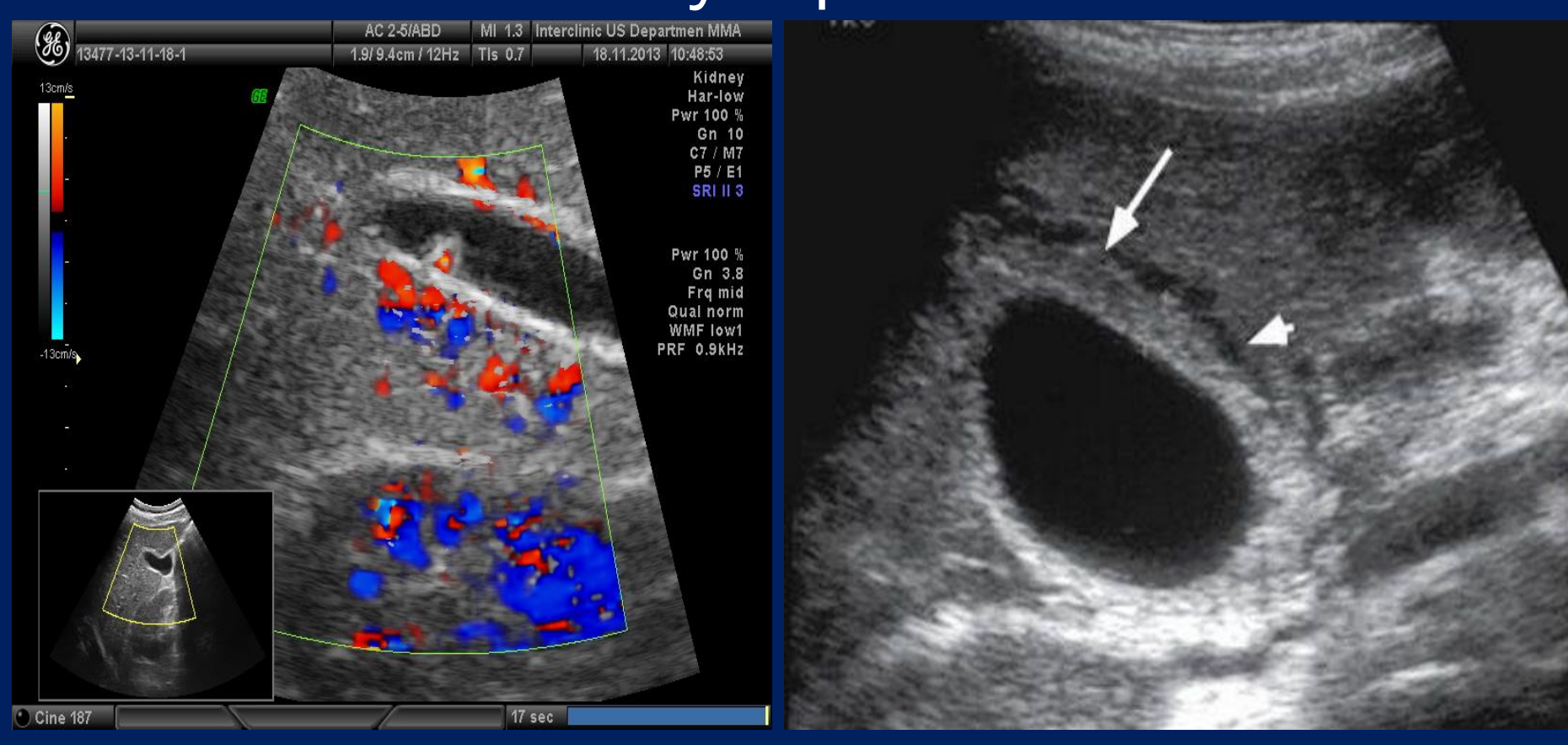
норма

дисформия



застойные изменения

полип



Полип

Острый холецистит





конкремент

множественные конкременты



Конкремент в шейке желчного пузыря

эмпиема

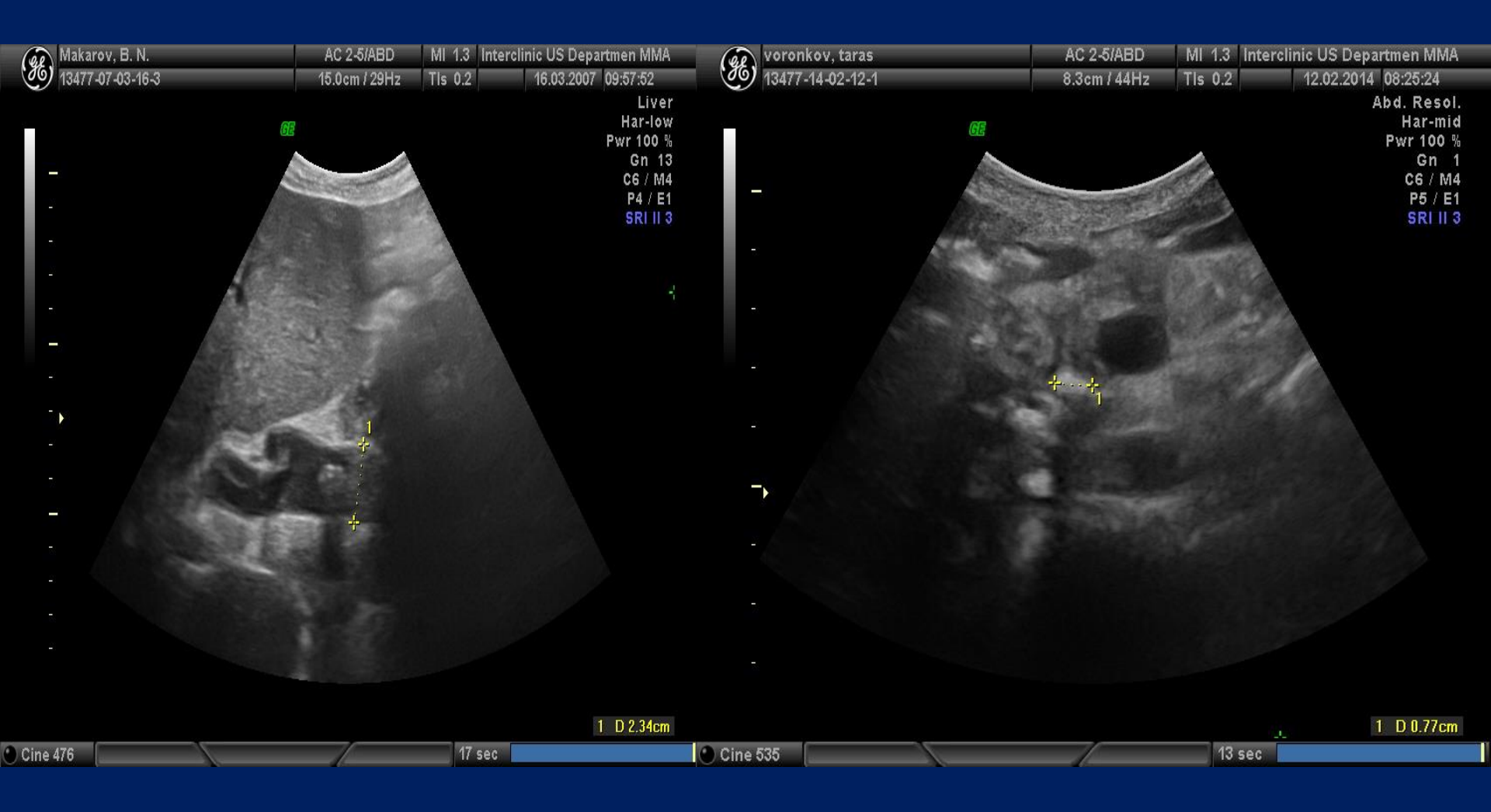
# Ультразвуковое исследование желчных протоков





Билиарная гипертензия

# Ультразвуковое исследование желчных протоков



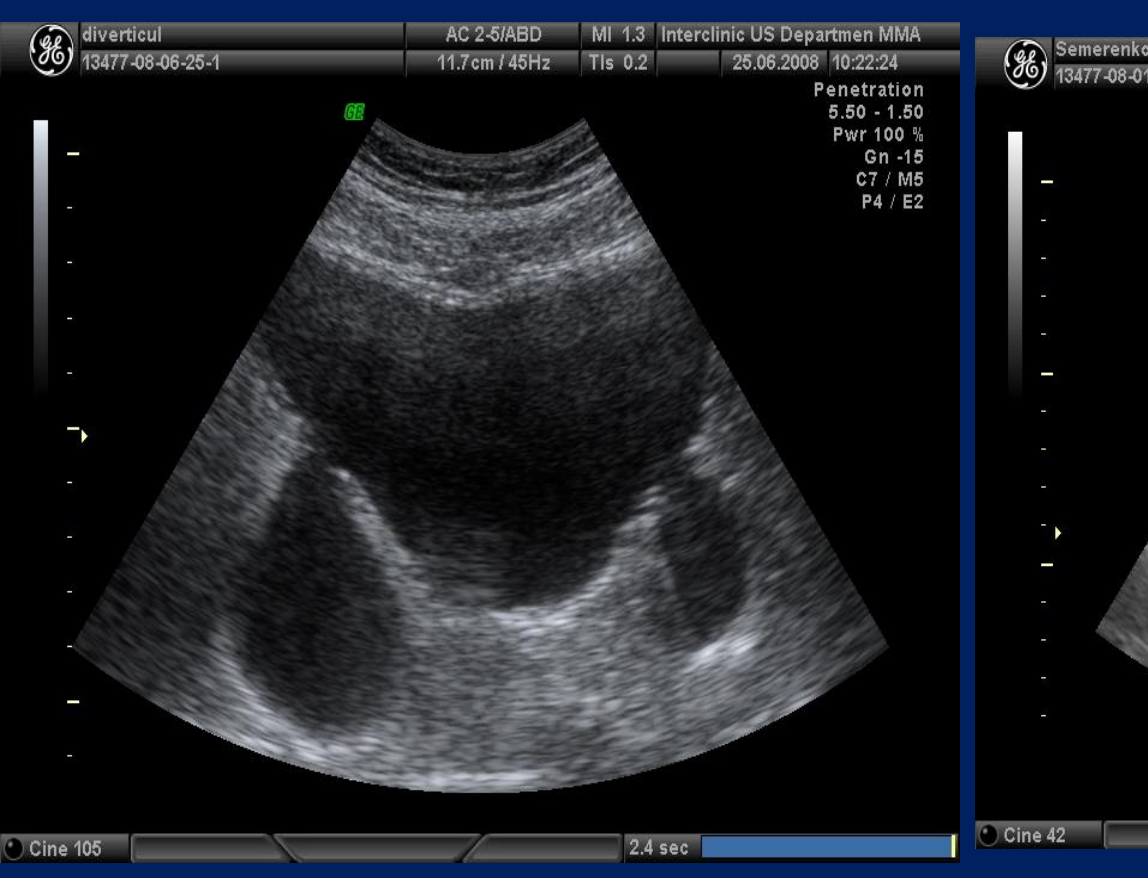
# Ультразвуковое исследование желудка



леймиома

опухоль желудка

# Ультразвуковое исследование мочевого пузыря



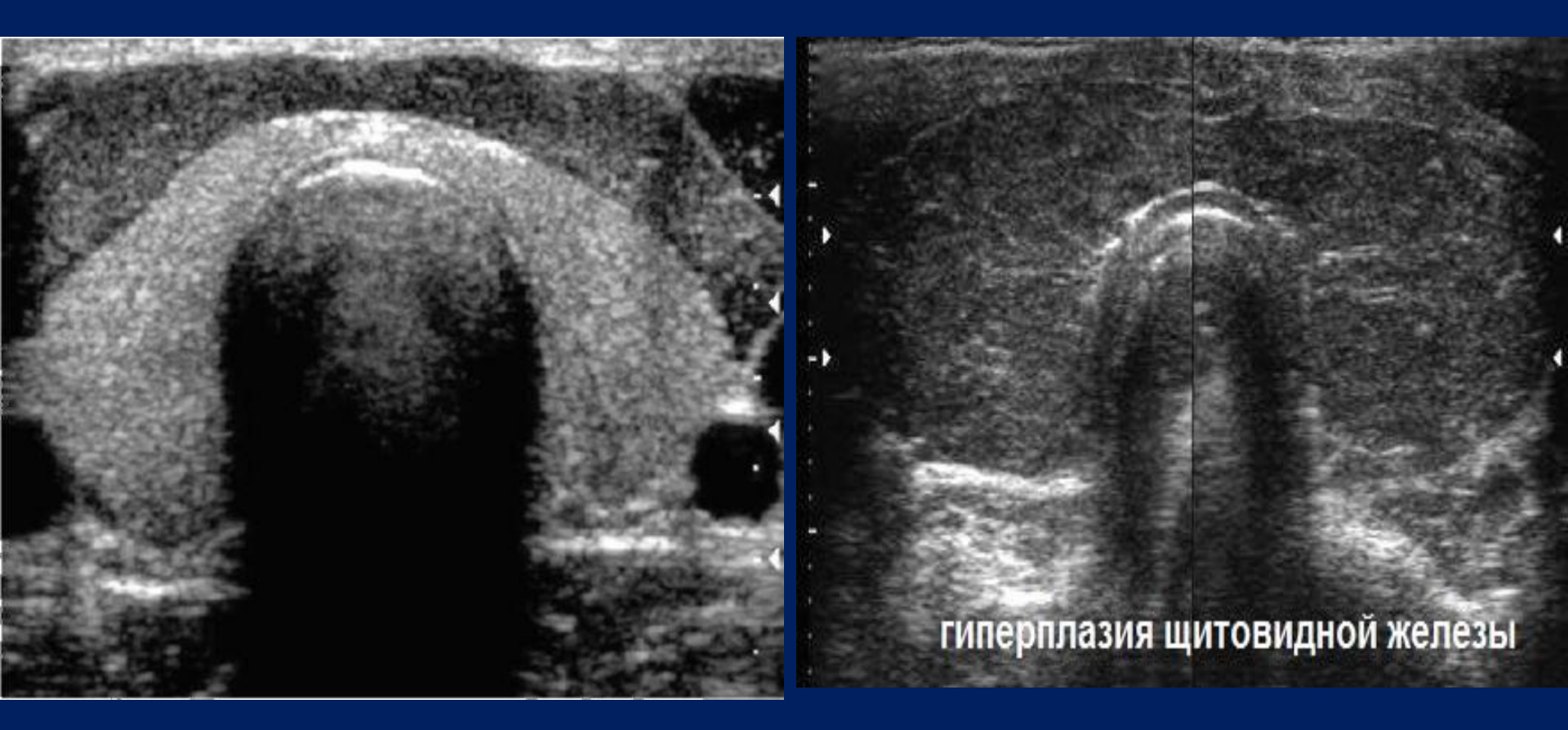


дивертикул

опухоль

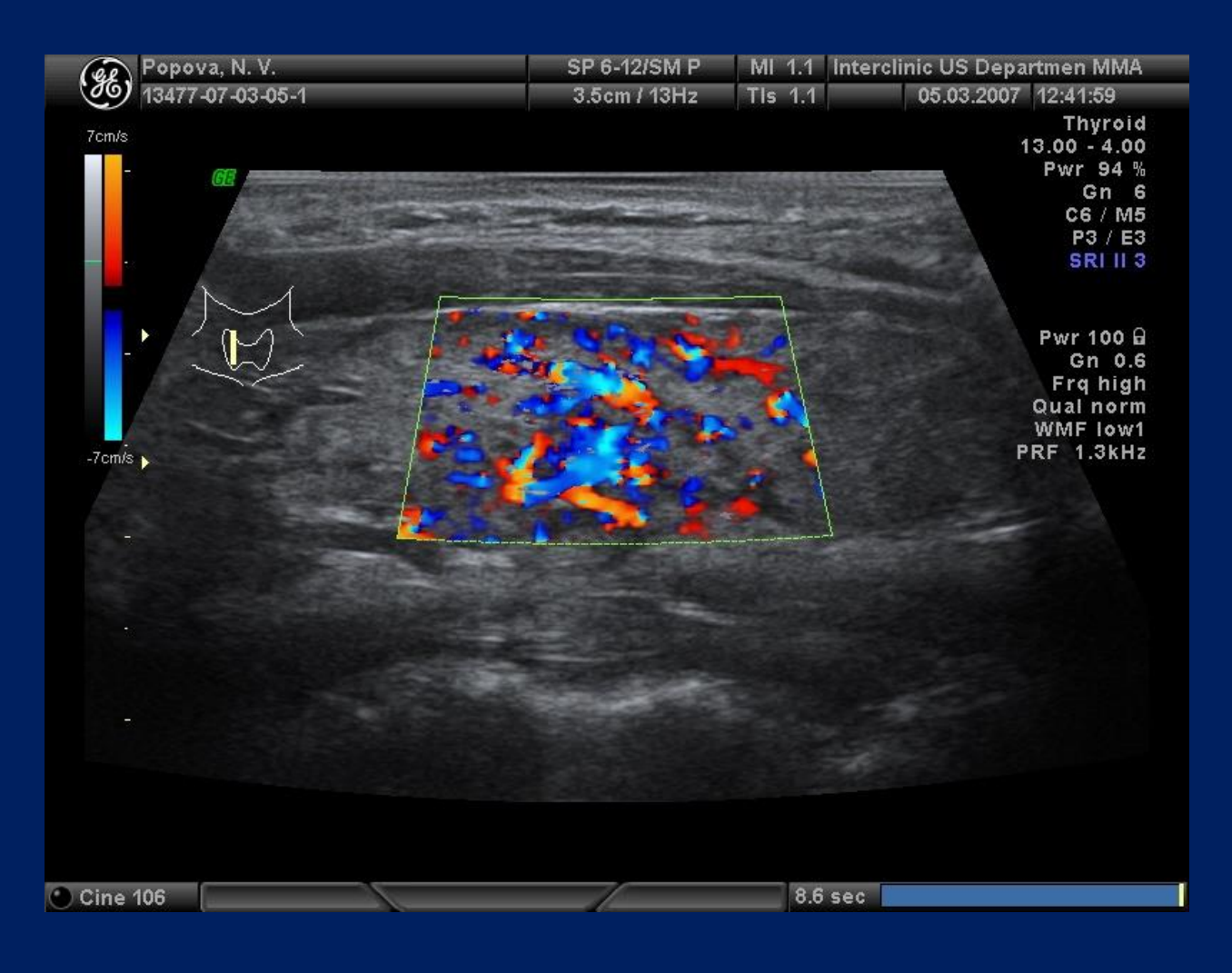
#### Задачи исследования

- определение положения (обычное, смещенное, загрудинное, эктопия)
- определение размеров и объема
- оценка эхогенности
- оценка эхоструктуры (однородная, неоднородная)
- оценка васкуляризации
- характер изменений(диффузный, очаговый)
- количество образований, их структура, размеры, васкуляризация
- оценка регионарных лимфатических узлов

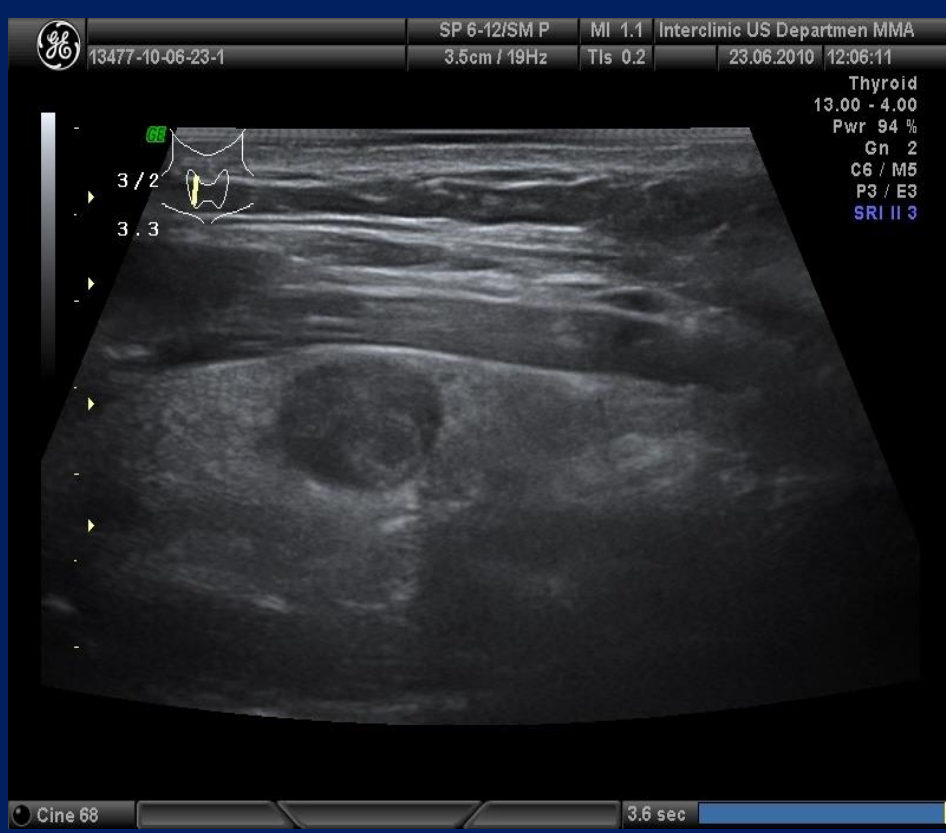


норма

диффузные изменения

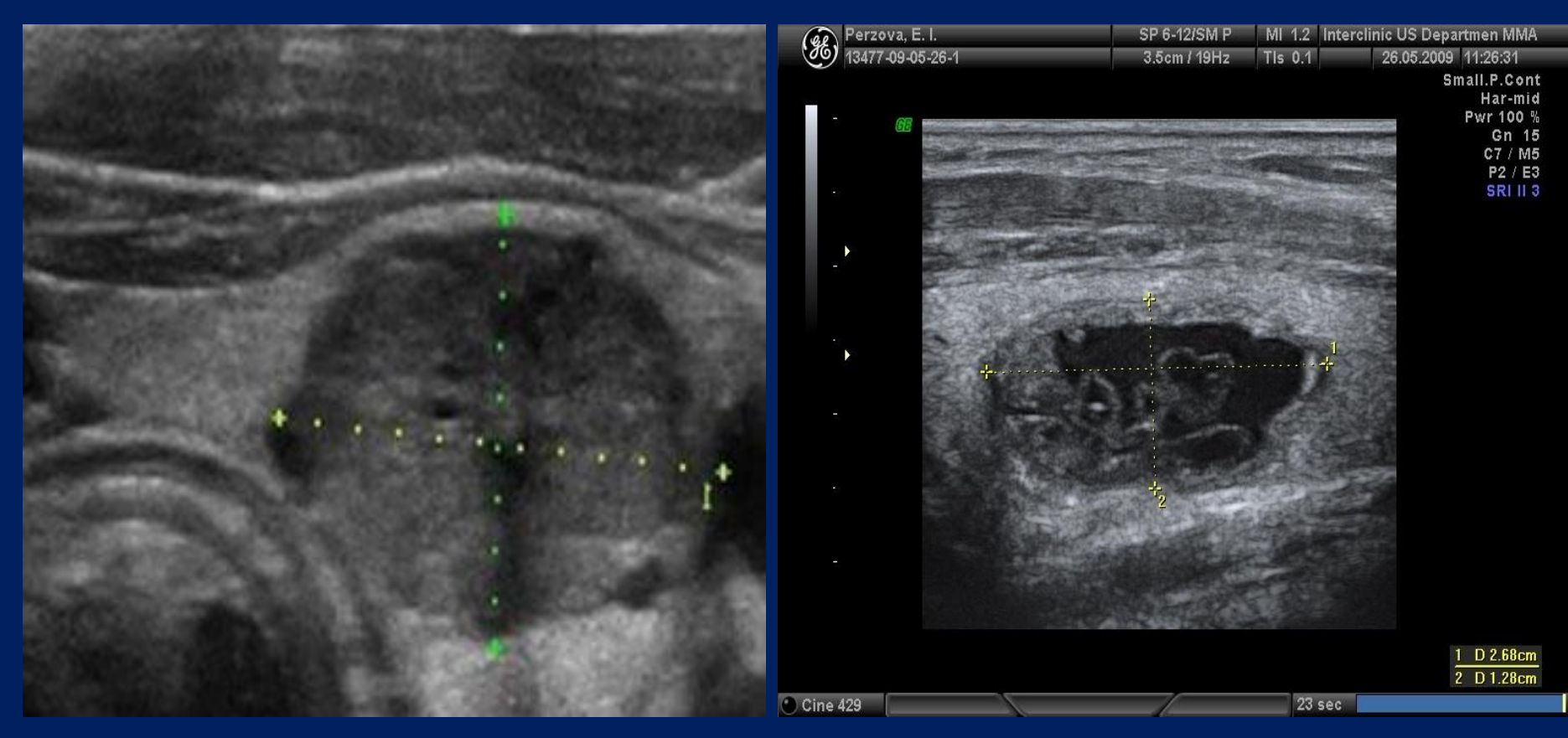






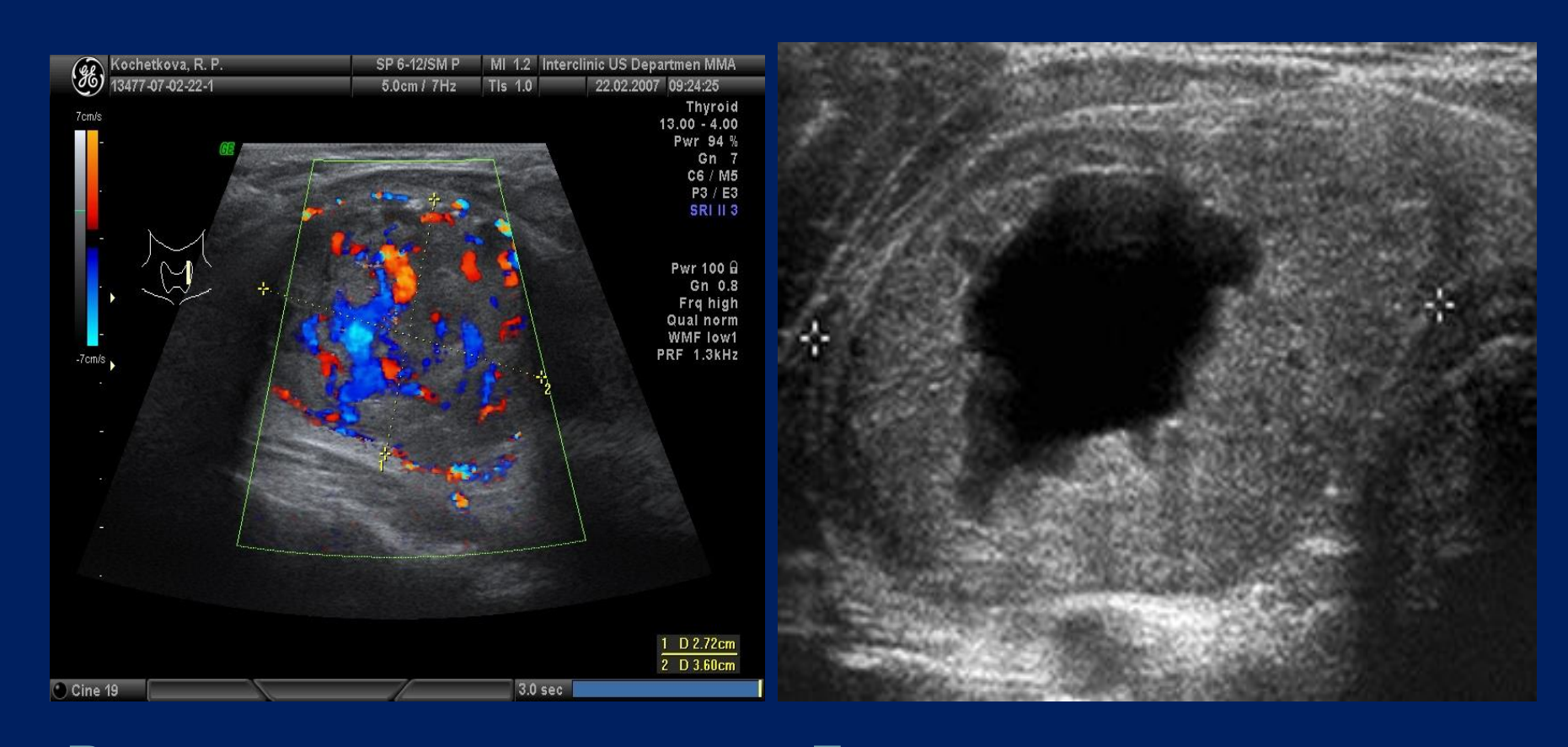
киста

узловое образование



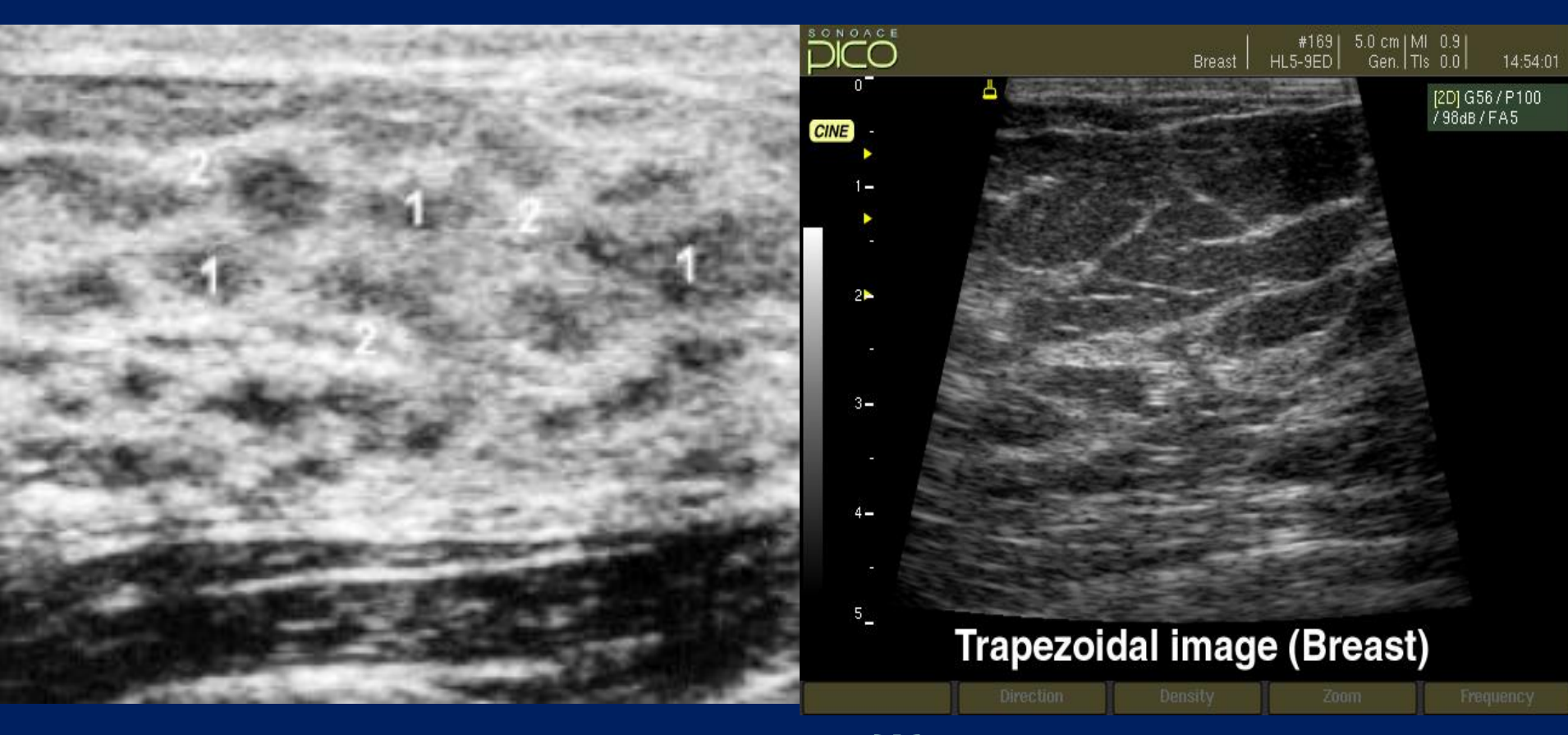
узловые образования

цистаденома



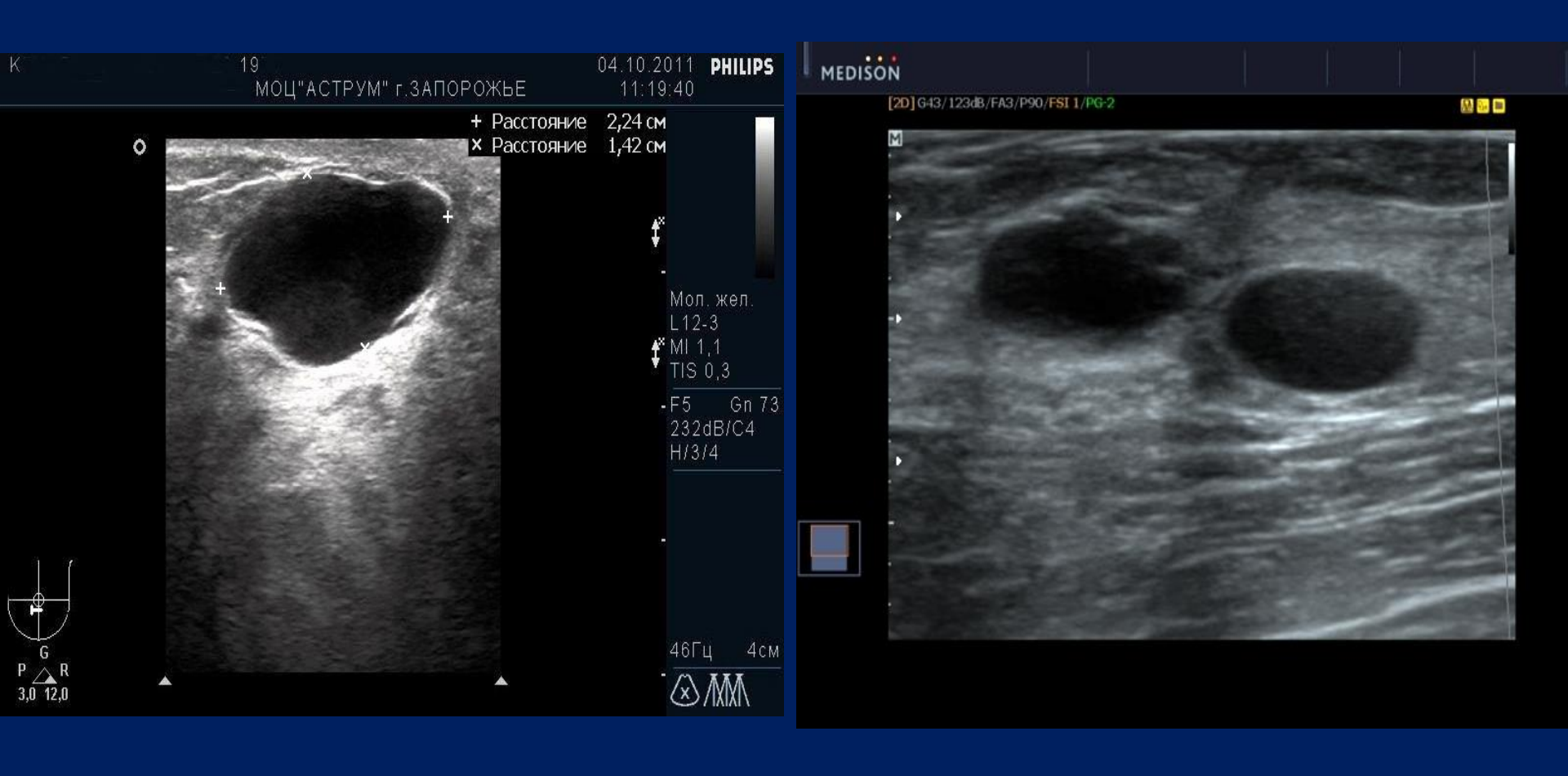
Васкуляризация узла

Деструкция узла



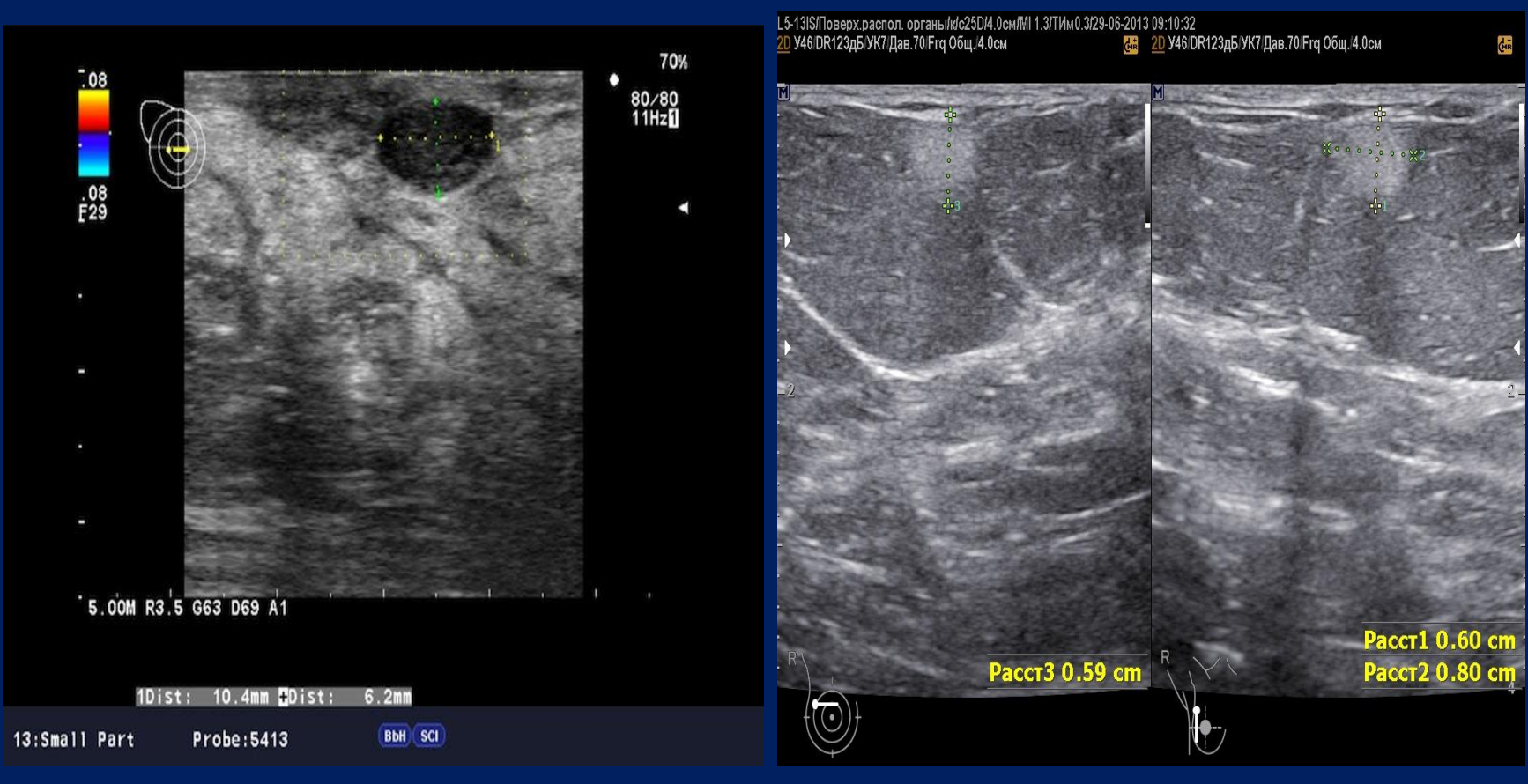
Жировая инволюция

#### Ультразвуковое исследование сосудов



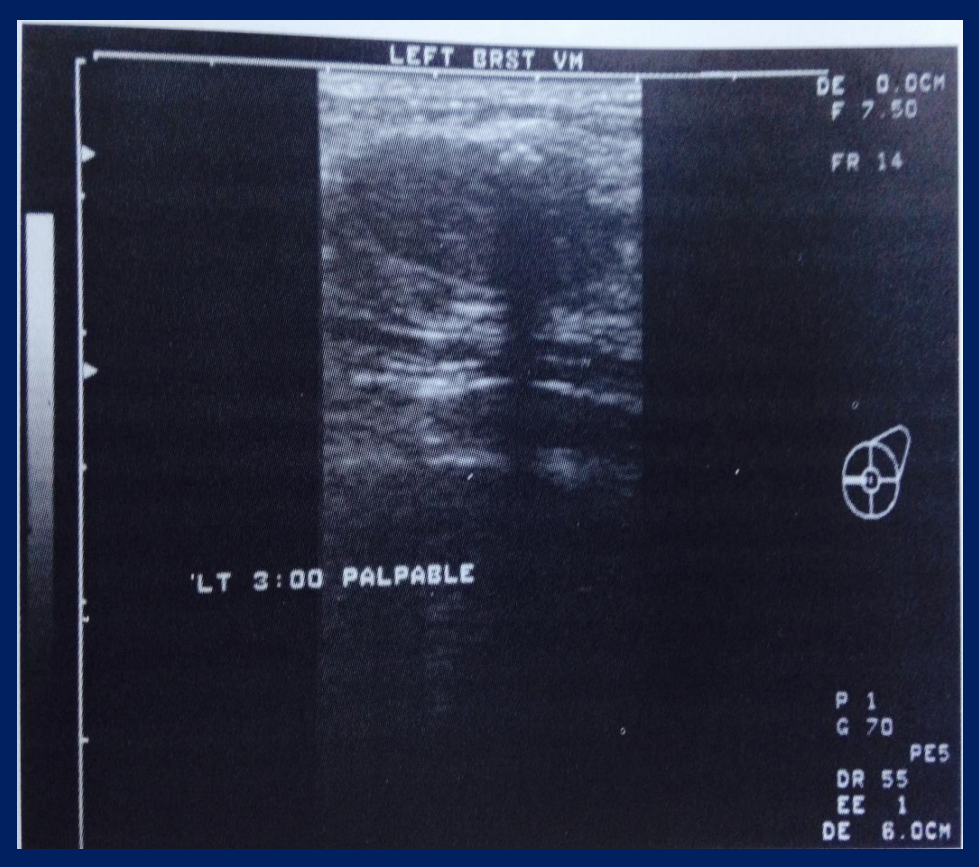
киста

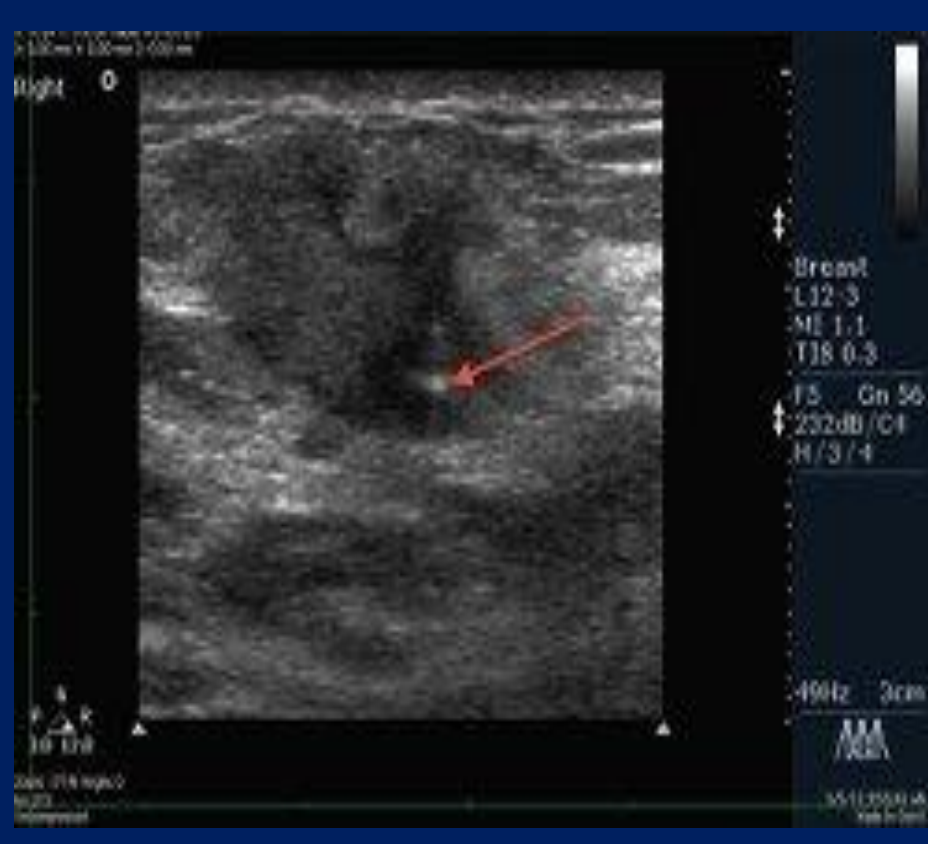
**КИСТЫ** 



фиброаденома

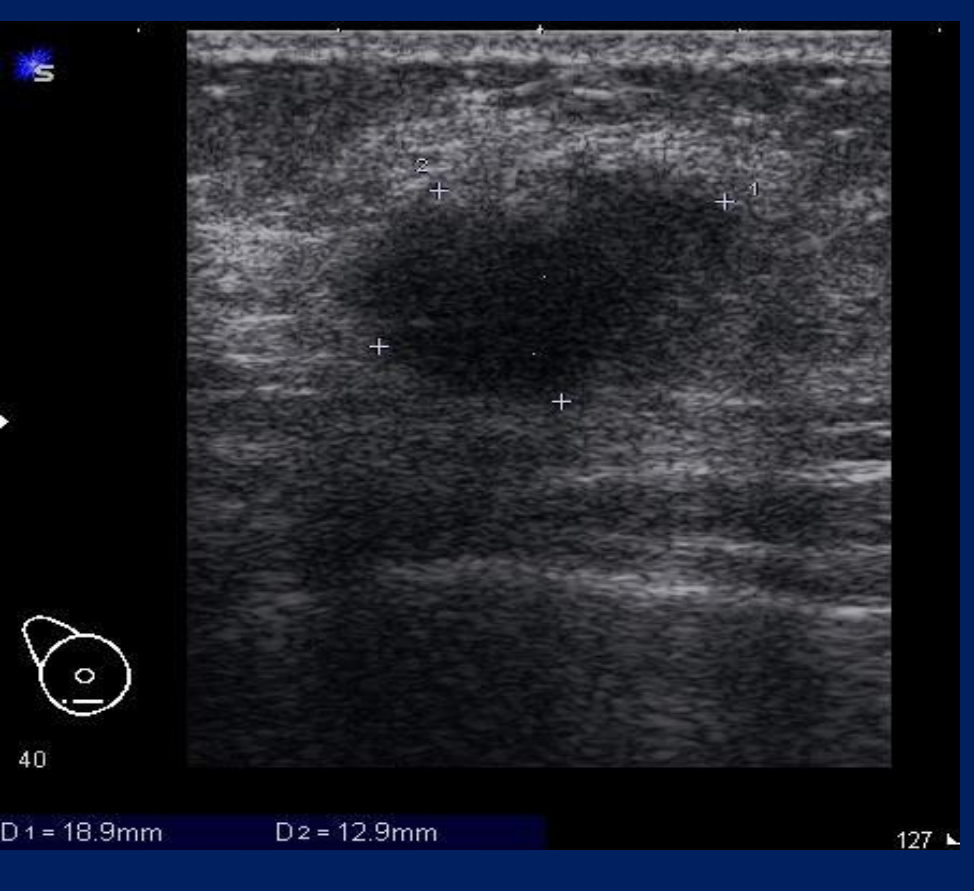
липомы





кальцинат

опухоль



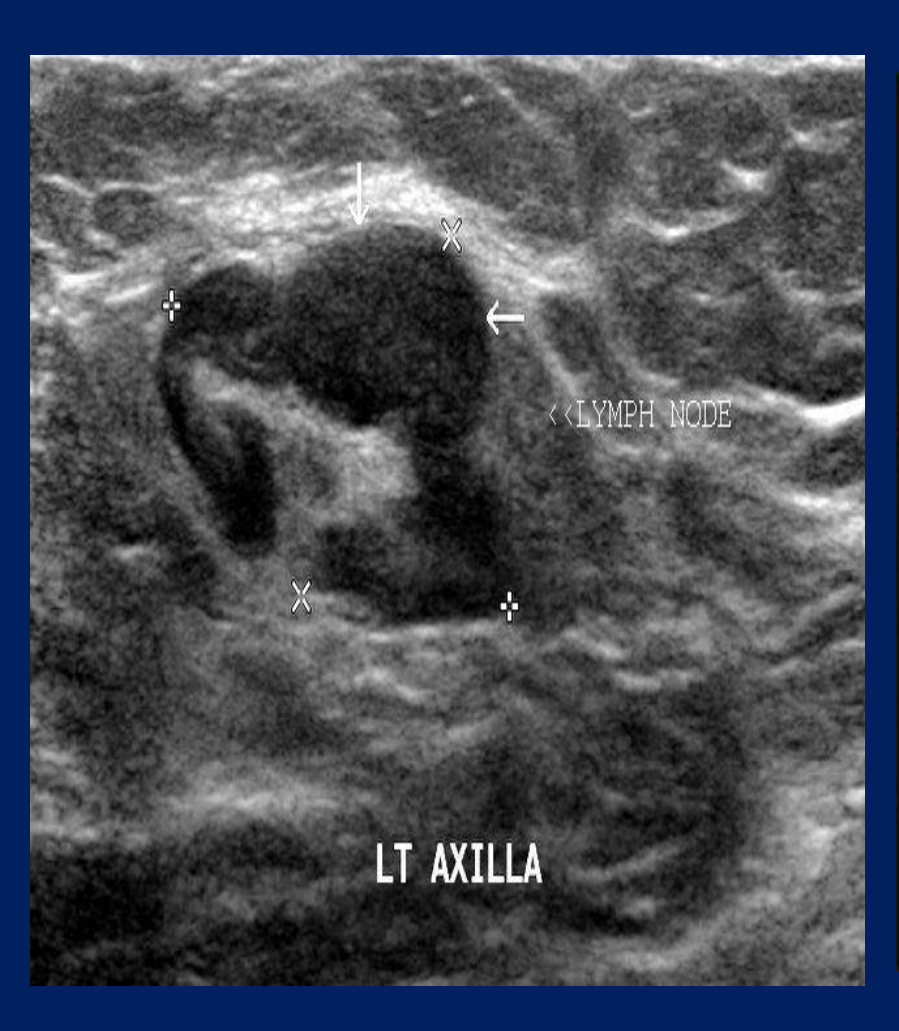


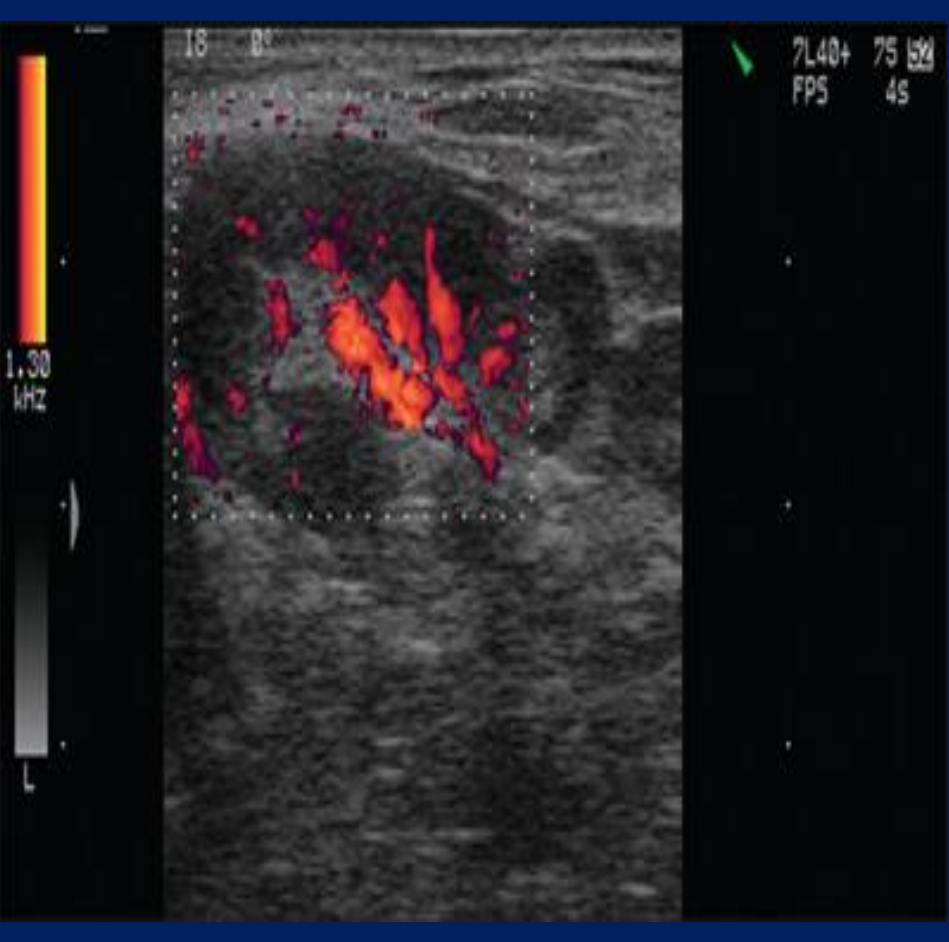
опухоль

опухоль

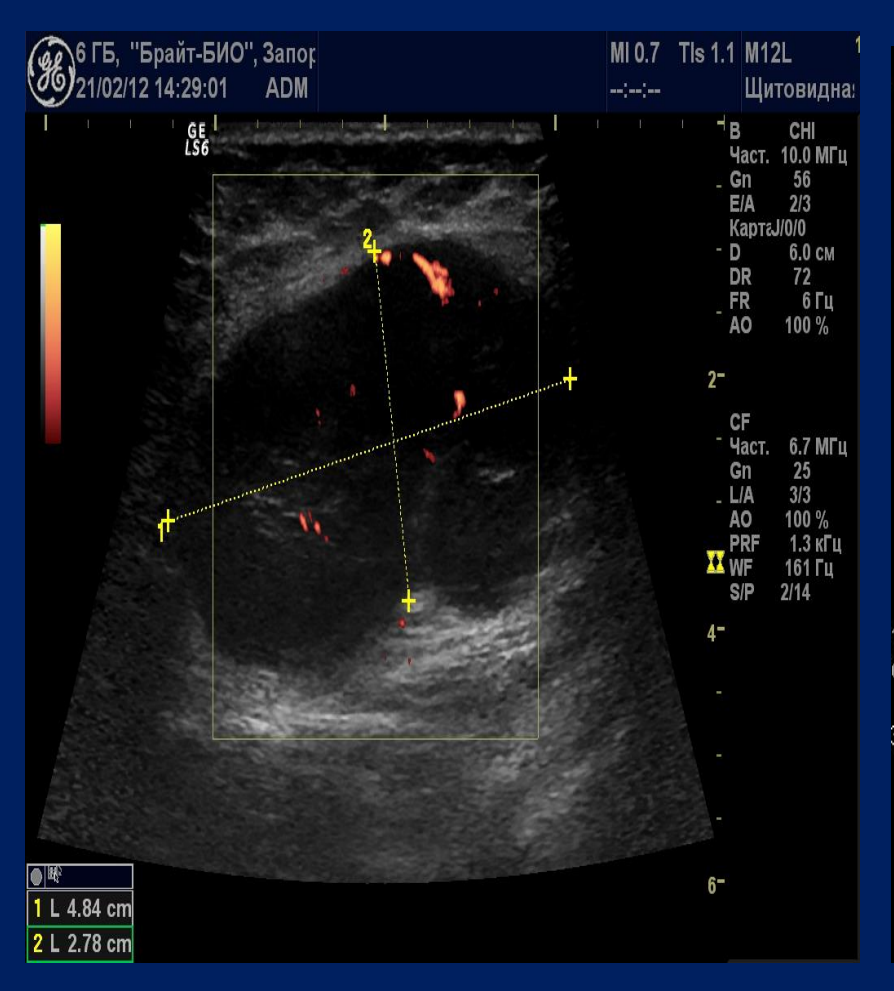


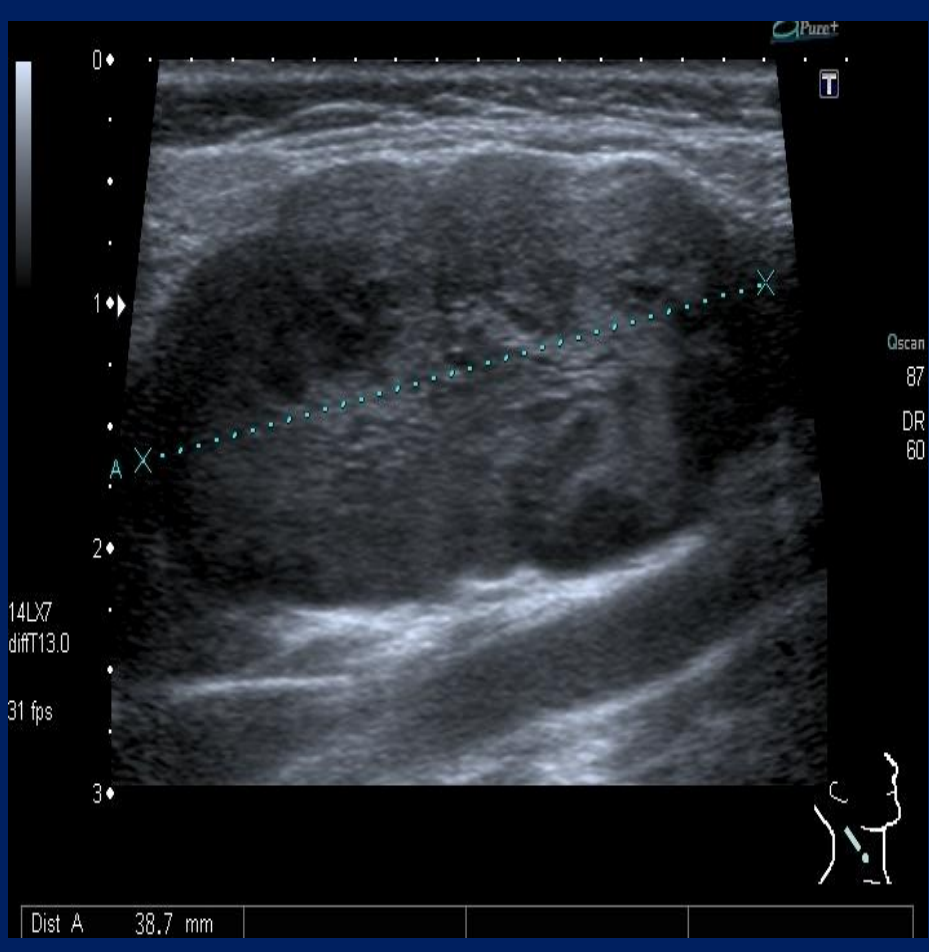
# Ультразвуковое исследование лимфатических узлов



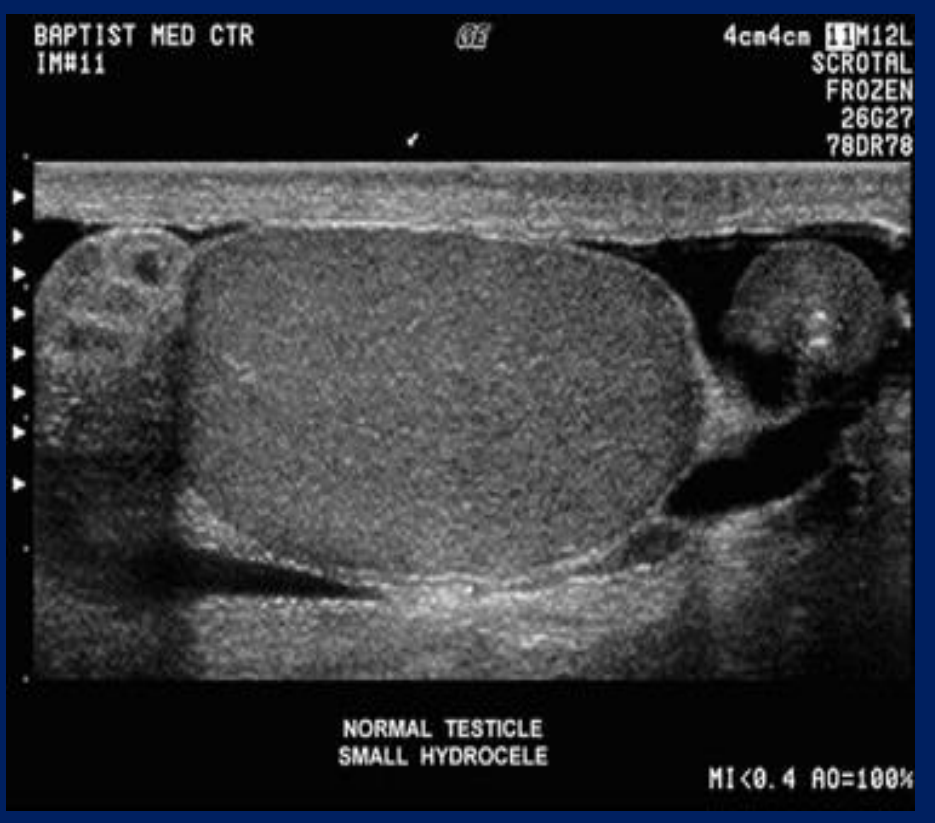


# Ультразвуковое исследование лимфатических узлов





### Ультразвуковое исследование органов мошонки

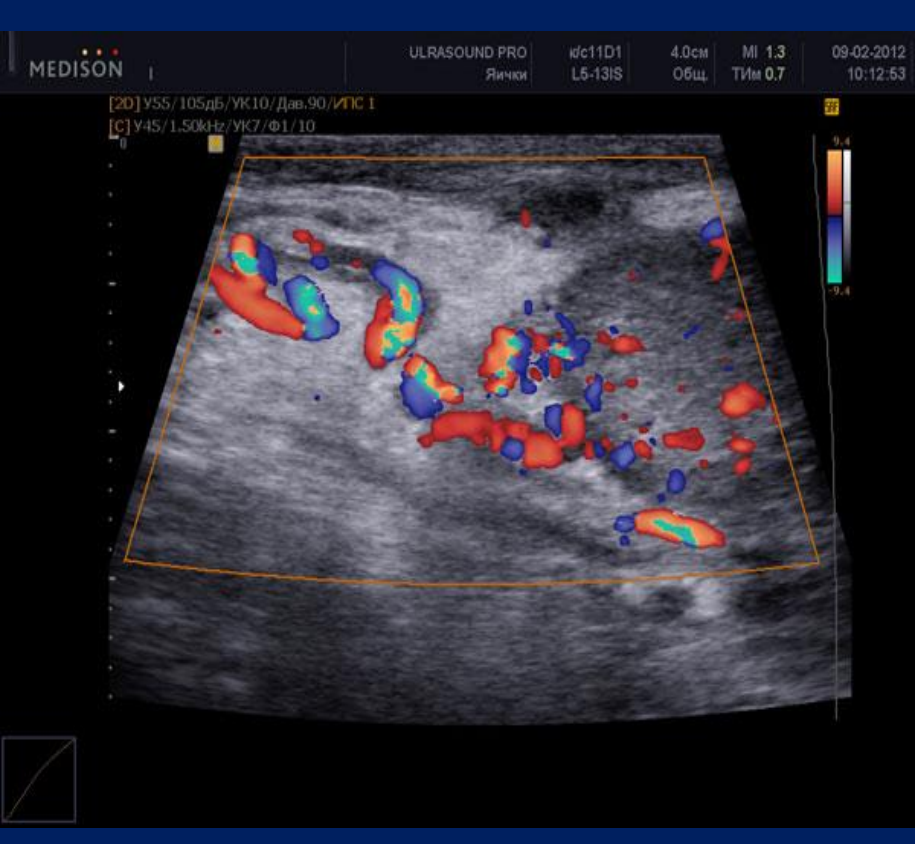




норма норма

### Ультразвуковое исследование органов мошонки

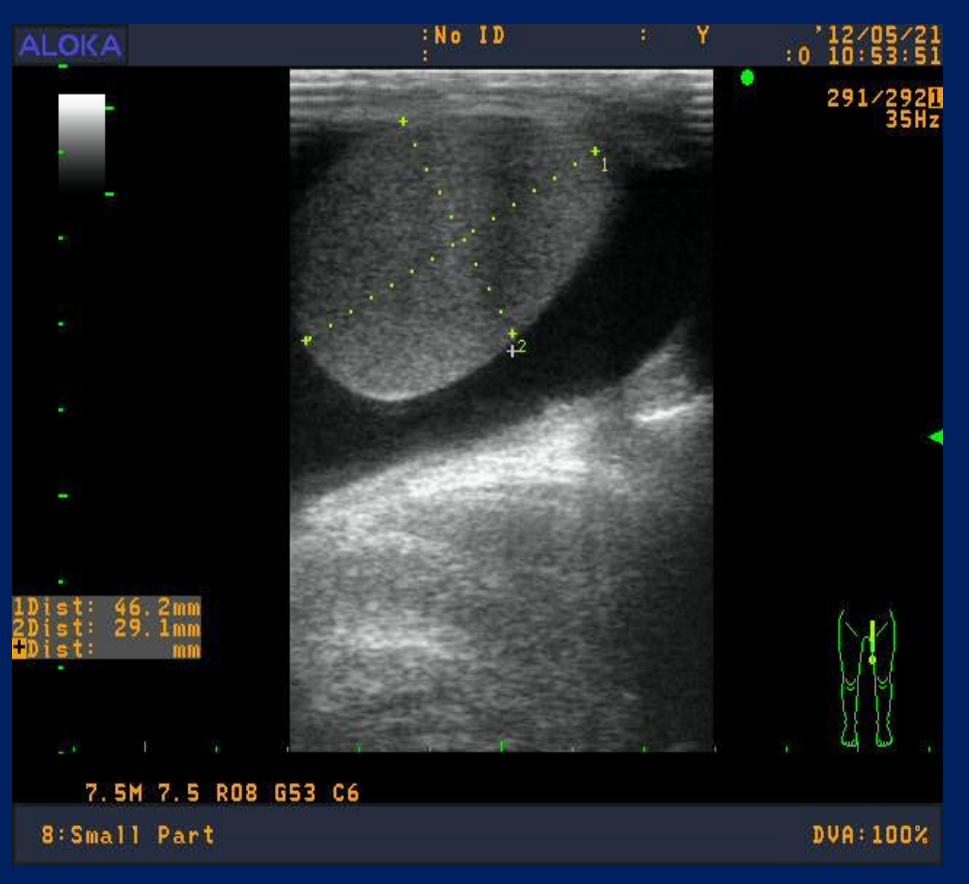


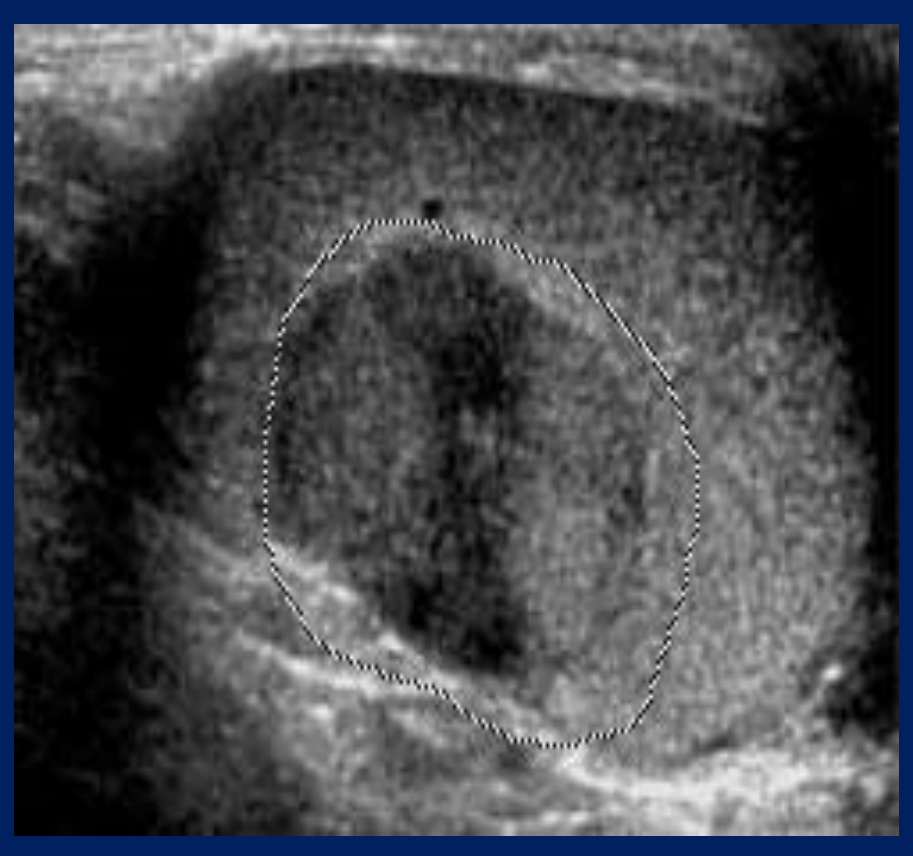


сосуды

варикоцеле

#### Ультразвуковое исследование органов мошонки



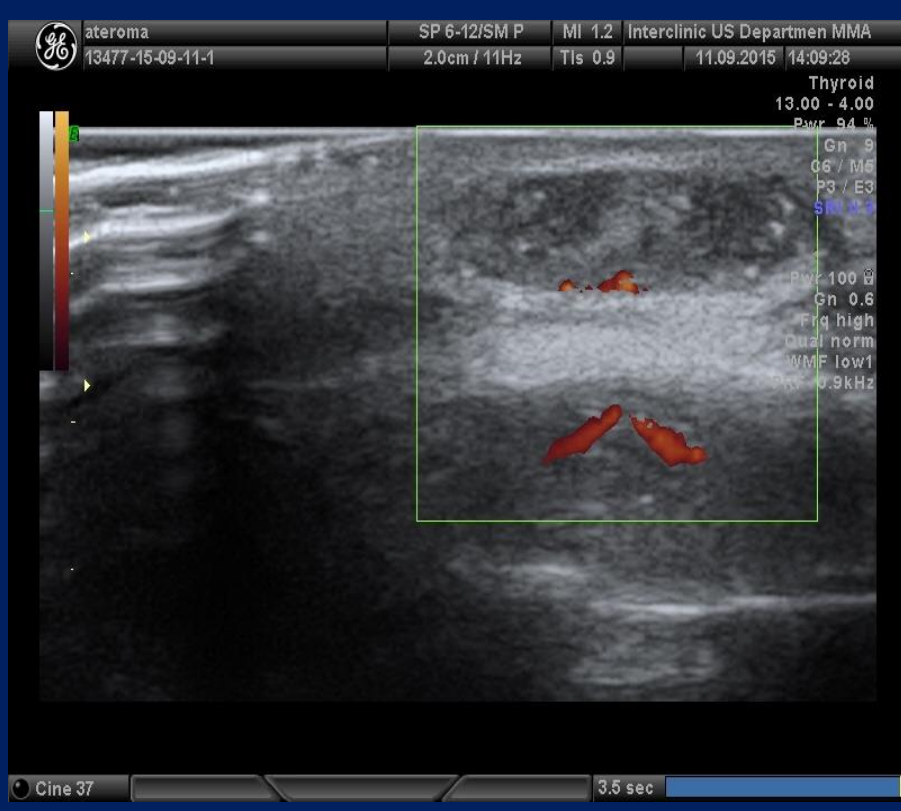


водянка

Опухоль яичка

#### Ультразвуковое исследование мягких тканей

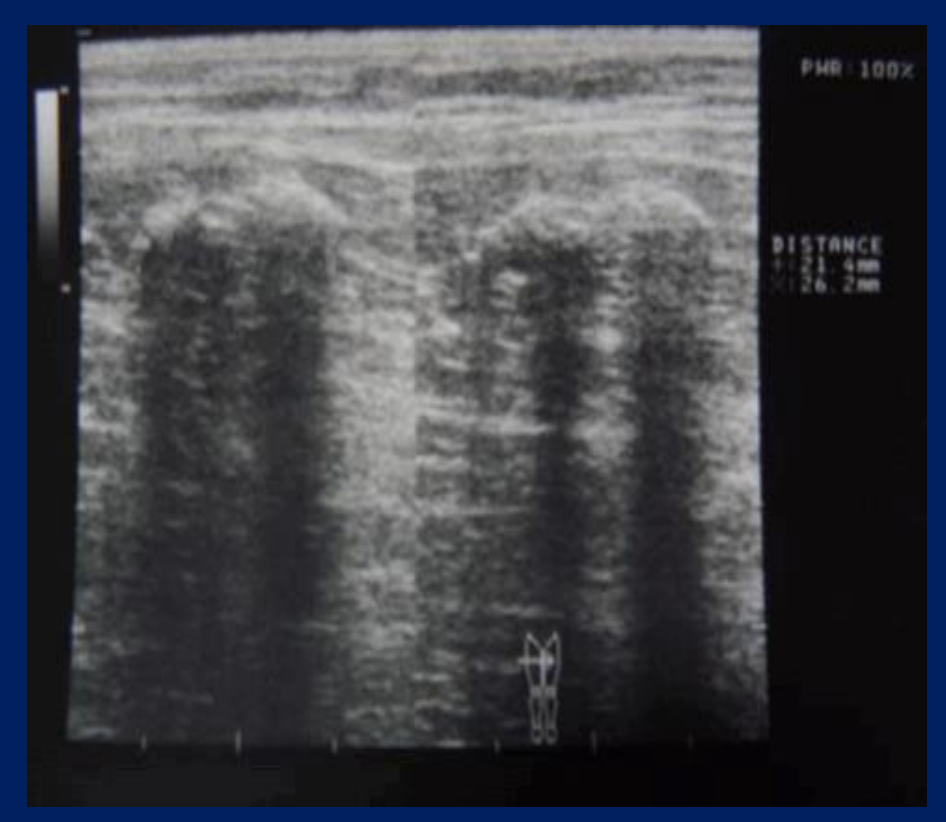


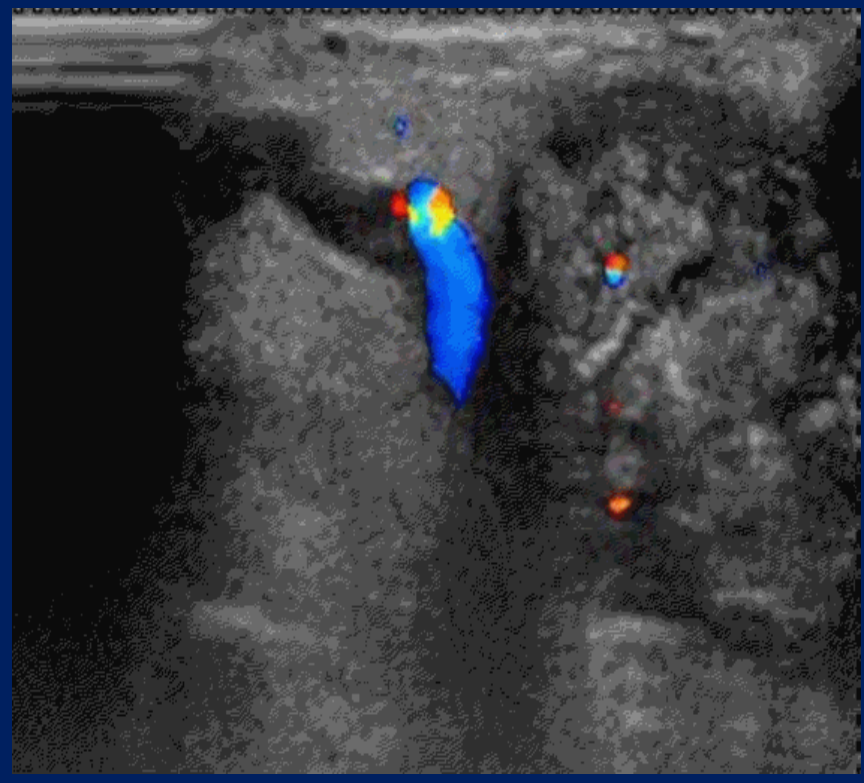


липома

атерома

# Ультразвуковое исследование мягких тканей





кальцинаты

нейросаркома

# Ультразвуковое исследование мягких тканей



#### Недостатки ультразвукового исследования

- Самый большой недостаток зависимость от компетентности исследователя
- Зависимость от качества аппаратуры
- Зависимость от веса пациента

#### • СПАСИБО ЗА ВНИМАНИЕ!